

ขั้นตอนวิธีเชิงพันธุกรรมแบบกระชับชนิดค่อนต้มสำหรับปัญหาทาง

น.ส.กมลลักษณ์ สุขเสน

วิทยานิพนธ์นี้เป็นส่วนหนึ่งของการศึกษาตามหลักสูตรปริญญาวิศวกรรมศาสตรดุษฎีบัณฑิต
สาขาวิชาวิศวกรรมคอมพิวเตอร์ ภาควิชาวิศวกรรมคอมพิวเตอร์
คณะวิศวกรรมศาสตร์ จุฬาลงกรณ์มหาวิทยาลัย
ปีการศึกษา 2564
ติํดสิทธิ์ของจุฬาลงกรณ์มหาวิทยาลัย



6071401321_4194830501



4194830501 CU ithesis 6071401321 dissertation / recv: 10072565 13:20:37 / seq: 13

QUANTUM COMPACT GENETIC ALGORITHM FOR HARD PROBLEMS

Miss Kamonluk Suksen

A Dissertation Submitted in Partial Fulfillment of the Requirements

for the Degree of Doctor of Philosophy in Computer Engineering

Department of Computer Engineering

FACULTY OF ENGINEERING

Chulalongkorn University

Academic Year 2021

Copyright of Chulalongkorn University

หัวข้อวิทยานิพนธ์

ขั้นตอนวิธีเชิงพันธุกรรมแบบกราฟชั้นดีความต้มสำหรับ

ปัญหาภัย

โดย

น.ส.กมลลักษณ์ สุขเสนอ

สาขาวิชา

วิศวกรรมคอมพิวเตอร์

อาจารย์ที่ปรึกษาวิทยานิพนธ์หลัก

ศาสตราจารย์ ดร.ประภาส จงสถิตย์วัฒนา

คณะกรรมการคัดเลือกคณาจารย์ จุฬาลงกรณ์มหาวิทยาลัย อนุมัติให้นับวิทยานิพนธ์ฉบับนี้เป็นส่วนหนึ่ง
ของการศึกษาตามหลักสูตรปริญญาวิศวกรรมศาสตรดุษฎีบัณฑิต

คณบดีคณาจารย์

(ศาสตราจารย์ ดร.สุพจน์ เตชะรัตน์สกุล)

คณะกรรมการสอบบัณฑิต

ประธานกรรมการ

(ผู้ช่วยศาสตราจารย์ ดร.สุกรี สินธุภูมิ)

อาจารย์ที่ปรึกษาวิทยานิพนธ์หลัก

(ศาสตราจารย์ ดร.ประภาส จงสถิตย์วัฒนา)

กรรมการ

(รองศาสตราจารย์ ดร.ธนารัตน์ ชลิตาพงศ์)

กรรมการ

(รองศาสตราจารย์ ดร.ดวงดาว วิชาดาภุกุล)

กรรมการภายนอกมหาวิทยาลัย

(ศาสตราจารย์ ดร.บุญเจริญ ศิริเนาวกุล)

กมลลักษณ์ สุขเสน : ขั้นตอนวิธีเชิงพันธุกรรมแบบกราฟชั้นนิดค่อนต้มสำหรับปัญหา
ยาก. (QUANTUM COMPACT GENETIC ALGORITHM FOR HARD PROBLEMS) อ.
ที่ปรึกษาหลัก : ศ. ดร.ประภาส จงสถิตย์วัฒนา

งานวิจัยทางด้านคอมพิวเตอร์เชิงค่อนต้ม (Quantum computer) ยังคงเป็นความท้า
ทายสำหรับนักวิจัยในการพัฒนาเทคโนโลยีต่างๆ เพื่อให้การประมวลผลข้อมูลค่อนต้มขนาดใหญ่
สามารถทำได้จริง มีงานวิจัยหลากหลายสาขาเกี่ยวกับการจำลองระบบค่อนต้ม โดยเฉพาะด้าน^๑
อัลกอริทึมค่อนต้มสำหรับแก้ปัญหา NP-hard ซึ่งใช้เวลาแก้ปัญหานานเกินกว่าจะเป็นไปได้จริงใน
เครื่องคอมพิวเตอร์ดังเดิม

งานวิจัยนี้นำเสนอขั้นตอนวิธีเชิงพันธุกรรมแบบกราฟชั้นนิดค่อนต้ม ซึ่งเป็นการนำข้อ^๒
ได้เปรียบจากการประมวลผลเชิงค่อนต้ม ได้แก่ สภาพชั้อนทับของสถานะค่อนต้ม และการ
ประมวลผลค่อนต้มแบบขนาดในอัลกอริทึมการค้นหาของโกรเวอร์ (Grover's search
algorithm) มาประยุกต์ใช้ในกระบวนการคัดเลือกโครโน่ชูมของขั้นตอนวิธีเชิงพันธุกรรมแบบ
กราฟชั้นนิดดังเดิมที่มีการคัดเลือกโครโน่ชูมที่ดี เพื่อให้ได้ขั้นตอนวิธีเชิงพันธุกรรมแบบกราฟ
ค่อนต้มที่มีประสิทธิภาพดีขึ้นในแง่ของความถูกต้องของคำตอบ ขั้นตอนวิธีที่นำเสนอสามารถ
แก้ปัญหา traveling salesman ขนาดเล็กได้บนเครื่องจำลองคอมพิวเตอร์ค่อนต้ม เนื่องจาก
จำนวนคิวบิตที่มีอย่างจำกัดจึงไม่สามารถทำการทดลองกับปัญหา traveling salesman ขนาด
ใหญ่ได้ แม้ว่าจำนวนพังก์ชันที่ใช้ในการประเมินค่าความเหมาะสมของขั้นตอนวิธีที่นำเสนอ มี
แนวโน้มเพิ่มขึ้นเป็นอึ้งไปเนื่นเขียว เมื่อจำนวนเมื่อเพิ่มขึ้น แต่ยังสามารถหาคำตอบที่ถูกต้องได้
ดีกว่าขั้นตอนวิธีเชิงพันธุกรรมแบบกราฟชั้นนิดดังเดิม นอกจากนี้ผลการทดลองแสดงให้เห็นว่า
จำนวนรอบของโกรเวอร์ที่เหมาะสมช่วยเพิ่มประสิทธิภาพในการหาคำตอบที่เหมาะสมที่สุด
ในขณะที่จำนวนช็อตหรือจำนวนรอบที่รันอัลกอริทึมช่วยเพิ่มความน่าเชื่อถือให้กับคำตอบที่ได้จาก
การวัดค่าสถานะคิวบิต

สาขาวิชา วิศวกรรมคอมพิวเตอร์
ปีการศึกษา 2564

ลายมือชื่อนิสิต
ลายมือชื่อ อ.ที่ปรึกษาหลัก

6071401321 : MAJOR COMPUTER ENGINEERING

KEYWORD: Quantum computing, Grover's search algorithm, Compact genetic algorithm (cGA), Traveling salesman problem

Kamonluk Suksen : QUANTUM COMPACT GENETIC ALGORITHM FOR HARD PROBLEMS. Advisor: Prof. PRABHAS CHONGSTITVATANA, Ph.D.

Research in the field of quantum technology remains a great challenge to researchers in the future to develop techniques for making large-scale quantum information processing a reality. The simulation of quantum systems is an important problem in many fields. A quantum algorithm is one of the topics being studied for solving NP-hard problems that take too long to solve on classical computers.

This paper aims to propose the Quantum compact genetic algorithm, that exploits the advantages of quantum computing. There is quantum superposition and quantum parallelism in Grover's search algorithm. It was combined with a compact genetic algorithm with an elite (cGA with an elite) in the selection process to get a higher performance in term of the solution quality. The proposed algorithm can be run on an IBM QASM simulator to solve the small-sized traveling salesman problem (TSP). Although the number of function evaluations of the proposed algorithm grows exponentially as the number of cities grows, it still outperforms the cGA with an elite in finding the optimal solution. The results also showed that utilizing the right number of Grover iterations increases the efficiency in finding the optimal solution, whereas the number of shots increases the reliability of the answers.

Field of Study: Computer Engineering Student's Signature

Academic Year: 2021 Advisor's Signature

กิตติกรรมประกาศ

วิทยานิพนธ์ฉบับนี้ผู้เขียนได้รับเงินทุนสนับสนุนในการทำวิจัยจากหน่วยงาน NSRF ผ่านหน่วยบริหารโครงการทรัพยากรบุคคลและการพัฒนาสถาบัน การวิจัยและนวัตกรรม ทุนหมายเลข B05F640051

วิทยานิพนธ์ฉบับนี้สำเร็จลุล่วงไปด้วยดี ด้วยความช่วยเหลือของศาสตราจารย์ ดร. ประภาส จงสถิตย์วัฒนา อ้าวารย์ที่ปรึกษาวิทยานิพนธ์ ซึ่งท่านได้ให้คำแนะนำและข้อคิดเห็นต่างๆ อันเป็นประโยชน์อย่างยิ่งในการทำวิจัย อีกทั้งยังช่วยแก้ปัญหาต่างๆ ที่เกิดขึ้นระหว่างการดำเนินงานอีกด้วย ขอกราบขอบพระคุณเป็นอย่างสูง

ขอกราบขอบพระคุณคณะกรรมการสอบวิทยานิพนธ์ทุกท่านเป็นอย่างสูง ได้แก่ ศาสตราจารย์ ดร. บุญเจริญ ศิริเนาวกุล ผู้ช่วยศาสตราจารย์ ดร.สุกรี สินธุภิญโญ รศ.ดร.ธนารัตน์ ชลิตาพงศ์ และ รศ. ดร.ดวงดาว วิชาดาภุกุล ที่สละเวลาอันมีค่ามาชี้ให้เห็นถึงข้อบกพร่อง พร้อมทั้งให้ข้อคิดและคำแนะนำอันเป็นประโยชน์อย่างยิ่งต่องานวิจัย

ขอขอบคุณพี่ๆ และน้องๆ ทุกคนในห้องปฏิบัติการ ISL (Intelligent System Laboratory) ที่ให้คำแนะนำช่วยแก้ปัญหาต่างๆ ที่เกี่ยวข้องกับงานวิจัยนี้ และปัญหาอื่นๆ รวมถึงให้กำลังใจตลอดมา

ขอขอบคุณเจ้าหน้าที่ประจำภาควิชาศิวกรรมคอมพิวเตอร์ทุกท่านที่มีส่วนช่วยเหลือทำให้วิทยานิพนธ์ฉบับนี้สำเร็จเรียบร้อยลงด้วยดีทุกประการ

สุดท้ายนี้ ผู้วิจัยขอขอบพระคุณบิดามารดา และครอบครัว ซึ่งเปิดโอกาสให้ได้รับการศึกษาเล่าเรียน ตลอดจนเคยช่วยเหลือและให้กำลังใจผู้วิจัยเสมอมาจนสำเร็จการศึกษา

กมลลักษณ์ สุขเสน

สารบัญ

หน้า

บทคัดย่อภาษาไทย	๑
บทคัดย่อภาษาอังกฤษ	๒
กิตติกรรมประกาศ	๓
สารบัญ	๔
สารบัญตาราง	๘
สารบัญภาพ	๙
บทที่ 1 บทนำ	๑
1.1 ที่มาและความสำคัญของปัจจุบัน	๑
1.2 วัตถุประสงค์ของงานวิจัย	๔
1.3 ขอบเขตของงานวิจัย	๔
1.4 ขั้นตอนและวิธีการดำเนินงานวิจัย	๔
1.5 ประโยชน์ที่คาดว่าจะได้รับจากการวิจัย	๕
1.6 รายชื่อผลงานที่ได้เผยแพร่ขณะที่กำลังดำเนินงานวิจัย	๖
1.7 ตารางระยะเวลาดำเนินงานวิจัย	๖
1.8 รายละเอียดเนื้อหาในวิทยานิพนธ์	๗
บทที่ 2 ทฤษฎีที่เกี่ยวข้อง	๙
2.1 คุณสมบัติเชิงคณิตศาสตร์ของคิวบิต (Qubit)	๙
2.2 ค่อนตัมเรจิสเตอร์ (Quantum register)	๑๑
2.3 วงจรค่อนตัม (Quantum circuit)	๑๑
2.4 ผลคุณเท็นเซอร์ (Tensor product)	๑๓
2.5 การหมุนคิวบิต (Qubit rotation)	๑๔

2.6 อัลกอริทึมการค้นหาของ Grover (Grover's search algorithm)	16
2.7 วงจรบวกโดยใช้ความตัมฟูรีเยร์ทรานส์ฟอร์ม (Quantum Fourier transform).....	18
2.8 ขั้นตอนวิธีเชิงพันธุกรรม (Genetic algorithm).....	21
2.9 ขั้นตอนวิธีเชิงพันธุกรรมแบบกระชับ (Compact genetic algorithm).....	23
บทที่ 3 งานวิจัยที่เกี่ยวข้อง.....	25
บทที่ 4 แนวคิดและวิธีการดำเนินงานวิจัย	33
4.1 การศึกษาอัลกอริทึมขั้นตอนวิธีเชิงพันธุกรรมแบบกระชับ (cGA).....	33
4.2 การศึกษาอัลกอริทึมการค้นหาของ Grover โดยใช้ Qiskit ซึ่งเป็นชุดพัฒนาซอฟต์แวร์แบบ open-source สำหรับทำงานกับ OpenQASM และ quantum processor ของ IBM.....	35
4.3 การประยุกต์ใช้อัลกอริทึมการค้นหาของ Grover เข้ากับขั้นตอนวิธีเชิงพันธุกรรมแบบกระชับ (cGA) โดยทดสอบกับปัญหา One-max บนเครื่องคอมพิวเตอร์เชิงความตัมจำลองของ IBM.....	40
4.4 เปรียบเทียบประสิทธิภาพในการประมวลผลระหว่างขั้นตอนวิธีเชิงพันธุกรรมแบบกระชับชนิดความตัมกับขั้นตอนวิธีเชิงพันธุกรรมแบบกระชับชนิดดังเดิมกับปัญหา One-max.....	41
4.5 การปรับปรุงขั้นตอนวิธีเชิงพันธุกรรมแบบกระชับชนิดความตัมสำหรับทดสอบกับปัญหายากบนเครื่องคอมพิวเตอร์เชิงความตัมจำลองของ IBM.....	55
4.6 เปรียบเทียบประสิทธิภาพในการประมวลผลระหว่างขั้นตอนวิธีเชิงพันธุกรรมแบบกระชับชนิดความตัมกับขั้นตอนวิธีเชิงพันธุกรรมแบบกระชับชนิดดังเดิมกับปัญหายาก	56
บทที่ 5 การพัฒนาขั้นตอนวิธีเชิงพันธุกรรมแบบกระชับที่ทำงานบน IBM QASM simulator.....	58
5.1 การลดรูปปัญหา TSP ให้อยู่ในรูปแบบการตัดสินใจของแบบจำลอง Ising (Ising model)	59
5.2 การกำหนดสถานะเริ่มต้นของคิวบิต	60
5.3 ดำเนินการกับสถานะของคิวบิตก่อนการวัด.....	61

5.4 การวัดสถานะของคิวบิต	68
5.5 การดำเนินการของขั้นตอนวิธีเชิงพันธุกรรมแบบกราฟชั้บชั้นนิดความต้ม	69
บทที่ 6 ผลการวิจัยเบื้องต้นสำหรับขั้นตอนวิธีเชิงพันธุกรรมแบบกราฟชั้บชั้นนิดความต้ม	73
6.1 การจัดเตรียมสภาพแวดล้อมสำหรับการทดลองเปรียบเทียบประสิทธิภาพระหว่าง ขั้นตอนวิธีเชิงพันธุกรรมแบบกราฟชั้บชั้นนิดดังเดิมกับชั้นนิดความต้ม.....	73
6.2 ผลการทดลองเปรียบเทียบประสิทธิภาพระหว่างขั้นตอนวิธีเชิงพันธุกรรมแบบกราฟชั้บ ชั้นนิดดังเดิมกับชั้นนิดความต้ม.....	77
บทที่ 7 การปรับปรุงฟังก์ชันໂອරාເකිල	85
7.1 รายละเอียดการปรับปรุงฟังก์ชันໂອරාເකිල	85
7.2 ภาพรวมของขั้นตอนวิธีเชิงพันธุกรรมแบบกราฟชั้บชั้นนิดความต้มเวอร์ชันปรับปรุง	90
บทที่ 8 ผลการทดสอบขั้นตอนวิธีเชิงพันธุกรรมแบบกราฟชั้บชั้นนิดความต้มเวอร์ชันปรับปรุง.....	94
8.1 การจัดเตรียมสภาพแวดล้อมสำหรับการทดลองเปรียบเทียบประสิทธิภาพระหว่าง ขั้นตอนวิธีเชิงพันธุกรรมแบบกราฟชั้บชั้นนิดดังเดิมกับชั้นนิดความต้ม (เวอร์ชันปรับปรุง)	94
8.2 ผลการทดลองเปรียบเทียบประสิทธิภาพระหว่างขั้นตอนวิธีเชิงพันธุกรรมแบบกราฟชั้บ ชั้นนิดดังเดิมกับชั้นนิดความต้มเวอร์ชันปรับปรุง	96
บทที่ 9 สรุปผล	108
9.1 สรุปผลการวิจัย	108
9.2 งานวิจัยในอนาคต	109
บรรณานุกรม	111
ประวัติผู้เขียน	116

สารบัญตาราง

หน้า

ตารางที่ 1 ตารางระยะเวลาดำเนินงานวิจัย.....	6
ตารางที่ 2 ตารางแสดงการดำเนินการทางเมทริกซ์สำหรับการประกอบวงจรควบคุมตั้มแบบต่างๆ ..	14
ตารางที่ 3 ตารางแสดงอัตราความผิดพลาดของเครื่องคอมพิวเตอร์เชิงควบคุมตั้มจำนวน 4 เครื่อง ของ IBMQ	43
ตารางที่ 4 ตารางแสดงการเบรียบเทียบจำนวน function evaluation (ครั้ง) ระหว่าง Classical cGA และ Quantum cGA สำหรับปัญหา One-max.....	45
ตารางที่ 5 สรุปต้นทุนวงจรควบคุมตั้ม จำแนกตามจำนวนคิวบิต จำนวนคิวบิตทด จำนวนเกต CNOT และความลึกของวงจร สำหรับขั้นตอนวิธีเชิงพันธุกรรมแบบกระซับชนิดควบคุมตั้ม	82
ตารางที่ 6 สรุปต้นทุนวงจรควบคุมตั้ม จำแนกตามจำนวนคิวบิต จำนวนคิวบิตทด จำนวนเกต CNOT และความลึกของวงจร สำหรับขั้นตอนวิธีเชิงพันธุกรรมแบบกระซับชนิดควบคุมตั้มเวอร์ชันปรับปรุง 107	



สารบัญภาพ

หน้า

ภาพที่ 1 ทรงกลมโบลซแสดงสถานะของคิวบิต $ \varphi\rangle$	15
ภาพที่ 2 ทรงกลมโบลซแสดงสถานะของคิวบิตที่ใกล้เคียงกับสถานะ $ 1\rangle$ มากกว่าสถานะ $ 0\rangle$	16
ภาพที่ 3 วงจรไดอะแกรมสำหรับ Grover's algorithm[8]	18
ภาพที่ 4 วงจร QFT สำหรับแปลงจากพื้นฐานการคำนวณทั่วไปเป็นพื้นฐานการคำนวณฟูริเยร์สำหรับ 3 คิวบิต	19
ภาพที่ 5 วงจร QFT^+ สำหรับแปลงจากพื้นฐานการคำนวณฟูริเยร์ไปเป็นพื้นฐานการคำนวณทั่วไปสำหรับ 3 คิวบิต	20
ภาพที่ 6 วงจربวกเชิงค้อนต้มสำหรับ 2 คิวบิต.....	21
ภาพที่ 7 โครงสร้างทั่วไปของขั้นตอนวิธีเชิงพันธุกรรม (Genetic algorithm) ที่ใช้การคัดเลือกแบบ tournament selection	22
ภาพที่ 8 การแทนค่าคำตอบด้วยเวกเตอร์ความน่าจะเป็นตามความยาวของโครโนไซม	24
ภาพที่ 9 โครงสร้างทั่วไปของขั้นตอนวิธีเชิงพันธุกรรมแบบกระชับ (Compact genetic algorithm)	24
ภาพที่ 10 การนำ qubit rotation มาใช้ปรับสถานะเวกเตอร์ของคิวบิตโดยปรับ $\pi/4$	29
ภาพที่ 11 การแทนประชากรของขั้นตอนวิธีเชิงพันธุกรรมแบบเดิมที่มีโครงโนไซมยาว 5 บิต	33
ภาพที่ 12 เวคเตอร์ความน่าจะเป็นของขั้นตอนวิธีเชิงพันธุกรรมแบบเดิมที่มีโครงโนไซมยาว 5 บิต..	34
ภาพที่ 13 แสดงรายการที่ต้องการค้นหา(w) โดยกำหนดเป็นสีชมพู ขณะที่รายการอื่นเป็นสีเทา[41]	35
ภาพที่ 14 แสดงค่าแอมเพลจูดเริ่มต้นของทุกสถานะสำหรับ 2 คิวบิต และปริภูมิเวกเตอร์ในระบบ 2 มิติของ $ w\rangle$ และ $ \psi_0\rangle$ [41].....	37
ภาพที่ 15 แสดงการเปลี่ยนค่าแอมเพลจูดเมื่อประยุกต์ oracle reflection ครั้งที่ 1[41]	38
ภาพที่ 16 แสดงการเปลี่ยนค่าแอมเพลจูดเมื่อประยุกต์ oracle reflection ครั้งที่ 2[41]	39

ภาพที่ 17 แสดงตัวอย่างวงจร Grover ของ IBM สำหรับ 2 คิวบิตที่มีสถานะที่ต้องการคือ 00[41] 39	46
ภาพที่ 18 Histogram แสดงการกระจายตัวของค่าความน่าจะเป็นของเวกเตอร์สถานะ 4 คิวบิต ที่ generation 1	46
ภาพที่ 19 Histogram แสดงการกระจายตัวของค่าความน่าจะเป็นของเวกเตอร์สถานะ 4 คิวบิต ที่ generation 2	46
ภาพที่ 20 Histogram แสดงการกระจายตัวของค่าความน่าจะเป็นของเวกเตอร์สถานะ 4 คิวบิต ที่ generation 3	47
ภาพที่ 21 Histogram แสดงการกระจายตัวของค่าความน่าจะเป็นของเวกเตอร์สถานะ 4 คิวบิต ที่ generation 4	47
ภาพที่ 22 Histogram แสดงการกระจายตัวของค่าความน่าจะเป็นของเวกเตอร์สถานะ 5 คิวบิต ที่ generation 1	48
ภาพที่ 23 Histogram แสดงการกระจายตัวของค่าความน่าจะเป็นของเวกเตอร์สถานะ 5 คิวบิต ที่ generation 2	48
ภาพที่ 24 Histogram แสดงการกระจายตัวของค่าความน่าจะเป็นของเวกเตอร์สถานะ 5 คิวบิต ที่ generation 3	49
ภาพที่ 25 Histogram แสดงการกระจายตัวของค่าความน่าจะเป็นของเวกเตอร์สถานะ 5 คิวบิต ที่ generation 4	49
ภาพที่ 26 Histogram แสดงการกระจายตัวของค่าความน่าจะเป็นของเวกเตอร์สถานะ 5 คิวบิต ที่ generation 5	50
ภาพที่ 27 Histogram แสดงการกระจายตัวของค่าความน่าจะเป็นของเวกเตอร์สถานะ 5 คิวบิต ที่ generation 6	50
ภาพที่ 28 Histogram แสดงการกระจายตัวของค่าความน่าจะเป็นของเวกเตอร์สถานะ 6 คิวบิต ที่ generation 1	51
ภาพที่ 29 Histogram แสดงการกระจายตัวของค่าความน่าจะเป็นของเวกเตอร์สถานะ 6 คิวบิต ที่ generation 3	51
ภาพที่ 30 Histogram แสดงการกระจายตัวของค่าความน่าจะเป็นของเวกเตอร์สถานะ 6 คิวบิต ที่ generation 6	52

ภาพที่ 31 Histogram แสดงการกระจายตัวของค่าความน่าจะเป็นของเวกเตอร์สถานะ 6 คิวบิต ที่ generation 9	52
ภาพที่ 32 Histogram แสดงการกระจายตัวของค่าความน่าจะเป็นของเวกเตอร์สถานะ 6 คิวบิต ที่ generation 11	53
ภาพที่ 33 Histogram แสดงการกระจายตัวของค่าความน่าจะเป็นของเวกเตอร์สถานะ 6 คิวบิต ที่ generation 13	53
ภาพที่ 34 แผนภาพวงจรควบคุมต้มสำหรับกำหนดสถานะเริ่มต้นของคิวบิต	60
ภาพที่ 35 แผนผังวงจรควบคุมต้มแสดงเกต CNOT	65
ภาพที่ 36 วงจรควบคุมต้มแสดงฟังก์ชันໂอราเคิลสำหรับตรวจสอบสถานะควบคุมต้มที่แทนรูปแบบ คำตอบที่เป็น feasible path สำหรับปัญหา TSP ขนาด 3 เมือง	66
ภาพที่ 37 ตัวอย่างวงจรควบคุมต้มส่วนของ Diffusion operator ในอัลกอริทึมการค้นหาของกร เวอร์ สำหรับปัญหา TSP ขนาด 3 เมือง	67
ภาพที่ 38 วงจรควบคุมต้มแสดงส่วนการทำงานของอัลกอริทึมการค้นหาของกรเวอร์ สำหรับปัญหา TSP ขนาด 3 เมือง	68
ภาพที่ 39 โค้ดเตรียมของขั้นตอนวิธีเชิงพันธุกรรมแบบกระซับชนิดควบคุมต้ม (Grover-assisted cGA*)	70
ภาพที่ 40 แผนผังแสดงขั้นตอนการทำงานของขั้นตอนวิธีเชิงพันธุกรรมแบบกระซับชนิดควบคุมต้ม [*] กรอบเส้นประคือประมวลผลบนเครื่อง IBM QASM simulator	71
ภาพที่ 41 Application architecture ของขั้นตอนวิธีเชิงพันธุกรรมแบบกระซับชนิดควบคุมต้ม	72
ภาพที่ 42 โค้ดเตรียมของขั้นตอนวิธีเชิงพันธุกรรมแบบกระซับชนิดดึงเดิมที่มีการคัดเลือกคำตอบ (cGA*)	74
ภาพที่ 43 ปัญหา TSP ขนาด 3 เมือง ที่ใช้เป็นต้นแบบในการทดลองสำหรับงานวิจัยนี้	75
ภาพที่ 44 ปัญหา TSP ขนาด 4 เมือง ที่ใช้เป็นต้นแบบในการทดลองสำหรับงานวิจัยนี้	75
ภาพที่ 45 กราฟแสดงผลการเปรียบเทียบความถูกต้องของคำตอบ (จำนวนบิตที่ถูกต้องเป็น เปอร์เซ็นต์เมื่อสิ้นสุดการทำงาน) ระหว่าง cGA* และ Grover-assisted cGA* สำหรับปัญหา TSP ขนาด 3 เมือง	78

ภาพที่ 46 กราฟแสดงผลการเปรียบเทียบจำนวนครั้งในการประเมินค่าความเหมาะสมจนกระทั่งสิ้นสุดการทำงาน ระหว่าง cGA* และ Grover-assisted cGA* สำหรับปัญหา TSP ขนาด 3 เมือง	79
ภาพที่ 47 กราฟแสดงผลการเปรียบเทียบความถูกต้องของคำตอบ (จำนวนบิตที่ถูกต้องเป็นเปอร์เซ็นต์เมื่อสิ้นสุดการทำงาน) ระหว่าง cGA* และ Grover-assisted cGA* สำหรับปัญหา TSP ขนาด 4 เมือง	80
ภาพที่ 48 กราฟแสดงผลการเปรียบเทียบจำนวนครั้งในการประเมินค่าความเหมาะสมจนกระทั่งสิ้นสุดการทำงาน ระหว่าง cGA* และ Grover-assisted cGA* สำหรับปัญหา TSP ขนาด 4 เมือง	80
ภาพที่ 49 ตัวอย่างเมทริกซ์ของเส้นทางการเดินทาง $1 \rightarrow 2 \rightarrow 3 \rightarrow 4 \rightarrow \dots$	82
ภาพที่ 50 การหาระยะทางของปัญหา TSP 4 เมือง โดยใช้วงจรบางที่ใช้แนวคิด ควบคุมต้มฟูรีเยร์ ทรานส์ฟอร์ม	88
ภาพที่ 51 เกต majority (MAJ).....	89
ภาพที่ 52 วงจร quantum comparator สำหรับ 4 คิวบิต โดยใช้ Cuccaro adder[48]	90
ภาพที่ 53 โค้ดเทียมของขั้นตอนวิธีเชิงพันธุกรรมแบบกระซับชนิดควบคุม (เวอร์ชันปรับปรุง)	92
ภาพที่ 54 แผนผังแสดงขั้นตอนการทำงานของขั้นตอนวิธีเชิงพันธุกรรมแบบกระซับชนิดควบคุม (เวอร์ชันปรับปรุงฟังก์ชันโอลาราเคิล) กรอบเส้นประคือประมาณผลบนเครื่อง IBM QASM simulator	93
ภาพที่ 55 ปัญหา TSP ขนาด 5 เมือง ที่ใช้เป็นต้นแบบในการทดลองสำหรับงานวิจัยนี้	95
ภาพที่ 56 กราฟแสดงผลการเปรียบเทียบความถูกต้องของคำตอบ (จำนวนบิตที่ถูกต้องเป็นเปอร์เซ็นต์เมื่อสิ้นสุดการทำงาน) ระหว่าง cGA* และ new Grover-assisted cGA* สำหรับปัญหา TSP ขนาด 3 เมือง	97
ภาพที่ 57 กราฟแสดงผลจำนวนรอบของกราวเวอร์ที่ใช้ของ new Grover-assisted cGA* จำนวน 1 ช็อต จนกระทั่งสิ้นสุดการทำงานในแต่ละขนาดของประชากร สำหรับปัญหา TSP ขนาด 3 เมือง..	98
ภาพที่ 58 กราฟแสดงผลการเปรียบเทียบจำนวนครั้งในการประเมินค่าความเหมาะสมจนกระทั่งสิ้นสุดการทำงาน ระหว่าง cGA* และ new Grover-assisted cGA* สำหรับปัญหา TSP ขนาด 3 เมือง	98
ภาพที่ 59 กราฟแสดงผลการเปรียบเทียบความถูกต้องของคำตอบ (จำนวนบิตที่ถูกต้องเป็นเปอร์เซ็นต์เมื่อสิ้นสุดการทำงาน) ระหว่าง cGA* และ new Grover-assisted cGA* สำหรับปัญหา TSP ขนาด 4 เมือง	101

ภาพที่ 60 กราฟแสดงผลการเปรียบเทียบจำนวนรอบของโกรเวอร์ที่ใช้ของ new Grover-assisted cGA* จำนวน 1 ช็อต 10 ช็อต และ 20 ช็อต จนกระทั่งสิ้นสุดการทำงานในแต่ละขนาดของประชากรสำหรับปัญหา TSP ขนาด 4 เมือง.....	101
ภาพที่ 61 กราฟแสดงผลการเปรียบเทียบจำนวนครั้งในการประเมินค่าความเหมาะสมจนกระทั่งสิ้นสุดการทำงาน ระหว่าง cGA* และ new Grover-assisted cGA* สำหรับปัญหา TSP ขนาด 4 เมือง.....	102
ภาพที่ 62 กราฟแสดงผลการเปรียบเทียบความถูกต้องของคำตอบ (จำนวนบิตที่ถูกต้องเป็นเบอร์เซ็นต์เมื่อสิ้นสุดการทำงาน) ระหว่าง cGA* และ new Grover-assisted cGA* สำหรับปัญหา TSP ขนาด 5 เมือง	104
ภาพที่ 63 กราฟแสดงผลการเปรียบเทียบจำนวนรอบของโกรเวอร์ที่ใช้ของ new Grover-assisted cGA* จำนวน 1,024 ช็อต 2,000 ช็อต 3,000 ช็อต และ 4,000 ช็อต จนกระทั่งสิ้นสุดการทำงานในแต่ละขนาดของประชากร สำหรับปัญหา TSP ขนาด 5 เมือง.....	105
ภาพที่ 64 กราฟแสดงผลการเปรียบเทียบจำนวนครั้งในการประเมินค่าความเหมาะสมจนกระทั่งสิ้นสุดการทำงาน ระหว่าง cGA* และ new Grover-assisted cGA* สำหรับปัญหา TSP ขนาด 5 เมือง	105

บทที่ 1

บทนำ

1.1 ที่มาและความสำคัญของปัญหา

ปัจจุบันนี้คอมพิวเตอร์กล้ายเป็นเครื่องมือหลักทั้งด้านการทำงานและความบันเทิงของมนุษย์ คอมพิวเตอร์ได้เข้ามามีบทบาทในการทำงานแทนมนุษย์หลายลักษณะ เช่น การทำงานที่เสียง อันตราย การคำนวณทางวิศวกรรม การคำนวณทางสถิติ การทำธุรกิจทั้งภายในและภายนอกองค์กร การสร้างงานศิลปะ การออกแบบสื่อสิ่งพิมพ์ การติดต่อสื่อสารผ่านเครือข่ายอินเทอร์เน็ต การจัดการ งานเอกสาร เป็นต้น รวมถึงการใช้งานคอมพิวเตอร์ในด้านความบันเทิง เช่น ดูหนัง พังเพลิง ชม รายการต่างๆ ของสถานีโทรทัศน์ และเล่นเกมผ่านคอมพิวเตอร์ ด้วยเหตุนี้คอมพิวเตอร์จึงถูกพัฒนา ให้มีความสามารถในการทำงานที่รวดเร็ว ถูกต้อง แม่นยำ เก็บข้อมูลได้มากมายมหาศาล และทำงาน ได้โดยอัตโนมัติ อย่างไรก็ตามความเร็วของคอมพิวเตอร์ในอดีตถึงปัจจุบันเกิดจากการพัฒนาให้ระบบ ประมวลผลมีขนาดเล็กลงและเร็วขึ้นเรื่อยๆ เช่น หน่วยประมวลผลของสมาร์ทโฟนที่เร็วขึ้นทุกๆ ปี เป็นต้น ปัจจุบันทราบชิสเตรอร์หรือหน่วยประมวลผลมีขนาดเหลือประมาณ 70 อะตอมของชิลิคอน เท่านั้น[1] ปัญหาคือเมื่อพัฒนาไปถึงจุดหนึ่งจนหน่วยประมวลผลเล็กลงไปเหลือเพียง 1 อะตอมของ ชิลิคอน จะเริ่มส่งผลกระทบต่อความสามารถเสถียรของการคำนวณบิต 0 กับ 1 และพิสิกส์ในชีวิตประจำวันอาจไม่ สามารถอธิบายปรากฏการณ์ต่างๆ ที่เกิดขึ้นภายในวงจรได้อีกต่อไป จากข้อจำกัดดังกล่าว นักวิทยาศาสตร์และวิศวกรจึงมีการทำวิจัยร่วมกันเพื่อพัฒนาคอมพิวเตอร์แบบใหม่ที่สามารถใช้ ทรานซิสเตรอร์ขนาดเทียบเท่าอะตอม และยังสามารถทำงานอย่างเสถียรได้ ซึ่งเป็นต้องใช้ความรู้ พื้นฐานจากกลศาสตร์ควอนตัม (Quantum mechanics) เพื่ออธิบายการทำงานของทรานซิสเตรอร์ ดังกล่าว เราเรียกคอมพิวเตอร์ที่มีหน่วยประมวลผลประกอบด้วยทรานซิสเตรอร์ขนาดเล็กระดับอะตอม นี้ว่า “คอมพิวเตอร์เชิงควอนตัม” (Quantum computer)

“Quantum computing” คือระบบคอมพิวเตอร์ที่เปลี่ยนจากการทำงานบนແง่วงจำรามาใช้ คุณสมบัติพิเศษของอะตอมที่เรียกว่า “Quantum superposition” โดยจากเดิมที่คอมพิวเตอร์ ปัจจุบันจะแทนค่าข้อมูลด้วยบิต อันประกอบด้วยตัวเลข 0 กับ 1 ที่ลับตัวแล้วนำไปประกอบกัน แต่ ระบบ Quantum computing จะใช้อะตอมที่มีคุณสมบัติการซ่อนหัวของควอนตัม (Quantum superposition) เรียกว่าควอนตัมบิต หรือ คิวบิต ซึ่งเป็นหน่วยประมวลผลที่เล็กที่สุดของ

คอมพิวเตอร์เชิงความต้ม สามารถประมวลผลเป็นตัวเลข 0 หรือ 1 พร้อมกันได้[2] คุณสมบัติดังกล่าวทำให้แต่ละคิวบิตทำงานได้เร็วกว่าบิตอย่างมหาศาล ยกตัวอย่างเช่น Quantum device ที่ประกอบด้วย 32 คิวบิต ทำให้ได้ระบบที่อยู่ในสภาพวัชอนทับของ $4,294,967,296$ สถานะอยู่ในเวลาเดียวกัน และจะปรากฏแบบที่ขัดเจนก็ต่อเมื่อถูกสังเกต (Observe) แล้วเท่านั้น เมื่อสถานะข้อนทับถูกสังเกต หรือถูกกระบวนการจากสภาพภายนอกก็จะเกิดการยุบตัวของสถานะ (Collapses) เหลือเพียงค่า 1 หรือ 0 อย่างใดอย่างหนึ่ง นอกจากนี้คิวบิตยังมีคุณสมบัติการพัวพันในเชิงความต้ม (Quantum entanglement) ทำให้สามารถสื่อสารกับอะตอมที่เป็นคิวบิตด้วยกันได้โดยไม่ต้องผ่านสื่อกลาง ทำให้คิวบิตสามารถประมวลผลร่วมกันได้ราบรื่นและรวดเร็ว รวมถึงรองรับการทำงานแบบ Multitasking ได้ง่ายกว่า เมื่อปี 2015 Google ประกาศว่าการคำนวนแบบ Quantum annealing ของ D-Wave 2X ทำงานได้เร็วกว่า Simulated annealing ของคอมพิวเตอร์ทั่วไปถึง $100,000,000$ เท่า[3] แต่อย่างไรก็ตามระบบ Quantum computing ก็มีข้อจำกัดอยู่ เช่น ตัวคิวบิตที่มีขนาดเล็กกว่าอะตอมและประมาณ หากมีสิ่งรบกวนเพียงเล็กน้อย คิวบิต ดังกล่าวก็จะหายไปพร้อมข้อมูลภายใน อีกทั้งยังไม่พบวิธีการคัดลอกคิวบิตเพื่อสำรองข้อมูลโดยสมบูรณ์ นอกจากนี้การเก็บรักษาคิวบิตให้พร้อมใช้งาน จำเป็นต้องเก็บอยู่ในอุณหภูมิศูนย์องศาสัมบูรณ์หรือ -273.15 องศาเซลเซียส

งานวิจัยเกี่ยวกับการนำ Quantum มาใช้กับคอมพิวเตอร์ เริ่มตั้งแต่ปี 1980 แต่เนื่องจากสมัยนั้นมีความซับซ้อนทางฟิสิกส์ค่อนข้างสูงมาก รวมถึงต้องทำงานวิจัยในสภาพแวดล้อมที่เหมาะสม การวิจัยจึงยังอยู่ในวงจำกัด ต่อมามีเทคโนโลยีพัฒนาขึ้นงานวิจัยเกี่ยวกับระบบ Quantum computing จึงได้รับการพัฒนาต่อโดยบริษัทใหญ่ๆ และประเทศไทยก็จัดทำ ตัวอย่างการนำระบบ Quantum computing ไปใช้ในด้านต่างๆ เช่น ระบบ Online security ที่ใช้ Quantum computing ในการถอดรหัสภายในเวลาอันรวดเร็ว การเร่งกระบวนการเรียนรู้ของ AI หรือปัญญาประดิษฐ์ให้เร็วกว่าที่เป็นอยู่เพื่อแก้ปัญหาเฉพาะหน้าได้ดียิ่งขึ้น การทดลองทางเคมีเพื่อพัฒนายาரักษาโรคซึ่งต้องอาศัยการคำนวนอันละเอียดและแม่นยำ Quantum Computing "ไม่เพียงแต่ทำได้รวดเร็ว แต่ยังสามารถคำนวนค่าต่างๆ พร้อมกัน อีกทั้งในอนาคตการออกแบบยาарักษาโรคจะลงลึกไปถึงในระดับวิเคราะห์ DNA เพื่อผลิตยาที่เหมาะสมกับแต่ละคน และการนำไปใช้พัฒนาการพยากรณ์อากาศให้แม่นยำยิ่งขึ้น โดยปัจจุบัน หน่วยงานพยากรณ์อากาศแห่งชาติของสหราชอาณาจักรได้นำเทคโนโลยี Quantum computing มาใช้เพื่อจำลองแนวโน้มสภาพอากาศในปัจจุบัน

ทำให้มีข้อมูลมากพอจะคาดเดาอาการได้แม่นยำขึ้น นอกจากนี้ระบบ Quantum computing สามารถนำมาใช้ประเมินเส้นทางให้เราเดินทางได้ประสิทธิภาพสูงสุด ช่วยประหยัดเวลา ลดค่าใช้จ่าย เพิ่มความปลอดภัยให้ผู้ใช้งานบันวิธีการจราจรอัตโนมัติขึ้นทุกวัน[4]

การคำนวณทางคุณต้ม (Quantum computing) มีการใช้งานอัลกอริทึมคุณต้มเพื่อการประมวลผลที่รวดเร็วขึ้น เช่น อัลกอริทึมการค้นหาของ Grover (Grover's Search Algorithm) และ อัลกอริทึมการแยกตัวประกอบที่รวดเร็วของ Shor (Shor's Fast Factoring Algorithm) นอกจากนี้ Genetic Algorithm (GA) ซึ่งเป็นอัลกอริทึมการค้นหาพื้นฐานที่ใช้หลักการวิวัฒนาการทางชีววิทยา เช่น การคัดเลือกโดยธรรมชาติ (Natural selection) การถ่ายทอดทางพันธุกรรม (Genetic inheritance) และการกลายพันธุ์ (Mutation) ก็ได้ถูกพัฒนามามาใช้กับงานวิจัยทางด้านคุณต้ม เช่น Quantum Genetic Optimization Algorithm[5] ที่มีการเพิ่มประสิทธิภาพของขั้นตอนวิธีทางพันธุกรรมคลาสิกโดยใช้ประโยชน์จากอัลกอริทึมการค้นหาของ Grover ใน การจำกัดฟังก์ชันพิตเนสที่มีค่าความเหมาะสมสมสูงเพื่อเร่งความเร็วในการหาคำตอบที่เหมาะสมที่สุดด้วยขั้นตอนทางพันธุกรรม

งานวิจัยนี้ต้องการนำเสนอขั้นตอนวิธีทางพันธุกรรมแบบกระชับชนิดคุณต้มสำหรับปัญหา ยาก ได้แก่ปัญหาการเดินทางของพนักงานขาย (Travelling salesman problem) โดยเป็นการนำขั้นตอนวิธีทางพันธุกรรมแบบกระชับ (Compact genetic algorithm) มาประยุกต์ใช้กับอัลกอริทึมคุณต้มคืออัลกอริทึมการค้นหาของ Grover เพื่อช่วยในการหาคำตอบที่ดีที่สุดของปัญหาการเดินทางของพนักงานขายภายในเวลาอันรวดเร็ว และใช้จำนวนครั้งที่ประเมินค่าความเหมาะสม (function evaluation) น้อยกว่าขั้นตอนวิธีทางพันธุกรรมแบบกระชับที่ประมวลผลอยู่บนคอมพิวเตอร์ตั้งเดิม (Classical computer) โดยสามารถโปรแกรมขั้นตอนวิธีทางพันธุกรรมแบบกระชับชนิดคุณต้มและทำงานจริงบนเครื่อง IBMQ QASM simulator ของไอบีเอ็มได้ สำหรับคอมพิวเตอร์ตั้งเดิม Compact Genetic Algorithm (cGA) เป็นอัลกอริทึมที่แทนโครงสร้างของประชากรด้วยเวกเตอร์ความน่าจะเป็น ทำให้ cGA สามารถทำงานได้ในพื้นที่หน่วยความจำที่มีขนาดเล็กกว่า Genetic Algorithm (GA) แต่สำหรับคอมพิวเตอร์เชิงคุณต้ม cGA จะแทนโครงสร้างของประชากรด้วยมุมเวกเตอร์สถานะของคิวบิตใน Quantum register ซึ่งเป็นวิธีเดียวกันกับที่ใช้ในงานวิจัย[6] งานวิจัยนี้ถูกทดสอบบนเครื่อง IBMQ QASM simulator เนื่องจากปัญหาการเดินทางของพนักงานขาย ซึ่งเป็นปัญหาต้นแบบที่ผู้วิจัยใช้สำหรับงานวิจัยนี้ จำเป็นต้องใช้คิวบิตจำนวนมากใน

การประมวลผลข้อมูล ดังนั้นเครื่อง IBMQ QASM simulator จึงมีความเหมาะสมที่สุด เพราะสามารถรองรับจำนวนคิวบิตได้มากถึง 32 คิวบิต และผู้วิจัยท่วงไปสามารถใช้งานได้โดยไม่มีค่าใช้จ่าย ผู้วิจัยได้ทำการเปรียบเทียบประสิทธิภาพการประมวลผลระหว่างการใช้ขั้นตอนวิธีทางพัฒนารูปแบบระบบชั้บชั้นดั้งเดิม (Classical cGA) และขั้นตอนวิธีทางพัฒนารูปแบบระบบกระชั้บชั้นนิดความต้ม (Quantum cGA) ใน 2 ด้าน ได้แก่ ความถูกต้องของคำตอบ (accuracy) และจำนวนครั้งที่ประเมินค่าความเหมาะสม (function evaluation) จนได้คำตอบที่เหมาะสมที่สุด

1.2 วัตถุประสงค์ของงานวิจัย

- 1.2.1 นำเสนอขั้นตอนวิธีเชิงพัฒนารูปแบบระบบกระชั้บชั้นนิดความต้มสำหรับปัญหายากที่สามารถประมวลผลได้จริงบนเครื่องคอมพิวเตอร์เชิงความต้มของไออีเอ็มและหรือเครื่องคอมพิวเตอร์เชิงความต้มจำลองของไออีเอ็ม
- 1.2.2 วิเคราะห์ประสิทธิภาพขั้นตอนวิธีเชิงพัฒนารูปแบบระบบกระชั้บชั้นนิดดั้งเดิมใน 2 ด้าน ได้แก่ ความถูกต้องของคำตอบ (accuracy) และจำนวนครั้งที่ประเมินค่าความเหมาะสม (function evaluation) จนได้คำตอบที่เหมาะสม

1.3 ขอบเขตของงานวิจัย

- 1.3.1 นำเสนอขั้นตอนวิธีเชิงพัฒนารูปแบบระบบกระชั้บชั้นนิดความต้ม
- 1.3.2 ศึกษาการนำขั้นตอนวิธีเชิงพัฒนารูปแบบระบบกระชั้บชั้นนิดความต้มมาหาคำตอบของปัญหาง่ายและยาก ได้แก่ One-max และ Travelling salesman problem (TSP)
- 1.3.3 แสดงผลการหาคำตอบของปัญหาโดยขั้นตอนวิธีเชิงพัฒนารูปแบบระบบกระชั้บชั้นนิดความต้ม พร้อมวิเคราะห์ประสิทธิภาพของขั้นตอนวิธีที่นำเสนอ

1.4 ขั้นตอนและวิธีการดำเนินงานวิจัย

- 1.4.1 ศึกษาข้อมูลเกี่ยวกับการประมวลผลเชิงความต้ม (Quantum Computing) ข้อมูลความต้ม (Quantum Information) วงจรความต้ม (Quantum Circuit) และความต้มเรจิสเตรอร์ (Quantum register)
- 1.4.2 ศึกษางานวิจัยที่เกี่ยวข้อง

- 1.4.3 ศึกษาเครื่องมือและโปรแกรมที่ใช้สำหรับงานวิจัย
- 1.4.4 ศึกษาขั้นตอนวิธีเชิงพันธุกรรมแบบกราฟชับ (cGA) สำหรับปัญหาจ่ายและยก
- 1.4.5 วิเคราะห์และออกแบบขั้นตอนวิธีเชิงพันธุกรรมแบบกราฟชับชนิดค่อนต้มเพื่อหาคำตอบของปัญหาจ่าย
- 1.4.6 พัฒนาขั้นตอนวิธีเชิงพันธุกรรมแบบกราฟชับชนิดค่อนต้มเพื่อหาคำตอบของปัญหาจ่าย
- 1.4.7 ทดสอบและประเมินผลขั้นตอนวิธีเชิงพันธุกรรมแบบกราฟชับชนิดค่อนต้มเพื่อหาคำตอบของปัญหาจ่าย
- 1.4.8 พัฒนาขั้นตอนวิธีเชิงพันธุกรรมแบบกราฟชับชนิดค่อนต้มเพื่อหาคำตอบของปัญหาจ่าย
- 1.4.9 ทดสอบและประเมินผลขั้นตอนวิธีเชิงพันธุกรรมแบบกราฟชับชนิดค่อนต้มเพื่อหาคำตอบของปัญหาจ่าย
- 1.4.10 ปรับปรุงประสิทธิภาพของขั้นตอนวิธีที่นำเสนอ
- 1.4.11 สรุปผลและจัดทำวิทยานิพนธ์
- 1.4.12 เผยแพร่ผลงานตีพิมพ์

1.5 ประโยชน์ที่คาดว่าจะได้รับจากการวิจัย

- 1.5.1 ได้ศึกษาการนำขั้นตอนวิธีเชิงพันธุกรรมแบบกราฟชับมาประยุกต์ใช้กับอัลกอริทึมการค้นหาของ Grover เพื่อให้ได้ขั้นตอนวิธีเชิงพันธุกรรมแบบกราฟชับชนิดค่อนต้มที่สามารถประมวลผลได้จริงบนเครื่องคอมพิวเตอร์เชิงค่อนต้มของไอบีเอ็มและหรือเครื่องคอมพิวเตอร์เชิงค่อนต้มแบบจำลองของไอบีเอ็ม
- 1.5.2 ได้ขั้นตอนวิธีเชิงพันธุกรรมแบบกราฟชับชนิดค่อนต้มที่สามารถหาคำตอบของปัญหาจ่ายได้อย่างถูกต้องและมีประสิทธิภาพดีกว่าขั้นตอนวิธีเชิงพันธุกรรมแบบกราฟชับตั้งเดิม (cGA) ในแง่ของความถูกต้องของคำตอบ
- 1.5.3 วิธีการที่นำเสนอสามารถนำไปประยุกต์ใช้เพื่อหาคำตอบของปัญหาการหาค่าเหมาะสม (optimization problem) อื่นๆได้

1.6 รายชื่อผลงานที่ได้เผยแพร่ข้อมูลที่กำลังดำเนินงานวิจัย

ส่วนหนึ่งของงานวิจัยนี้ได้รับการตอบรับให้ตีพิมพ์เป็นบทความทางวิชาการในหัวข้อเรื่อง “Exploiting Building Blocks in Hard Problems with Modified Compact Genetic Algorithm” โดย กมลลักษณ์ สุขเสนอ และ ประภาส จงสถิตย์วัฒนา ในงานประชุมวิชาการ “The 15th International Joint Conference on Computer Science and Software Engineering (JCSSE2018)” ณ คณะเทคโนโลยีสารสนเทศและการสื่อสาร มหาวิทยาลัยมหิดล วิทยาเขตศาลายา จังหวัดนครปฐม ในระหว่างวันที่ 11-13 กรกฎาคม 2561

1.7 ตารางระยะเวลาดำเนินงานวิจัย

ขั้นตอนการทำงาน/ ภาคการศึกษา	ภาคการศึกษา 1/2561					ภาคการศึกษา 2/2561 – 1/2564					ภาค การศึกษา 2/2564
1. จัดทำโครงร่าง วิทยานิพนธ์											
2. สອบโครงร่างและ ปรับแก้วิทยานิพนธ์											
3. ดำเนินตามแผนวิจัย											
3.1 ทำการปรับปรุง ขั้นตอนวิธีที่นำเสนอ สำหรับปัญหายากให้ ครบตามที่เสนอ											
3.2 วิเคราะห์ผล และ [*] สรุปผล											
4. เตรียมบทความเพื่อ [*] ตีพิมพ์วารสาร											
5. เตรียมทำเล่ม วิทยานิพนธ์ฉบับ [*] สมบูรณ์											

ตารางที่ 1 ตารางระยะเวลาดำเนินงานวิจัย



1.8 รายละเอียดเนื้อหาในวิทยานิพนธ์

สาระสำคัญของวิทยานิพนธ์ฉบับนี้มีรายละเอียดดังนี้

1.8.1 ขั้นตอนวิธีเชิงพันธุกรรมแบบกระชับชนิดค่อนต้ม (Grover-assisted compact genetic algorithm) สำหรับแก้ปัญหายาก โดยนำการประมวลผลเชิงค่อนต้มมาใช้สำหรับสร้างครอโนโซม เนื่องจากผู้วิจัยเลือกใช้ selection rate เท่ากับ 2 ตั้งนั้นจึงต้องมีการสร้างครอโนโซมมา 2 ตัว เพื่อทำการเปรียบเทียบกัน สำหรับครอโนโซมแรก (first individual) เป็นการนำค่าความน่าจะเป็นในเวกเตอร์ความน่าจะเป็น มาแปลงเป็นค่ามุ่งสำหรับเป็นอินพุตของเกตค่อนต้มเพื่อหมุนคิวบิตให้ได้สถานะคิวบิตที่ต้องการ สำหรับครอโนโซมที่สอง (second individual) เป็นการนำอัลกอริทึมค่อนต้ม ได้แก่ อัลกอริทึมการค้นหาของกราเวอร์มาเป็นส่วนหนึ่งของการสร้าง second individual ในขั้นตอนวิธีเชิงพันธุกรรมแบบกระชับชนิดดังเดิม โดยอาศัยประโยชน์จากอัลกอริทึมการค้นหาของกราเวอร์ในการขยายสัญญาณแอมพลิจูดของสถานะค่อนต้มที่ทำให้ได้คำตอบที่เป็น feasible path สำหรับปัญหา TSP จากทั้งหมด 2^n รูปแบบ เมื่อ n คือจำนวนคิวบิตที่ใช้ในการแทนรูปแบบคำตอบโดยผลจากการขยายสัญญาณแอมพลิจูดทำให้ค่าความน่าจะเป็นของการวัดค่าสถานะค่อนต้มแล้วได้รูปแบบคำตอบที่เป็น feasible path สูงมากขึ้น โดยส่วนของการประมวลผลเชิงค่อนต้มถูกประมวลผลอยู่บนเครื่อง IBM QASM simulator จากนั้นจึงทำการเปรียบเทียบค่าความหมายสมรรถนะว่างครอโนโซมทั้งสองตัว และทำการอัปเดตเวกเตอร์ความน่าจะเป็นตามครอโนโซมที่ดีกว่า ซึ่งส่วนนี้จะทำงานบนคอมพิวเตอร์ดังเดิม เวกเตอร์ความน่าจะเป็นที่ถูกอัปเดตจะถูกนำมาใช้ในขั้นตอนกำหนดสถานะเริ่มต้นของคิวบิตในรอบถัดไป จากนั้นจึงดำเนินการสร้างครอโนโซมด้วยขั้นตอนดังที่กล่าวไปแล้วในข้างต้น กระบวนการดังกล่าวจะถูกวนซ้ำจนกว่าเวกเตอร์ความน่าจะเป็นถูเข้าค่า 1 หรือ 0

1.8.2 ผลการเปรียบเทียบประสิทธิภาพของขั้นตอนวิธีเชิงพันธุกรรมแบบกระชับชนิดดังเดิมที่มีการคัดเลือกครอโนโซมที่ดี (compact genetic algorithm with an elite) และ Grover-assisted compact genetic algorithm ในแง่ของความถูกต้องของคำตอบ (accuracy) และจำนวนครั้งที่ประเมินค่าความหมายสม (function evaluation) จะได้

คำตอบที่เหมาะสม พื้นที่ความซับซ้อนในเชิงความต้ม (quantum complexity)

1.8.3 การปรับปรุงฟังก์ชันอุร้าเดิลของ Grover-assisted compact genetic algorithm ให้สามารถใช้ประโยชน์จากการประมวลผลเชิงความต้มแบบขนาน (quantum parallelism) จากสถานะซ้อนทั้งหมดของคิวบิต (quantum superposition) ได้เต็มประสิทธิภาพมากขึ้น โดยทำให้ฟังก์ชันอุร้าเดิลสามารถคำนวณระยะทางของทุกๆ สถานะความต้มที่เป็นไปได้ในเวลาเดียวกัน โดยใช้หลักการของความต้มฟูรีเยอร์ทวนสปอร์ม และสามารถเปรียบเทียบสถานะความต้มดังกล่าวกับรูปแบบคำตอบที่ดีที่สุด ณ ปัจจุบัน โดยใช้ quantum comparator เพื่อช่วยให้ขั้นตอนวิธีเชิงพันธุกรรมแบบกระซับสามารถสร้าง second individual ที่มีแต่กว่ารูปแบบคำตอบที่ดีที่สุด ณ ปัจจุบัน

1.8.4 ผลการเปรียบเทียบประสิทธิภาพของขั้นตอนวิธีเชิงพันธุกรรมแบบกระซับชนิดดั้งเดิมที่มีการคัดเลือกโครโน่ไฮม์ทีดี (compact genetic algorithm with an elite) และ new Grover-assisted compact genetic algorithm ในแง่ของความถูกต้องของคำตอบ (accuracy) และจำนวนครั้งที่ประเมินค่าความเหมาะสม (function evaluation) จะได้คำตอบที่เหมาะสม พื้นที่ความซับซ้อนในเชิงความต้ม (quantum complexity)

บทที่ 2

ทฤษฎีเกี่ยวกับ

2.1 คุณสมบัติเชิงคณิตศาสตร์ของคิวบิต (Qubit)

คอมพิวเตอร์ที่เราใช้ในปัจจุบัน (classical computer) มีหน่วยเก็บข้อมูลที่เล็กที่สุดเรียกว่า “บิต” แต่สำหรับคอมพิวเตอร์เชิงความต้ม หน่วยเก็บข้อมูลที่เล็กที่สุดเรียกว่า “คิวบิต” คิวบิตคือ สถานะของอนุภาค (particle) เช่น ทิศทางที่อนุภาคเคลื่อนที่ไป หรือทิศทางการหมุนของอนุภาค แต่ สำหรับอนุภาคในระดับที่เล็กมากๆ เช่น อิเล็กตรอนนั้น อนุภาคนาจะมีการเคลื่อนที่หรือหมุนไปใน ส่องทิศทางได้พร้อมๆ กัน ซึ่งมีคุณสมบัติคล้ายกับคลื่น (Wave) เพราะคลื่นสามารถเคลื่อนที่ไปในทุก ทิศทางพร้อมๆ กันได้ เช่น คลื่นเสียง เป็นต้น ดังนั้นจึงอาจระบุได้ว่าอนุภาคก็สามารถประพฤติตัวเป็น คลื่นได้ เช่น กัน ดังจะเห็นได้จากการทดลองทางวิทยาศาสตร์หลายๆ ชิ้นบ่งชี้ว่า อิเล็กตรอนเป็นทั้งคลื่น และอนุภาคในเวลาเดียวกัน ถ้าเรามีปρบกวนอิเล็กตรอนโดยการพยายามวัดตำแหน่งหรือทิศ ทางการเคลื่อนที่ของมัน อิเล็กตรอนจะประพฤติตัวเป็นคลื่น คือเคลื่อนที่ไปในหลายทิศทาง และมีการ แทรกสอด (interference) ซึ่งเป็นพฤติกรรมปกติของคลื่น แต่ถ้าเราปρบกวนมัน อิเล็กตรอนจะ ประพฤติตัวเป็นอนุภาค คือมีตำแหน่งและทิศทางการเคลื่อนที่ที่แน่นอน อิเล็กตรอนจึงมีคุณสมบัติ เป็นได้ทั้งอนุภาคและคลื่นในเวลาเดียวกัน ซึ่งเป็นความจริงที่สามารถพิสูจน์ได้ด้วยการทดลองทาง วิทยาศาสตร์ง่ายๆ ทราบเท่าที่ยังไม่มีการทดลองหรือทฤษฎีใหม่ๆ มาหักล้าง

ปรากฏการณ์ที่นักฟิสิกส์ค้นพบว่าอิเล็กตรอนเป็นทั้งคลื่นและอนุภาคในเวลาเดียวกัน จึง นำมาสู่ปัญหารื่องการหาตัวแบบทางคณิตศาสตร์เพื่อมารอธิบายปรากฏการณ์ที่ค้นพบ ดังนั้นนักฟิสิกส์ จึงได้ประดิษฐ์ตัวแบบทางคณิตศาสตร์ขึ้นมาใหม่ เรียกว่า “state vector notation” ซึ่งเป็นที่มาของ “คิวบิต” หรือสถานะของอนุภาค สามารถเขียนอธิบายได้ดังนี้

$$|\varphi\rangle = \alpha|0\rangle + \beta|1\rangle \quad (1)$$

โดยที่ $|\rangle$ คือสัญลักษณ์เรียกว่า ket ค่าที่อยู่ภายใน ket คือสถานะที่เป็นไปได้ เช่น สถานะที่ เป็นไปได้ของคิวบิตคือ 0 หรือ 1 โดยที่

$$|0\rangle = \begin{bmatrix} 1 \\ 0 \end{bmatrix}, |1\rangle = \begin{bmatrix} 0 \\ 1 \end{bmatrix} \quad (2)$$

α, β คือแอมเพลจูด (amplitude) เป็นจำนวนเชิงซ้อน (complex number) เพื่อแทนทั้ง แอมเพลจูด (amplitude) และเฟส (phase) ของคลื่น โดยมีเงื่อนไขว่า

$$|\alpha|^2 + |\beta|^2 = 1 \quad (3)$$

โดยที่ $|\alpha|^2$ คือความน่าจะเป็นที่ถ้าเราดูจะสังเกตเห็นสถานะ $|0\rangle$ และ $|\beta|^2$ คือความน่าจะเป็นที่ถ้า เราดูจะสังเกตเห็นสถานะ $|1\rangle$ แต่ถ้าเราไม่ไปรบกวนหรือไม่ไปวัดมัน คิวบิตจะอยู่ในสถานะที่เรียกว่า Superposition คือเป็นทั้ง $|0\rangle$ และ $|1\rangle$ ในเวลาเดียวกัน โดยมีแอมเพลจูดเท่ากับ α และ β ตามลำดับ การดูจะเป็นการรับกวนคิวบิตทำให้สถานะ Superposition ยุบ (collapse) แล้วสถานะของคิวบิตจะกลายเป็น $|0\rangle$ หรือ $|1\rangle$ ตามความน่าจะเป็น

นอกจากการอธิบายสถานะของคิวบิตโดยใช้ state vector notation แล้ว เรายังสามารถ เขียนอธิบายสถานะของคิวบิตโดยใช้ density matrices ได้ ดังนี้

$$|\varphi_{AB}\rangle = \frac{1}{\sqrt{2}}(|00\rangle + |11\rangle) = \frac{1}{\sqrt{2}} \begin{bmatrix} 1 \\ 0 \\ 0 \\ 1 \end{bmatrix}$$

$$\rho_{AB} = |\varphi_{AB}\rangle\langle\varphi_{AB}|$$

$$\rho_{AB} = \frac{1}{\sqrt{2}} \begin{bmatrix} 1 \\ 0 \\ 0 \\ 1 \end{bmatrix} \left(\frac{1}{\sqrt{2}} [1 \ 0 \ 0 \ 1] \right) \quad (4)$$

$$\rho_{AB} = \frac{1}{2} \begin{bmatrix} 1 & 0 & 0 & 1 \\ 0 & 0 & 0 & 0 \\ 0 & 0 & 0 & 0 \\ 1 & 0 & 0 & 1 \end{bmatrix}$$

2.2 ควอนตัมเรจิสเตอร์ (Quantum register)

ควอนตัมเรจิสเตอร์คือการประกอบคิวบิตหลายๆตัวเข้าด้วยกัน เช่น ถ้าເອົາຄົວບິຕ 2 ตัวมารวมกัน สามารถเขียนອະນຸຍາໄດ້ດังนี้

$$\frac{1}{2}|00\rangle + \frac{1}{2}|01\rangle + \frac{1}{2}|10\rangle + \frac{1}{2}|11\rangle \quad (5)$$

ສັງເກດວ່າຜລຣມຂອງແອມພລິຈຸດຍກກຳລັງສອງ $\left(\frac{1}{2}\right)^2 + \left(\frac{1}{2}\right)^2 + \left(\frac{1}{2}\right)^2 + \left(\frac{1}{2}\right)^2 = 1$ ເສມອເພຣະ ເປັນຄວາມນ່າຈະເປັນ ແລະບາງສຖານະ ເຊັ່ນສຖານະຂ້າງຕົ້ນອາຈະແຍກຕ້ວປະກອບໄດ້ (Decomposable) ໄດ້ດັ່ງນີ້

$$\left(\frac{1}{\sqrt{2}}|0\rangle + \frac{1}{\sqrt{2}}|1\rangle\right)\left(\frac{1}{\sqrt{2}}|0\rangle + \frac{1}{\sqrt{2}}|1\rangle\right) \quad (6)$$

ວາງເລືບທາງໜ້າຍສື່ອຄົວບິຕຕ້ວແຮກ ວາງເລືບທາງຂວາສື່ອຄົວບິຕຕ້ວທີ່ສອງ ແຕ່ບາງສຖານະກີແຍກຕ້ວປະກອບໄນ້ໄດ້ ເຊັ່ນ EPR pair (Einstein, Podolsky, Rosen) ດັ່ງນີ້

$$\frac{1}{\sqrt{2}}|00\rangle + \frac{1}{\sqrt{2}}|11\rangle \quad (7)$$

ຈາກ (7) ມີຂໍ້ສັງເກດວ່າຄ້າວັດບິຕແຮກຂອງ EPR pair ໄດ້ 0 ທັ້ງສອງຄົວບິຕຈະຍຸບ (Collapse) ເປັນ $|00\rangle$ ທຳໄຫ້ບິຕທີ່ສອງເປັນ 0 ແນ່າ ໂດຍທີ່ໄໝຈຳເປັນຕົ້ນໄປວັດອີກ ທຳນອງເດີຍກັນກັບຮຽນທີ່ວັດບິຕແຮກຂອງ EPR pair ໄດ້ 1 ບິຕທີ່ສອງກີ່ຈະເປັນ 1 ເຊັ່ນເດີຍກັນ ດຳກຳມາທີ່ນັກວິທາສາຫະກິດຮັບສ້າງສັຍສື່ອຄົ້າຈັບສອງຄົວບິຕ (ສອງອຸ່ນໆການ ເຊັ່ນ ອີເລີກຕຣອນສອງຕ້ວ) ທີ່ເປັນ EPR pair ແຍກັນໄວ້ຄຸນລະສຸດຂອບຈັກຮວາລ ຈະຍັງມີພຸດທິກຣມເຊັ່ນນີ້ອີກຫຼືອ່າມ່າ

2.3 ວາງຈາກควอนตัม (Quantum circuit)

ວາງຈາກควอนตัมມີລັກຊະນະຄລ້າຍໆ ກັບວາງຈາກເຈິ່ງຜສນ (Combinatorial circuit) ກລ່າວຄືວາງຈາກທຳໜ້າທີ່ຮັບອິນພຸດ ແລະໃຫ້ເອົາຕົວອິນພຸດໄປ ຕ່າງກັນຕຽງທີ່ວາງຈາກควอนตัມຮັບອິນພຸດແລະເອົາຕົວພຸດເປັນຄົວບິຕ

ถ้าเขียนอธิบายด้วยสมการทางคณิตศาสตร์ วงจรความตั้มแทนด้วยเมทริกซ์ M อินพุตที่เป็นคิวบิตแทนด้วยคอลัมน์เมทริกซ์ A และเอาต์พตแทนด้วยคอลัมน์เมทริกซ์ B การทำงานของวงจรจะเป็นตามสมการข้างล่าง

$$MA = B \quad (8)$$

ค่าที่อยู่ในเมทริกซ์ A และ B คือ แอมเพลจูด (amplitude) เช่น ถ้าอินพุตคือ $\alpha|0\rangle + \beta|1\rangle$ เมทริกซ์ A คือ $[\alpha, \beta]^T$ หรือถ้าอินพุตคือ $a|00\rangle + b|01\rangle + c|10\rangle + d|11\rangle$ เมทริกซ์ A คือ $[a, b, c, d]^T$ ถ้าอินพุตมี n คิวบิต เมทริกซ์ A และ B จะมีขนาด $2^n \times 1$ สังเกตว่าถ้าเราจำลองการทำงานของคอมพิวเตอร์เชิงควบคุมด้วยคอมพิวเตอร์แบบคลาสสิกอย่างที่ใช้ในปัจจุบันจะต้องเสียเวลาเพิ่มขึ้นเป็นเอกponentsเชียล (Exponential) ตามจำนวนคิวบิตที่เพิ่มขึ้น

ยกตัวอย่างว่างจรควบคุมที่มีอินพุตแค่ 1 หรือ 2 คิวบิต หรือเรียกว่าเกตควบคุม (Quantum gate) เราสามารถนำเกตควบคุมหลายๆ ตัวมาประกอบกันให้เป็นวงจรที่ใหญ่ขึ้นได้

Quantum not gate

$$M_N = \begin{pmatrix} 0 & 1 \\ 1 & 0 \end{pmatrix} \quad (9)$$

เรียกว่า Quantum Not Gate เพราะทำหน้าที่กลับสถานะของคิวบิตดังนี้ $M_N[1,0]^T = [0,1]^T$ และ $M_N[0,1]^T = [1,0]^T$ เมื่อ $[1,0]^T$ คือสถานะ $|0\rangle$ และ $[0,1]^T$ คือสถานะ $|1\rangle$

Square root of the not gate

$$M_S = \begin{pmatrix} \frac{1+i}{2} & \frac{1-i}{2} \\ \frac{1-i}{2} & \frac{1+i}{2} \end{pmatrix} \quad (10)$$

เรียกว่า square root of the not gate เพราะว่าทำแค่ครึ่งเดียวของ Quantum not gate

$$M_S M_S = M_N$$

Hadamard gate

$$M_H = \begin{pmatrix} \frac{1}{\sqrt{2}} & \frac{1}{\sqrt{2}} \\ \frac{1}{\sqrt{2}} & -\frac{1}{\sqrt{2}} \end{pmatrix} \quad (11)$$

Hadamard gate ทำหน้าที่แปลงสถานะของคิวบิตให้อยู่ในสถานะซ้อนทับเชิงตัวแทนของคิวบิต (Superposition) จะทำหน้าที่เหมือนเมทริกซ์เอกลักษณ์ (Identity matrix, I) แต่ทำเพียงครึ่งเดียว ($IA = A$) จะได้ $M_H M_H = I$ ทำให้ $M_H M_H [1, 0]^T = [1, 0]^T$ และ $M_H M_H [0, 1]^T = [0, 1]^T$

Phase flip

$$M_P = \begin{pmatrix} 1 & 0 \\ 0 & e^{-i\theta} \end{pmatrix} \quad (12)$$

Phase flip ทำหน้าที่เปลี่ยนเฟส (Phase) ของส่วนที่มีคุณสมบัติเป็นคลื่น โดยจะเปลี่ยนเฉพาะเฟส ไม่เปลี่ยนขนาดและพลิจูด

วงจรควบคุมต้มในมุมมองทางคณิตศาสตร์ก็คือเมทริกซ์ที่เปลี่ยนสถานะควบคุมต้มเรjis เตอร์จากสถานะหนึ่งไปยังอีกสถานะหนึ่ง และเมทริกซ์นี้เป็น unitary matrix ด้วย ทำให้ผลลัพธ์ที่ได้จะยังรักษากฎของความน่าจะเป็นอยู่ คือผลรวมของแอมพลิจูดยกกำลังสองต้องได้ 1 เสมอ

2.4 ผลคูณเท็นเซอร์ (Tensor product)

ผลคูณเท็นเซอร์ (Tensor product) เป็นตัวดำเนินการที่สำคัญสาหารับการคูณเมทริกซ์เนื่องจากเกตควบคุมต้มพื้นฐานก็คือเมทริกซ์ ดังนั้นเมื่อเราเอาเกตหรือวงจรเล็กๆ มาต่อเข้าด้วยกัน ก็เหมือนประกอบเมทริกซ์เล็กๆ ให้เป็นเมทริกซ์ที่ใหญ่ขึ้น และจำเป็นต้องใช้ตัวดำเนินการที่เรียกว่าผล

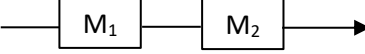
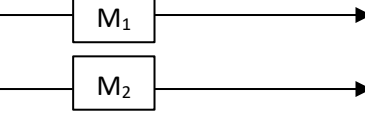
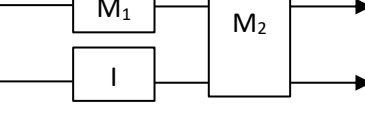
คูณเท็นเซอร์ (tensor product) เพื่อรวมเมทริกซ์หลายๆ อันเข้าด้วยกัน ผลคูณเท็นเซอร์ระหว่าง A และ B เขียนแทนด้วย $A \otimes B$ ดังตัวอย่างต่อไปนี้

$$A = \begin{pmatrix} a_{11} & a_{12} & \cdots & a_{1s} \\ a_{21} & a_{22} & \cdots & a_{2s} \\ \cdots & \cdots & \cdots & \cdots \\ a_{r1} & a_{r2} & \cdots & a_{rs} \end{pmatrix} \quad B = \begin{pmatrix} b_{11} & b_{12} & \cdots & b_{1u} \\ b_{21} & b_{22} & \cdots & b_{2u} \\ \cdots & \cdots & \cdots & \cdots \\ b_{t1} & b_{t2} & \cdots & b_{tu} \end{pmatrix}$$

$$A \otimes B = \begin{pmatrix} a_{11}B & a_{12}B & \cdots & a_{1s}B \\ a_{21}B & a_{22}B & \cdots & a_{2s}B \\ \cdots & \cdots & \cdots & \cdots \\ a_{r1}B & a_{r2}B & \cdots & a_{rs}B \end{pmatrix} \quad (13)$$

เมทริกซ์ผลลัพธ์หรือ $A \otimes B$ จะมีขนาด $rt \times su$

การประกอบวงจรเล็กๆ เข้าด้วยกันประกอบด้วยรูปแบบดังนี้ (กรณีที่เป็นสายเปล่า เทียบเท่า กับมีเมทริกซ์เอกลักษณ์อยู่)

วงจรควบคุม	เมทริกซ์ที่แทนวงจรทั้งหมด
	$M = M_2 M_1$
	$M = M_1 \otimes M_2$
	$M = M_2(M_1 \otimes I)$

ตารางที่ 2 ตารางแสดงการดำเนินการทางเมทริกซ์สำหรับการประกอบวงจรควบคุมแบบต่างๆ

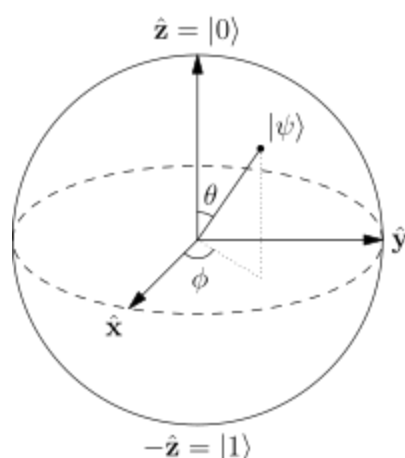
2.5 การหมุนคิวบิต (Qubit rotation)

สถานะของคิวบิตจาก (1) สามารถเขียนในรูปผลรวมเชิงเส้นของสถานะของคิวบิตโดยใช้ ตรีโกณมิติได้ เนื่องจาก $\sqrt{\alpha^2 + \beta^2} = 1$ เพราะเป็นค่าความน่าจะเป็นของสถานะ $|0\rangle$ และ $|1\rangle$

และจากฟังก์ชันตรีโกณมิติ $\sqrt{\sin^2 x + \cos^2 x} = 1$ เราจึงสามารถเขียนสถานะของคิวบิตโดยใช้ฟังก์ชันตรีโกณมิติได้ดังนี้

$$|\varphi\rangle = \cos\frac{\theta}{2}|0\rangle + e^{i\phi}\sin\frac{\theta}{2}|1\rangle \quad (14)$$

เมื่อ θ และ ϕ คือจำนวนจริง โดยที่ $0 \leq \theta \leq \pi$ และ $0 \leq \phi \leq 2\pi$ เราจึงสามารถใช้ทรงกลมโบลซ์ (Bloch sphere) เพื่อแสดงสถานะของคิวบิต ดังภาพที่ 1

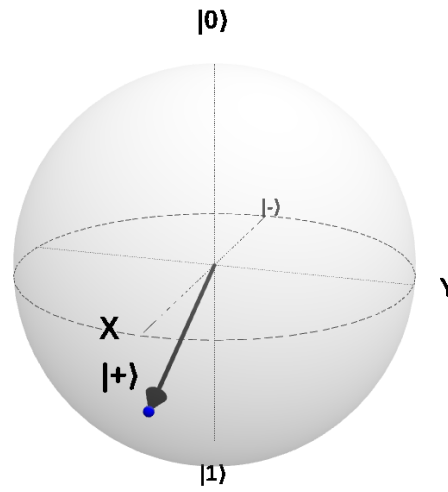


ภาพที่ 1 ทรงกลมโบลซ์แสดงสถานะของคิวบิต $|\varphi\rangle$

การหมุนคิวบิตรอบแกน Y ด้วยมุม θ และ ϕ จะทำให้สถานะของคิวบิต $|\varphi\rangle$ เปลี่ยนแปลงไป โดยการหมุนคิวบิตรอบแกน Y สามารถอธิบายได้โดยใช้การแปลงเชิงเมตริกซ์ (Matrix transformation) ดังสมการ (15)

$$RY(\theta) = \begin{bmatrix} \cos\frac{\theta}{2} & -\sin\frac{\theta}{2} \\ \sin\frac{\theta}{2} & \cos\frac{\theta}{2} \end{bmatrix} \quad (15)$$

โดยค่าพารามิเตอร์ θ ขึ้นอยู่กับความน่าจะเป็นที่สถานะของคิวบิตนั้นเป็น $|0\rangle$ หรือ $|1\rangle$ ยกตัวอย่างเช่นการหมุนคิวบิตรอบแกน Y จากสถานะซ้อนทั้งของคิวบิต โดยกำหนดให้ $\theta = \frac{\pi}{8}$ และ $\phi = 0$ จะทำให้ความน่าจะเป็นที่เมื่อวัดสถานะของคิวบิตแล้วได้ผลลัพธ์เป็นสถานะ $|1\rangle$ มากกว่า สถานะ $|0\rangle$ ดังภาพที่ 2



ภาพที่ 2 ทรงกลมโบลซแสดงสถานะของคิวบิตที่ใกล้เคียงกับสถานะ $|1\rangle$ มากกว่าสถานะ $|0\rangle$

2.6 อัลกอริทึมการค้นหาของ Grover (Grover's search algorithm)

อัลกอริทึมการค้นหาของ Grover (Grover's search Algorithm) เป็นอัลกอริทึมความต้มที่แสดงให้เห็นว่าสามารถนำระบบควบคุมมาใช้เพื่อปรับปรุงขอบเขตรันไทม์ที่ต่ำกว่าของอัลกอริทึมแบบดั้งเดิมบนคอมพิวเตอร์คลาสิกสำหรับค้นหาข้อมูลที่ไม่มีโครงสร้าง (unstructured data) ได้ เช่น ถ้าข้อมูลที่ต้องการค้นหา มีจำนวน 1,000,000 ชุด อัลกอริทึมแบบดั้งเดิมอาจใช้เวลาในการค้นหานานที่สุดคือ 1,000,000 รอบ time complexity เท่ากับ $O(N)$ แต่อัลกอริทึมการค้นหาของ Grover สามารถค้นหาข้อมูลที่ไม่มีโครงสร้าง ได้โดยใช้เวลาเพียง 1,000 รอบ time complexity เท่ากับ $O(\sqrt{N})$ เมื่อ N คือจำนวนข้อมูลทั้งหมด การเพิ่ม speed up ในการค้นหาข้อมูลของอัลกอริทึมการค้นหาของ Grover ทำได้โดยใช้เคล็ดลับการขยายและพลิกจุดของ Grover[7]

อัลกอริทึมการค้นหาของ Grover มีกระบวนการ ดังนี้

2.6.1 เตรียม Quantum register สำหรับเก็บข้อมูลจำนวน n คิวบิต เมื่อ n คือจำนวนคิวบิตที่จำเป็นในการแทนที่ search space ขนาด 2^n โดยกำหนดให้ $2^n = N$ และทุกคิวบิตมีค่าเริ่มต้นเป็น $|0\rangle$

$$|0\rangle^{\otimes n} = |0\rangle \quad (16)$$

2.6.2 เตรียมสถานะ Superposition ของคิวบิต ให้ความน่าจะเป็นของการวัดคิวบิตแล้วได้สถานะต่างๆ นั้นมีค่าเท่ากัน โดยผ่านการทำ Hadamard transform ($H^{\otimes n}$) ใช้เวลา $O(N)$

$$|\varphi\rangle = H^{\otimes n} |0\rangle^{\otimes n} = \frac{1}{\sqrt{2^n}} \sum_{x=0}^{2^n-1} |x\rangle \quad (17)$$

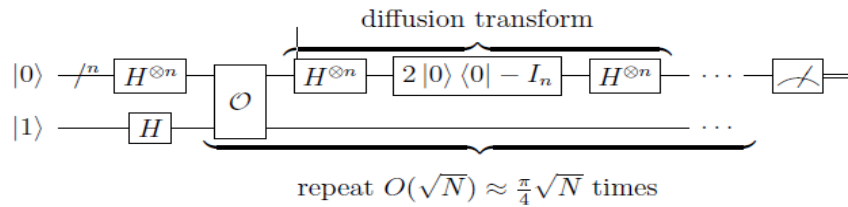
2.6.3 ทำการแปลงค่าแอมเพลจูดโดยใช้ Grover iteration ซึ่งประกอบด้วยขั้นตอนดังนี้

2.6.3.1 กำหนดฟังก์ชัน quantum oracle เพื่อทำการระบุ quantum state ที่ต้องการ quantum oracle ใช้สัญลักษณ์ O เป็นฟังก์ชัน black-box ที่สามารถปรับเปลี่ยนระบบเพื่อให้ได้ค่าสถานะของคิวบิตที่ต้องการ นั่นหมายความว่า quantum black-box สามารถสังเกตและปรับเปลี่ยนค่าแอมเพลจูดของระบบได้โดยไม่ยุบสถานะของคิวบิตให้กลายเป็นสถานะดั้งเดิม (classical state) และยังสามารถระบุได้ว่าระบบอยู่ในสถานะที่ถูกต้องแล้วหรือยัง ถ้าระบบอยู่ในสถานะที่ถูกต้อง oracle จะหมุนเฟสไป π เรเดียน แต่ถ้าไม่ถูกต้องก็จะไม่ทำอะไรมากมุน เพสทำได้โดยการคูณ amplitude ของสถานะนั้นของคิวบิตด้วย -1 แอมเพลจูดสำหรับสถานะนั้นเปลี่ยนแปลง แต่ความน่าจะเป็นที่จะอยู่ในสถานะนั้นยังเท่าเดิม สามารถเขียนการทำงานของ quantum oracle ได้ดังนี้

$$|x\rangle \xrightarrow{O} (-1)^{f(x)} |x\rangle \quad (18)$$

โดยที่ $f(x) = 1$ ถ้า x เป็นสถานะที่ถูกต้อง และ $f(x) = 0$ ถ้า x เป็นสถานะที่ไม่ถูกต้อง อย่างไรก็ตามการกำหนดค่า output ของ $f(x)$ ขึ้นอยู่กับปัญหาที่ต้องการค้นหาคำตอบ

2.6.3.2 ทำ diffusion transform โดยหาค่าผลผันของค่าเฉลี่ยสำหรับค่าแอมเพลจูดของคิวบิตสถานะต่างๆทุกสถานะ ซึ่งค่าเฉลี่ยของแอมเพลจูดใหม่นี้จะมีค่าลดลงจากค่าเฉลี่ยของแอมเพลจูดก่อนหน้าที่ยังไม่ผ่านการแปลง diffusion transform มีวงจรการทำงานดังภาพที่ 3



ภาพที่ 3 วงจรไดอะแกรมลำห้วย Grover's algorithm[8]

2.6.3.3 คำนวณความน่าจะเป็นของสถานะข้อมูลทุกๆ สถานะใหม่ ซึ่งจะทำให้สถานะของคิวบิตที่สินใจมีความน่าจะเป็นเพิ่มขึ้น ในขณะที่สถานะของคิวบิตอื่นๆ มีความน่าจะเป็นลดลงตามสูตรดังนี้ โดยผ่าน Grover iteration จำนวน R ครั้ง

$$[(2|\varphi\rangle\langle\varphi| - I)O]^R |\varphi\rangle \approx |x_0\rangle \quad R \approx \frac{\pi}{4} \sqrt{\frac{N}{T}} \text{ ครั้ง} \quad (19)$$

Grover iteration จะถูกทำซ้ำเป็นจำนวน $\frac{\pi}{4} \sqrt{\frac{N}{T}}$ ครั้ง [7] เมื่อ T คือ จำนวนของ

คำตอบทั้งหมด เพื่อที่จะให้ได้ค่าความน่าจะเป็นสูงสุดของสถานะของคิวบิตที่สินใจ

2.6.4 เมื่อทำ Grover iteration จนครบจำนวนครั้งที่เพียงพอแล้ว ต้องทำการ reset ancilla qubit ทั้งหมดก่อน และวิจัยทำการวัดเพื่อหาผลลัพธ์ ซึ่งจะถูกต้องตามความน่าจะเป็น $O(1)$ และถือว่าสิ้นสุดกระบวนการทำงานอัลกอริทึมการค้นหาของ Grover

2.7 วงจربวกโดยใช้คุณต้มฟูริเยร์ทรานส์ฟอร์ม (Quantum Fourier transform)

คุณต้มฟูริเยร์ทรานส์ฟอร์ม (Quantum Fourier transform) คือการแปลงฟูริเยร์แบบไม่ต่อเนื่อง (Discrete Fourier transform) สำหรับการคำนวณด้วยเครื่องคอมพิวเตอร์เชิงคุณต้มคุณต้มฟูริเยร์ทรานส์ฟอร์ม หรือ (QFT) ประกอบด้วยเวกเตอร์ของชุดข้อมูล โดยที่แต่ละค่าในเวกเตอร์แทนความน่าจะเป็นที่สถานะของคิวบิตจะถูกวัดออกมามาเป็นค่า 0 หรือ 1 QFT จะทำการแปลงพื้นฐานการคำนวณทั่วไป (Computational basis) ให้กลายเป็นการพื้นฐานการคำนวณฟูริเยร์ (Fourier basis) เราสามารถแปลงจากพื้นฐานการคำนวณทั่วไปไปเป็นพื้นฐานการคำนวณฟูริเยร์โดย

ใช้ direct Fourier transformation ในทางกลับกัน เราสามารถแปลงจากพื้นฐานการคำนวณฟูริเยร์ไปเป็นพื้นฐานการคำนวณทั่วไปโดยใช้ inverse Fourier transformation

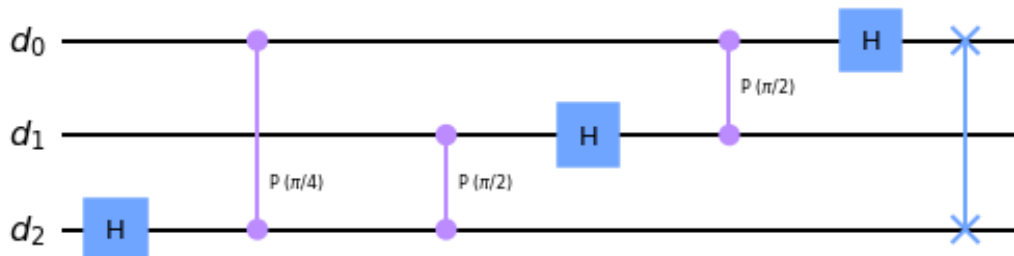
การแปลงฟูริเยร์เชิงคุณต้มของสถานะ $|x\rangle$ จากพื้นฐานการคำนวณทั่วไปได้แก่ $|0\rangle, |1\rangle, \dots, |n-1\rangle$, โดยใช้ direct Fourier transformation สามารถเขียนได้ดังนี้

$$QFT|x\rangle = \frac{1}{\sqrt{n}} \sum_{y=0}^{n-1} e^{\frac{i2xy\pi}{n}} |y\rangle \quad (20)$$

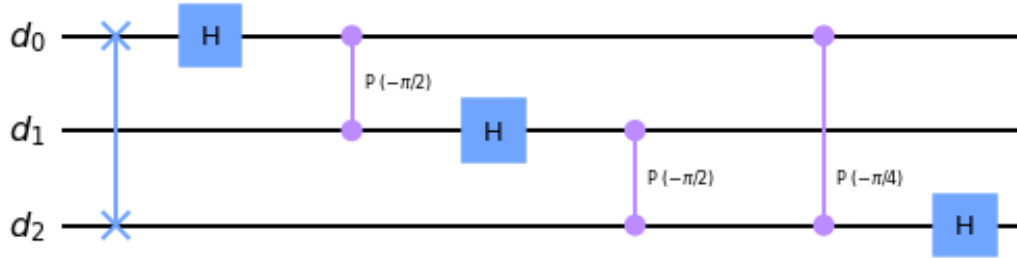
QFT จะทำการเข้ารหัสสถานะ $|x\rangle$ ไปยังเฟส $e^{\frac{i2xy\pi}{n}}$ ของทุกสถานะ $|y\rangle$ โดยมีแอมพลิจูดของทุกสถานะเท่ากันคือ $\frac{1}{\sqrt{n}}$ ซึ่งเป็นสถานะซ่อนทั้งของคิวบิต ในทางกลับกัน inverse Fourier transformation สำหรับแปลงจากพื้นฐานการคำนวณฟูริเยร์กลับไปเป็นพื้นฐานการคำนวณทั่วไปสามารถเขียนได้ดังนี้

$$QFT^+|y\rangle = \frac{1}{\sqrt{n}} \sum_{y=0}^{n-1} e^{-i\frac{2xy\pi}{n}} |x\rangle \quad (21)$$

วงจร QFT และ QFT^+ แสดงดังภาพที่ 4 และ 5 ตามลำดับ



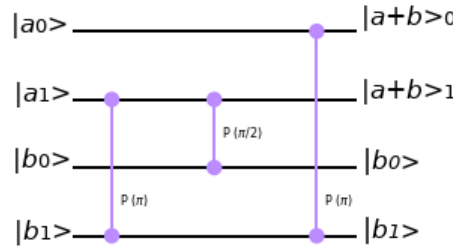
ภาพที่ 4 วงจร QFT สำหรับแปลงจากพื้นฐานการคำนวณทั่วไปเป็นพื้นฐานการคำนวณฟูริเยร์ สำหรับ 3 คิวบิต



ภาพที่ 5 วิจารณ์ QFT^+ สำหรับแปลงจากพื้นฐานการคำนวณฟูรีเยร์ไปเป็นพื้นฐานการคำนวณทั่วไป สำหรับ 3 คิวบิต

การเข้ารหัสจากพื้นฐานการคำนวณทั่วไป เช่น สถานะ $|6\rangle$ ไปเป็นพื้นฐานการคำนวณฟูรีเยร์ สถานะ $|6\rangle$ สำหรับการประมวลผล 4 คิวบิตที่มีการเรียงคิวบิตแบบ little-endian คิวบิตซ้ายสุดจะถูกหมุนไปด้วยมุม $\frac{6}{2^4} \times 2\pi$ และค่ามุมนี้จะเพิ่มขึ้นเป็น 2 เท่า สำหรับคิวบิตตัดไป และเป็นเช่นนี้เรื่อยไปจนครบทุกคิวบิต

คุณสมบัติอย่างหนึ่งที่สำคัญของพื้นฐานการคำนวณฟูรีเยร์คือผลรวมของการแปลงฟูรีเยร์ของสองสัญญาณเท่ากับการแปลงฟูรีเยร์ของผลรวมของสองสัญญาณนั้น ด้วยคุณสมบัติดังกล่าวจึงสามารถนำการแปลงฟูรีเยร์มาใช้สำหรับสร้างวงจรบวกได้ ปี 1998 Thomas G. Dapper[9] ได้เสนอวงจรบวกที่ทำงานบนเครื่องคอมพิวเตอร์เชิงคุณต้มโดยใช้หลักการการแปลงฟูรีเยร์ ลำดับของเงื่อนไขการสับเปลี่ยนระหว่างค่ามุมสำหรับการหมุนคิวบิตถูกกำหนดมาใช้เพื่อทำให้การบวกด้วยวงจรคุณต้มประสบความสำเร็จ โดยวงจรบวกใช้การหมุนคิวบิต ซึ่งจะหมุนเฉพาะ ก คิวบิตภายนอกที่ควบคุมโดยคิวบิตภายใน ตัวอย่างวงจรบวกเชิงคุณต้มที่ใช้หลักการแปลงฟูรีเยร์แสดงดังภาพที่ 6



ภาพที่ 6 วงจรบางเชิงคุณต้มลำหารบ 2 คิวบิต

ตัวเลขฐานสอง a จะถูกเข้ารหัสเพื่อแปลงเป็นพื้นฐานการคำนวนฟูริเยร์โดยใช้ QFT ผลบวกของเลขฐานสอง a และเลขฐานสอง b คำนวนจากการแปลง a ที่เป็นพื้นฐานการคำนวนทั่วไปให้เป็นพื้นฐานการคำนวนฟูริเยร์ $f(a)$ และหลังจากนั้นจึงเพิ่ม b เข้ามา และแปลง $a+b$ เป็นพื้นฐานการคำนวนฟูริเยร์ $f(a+b)$ สุดท้ายพื้นฐานการคำนวนฟูริเยร์จะถูกแปลงกลับไปเป็นพื้นฐานการคำนวนทั่วไปโดยทำ inverse QFT เพื่อให้สามารถทำการวัดค่าสถานะคิวบิตได้

2.8 ขั้นตอนวิธีเชิงพันธุกรรม (Genetic algorithm)

ขั้นตอนวิธีเชิงพันธุกรรมเป็นหนึ่งในอัลกอริทึมสำหรับค้นหาคำตอบที่เหมาะสมที่มีประสิทธิภาพสูง โดยใช้หลักการคัดเลือกแบบธรรมชาติจากการจำลองแนวคิดวิวัฒนาการของสิ่งมีชีวิต[10] Genetic Algorithm (GA) เริ่มต้นโดยการสุ่มค่าคำตอบตามจำนวนประชากรที่กำหนดไว้แล้วทำการเข้ารหัส (encoding) ค่าคำตอบให้เป็นโครโนเมโซม (Chromosome) ซึ่งโครโนเมโซมแต่ละตัวจะประกอบไปด้วยบีนเรียงต่อกัน โดยรูปแบบการเข้ารหัสของโครโนเมโซมเป็นเลขฐานสอง (Binary bit string) จากนั้นจึงเริ่มขั้นตอนกระบวนการทางพันธุกรรม ประกอบด้วย 2 กระบวนการ คือ การสลับสายพันธุ์ (Crossover) และการกลายพันธุ์ (mutation) โดยการสลับสายพันธุ์นั้น จะทำการสุ่มโครโนเมโซม 2 โครโนเมโซมที่มีค่าความเหมาะสมมากที่สุด และทำการแลกเปลี่ยนยีนระหว่างโครโนเมโซม สำหรับวิธีการแลกเปลี่ยนยีนที่ง่ายที่สุด คือ การสลับสายพันธุ์แบบจุดเดียว (One point crossover) ซึ่งจะใช้วิธีการสุ่มจุดที่จะทำการแลกเปลี่ยนยีน ส่วนกระบวนการกลายพันธุ์นั้นจะสุ่มโครโนเมโซมมาหนึ่งค่า และทำการสุ่มเปลี่ยนค่าของยีน โดยปกติจะใช้การกลายพันธุ์แบบจุดเดียว (One point mutation) ซึ่งจะทำให้เกิดโครโนเมโซมใหม่เรียกว่า “โครโนเมโซมลูก (Offspring)” ในแต่ละรอบของกระบวนการ GA นั้น มีตัวแปร 2 ตัวที่ใช้กำหนดว่าแต่ละรอบจะเกิดการสลับสายพันธุ์ หรือการกลาย

พันธุ์ หรือไม่ ได้แก่ ความน่าจะเป็นในการสลับสายพันธุ์ (Probabilities of crossover: P_c) และ ความน่าจะเป็นในการกลายพันธุ์ (Probabilities of mutation: P_m) ขั้นตอนถัดมาคือการคำนวณค่า ความเหมาะสมของโครโนโซม โครโนโซมทั้งหมดจะถูกประเมินค่าความเหมาะสม (Fitness value) โดยสมการค่าความเหมาะสม (Fitness function) ซึ่งอาจแตกต่างกันไป ขึ้นอยู่กับปัญหาที่ต้องการหา คำตอบ ขั้นตอนที่ 4 คือการคัดเลือก (Selection) วิธีการในการคัดเลือกโครโนโซมเพื่อเป็นประชากร ในรุ่นถัดไป หรือเพื่อเป็นพ่อแม่ (Parent) สำหรับผลิตประชากรรุ่นถัดไป (offspring) มีอยู่หลายวิธี เช่น การคัดเลือกแบบแข่งขัน (Tournament selection) การคัดเลือกด้วยการสุ่มอย่างทั่วถึง (Stochastic universal sampling) และการคัดเลือกด้วยวงล้อเสี่ยงทาย (Roulette wheel selection) เป็นต้น ขั้นตอนสุดท้ายคือตรวจสอบเงื่อนไขการสินสุดกระบวนการ GA โดย GA จะ สิ้นสุดการทำงานก็ต่อเมื่อคำนวณการจักรูปตามจำนวนรุ่นของประชากรตามที่ผู้ใช้งานตั้ง หรือเมื่อ คำคำตอบในหลายๆรอบที่ผ่านมาไม่มีการเปลี่ยนแปลงอย่างมีนัยสำคัญ ภาพที่ 7 แสดงกระบวนการ ทำงานของ GA โดยใช้วิธีการคัดเลือกแบบ tournament selection



x : probabilities of crossover, y : probabilities of mutation

ภาพที่ 7 โครงสร้างทั่วไปของขั้นตอนวิธีเชิงพันธุกรรม (Genetic algorithm) ที่ใช้การคัดเลือกแบบ tournament selection

2.9 ขั้นตอนวิธีเชิงพันธุกรรมแบบกระชับ (Compact genetic algorithm)

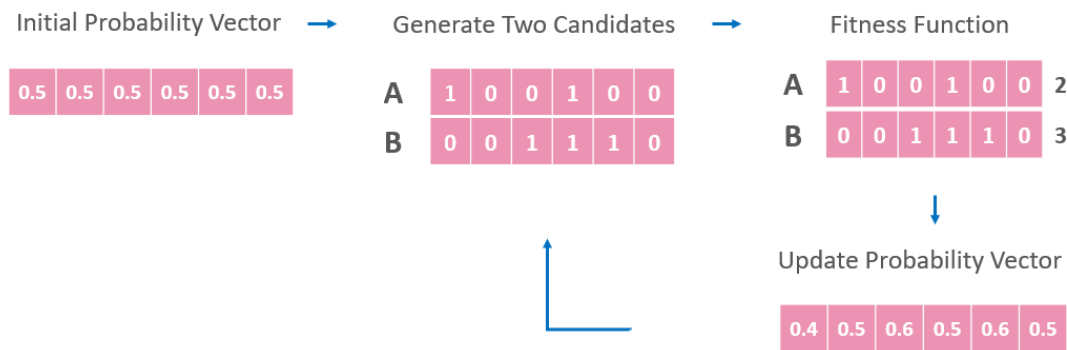
ขั้นตอนวิธีเชิงพันธุกรรมแบบกระชับ เป็นหนึ่งในขั้นตอนวิธีเชิงวิวัฒนาการแบบใหม่ ที่มีแนวความคิดในการใช้ตัวแบบความน่าจะเป็น (Probabilistic model) แทนการใช้กลุ่มประชากรในการค้นหาคำตอบ ทำให้ขั้นตอนวิธีเชิงพันธุกรรมแบบกระชับไม่จำเป็นต้องใช้หน่วยความจำในการเก็บประชากรอีกต่อไป อีกทั้งยังไม่ต้องอาศัยการดำเนินการเชิงพันธุกรรม เช่น การสลับสายพันธุ์ และการกลายพันธุ์ ทำให้การประมวลผลทำได้รวดเร็วขึ้น โดยที่ประสิทธิภาพของอัลกอริทึมยังคงเทียบเท่ากับขั้นตอนวิธีเชิงพันธุกรรมแบบเดิม ดังปรากฏในงานวิจัย[11]

การแทนคำตอบของขั้นตอนวิธีเชิงพันธุกรรมแบบกระชับจะอยู่ในรูปแบบของเวกเตอร์ความน่าจะเป็น (Probability vector) ซึ่งจะใช้เป็นตัวแบบในการหากการกระจายตัวของคำตอบ โดยแต่ละมิติ (Dimension) ของเวกเตอร์เป็นค่าความน่าจะเป็นที่บิดน้ำๆ จะเป็น 1 ประชากรของขั้นตอนวิธีเชิงพันธุกรรมที่มีโครโนโซมยาว 6 บิต เวกเตอร์ความน่าจะเป็นของขั้นตอนวิธีเชิงพันธุกรรมแบบกระชับอาจเป็นดังภาพที่ 8 ซึ่งจะมีจำนวนมิติคือ 6 ตามความยาวของโครโนโซม และค่าที่จัดเก็บในเวกเตอร์ความน่าจะเป็นคือค่าความน่าจะเป็นที่แต่ละบิตจะมีค่าเป็น 1 เช่น บิตท้ายมีอสูร มีค่าความน่าจะเป็นที่บิดน้ำๆ จะเป็น 1 เท่ากับ 0.4 เป็นต้น ดังนั้นการแทนคำตอบของปัญหาที่สนใจโดยใช้เวกเตอร์ความน่าจะเป็นสามารถพื้นที่หน่วยความจำสำหรับจัดเก็บประชากรลงไปได้อย่างมาก

การปรับปรุงคำตอบของขั้นตอนวิธีเชิงพันธุกรรมแบบกระชับ สามารถทำได้โดยการปรับค่าความน่าจะเป็นในแต่ละมิติของเวกเตอร์ความน่าจะเป็นตามคำตอบที่ดีกว่า โดยการสุ่มค่าคำตอบจากเวกเตอร์ความน่าจะเป็นมา 2 ค่า แล้วทำการพิจารณาว่าคำตอบตัวใดมีค่าความเหมาะสม (Fitness value) มากกว่ากัน จากนั้นจึงทำการปรับปรุงค่าความน่าจะเป็นในแต่ละมิติของเวกเตอร์ความน่าจะเป็นตามคำตอบที่มีค่าความเหมาะสมมากกว่า เช่น ถ้าคำตอบที่มีค่าความเหมาะสมดีกว่า บิตที่ 1 คือ 0 ในขณะที่คำตอบที่มีค่าความเหมาะสมน้อยกว่า บิตที่ 1 คือ 1 ดังนั้นในรอบถัดไปเวกเตอร์ความน่าจะเป็นจะถูกปรับค่าความน่าจะเป็นลดลงเพื่อให้เข้าใกล้ 0 มากขึ้น โอกาสที่บิตที่ 1 จะถูกสร้างมาเป็น 0 ในรอบถัดไปก็จะเพิ่มขึ้นด้วย กระบวนการทั้งหมดของ CGA จะถูกวนซ้ำจนกว่าจะตรวจสอบเจอกล่องใส่การสินสุดกระบวนการ ได้แก่ ค่าความน่าจะเป็นในแต่ละมิติของเวกเตอร์เท่ากับ 0 หรือ 1 หรือ เมื่อค่าคำตอบในหลายๆรอบที่ผ่านมาไม่มีการเปลี่ยนแปลงอย่างมีนัยสำคัญ สุดท้ายเวกเตอร์ความน่าจะเป็นจะสะท้อนรูปแบบการกระจายตัวของคำตอบที่ดี

0.4	0.5	0.6	0.5	0.6	0.5
-----	-----	-----	-----	-----	-----

ภาพที่ 8 การแทนค่าคำตออบด้วยเวกเตอร์ความน่าจะเป็นตามความยาวของโคโรโนไซม



ภาพที่ 9 โครงสร้างทั่วไปของขั้นตอนวิธีเชิงพันธุกรรมแบบบรรจับ (Compact genetic algorithm)

นอกจากนี้มีการปรับปรุงกระบวนการคัดเลือกโคโรโนไซมหรือคำตออบในขั้นตอนวิธีเชิงพันธุกรรมแบบบรรจับ โดยการเลือกคำตออบจากกลุ่มคำตออบที่ดีที่สุดที่เคยบันทึกไว้ มาใช้ในการเปรียบเทียบกัน ก่อนจะหาคำตออบที่ดีกว่าเพื่อใช้เป็นต้นแบบในการปรับปรุงค่าความน่าจะเป็นในแต่ละมิติของเวกเตอร์ความน่าจะเป็น วิธีการตั้งกล่าวเรียกว่า “Compact genetic algorithm with an elite”[12]

บทที่ 3

งานวิจัยที่เกี่ยวข้อง

งานวิจัยทางความคุณต้มที่กล่าวถึงความเป็นไปได้ในการนำกฎวิวัฒนาการของดาร์วิน (Darwinian evolution) มาจำลองการทำงานบนเครื่องคอมพิวเตอร์เชิงความคุณต้ม โดยนักวิจัยพิสิกส์ที่ชื่อ Wojciech Zurek เขาได้เสนอแนวคิดเรื่อง Quantum Darwinism[13] โดยอธิบายว่าโลกคลาสสิกเกิดขึ้นจากโลกความคุณต้ม เนื่องจากมีเพียงสถานะความคุณต้มเท่านั้นที่สามารถส่งผ่านข้อมูลทางสภาพแวดล้อมในทิศทางที่ถูกต้อง และมีหลายรูปแบบได้ ซึ่งสถานะความคุณต้มสามารถสังเกตได้ในระดับมหภาค และการส่งผ่านข้อมูลสถานะความคุณต้มถูกจำกัดจากสภาพแวดล้อมจนเหลือเพียงตัวชี้สถานะ (Pointer states) ซึ่งเป็นสิ่งที่เราสังเกตได้จากมุมมองแบบดั้งเดิม ดังนั้นมุมมองแบบดั้งเดิมของจักรวาลจึงถูกกำหนดโดยสถานะความคุณต้มที่รอดชีวิตจากการส่งผ่านข้อมูลทางสิ่งแวดล้อม ซึ่งเป็นไปตามหลักการของการคัดเลือกโดยธรรมชาติของดาร์วิน นอกจากนี้งานวิจัยนี้ยังเสนอวิธีการวัดสถานะความคุณต้มซึ่งเป็นความท้าทายอย่างมากสำหรับทฤษฎีกลศาสตร์ความคุณต้ม เนื่องจากเวกเตอร์สถานะความคุณต้มที่อธิบายโดยสมการช์โรดิงเจอร์ (Schrödinger equation) เป็นสมการเชิงเส้นที่อธิบายสถานะข้อนั้นทั่วของสถานะความคุณต้มที่แตกต่างกัน และนำมาใช้คำนวณสถานการณ์ขัดแย้ง เช่น แมวของช์โรดิงเจอร์ (Schrödinger's cat) ซึ่งเป็นสถานการณ์ที่ไม่เคยเกิดขึ้นในโลกความเป็นจริง ดังเดิม โดยใช้วิธีการ non-unitary transformation ของสถานะเวกเตอร์ ณ เวลาที่ทำการวัด เพื่อคำนวณค่าที่แน่นอนของสถานะความคุณต้มในรูปแบบของความน่าจะเป็นสำหรับแต่ละค่าการวัดที่เป็นไปได้ ดังนั้นแนวคิดของดาร์วินเรื่องการคัดเลือกโดยธรรมชาติเพื่อให้เหลือผู้รอดชีวิตที่แข็งแกร่งที่สุดสามารถถูกจำลองกระบวนการทำงานในอุปกรณ์ใดๆ ได้ที่สามารถจัดการข้อมูลได้บนพื้นฐานของปรากฏการณ์ทางกลศาสตร์ความคุณต้ม[14]

ปี 1996 Narayanan และ Moore[15] ได้นำเสนออัลกอริทึมที่ได้รับแรงบันดาลใจจากความคุณต้ม (Quantum-inspired genetic algorithm) และสามารถนำไปแก้ปัญหา TSP (Travelling salesman problem) ได้สำเร็จโดยใช้วิธี Interference crossover คือ กำหนดจำนวน Universe โดยแต่ละ Universe จะมีประชากรที่มีโครงสร้างของตนเอง และสามารถ Crossover กับประชากรของ Universe อื่นๆ ในแต่ละรุ่นได้ การเชื่อมโยงกันแบบโต้ตอบระหว่าง universe ทำให้การ

คำนวนหาคำตอบของแต่ละ universe สามารถหยุดหาคำตอบด้วยตัวมันเองได้ เมื่อมีหนึ่ง universe หาคำตอบที่เหมาะสมเจอแล้ว

ปี 2000 Bart Terry James และ Jim[16] ได้เสนอ Quantum genetic algorithm (QGA) เป็นอัลกอริทึมที่ใช้ประโยชน์จากผลกระทบเชิงความต้ม (Quantum effects) ได้แก่ Superposition และ entanglement มาใช้ในการประมวลผลความต้มแบบคู่ขนาน (Quantum parallelism) โดยเริ่นจากกำหนดจำนวน Quantum register ตามขนาดของประชากรเพื่อใช้เก็บข้อมูล แต่ละ Quantum register จะถูกทำให้อยู่ในสถานะ Superposition คือแสดงทุกๆสถานะที่เป็นไปได้ของ individual นั้นคือแต่ละ register จะเก็บค่าที่เป็นไปได้ทั้งหมดของ individual จากนั้นประยุกต์ Fitness function เข้าไปในแต่ละ Quantum register จนครบทุกตัว และเก็บผลลัพธ์ของค่า Fitness ที่เป็นไปได้ทั้งหมดไว้ใน Register ชุดที่ 2 การประยุกต์ Fitness function ถือเป็นการสร้าง entanglement ระหว่าง Quantum register ชุดที่ 1 และชุดที่ 2 โดยชุดแรกจะเก็บทุกค่าที่เป็นไปได้ของ Individual ส่วนชุดที่ 2 จะเก็บทุกค่า Fitness ที่เป็นไปได้จากแต่ละค่า Individual การวัดค่าเพื่อหาค่า Fitness จะทำให้ Quantum register ชุดที่ 2 ถูกยุบสถานะ Superposition จนเหลือค่า Fitness เพียงค่าเดียว ในขณะที่ Quantum register ชุดแรก ที่มี entanglement กับชุดที่ 2 จะถูกยุบให้มีสถานะ Superposition ที่เล็กลง เนื่องจากสามารถมีได้หลายค่า เช่น ค่า Fitness ที่วัดได้คือ 7 จะสามารถหาค่า individual ที่มีค่า Fitness เท่ากับ 7 ได้หลายค่า เป็นต้น โดยใช้ตัวดำเนินการทางคณิตศาสตร์ช่วยในการวัดค่า Fitness เพื่อไม่ให้ทำลายสถานะ Superposition ของ individual และการคัดลอกสถานะ Superposition โดยใช้ Linked list แทนการใช้อาร์เรย์ เพื่อทำการทำ crossover สามารถทำได้โดยการย้าย pointer ระหว่างสองรายการแทนที่การคัดลอกห้องอาร์เรย์อย่างไรก็ตามยังไม่มีโมเดลทางพิสิกส์ที่สามารถยืนยันได้ว่าการใช้ linked list จะสามารถรักษาสถานะ Quantum superposition ได้ ถึงแม้ว่าการคัดลอกสถานะ Superposition เป็นเรื่องที่ยากและดูเหมือนจะเป็นไปไม่ได้ที่จะทำการคัดลอกสำเนาที่แน่นอนของสถานะ Superposition แต่ก็เป็นไปได้ที่จะสามารถทำการคัดลอกสำเนาที่ไม่แน่นอน หากข้อมูลพลาดจำกัดการคัดลอกมีขนาดเล็กพอก็จะถือว่าเป็นรูปแบบของการกลายพันธุ์โดยธรรมชาติ งานวิจัยนี้สรุปว่า QGA มีข้อดีกว่า GA ทั่วไปเนื่องจากความสามารถของ Individual 在การเป็น Superposition ทำให้มีโอกาสหน่อยที่ Individual ที่ดีจะหายไป และที่สำคัญกว่านั้นขนาดของประชากรที่ดูเหมือนจะเพิ่มขึ้นทำให้ได้ประโยชน์จากการขยาย

Building block ที่ดีด้วย เพราะเพิ่มโอกาสที่จะ Crossover และได้ Offspring ที่ดีขึ้นโดย Building block ไม่หายไป ดังนั้นจึงสามารถช่วยปรับปรุงประสิทธิภาพการค้นหาได้อย่างมาก many อย่างไรก็ตามข้อได้เปรียบเหล่านี้ยังไม่สามารถพิสูจน์ได้ว่าเป็นจริงในปัจจุบัน

ปี 2002 Han[17] แนะนำอัลกอริทึมวิวัฒนาการใหม่ (Novel evolutionary algorithm) ที่ได้รับแรงบันดาลใจจากการคำนวณความต้ม เขาเรียกมันว่า Quantum-inspired evolutionary algorithm หรือ QEA ซึ่งมีการกำหนดตัวแทนของแต่ละ individual ฟังก์ชันการประเมินผล (Evaluation function) และการเปลี่ยนแปลงของประชากร โดยกำหนดคิวบิตเป็นหน่วยข้อมูลที่เล็กที่สุดสำหรับแสดงความน่าจะเป็น และแทน Individual ด้วยสายอักขระของคิวบิต และ Q-gate ถูกนำมาใช้เป็นตัวดำเนินการเพื่อขับเคลื่อน Individual ไปสู่ผลลัพธ์ที่ดีขึ้น หลังจากงานวิจัยนี้ถูกตีพิมพ์ ก็มีงานวิจัยที่เกี่ยวข้องกับอัลกอริทึมทางพันธุกรรมที่ได้รับแรงบันดาลใจจากความต้มเพิ่มขึ้นอีกมากมาย

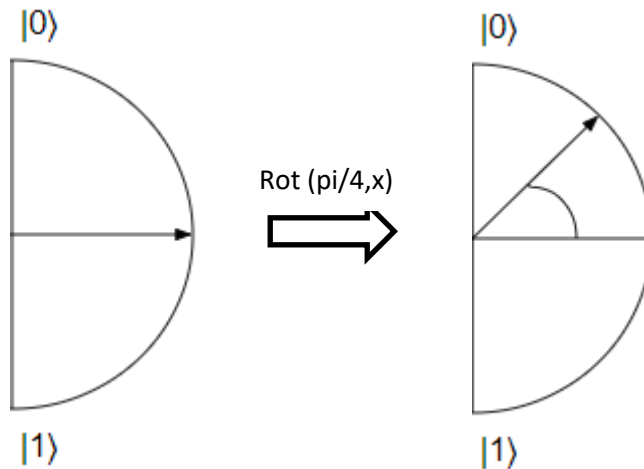
งานวิจัยเกี่ยวกับ QGA[18, 19] ที่ใช้ Quantum state vector เพื่อแสดงรหัสพันธุกรรม (Genetic code) และใช้ Quantum gate เพื่อให้เกิดการวิวัฒนาการของโครโนโซม โดยพบว่า ประสิทธิภาพของ QGA ดีกว่าอัลกอริทึมทางพันธุกรรมแบบดั้งเดิม (Conventional genetic algorithm) อย่างมีนัยสำคัญ QGA ใช้ขนาดประชากรน้อย ถู๊เข้าผลลัพธ์อย่างรวดเร็ว มีความสามารถในการเพิ่มประสิทธิภาพสำหรับการหาค่าที่เหมาะสมที่สุด และมีความคงทนของวิธีการ อย่างไรก็ตาม QGA ก็ยังมีปัญหาบางอย่าง เช่น การกำหนดทิศทางของมุ่นในการหมุนโดยอาศัยตารางการค้นหา อันนำไปสู่การเขียนโปรแกรมที่มีเงื่อนไขการตัดสินใจจำนวนมาก นอกจากนี้การกำหนดค่าคงที่ขององศาในการหมุนของมุ่น ทำให้ค้นหาคำตอบได้ช้าลง[20] และเพื่อแก้ไขปัญหาข้างต้น จึงมีงานวิจัยที่พยายามปรับปรุงกระบวนการวิวัฒนาการของ QGA ให้ดีขึ้นโดยใช้ Quantum mutation operation และ Quantum disaster operation[21] quantum mutation ทำให้บาง Individual มีวิวัฒนาการที่เบี่ยงเบนไปเล็กน้อยจากทิศทางของวิวัฒนาการในปัจจุบัน และป้องกันไม่ให้ individual มีวิวัฒนาการไปทาง Local optimal solution นอกจากนี้ Quantum mutation ยังสามารถทำให้เกิดการย้อนกลับของวิวัฒนาการของแต่ละ individual โดยการสลับค่าความน่าจะเป็น หรือค่าแอลกอริทึดของคิวบิต นอกจากนี้ Quantum NOT gate ถูกนำมาใช้เพื่อให้เกิดความแปรปรวนของโครโนโซม และมาประยุกต์ใช้ในการแปลงจำนวนคิวบิตที่เลือกตามความน่าจะเป็นของ

การกลายพันธุ์แบบสุ่มเพื่อแปลงคิวบิตให้สอดคล้องกับความน่าจะเป็นที่เป็นไปได้ของคิวบิต Quantum mutation จึงช่วยเพิ่มความหลากหลายของประชากร และลดความน่าจะเป็นของการลู่เข้าหาคำตอบของ individual ก่อนถึงเวลาที่เหมาะสม ส่วน Quantum disaster operation ช่วยให้ individual ที่มีวิวัฒนาการไปทาง Local optimal solution สามารถออกจาก Local optimal solution ได้ โดยใช้การรับกวน Individual จำนวนมากในกลุ่มประชากร และสร้าง individual ใหม่

ปี 2010 Ying[22] ได้เสนอว่าวิธีการนำการคำนวณเชิงค่อนต้มมาใช้เพื่อให้บรรลุเป้าหมาย บางอย่างในปัญญาประดิษฐ์ (AI) สามารถจำแนกได้ทั้งหมด 3 คลาส ได้แก่ การออกแบบอัลกอริทึม ค่อนต้มเพื่อแก้ปัญหาใน AI ให้มีประสิทธิภาพมากยิ่งขึ้น การพัฒนาวิธีการสำหรับแก้ปัญหา AI ที่มี ประสิทธิภาพยิ่งขึ้นโดยการใช้อิเดียจากทฤษฎีค่อนต้ม และการพัฒนาเทคนิค AI ใหม่ๆเพื่อจัดการ กับปัญหาในโลกค่อนต้ม สำหรับคลาสแรกนั้นยังอยู่ในช่วงเริ่มต้นของการพัฒนา และยังไม่มีความ คืบหน้าทางด้านงานวิจัยมากนัก ส่วนคลาสที่ 2 งานวิจัยยังคงค่อนข้างกระฉับกระเฉยและขาดความ เชื่อมโยงระหว่างงานวิจัย อย่างไรก็ตาม งานวิจัยสำหรับการพัฒนาวิธีการแก้ปัญหา AI ที่มี ประสิทธิภาพยิ่งขึ้นโดยการใช้อิเดียจากทฤษฎีค่อนต้มนั้นได้รับความนิยมเป็นอย่างมากเมื่อเทียบกับ งานวิจัยคลาสอื่นๆ แต่บางส่วนของงานวิจัยเหล่านี้ยังจำเป็นต้องมีการวิเคราะห์เชิงทฤษฎีอย่างลึกซึ้ง ถึงวิธีการที่เป็นทางการสำหรับการพัฒนางานวิจัยเหล่านี้ โดยเฉพาะอย่างยิ่ง จำเป็นต้องมีการวิจัยเชิง ทดลองเพิ่มเติมเพื่อทดสอบประสิทธิภาพของอัลกอริทึม และคลาสที่ 3 เป็นงานวิจัยที่ต้องอาศัยการ ทำงานร่วมกันระหว่างนักวิจัยที่พัฒนาเทคโนโลยี AI กับนักฟิสิกส์ จึงมีความเป็นไปได้ที่เทคโนโลยี AI ที่พัฒนาขึ้นใหม่อาจไม่มีประโยชน์และไม่ได้รับการยอมรับหรือชื่นชมจากนักฟิสิกส์เท่าไหร่นัก ถึง กระนั้นการทำงานร่วมกันอาจนำไปสู่งานวิจัยใหม่ๆที่มีผลกระทบต่อชีวิตประจำวันของคนทั่วไป ค่อนข้างสูง

ปี 2012 มีงานวิจัยที่พัฒนาขั้นตอนวิธีเชิงพันธุกรรมแบบกระชับ (Compact genetic algorithm) บนเครื่องคอมพิวเตอร์เชิงค่อนต้มแบบจำลอง[6] โดยใช้ QCL (Quantum computing language) ซึ่งเป็นภาษาที่ใช้ในการเขียนโปรแกรมรูปแบบหนึ่งสำหรับเครื่องคอมพิวเตอร์เชิงค่อนต้ม มีการกำหนด Quantum register เพื่อใช้เก็บข้อมูลประชากร และใช้ Hadamard gate เพื่อแปลง สถานะของ Quantum register ให้อยู่ในสถานะ Superposition จากนั้นจึงนำ Qubit rotation มา

ใช้ในการปรับมุกการหมุนของคิวบิตเพื่อให้สถานะของคิวบิตเข้าใกล้สถานะที่ต้องการ เมื่อจำลองภาพสถานะ Superposition ของคิวบิตและการหมุนคิวบิตด้วย Bloch's sphere ได้ดังภาพที่ 2 ซึ่งทำให้ภายในหลังการปรับสถานะเวกเตอร์ของคิวบิต ทำให้คิวบิตมีสถานะใกล้ $|0\rangle$ มากขึ้น



ภาพที่ 10 การนำ qubit rotation มาใช้ปรับสถานะเวกเตอร์ของคิวบิตโดยปรับ $\pi/4$

งานวิจัยนี้ยังได้ทำการเปรียบเทียบผลการรันโปรแกรมความต้มเพื่อหาคำตอบของปัญหา onemax เทียบกับอัลกอริทึมขั้นตอนวิธีเชิงพันธุกรรมแบบกระชับแบบดั้งเดิม (cGA) ซึ่งพบว่าความถูกต้องและความรวดเร็วของโปรแกรมไม่แตกต่างกัน จึงได้มีการนำเสนอ Quantum cGA แบบใหม่ที่ใช้หลักการการประมวลผลเชิงความต้มแบบขนาน (Quantum parallelism) คือการพยายามสร้าง Second candidate ที่มีค่า Fitness ต่ำกว่าหรือเท่ากับ First candidate โดยใช้ฟังก์ชันความต้มที่มีความสามารถในการแสดงสถานะเวกเตอร์ของทุกๆ คิวบิตได้ในเวลาเดียว กัน และเมื่อทำการเปรียบเทียบกับอัลกอริทึมดั้งเดิมกับปัญหา Trap ก็พบว่า Quantum cGA ที่ใช้หลักการการประมวลผลเชิงความต้มแบบขนานสามารถหาคำตอบที่ถูกต้องได้มากกว่าและประมวลผลได้รวดเร็วกว่า

ในช่วงหลายปีที่ผ่านมา มีงานวิจัยที่พยายามนำการคำนวณเชิงความต้มมาร่วมกับขั้นตอนวิธีเชิงพันธุกรรม (Genetic algorithm) โดยหวังว่าขั้นตอนวิธีเชิงพันธุกรรมที่ใช้การคำนวณเชิงความต้มจะให้ผลลัพธ์ที่รวดเร็วกว่า หรือให้แนวความคิดใหม่ๆ ในกราฟแบบและพัฒนาอัลกอริทึม เช่น quantum-assisted genetic algorithm[5, 21, 23, 24] ที่มีการมอบหมายงานบางส่วนของ

อัลกอริทึม เช่น Mutation operation และ Probabilistic elements ให้คอมพิวเตอร์เชิงคุณต้ม ประมวลผลให้ ในขณะที่ส่วนการทำ Crossover และการปรับปรุงประชากร (Population update) ยังคงประมวลผลอยู่บนเครื่องคอมพิวเตอร์ดังเดิม นอกจากนี้ยังมีงานวิจัยที่พยายามกำหนดขั้นตอนวิธี เชิงพันธุกรรมแบบใหม่ในบริบทของการคำนวณเชิงคุณต้ม[25, 26] โดยการสร้างประชากรด้วย สถานะซ้อนทับของคิวบิต ประเมินค่าความเหมาะสมของแต่ละประชากรเพื่อลดมิติของพื้นที่ และใช้ การครอสโซเวอร์ระหว่างประชากร โดยยังมีประชากรบางส่วนที่มีสถานะพัวพันกันอยู่ จากนั้นจึง ขยายพื้นที่กลับไปเป็นสถานะซ้อนทับใหม่เพื่อขยายมิติพื้นที่กลับไปใหม่อีกครั้ง กระบวนการดังกล่าว จะถูกทำซ้ำหลายครั้งจนกระทั่งได้คำตอบที่เหมาะสมที่สุด หรือพบเงื่อนไขในการหยุดกระบวนการ

นอกจากนี้จากการนำการคำนวณเชิงคุณต้มมาร่วมกับขั้นตอนวิธีเชิงพันธุกรรมที่มีการ เข้ารหัสข้อมูลเชิงคุณต้มในรูปแบบเลขฐานสอง ซึ่งประกอบด้วย 0 กับ 1 แล้ว ปี 2018 มีงานวิจัยที่ นำเสนอ Quantum genetic algorithms ที่ปรับวิธีเข้ารหัสข้อมูลเชิงคุณต้มในมิติที่สูงขึ้น[27] นั่น คือใช้การเข้ารหัสข้อมูลในรูปแบบเลขฐานสาม เรียกว่า ternary numeral system หรือ Trit ซึ่งมี หน่วยข้อมูลที่เล็กที่สุดสามสถานะ คือ 0 1 และ 2 ดังนั้นสถานะคิวบิตสามารถแสดงได้สูงสุดสาม สถานะในเวลาเดียวกัน เรียกว่า Qutrit เมื่อเปรียบเทียบประสิทธิภาพกับ Quantum genetic algorithms ที่ใช้การเข้ารหัสข้อมูลเชิงคุณต้มในรูปแบบเลขฐานสอง พบว่า Quantum genetic algorithm ที่ใช้การเข้ารหัสข้อมูลเชิงคุณต้มแบบ Qutrit มีประสิทธิภาพที่ดีกว่า และใช้เวลาในการ ประมวลผลน้อยกว่า นอกจากนี้งานวิจัยนี้ได้นำหลักการของ Quantum disaster operation มา ช่วยในการปรับค่าสถานะคิวบิตให้เป็นค่าสถานะเริ่มต้นที่แอนพลิจูดของทุกสถานะย้อยมีค่าเท่ากัน เมื่อการวิวัฒนาการของรูปแบบคำตอบลู่เข้าค่า local optimal solution เพื่อขยายขนาดของ ประชากรและขยายพื้นที่ในการค้นหาคำตอบที่เป็น global optimal solution

ตั้งแต่เริ่มมีงานวิจัยเกี่ยวกับ Quantum genetic algorithms (QGAs) จนถึงปัจจุบันนี้ QGAs ถูกนำเสนอในวารสารทางวิทยาศาสตร์จำนวนมาก[28-32] และประสบความสำเร็จในการนำ อัลกอริทึมวิวัฒนาการเชิงคุณต้มหลากหลายรูปแบบไปใช้กับปัญหาการหากำหนดเวลาบุคลากร (Personnel scheduling problem)[33] ปัญหาการขนส่งอย่างประหยัด (Dynamic economic dispatch problem) เช่น การจ่ายไฟลดอย่างประหยัดในระบบโรงไฟฟ้า[34]

การลงทะเบียนภาพหลายเซ็นเซอร์ (Multi-sensor image registration)[35] และปัญหาการถอดรหัส (Cryptanalysis)[36]

แม้ว่างานวิจัยเกี่ยวกับเทคโนโลยีความต้มจะเริ่มต้นมาตั้งแต่ปี 1982 โดยนักพิสิกส์ Richard Feynman ผู้ซึ่งได้รับรางวัลโนเบลสาขาฟิสิกส์ในปี 1957 ได้มีการพูดถึงเครื่องจักรที่สามารถทำงานบนหลักการทำงานกลศาสตร์ความต้ม เพื่อจำลองพฤติกรรมของระบบความต้มโดยใช้ระบบควบคุมต้มอีกระบบหนึ่ง[37] ถัดมาในปี 1985 David Deutsch ได้นำเสนอเครื่องความต้มทั่วไป (Quantum Turing machine) โดยอ้างอิงจากงานวิจัยบุกเบิกของ Alan Turing และได้ระบุอัลกอริทึมที่ออกแบบสำหรับทำงานบนเครื่องคอมพิวเตอร์เชิงทฤษฎีแล้ว สาขาวิชานี้ได้รับความสนใจเป็นอย่างมากในช่วงกลางทศวรรษ 90 เนื่องด้วยในปี 1994 นักคณิตศาสตร์ Peter Shor ได้เสนออัลกอริทึมควบคุมต้มสำหรับแยกตัวประกอบที่เร็วกว่าอัลกอริทึมที่รู้จักกันดีที่สุดในปัจจุบันซึ่งทำงานบนคอมพิวเตอร์แบบดั้งเดิม เรียกว่า “อัลกอริทึมของชอร์ (Shor's algorithm)”[39] อย่างที่ทราบกันดีว่าปัจจุบันการเข้ารหัส (Encryption) ส่วนใหญ่มีพื้นฐานมาจากแนวคิดการแยกตัวประกอบจำนวนเต็มขนาดใหญ่ที่เป็นผลคุณของจำนวนเฉพาะขนาดใหญ่สองตัว เช่น RSA encryption เป็นต้น ซึ่งเป็นเรื่องที่ยากมากที่คอมพิวเตอร์แบบดั้งเดิมจะสามารถค้นหาจำนวนเฉพาะขนาดใหญ่สองตัวนั้นเพื่อทำการถอดรหัส คอมพิวเตอร์แบบดั้งเดิมอาจใช้เวลาทั้งชีวิตหรือนานเกินกว่าที่จะสามารถคำนวณได้ อย่างไรก็ตามหากเราสามารถดำเนินการกับคิวบิตจำนวนมากบนเครื่องคอมพิวเตอร์เชิงความต้มได้ การค้นหาจำนวนเฉพาะก็สามารถทำได้อย่างมีประสิทธิภาพในเวลา Polynomial time ทำให้พื้นฐานของการเข้ารหัส ณ ปัจจุบันส่วนใหญ่ที่ใช้บนอินเทอร์เน็ต มีความเสี่ยงที่จะสามารถถูกถอดรหัสได้โดยง่าย รวมถึงความเสี่ยงในการสร้างความเสียหายให้กับบิตคอยน์ (Bitcoins) และสกุลเงินดิจิทัล (Cryptocurrencies) อีก แม้ว่างานวิจัยเทคโนโลยีเชิงความต้มจะมีปริมาณเพิ่มมากขึ้นอย่างต่อเนื่อง และมีความก้าวหน้าทางเทคโนโลยีเชิงความต้มเพิ่มมากขึ้น นักวิจัยยังคงต้องเผชิญกับอุปสรรคสำคัญนั่นคือการควบคุมการคำนวณบนเครื่องคอมพิวเตอร์เชิงความต้มให้สามารถทำการคำนวณได้โดยปราศจากสิ่งรบกวนจากภายนอก (Outside noise) เพื่อลดข้อผิดพลาดในการคำนวณเชิงความต้ม ซึ่งนำมาสู่การหาวิธีการตรวจจับและแก้ไขข้อผิดพลาด (Error correction) ของคิวบิต นอกจากนี้ยังมีปัญหาการสูญเสียอาพันธ์ (Decoherence) คือคิวบิตคงสถานะซ้อนทับได้ในช่วงระยะเวลาหนึ่งเท่านั้น

[40]รวมถึงปัญหา no-cloning ทำให้ไม่สามารถสำเนาค่าคิวบิตได้ เมื่อระบบมีความซับซ้อนมากขึ้น จำนวนคิวบิตที่จำเป็นต้องใช้จะเพิ่มมากขึ้นตามไปด้วย ซึ่งยิ่งจำนวนคิวบิตมาก ก็ยิ่งเพิ่มความไวต่อ สัญญาณรบกวนมากขึ้น นี้จึงเป็นเหตุผลสำคัญที่การสร้างเครื่องคอมพิวเตอร์เชิงควบคุมทั้งให้สามารถใช้งานได้จริงเป็นเรื่องที่ท้าทายมาก และยังคงมีงานวิจัยเทคโนโลยีเชิงควบคุมที่ถูกเผยแพร่ออกมาก เพื่อพยายามหาค่าตอบของประเด็นปัญหาเหล่านี้อย่างต่อเนื่อง



บทที่ 4

แนวคิดและวิธีการดำเนินงานวิจัย

งานวิจัยนี้นำเสนอขั้นตอนวิธีเชิงพันธุกรรมแบบกระชับชนิดความต้ม (Quantum compact genetic algorithm) สำหรับปัญหาอย่าง โดยได้แบ่งขั้นตอนการดำเนินงานออกเป็น 6 ส่วนหลักได้แก่

4.1 การศึกษาอัลกอริทึมขั้นตอนวิธีเชิงพันธุกรรมแบบกระชับ (cGA)

ผู้วิจัยได้ทำการศึกษาอัลกอริทึมขั้นตอนวิธีเชิงพันธุกรรมแบบกระชับ ซึ่งเป็นหนึ่งในขั้นตอนวิธีเชิงวิัฒนาการแบบใหม่ ที่มีแนวความคิดในการใช้ตัวแบบความน่าจะเป็น (Probabilistic model) แทนการใช้กลุ่มประชากรแบบเดิมในการค้นหาคำตอบ แนวความคิดนี้ทำให้ขั้นตอนวิธีเชิงพันธุกรรมใช้หน่วยความจำในการเก็บประชารณ์อย่างละเอียด เนื่องจากไม่มีการใช้ประชากรอิกต่อไป อีกทั้งยังไม่ต้องอาศัยการดำเนินการเชิงพันธุกรรม เช่น การไขว้เปลี่ยน หรือ การกลายพันธุ์ ทำให้การประมวลผลทำได้รวดเร็วขึ้น โดยที่ยังคงความสามารถเทียบเท่ากับขั้นตอนวิธีเชิงพันธุกรรมอย่างง่ายที่ใช้อยู่เดิม [11] การแทนคำตอบของขั้นตอนวิธีเชิงพันธุกรรมแบบกระชับจะอยู่ในรูปแบบของเวคเตอร์ความน่าจะเป็น (probability vector) ซึ่งจะใช้เป็นตัวแบบในการหาการกระจายตัวของคำตอบ โดยแต่ละมิติ (dimension) ของเวคเตอร์เป็นค่าความน่าจะเป็นที่แต่ละบิตจะเป็น 1 ตัวอย่างเช่น สมมติว่าประชากรของขั้นตอนวิธีเชิงพันธุกรรมแบบเดิมมีโครโน่ชุมยาว 5 บิตดังภาพที่ 11 ตัวอย่างของเวคเตอร์ความน่าจะเป็นของขั้นตอนวิธีเชิงพันธุกรรมอาจเป็นดังภาพที่ 12 ซึ่งจะมีจำนวนมิติคือ 5 ตามความยาวของโครโน่ชุม โดยในเวคเตอร์ความน่าจะเป็นนี้ แต่ละมิติจะเป็นค่าความน่าจะเป็นของการเกิดบิตที่เป็น 1 เช่น ค่า 1.0 แทนความน่าจะเป็นที่โครโน่ชุมบิตแรกจะเป็น 1 จากประชากรทั้งหมด เป็นต้น

11010
11000
10110
11001

ภาพที่ 11 การแทนประชากรของขั้นตอนวิธีเชิงพันธุกรรมแบบเดิมที่มีโครโน่ชุมยาว 5 บิต

1.0	0.75	0.25	0.5	0.25
-----	------	------	-----	------

ภาพที่ 12 เวกเตอร์ความน่าจะเป็นของขั้นตอนวิธีเชิงพันธุกรรมแบบเดิมที่มีโครโนโซมยาว 5 บิต

การปรับปรุงคำตอบของขั้นตอนวิธีเชิงพันธุกรรมแบบกราฟสามารถทำได้โดยการปรับค่าความน่าจะเป็นในแต่ละมิติของเวกเตอร์ความน่าจะเป็นตามคำตอบที่ดีกว่า โดยในการทำงานของอัลกอริทึมนี้จะมีการสุ่มสร้างตัวอย่าง 2 ตัว ขึ้นมาจากการเกกเตอร์ความน่าจะเป็น ซึ่งโครโนโซมของตัวอย่างที่สุ่มขึ้นมาในแต่ละบิตจะเป็น 0 หรือ 1 ขึ้นกับค่าความน่าจะเป็นในแต่ละมิติของเวกเตอร์ความน่าจะเป็น เช่น ถ้าเวกเตอร์ความน่าจะเป็นมีค่า 0.5 ในทุกมิติ ตัวอย่างประชากรที่สุ่มสร้างขึ้นมาจะมีโอกาสเป็นบิต 1 หรือ 0 เท่าๆ กัน แต่ถ้าเวกเตอร์ความน่าจะเป็นมีค่า 1.0 ทุกมิติ ตัวอย่างที่สุ่มออกมาก็จะเป็นโครโนโซมที่เป็นบิต 1 ทั้งหมด เมื่อสุ่มสร้างตัวอย่างขึ้นมาแล้วก็จะพิจารณาว่าคำตอบตัวใดมีค่าความเหมาะสมมากกว่ากัน เวกเตอร์ความน่าจะเป็นในแต่ละมิติจะถูกปรับตามบิตของคำตอบตัวที่ดีกว่า ถ้าบิตนั้นมีค่าเป็น 1 ความน่าจะเป็นในมิตินั้นก็จะปรับเข้าใกล้ 1 แต่ถ้าเป็น 0 ค่าความน่าจะเป็นในมิตินั้นก็จะลดค่าลง โอกาสที่บิตนั้นจะถูกสร้างมาเป็น 0 ในรอบถัดไปก็จะเพิ่มตามด้วย ในทางกลับกันถ้าบิตของโครโนโซมทั้ง 2 ตัวเหมือนกัน จะไม่มีการปรับค่าเวกเตอร์ความน่าจะเป็นของบิตนั้น ดังนั้นเมื่อผ่านกระบวนการวิวัฒนาการไประยะหนึ่ง เวกเตอร์ความน่าจะเป็นก็จะเป็นรูปแบบการกระจายตัวของคำตอบที่ดี ซึ่งมีขั้นตอนโดยสรุปดังนี้

- 4.1.1 กำหนดค่าเริ่มต้นของตัวแปรในเวกเตอร์ความน่าจะเป็นในทุกๆ มิติให้มีค่าเป็น 0.5
- 4.1.2 สุ่มสร้างตัวอย่างคำตอบจากเวกเตอร์ความน่าจะเป็นขึ้นมา 2 ตัว
- 4.1.3 คำนวณค่าความเหมาะสมของตัวอย่างที่สุ่มมาได้ แล้วพิจารณาว่าตัวใดเป็นผู้ชนะ และผู้แพ้
- 4.1.4 ปรับค่าเวกเตอร์ความน่าจะเป็นตามผู้ชนะ โดยพิจารณาเฉพาะบิตที่ผู้ชนะและผู้แพ้ไม่เหมือนกัน โดยปรับตามเงื่อนไขดังนี้
 - 4.1.4.1 ถ้าบิตตำแหน่งที่ i ของผู้ชนะ เป็น 1 จะปรับค่าเวกเตอร์ความน่าจะเป็นที่ตำแหน่ง i โดยนำค่าความน่าจะเป็นเดิมบวกกับ $1/n$ เมื่อ n คือจำนวนประชากรที่ถูกกำหนดใช้ในขั้นตอนวิธีเชิงพันธุกรรมอย่างง่าย

4.1.4.2 ถ้าบิตรตำแหน่งที่ i ของผู้ชั่นจะ เป็น 0 จะปรับค่าเวกเตอร์ความน่าจะเป็นที่ตำแหน่ง i โดยนำค่าความน่าจะเป็นเดิมลบด้วย $1/n$

4.1.5 ตรวจสอบว่าเวกเตอร์ความน่าจะเป็นลู่เข้าสู่คำตอบแล้วหรือไม่ โดยพิจารณาจากค่าความน่าจะเป็นของแต่ละมิติว่าเป็น 0.0 หรือ 1.0 ครบแล้วหรือไม่ ถ้าค่าความน่าจะเป็นลู่เข้าสู่ 0.0 หรือ 1.0 หมดแล้ว ให้จบการทำงาน แต่ถ้ายังลู่เข้าไม่ครบ ให้สมุตัวอย่างจากเวกเตอร์ความน่าจะเป็นขึ้นมาใหม่แล้วทำซ้ำขั้นตอนที่ 2 ถึง 5 ต่อไป

4.2 การศึกษาอัลกอริทึมการค้นหาของ Grover โดยใช้ Qiskit ซึ่งเป็นชุดพัฒนาซอฟต์แวร์แบบ open-source สำหรับทำงานกับ OpenQASM และ quantum processor ของ IBM

อัลกอริทึมการค้นหาของ Grover[7] เป็นอัลกอริทึมความต้มที่สามารถนำมาใช้ในการเร่งเวลาหากคำตอบของปัญหาการค้นหาข้อมูลแบบไม่มีโครงสร้าง (unstructured search) ที่คอมพิวเตอร์ทั่วไปใช้เวลาในการค้นหาคำตอบนานมาก โดยใช้กลวิธีในการขยายขนาดของแมมพลิจูดสำหรับปัญหาการค้นหาข้อมูลแบบไม่มีโครงสร้างสามารถจำลองได้ดังภาพที่ 13

1	2	3	W	...	$N = 2^n$	

ภาพที่ 13 แสดงรายการที่ต้องการค้นหา(w) โดยกำหนดเป็นสีชมพู ขณะที่รายการอื่นเป็นสีเทา[41]

สมมติมีรายการขนาดใหญ่ N รายการ ซึ่งในรายการเหล่านี้มี 1 รายการที่มีคุณสมบัติที่เป็นเอกลักษณ์ที่เราต้องการค้นหา เราจะเรียกรายการนี้ว่าผู้ชั่น และกำหนดให้ผู้ชั่นจะมีสีชมพู ขณะที่รายการอื่นๆเป็นสีเทา ในการหาคลื่องสีชมพูโดยใช้การคำนวนแบบคลาสสิกอาจจะต้องตรวจสอบเป็นจำนวนครั้งโดยเฉลี่ยทั้งหมด $N/2$ ครั้ง และกรณีที่ແยื่สุดคือต้องตรวจสอบเป็นจำนวน N ครั้งอย่างไรก็ตามในคอมพิวเตอร์ใช้ความต้ม เรากำลังค้นหารายการที่ต้องการค้นหาด้วยจำนวนครั้งโดยประมาณ \sqrt{N} ด้วยเทคนิคการขยายแมมพลิจูดของ Grover ซึ่งทำให้ประหยัดเวลาเป็นอย่างมากสำหรับการค้นหารายการที่ต้องการจากจำนวนรายการทั้งหมดที่มีขนาดใหญ่มาก นอกจ้านี้ อัลกอริทึมไม่ได้ใช้โครงสร้างภายในของรายการ ซึ่งทำให้มันใช้ได้กับทุกปัญหาทั่วไป โดยรายการต่างๆ จะถูกส่งไปยังเครื่องคอมพิวเตอร์เชิงความต้มผ่านการเข้ารหัสรายการให้อยู่ในรูปของฟังก์ชัน ซึ่งจะ

คืนค่าเป็น 0 เมื่อรายการนั้นไม่ใช่รายการที่ต้องการค้นหา และจะคืนค่าเป็น 1 เมื่อรายการนั้นคือรายการที่ต้องการ (ผู้ชนะ) เพื่อให้ใช้เครื่องคอมพิวเตอร์เชิงคุณต้มสำหรับปัญหานี้ได้ จำเป็นจะต้องทำให้ทุกรายการอยู่ในสถานะซ้อนทับ (Superposition) สำหรับฟังก์ชัน และจึงเข้ารหัสฟังก์ชันให้อยู่ในรูปของ unitary matrix เราเรียกฟังก์ชันนี้ว่า Oracle โดยลำดับการทำงานของ Oracle เป็นดังนี้

4.2.1 ทำการเข้ารหัสรายการทั้งหมดในรูปแบบเลขฐานสอง

$$x, w \in (0, 1)^n, N = 2^n \quad (22)$$

x คือรายการที่ไม่ต้องการ

w คือรายการที่ต้องการ

N คือขนาดทั้งหมดของการ

ดังนั้นเราจะสามารถแทนรายการในรูปของคิวบิตบนเครื่องคอมพิวเตอร์เชิงคุณต้มได้

4.2.2 กำหนด oracle matrix (U_f) เพื่อใช้เป็นตัวดำเนินการกับสถานะพื้นฐานของการต่างๆ

4.2.2.1 ถ้าเป็นรายการที่ไม่ต้องการ $|x\rangle$ oracle จะดำเนินการดังนี้

$$U_f |x\rangle = (-1)^{f(x)} |x\rangle = |x\rangle \text{ เมื่อ } f(x) = 0 \quad (23)$$

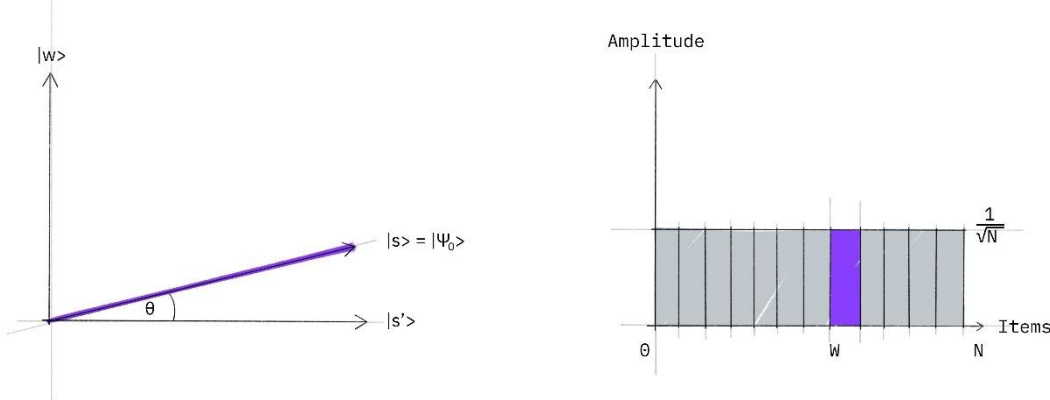
4.2.2.2 ถ้าเป็นรายการที่ต้องการ $|w\rangle$ oracle จะดำเนินการดังนี้

$$U_f |w\rangle = (-1)^{f(w)} |w\rangle = (-1) |w\rangle \text{ เมื่อ } f(w) = 1 \quad (24)$$

เนื่องจากเราไม่สามารถรู้ตำแหน่งของรายการที่ต้องการค้นหา ดังนั้นเราจึงจำเป็นต้องเดาตำแหน่งของรายการนั้นสามารถทำได้ในรูปของสถานะคุณต้มของคิวบิต เรียกว่า การซ้อนทับของสถานะอย่างสมำเสมอ (unitary Superposition) เมื่อเรามีการวัดสถานะเพื่อดูว่าเป็นรายการที่ต้องการค้นหาหรือไม่ จะทำให้สถานะซ้อนทับของคิวบิตถูกยุบจนเหลือเพียงสถานะเดียว ซึ่งความน่าจะเป็นที่จะวัดสถานะของคิวบิตและเจอรายการที่ต้องการค้นหาจากจำนวนรายการทั้งหมด 2^n รายการคือ $1/2^n$ เท่านั้น นั่นหมายความว่าเราอาจต้องเดาถึง 2^n ครั้งจึงจะเจอรายการที่ต้องการ การขยายแอมพลิจูดจึงเป็นวิธีการที่คอมพิวเตอร์เชิงคุณต้มช่วยเพิ่มความน่าจะเป็นโดยการขยายแอมพลิจูดของรายการที่ต้องการค้นหา ในขณะเดียวกันก็ลดแอมพลิจูดของรายการที่ไม่ต้องการ ดังนั้นการวัดสถานะสุดท้ายจะคืนรายการที่ต้องการในที่สุด โดยใช้หลักการทางเรขาคณิตเรื่องการ

จะท่อน 2 ครั้งสำหรับการหมุนในระบบสองมิติ ซึ่งมีการพิจารณาเพียง 2 สถานะ คือสถานะของ รายการที่ต้องการ $|w\rangle$ และ สถานะซ้อนทับอย่างสมำเสมอ $|s\rangle$ สถานะเวกเตอร์ 2 ตัวนี้มีระบบ 2 มิติในปริภูมิเวกเตอร์แต่ไม่สามารถตั้งจากกันได้เนื่องจาก $|w\rangle$ อยู่ในสถานะซ้อนทับซึ่งมีค่าแอมพลิจูด อยู่ที่ $1/\sqrt{N}$ ดังนั้นจึงเพิ่มเวกเตอร์สถานะใหม่คือ $|s'\rangle$ ที่อยู่ระหว่างเวกเตอร์ 2 ตัวนี้และตั้งจากกับ $|w\rangle$ โดยแบ่งมาจาก $|s\rangle$ ที่ไม่รวม $|w\rangle$ และปรับขนาดใหม่ ขั้นตอนการขยายแอมพลิจูดสรุปได้ดังนี้

4.2.2.2.1 ที่เวลา $t = 0$ กำหนดค่าแอมพลิจูดเริ่มต้นของทุกเวกเตอร์สถานะ คือ $1/\sqrt{N}$ และกำหนดให้ $|\psi_0\rangle = |s\rangle$ ดังภาพที่ 14

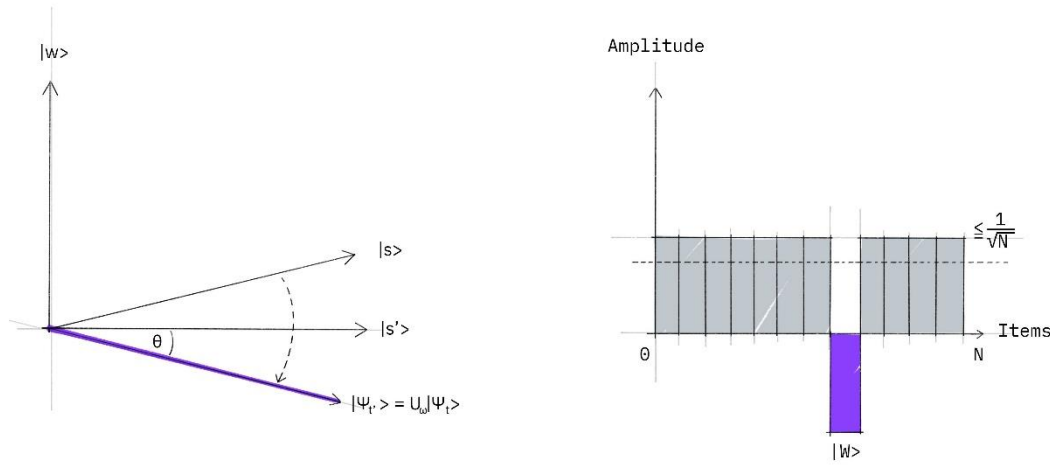


ภาพที่ 14 แสดงค่าแอมพลิจูดเริ่มต้นของทุกสถานะสำหรับ 2 คิวบิต และปริภูมิเวกเตอร์ในระบบ 2 มิติของ $|w\rangle$ และ $|\psi_0\rangle$ [41]

4.2.2.2 ประยุกต์การสะท้อนของ oracle (oracle reflection) U_f ไปที่ เวกเตอร์สถานะ $|\psi_0\rangle$ ดังสมการ

$$U_f |\psi_t\rangle = |\psi_{t'}\rangle \quad (25)$$

ค่าแอมพลิจูดของสถานะที่สนใจจะถูกกลับค่า ทำให้ค่าเฉลี่ยของแอมพลิจูดของ ทุกสถานะลดลงดังภาพที่ 15



ภาพที่ 15 แสดงการเปลี่ยนค่าแอมเพลจูดเมื่อประยุกต์ oracle reflection ครั้งที่ 1[41]

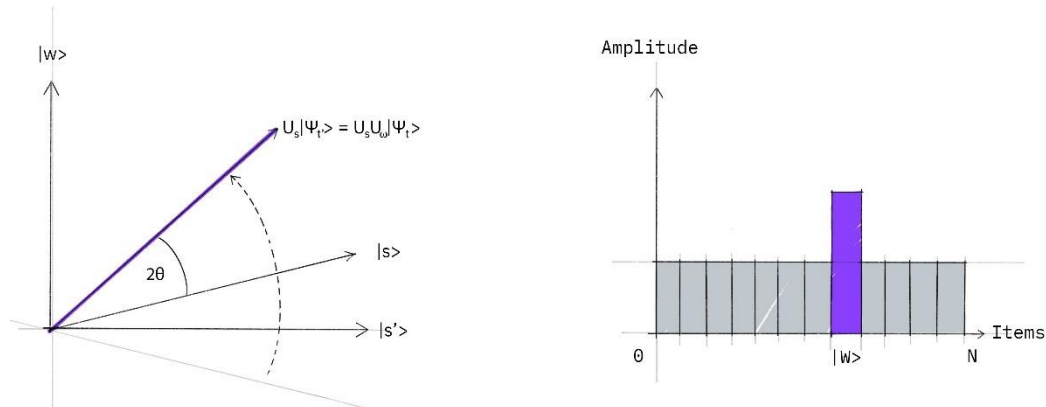
4.2.2.3 ประยุกต์การสะท้อนของ oracle อีกครั้งหนึ่งไปที่ $|s\rangle$ สามารถเขียนสัญลักษณ์ได้ดังนี้

$$U_s = 2|s\rangle\langle s| - 1 \quad (26)$$

การแปลงนี้จะทำให้กลไยเป็นสถานะ $U_s |\psi_t\rangle$ และเสร็จสิ้นการแปลงจะได้

$$|\psi_{t+1}\rangle = U_s U_f |\psi_t\rangle \quad (27)$$

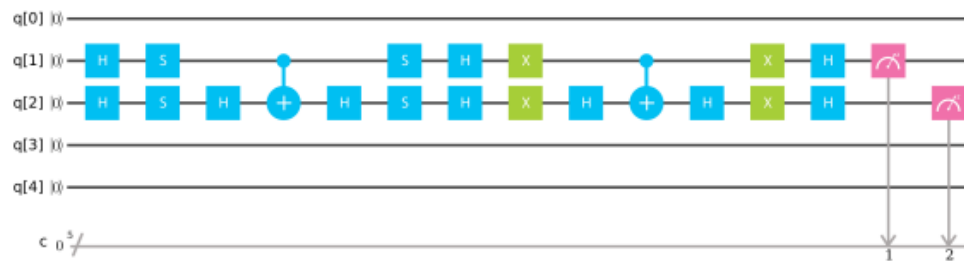
การแปลงโดยประยุกต์ oracle reflection $U_s U_f$ ทำให้สถานะเริ่มต้นของ $|s\rangle$ เปลี่ยนไปมีค่าแอมเพลจูดของสถานะใกล้กับ $|w\rangle$ มากขึ้นดังภาพที่ 16



ภาพที่ 16 แสดงการเปลี่ยนค่าแอมเพลจูดเมื่อประยุกต์ oracle reflection ครั้งที่ 2[41]

ตัวอย่างวงจร Grover ที่รันบน IBM quantum processor สำหรับ 2 คิวบิตที่มีสถานะที่ต้องการคือ 00 ดังภาพที่ 17

Grover N=2 A=00



ภาพที่ 17 แสดงตัวอย่างวงจร Grover ของ IBM สำหรับ 2 คิวบิตที่มีสถานะที่ต้องการคือ 00[41]

4.3 การประยุกต์ใช้อัลกอริทึมการค้นหาของ Grover เข้ากับขั้นตอนวิธีเชิงพันธุกรรมแบบ กระชับ (cGA) โดยทดสอบกับปัญหา One-max บนเครื่องคอมพิวเตอร์เชิงความต้ม² จำลองของ IBM และ/หรือ เครื่องคอมพิวเตอร์เชิงความต้มจริงของ IBM

เนื่องจากอัลกอริทึมการค้นหาของ Grover เป็นอัลกอริทึมที่ใช้ประโยชน์จากการขยายค่า แອมเพลจูดเพื่อเพิ่มความน่าจะเป็นของเวกเตอร์สถานะของคิวบิตที่สนใจมาใช้ในการค้นหาข้อมูลที่ไม่เป็นโครงสร้างได้เร็วกว่าคอมพิวเตอร์ทั่วไปที่ใช้การคำนวณแบบบังเดิม และขั้นตอนวิธีเชิงพันธุกรรมแบบกระชับก็ใช้หลักการหาคำตอบที่เหมาะสมจากเวกเตอร์ความน่าจะเป็น ผู้วิจัยจึงได้พัฒนาอัลกอริทึมการค้นหาของ Grover โดยใช้ Qiskit library ของ IBM สำหรับจำลองวงจรความต้ม และประยุกต์เข้ากับขั้นตอนวิธีเชิงพันธุกรรมแบบกระชับเพื่อหาคำตอบของปัญหา โดยเริ่มต้นจากปัญหาพื้นฐานอย่างง่าย ได้แก่ ปัญหาจำนวนบิตหนึ่งมากที่สุด (One-max) ปัญหานี้เป็นปัญหาสมมุติ (Toy problem) และเป็นปัญหาที่แก่ง่ายเมื่อใช้ขั้นตอนวิธีเชิงพันธุกรรม ซึ่งมักจะถูกใช้เป็นปัญหาทดสอบพัฒนาระบบของอัลกอริทึมเพื่อเปรียบเทียบความสามารถในการแก้ปัญหาแบบง่าย โดยค่าความเหมาะสมของคำตอบจะเท่ากับจำนวนบิตที่เป็น 1 ถ้ามีบิตที่เป็น 1 ยิ่งมากค่าความเหมาะสมจะมากขึ้น และค่าสูงสุดที่เป็นไปได้จะเกิดในกรณีที่ทุกบิตเป็น 1 ทั้งหมด ในกรณีนี้ค่าความเหมาะสมจะเท่ากับความยาวของครโนໂซม

สำหรับขั้นตอนวิธีเชิงพันธุกรรมแบบกระชับชนิดความต้ม เริ่มต้นจากกำหนดวงจรความต้ม (Quantum circuit) ประกอบด้วย Quantum register และ Classical register ซึ่ง Quantum register จะประกอบด้วยคิวบิตหลายๆคิวบิต และ Classical register ไว้สำหรับเก็บค่าของคิวบิตที่ทำการวัดแล้ว จำนวนนี้กำหนดวงจรโดยรวมเริ่มต้นของ Quantum register ใน Quantum Circuit โดยกำหนดค่าแອมเพลจูดหรือมุนเริ่มต้นของเวกเตอร์สถานะของแต่ละคิวบิตคือ $\frac{\pi}{2}$ ครโนໂซม ซึ่ดแรกจะถูกสร้างจากเวกเตอร์สถานะของแต่ละคิวบิตใน Quantum register และทำการสังเกต ครโนໂซมที่ได้โดยใช้การวัด (Measurement) ซึ่งจะทำให้เวกเตอร์สถานะที่เป็น Superposition ของคิวบิตถูกบุบเหลือเพียงสถานะเดียวและถูกเก็บค่าไว้ที่ Classical register ครโนໂซมชุดที่ 2 จะถูกสร้างจากเวกเตอร์สถานะของแต่ละคิวบิตใน Quantum register เช่นเดียวกับครโนໂซมชุดแรก แต่จะมีการประยุกต์อัลกอริทึม Grover 1 รอบ เพื่อให้ครโนໂซมชุดที่สองมีค่าแອมเพลจูดหรือมุนเริ่มต้น ใกล้ค่าความเหมาะสมมากขึ้น ก่อนจะนำไปเปรียบเทียบกับครโนໂซมชุดแรกเพื่อหาครโนໂซมที่มีค่า

ความหมายสมที่สุด การเปรียบเทียบค่าความหมายสมของโครโน่โฉมใช้วิธีทางกลศาสตร์ควบคุณต้มใน การเปรียบเทียบ เรียกว่า Quantum comparator เพื่อให้สามารถเปรียบเทียบค่าแต่ละคิวบิตของ โครโน่โฉมได้ จากนั้นจึงทำการปรับเวกเตอร์สถานะของแต่ละคิวบิตตามโครโน่โฉมที่มีค่าความ หมายสมที่สุดโดยการปรับค่าแอมเพลจูดหรือมุมของเวกเตอร์สถานะที่ลีบ 0.05 ขั้นตอนดังกล่าวจะถูก วนซ้ำเรื่อยๆจนกว่าค่าแอมเพลจูดหรือมุมเวกเตอร์สถานะจะถูเข้าสู่รูปแบบการกระจายตัวของคำตอบ ให้ไปในทิศทางที่ผลเฉลยมีค่าความหมายสมสูงขึ้น

สามารถเขียนสรุปขั้นตอนวิธีเชิงพันธุกรรมแบบกราฟชั้นนิดควบคุณต้มได้ ดังนี้

- 4.3.1 สร้างเวกเตอร์สถานะของคิวบิตด้วยการแจกแจงความน่าจะเป็นอย่างสໍาเสมอ โดย กำหนดค่าแอมเพลจูดหรือค่ามุมเริ่มต้นคือ $\frac{\pi}{2}$
- 4.3.2 สังเกตโครโน่โฉมชุดที่หนึ่งโดยใช้การวัด
- 4.3.3 สร้างเวกเตอร์สถานะใหม่และประยุกต์ Grover 1 รอบ โดยใช้ค่าความหมายสม
- 4.3.4 สังเกตโครโน่โฉมชุดที่สองโดยใช้การวัด
- 4.3.5 เปรียบเทียบค่าความหมายสมระหว่างโครโน่โฉมชุดที่หนึ่งและชุดที่สอง เพื่อหา โครโน่โฉมที่มีค่าความหมายสมที่สุด
- 4.3.6 ปรับปรุงเวกเตอร์สถานะตามค่าแอมเพลจูดหรือมุมของโครโน่โฉมที่มีค่าความ หมายสมที่สุด
- 4.3.7 ทำซ้ำขั้นตอนที่ 2 – 6 จนกระทั่งเวกเตอร์สถานะของคิวบิตถูเข้าค่าหมายสมที่สุดที่ ต้องการ

4.4 เปรียบเทียบประสิทธิภาพในการประมวลผลระหว่างขั้นตอนวิธีเชิงพันธุกรรมแบบกราฟชั้น นิดควบคุณต้มกับขั้นตอนวิธีเชิงพันธุกรรมแบบกราฟชั้นนิดด้วยกับปัญหา One-max สำหรับการทดลองเพื่อเปรียบเทียบประสิทธิภาพในการประมวลผลของขั้นตอนวิธีเชิง พันธุกรรมแบบกราฟชั้นนิดควบคุณต้ม (Quantum cGA) กับขั้นตอนวิธีเชิงพันธุกรรมแบบกราฟชั้นนิด ด้วยเดิม (Classical cGA) เป็นการทดลองเพื่อหาคำตอบของปัญหา One-max Quantum cGA จะ ถูกประมวลผลบนเครื่องคอมพิวเตอร์เชิงควบคุณต้มจริงของ IBM และ/หรือ เครื่อง คอมพิวเตอร์เชิงควบคุณต้มจริงของ IBM ส่วน Classical cGA จะถูกประมวลผลบนเครื่องคอมพิวเตอร์

ของผู้วิจัยคือคอมพิวเตอร์ยีห้อ ASUS CPU Intel Core i5-3317U (1.70 GHz, 3 MB L3 Cache, up to 2.60 GHz) เพื่อวิเคราะห์ความแตกต่างของประสิทธิภาพในการประมวลผลใน 2 ด้าน ได้แก่ ความถูกต้องของคำตอบ และจำนวนครั้งในการประเมินค่าความเหมาะสม (Function evaluation)

ปัจจุบันเครื่องคอมพิวเตอร์เชิงความต้มตุ้มจริงของ IBM มีอัตราความผิดพลาดของเครื่องคอมพิวเตอร์เชิงความต้มอันเนื่องมาจากการอัตราความผิดพลาดของความต้มเกต การวัด การสื่อสาร ข้ามอุปกรณ์ และประสิทธิภาพคอมไฟเลอร์ของวงจรความต้ม[42] ดังแสดงในตารางที่ 3 ซึ่งเครื่องคอมพิวเตอร์เชิงความต้มจำลองยังไม่ได้มีการเปิดเผยแพร่จาก IBM ถึงอัตราความผิดพลาดในการทำงานนอกจากนี้เทคโนโลยีของเครื่องคอมพิวเตอร์เชิงความต้มจริงของ IBM ในปัจจุบันยังมีข้อจำกัดคือ รองรับการทำงานที่จำนวนคิวบิตไม่มาก ทำให้การทดลองรันขั้นตอนวิธีเชิงพันธุกรรมแบบกระชับชนิดความต้ม (Quantum cGA) บนเครื่องคอมพิวเตอร์เชิงความต้มจริงของ IBM สำหรับปัญหาการหาค่าเหมาะสมได้ฯ สามารถทำได้เฉพาะกับปัญหาการหาค่าเหมาะสมที่สามารถเข้ารหัสด้วยจำนวนคิวบิตน้อยๆ เช่น One-max เป็นต้น ในขณะที่เครื่องคอมพิวเตอร์เชิงความต้มจำลองที่รันอยู่บนคลาวด์ของ IBM สามารถรองรับการทำงานของจำนวนคิวบิตที่มากกว่า ทำให้ผู้วิจัยสามารถทดลองรันขั้นตอนวิธีที่นำเสนอเพื่อหาคำตอบของปัญหา One-max ที่เข้ารหัสด้วยจำนวนคิวบิตที่มากขึ้น รวมทั้งยังสามารถนำไปใช้คำตอบของปัญหาการหาค่าเหมาะสมที่มีความซับซ้อนมากขึ้นได้แก่ TSP

	Tenerife (IBM Q Experience)	Tokyo (IBM Q Network)	Melbourne (IBM Q Experience)	IBM Q System One (IBM Q Network)
Two-qubit (CNOT) error rates x10-2				
mean	4.02	2.84	N/A	1.69
best	2.24	1.47	N/A	0.97
worst	5.76	7.12	N/A	2.85
Single-qubit error rates x10-3				
mean	1.65	1.99	N/A	0.41
best	0.69	0.64	2.54	0.19
worst	3.44	6.09	N/A	0.82

ตารางที่ 3 ตารางแสดงอัตราความผิดพลาดของเครื่องคอมพิวเตอร์เชิงคุณต้มจำนวน 4 เครื่อง
ของ IBMQ

4.4.1. รายละเอียดการกำหนดค่าต่างๆ ข้อจำกัด และสภาพแวดล้อมในการทดลอง

ในเบื้องต้นผู้วิจัยได้นำปัญหา One-max มาใช้ทดสอบประสิทธิภาพในการ
ประเมินผลของขั้นตอนวิธีเชิงพันธุกรรมแบบกระซับชนิดคุณต้ม (Quantum cGA) และ¹
ขั้นตอนวิธีเชิงพันธุกรรมแบบกระซับดั้งเดิม (Classical cGA) โดย classical cGA ถูกรัน
บนแมชชีน CPU Intel Core i5-3317U (1.70 GHz, 3 MB L3 Cache, up to 2.60 GHz)
และ Chipset คือ Mobile Intel HM76 Express Chipset ส่วน Quantum cGA ถูกรันบน
เครื่องคอมพิวเตอร์เชิงคุณต้มจำลองบนคลาวด์ของ IBM ที่รองรับการประมวลผลวงจร
คุณต้ม โดยกำหนดขนาดของประชากรสำหรับ Classical cGA คือ 20 กำหนดจำนวน
shot ของ Quantum cGA คือ 1024 shot และกำหนด step size ใน การปรับค่ามุ่งหรือ²
แอมพลิจูดของ Quantum cGA คือ 0.05 เนื่องจากขนาดของประชากรสำหรับ Classical
cGA คือตัวกำหนดขนาดของการอัพเดตเกตเวย์ความนำจะเป็น (step size) ซึ่งคำนวณจาก
อัตราส่วนระหว่าง 1 และขนาดประชากร ดังนั้น step size ของ cGA จึงเท่ากับ 0.05 ซึ่ง
เทียบเท่ากับขนาดของการอัพเดตมุ่งหรือแอมพลิจูดของ Quantum cGA โดยผู้วิจัยเลือก

จำนวนบิตที่ใช้ในการทดลองเริ่มต้นจากจำนวนคิวบิตน้อยๆ คือ 4 คิวบิต ถึง 6 คิวบิต เพราะข้อจำกัดของ quantum processor simulator ของ IBM ที่ผู้วิจัยใช้ในการทดลองยังไม่สามารถรองรับการประมวลผลเชิงค่อนต้มของจำนวนคิวบิตตั้งแต่ 8 คิวบิตเป็นต้นไป ผู้วิจัยทดลองรันทั้งหมด 50 ครั้งเพื่อหาค่าเฉลี่ยของประสิทธิภาพที่ต้องการเปรียบเทียบ โดยจำแนกการเปรียบเทียบประสิทธิภาพในการประมวลผลออกเป็น 2 ด้าน ได้แก่ ความถูกต้องของคำตอบ และจำนวนครั้งในการประเมินค่าความหมายสม (function evaluation)

4.4.2. การเปรียบเทียบประสิทธิภาพเรื่องความถูกต้องของคำตอบ

การเปรียบเทียบประสิทธิภาพในด้านความถูกต้องของคำตอบ เนื่องจากปัญหาที่นำมาทดสอบประสิทธิภาพเปรียบเทียบระหว่างขั้นตอนวิธีเชิงพันธุกรรมแบบกราฟชับชนิดค่อนต้ม (Quantum cGA) และขั้นตอนวิธีเชิงพันธุกรรมแบบกราฟชับชนิดดั้งเดิม (Classical cGA) คือปัญหา One-max ซึ่งผลเฉลยที่ดีที่สุดของปัญหา One-max คือทุกบิตของโคล์โนโมโนมีค่าเป็น 1 ซึ่งพบว่าขั้นตอนวิธีทั้งสองสามารถหาผลเฉลยที่ดีที่สุดของปัญหา One-max ได้ จึงกล่าวได้ว่าประสิทธิภาพในการสามารถหาผลเฉลยที่ดีที่สุดของปัญหา One-max ของทั้งสองขั้นตอนวิธีเท่ากัน

4.4.3. การเปรียบเทียบประสิทธิภาพเรื่องจำนวนครั้งในการประเมินค่าความหมายสม

การเปรียบเทียบจำนวนครั้งในการประเมินค่าความหมายสม (function evaluation) คือการเปรียบเทียบจำนวนครั้งที่ใช้ประเมินค่าความหมายสมระหว่าง 2 อัลกอริทึม จากตารางที่ 4 แสดงให้เห็นว่า ขั้นตอนวิธีเชิงพันธุกรรมแบบกราฟชับชนิดค่อนต้ม (Quantum cGA) ให้ผลลัพธ์ที่มีประสิทธิภาพดีกว่าขั้นตอนวิธีเชิงพันธุกรรมแบบกราฟชับชนิดดั้งเดิม (Classical cGA) โดย Quantum cGA ใช้จำนวนครั้งโดยเฉลี่ยในการประเมินค่าความหมายสมของ 4 คิวบิตอยู่ที่ 4.3 ครั้ง ในขณะที่ Classical cGA ใช้จำนวนครั้งโดยเฉลี่ยในการประเมินค่าความหมายสมของ 4 บิตเท่ากับ 5.6 ครั้ง ซึ่งมากกว่า Quantum cGA ประมาณ 1.3 เท่า เมื่อพิจารณาที่ 5 คิวบิต Quantum cGA ใช้จำนวนครั้งโดยเฉลี่ยในการประเมินค่าความหมายสมเท่ากับ 6.3 ครั้ง ขณะที่ Classical cGA ใช้จำนวนครั้งโดยเฉลี่ยในการประเมินค่าความหมายสมสำหรับ 5 บิต เท่ากับ 8.2 ครั้ง ซึ่งมากกว่าประมาณ 1.3 เท่า และเมื่อพิจารณาจำนวนครั้งโดยเฉลี่ยในการประเมินค่าความหมายสมของ Quantum cGA สำหรับ 6 บิตเท่ากับ 13.5 ครั้ง ส่วน Classical cGA ใช้จำนวนครั้งโดยเฉลี่ยในการประเมิน

ค่าความหมายสมสำหรับ 6 คิวบิตเท่ากับ 14 ครั้ง ซึ่งมากกว่า Quantum cGA ประมาณ 1 เท่า สาเหตุที่ขึ้นตอนวิธีเชิงพันธุกรรมแบบกระซับชนิดค่อนต้ม (Quantum cGA) ให้ผลลัพธ์ในเชิงของจำนวน function evaluation ที่ดีกว่าขั้นตอนวิธีเชิงพันธุกรรมแบบกระซับชนิดดั้งเดิม (Classical cGA) เป็นเพราะวิธีเชิงพันธุกรรมแบบกระซับชนิดค่อนต้มที่นำเสนอมีการประยุกต์อัลกอริทึมการค้นหาของ Grover ซึ่งเป็นอัลกอริทึมสำหรับการค้นหารูปแบบที่ไม่เรียงลำดับเพื่อเพิ่มค่าความน่าจะเป็นของสถานะคำตอบที่สนใจ จึงทำให้มีโอกาสที่จะได้คำตอบที่ต้องการสูงขึ้น และเป็นการปรับปรุงกระบวนการวิวัฒนาการของ Classical cGA ให้ถูกเข้าหากำตอบที่เหมาะสมได้เร็วขึ้น โดยใช้ประโยชน์จากอัลกอริทึมที่มีคุณสมบัติการคำนวนเชิงค่อนต้ม

บิต/คิวบิต	จำนวน function evaluation ของ Classical cGA (ครั้ง)			จำนวน function evaluation ของ Quantum cGA (ครั้ง)		
	ครั้งที่ 1	ครั้งที่ 2	ครั้งที่ 3	ครั้งที่ 1	ครั้งที่ 2	ครั้งที่ 3
4	6.2	5.4	5.2	4.4	3.6	4.8
5	8.5	8.7	7.4	6.2	6.4	6.2
6	14.9	13.1	14.1	14.8	13.2	12.6

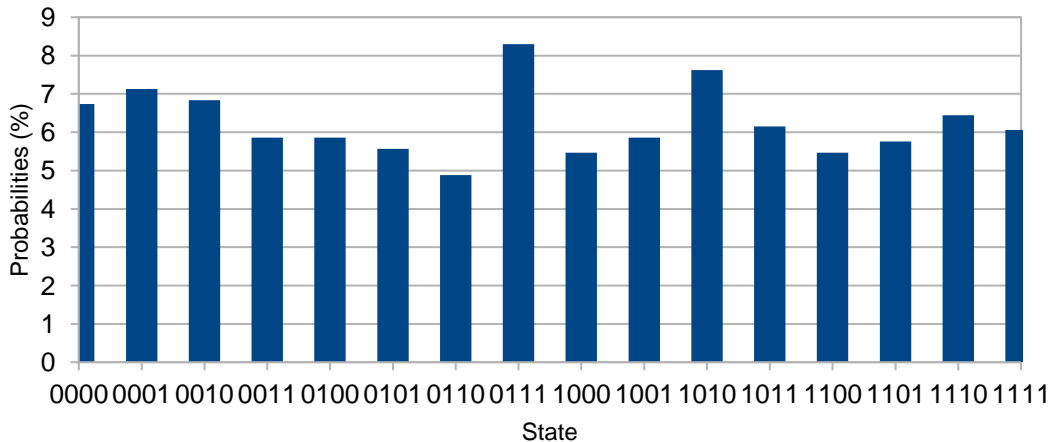
ตารางที่ 4 ตารางแสดงการเปรียบเทียบจำนวน function evaluation (ครั้ง) ระหว่าง

Classical cGA และ Quantum cGA สำหรับปัญหา One-max

4.4.4. Histogram แสดงการกระจายตัวของค่าความน่าจะเป็นของเวกเตอร์สถานะ

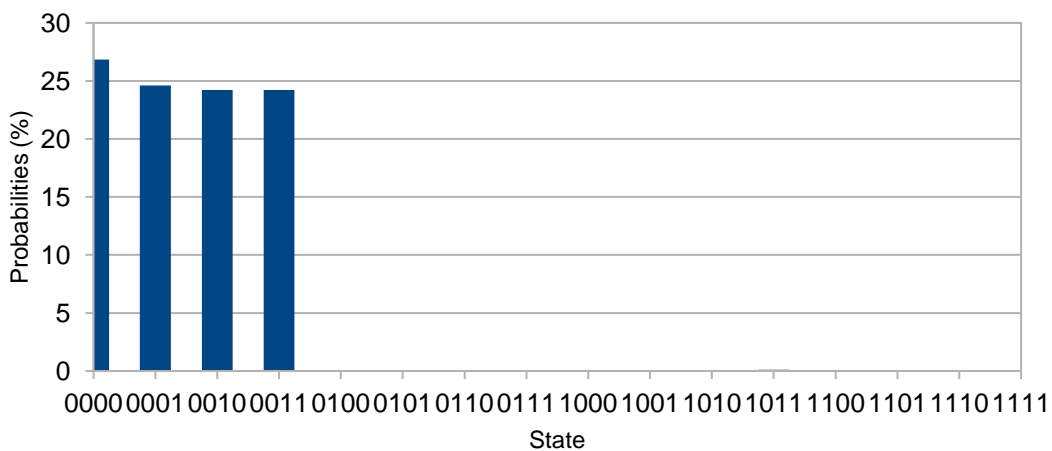
4.4.4.1 ตัวอย่างภาพ Histogram แสดงการกระจายตัวของค่าความน่าจะเป็นของเวกเตอร์สถานะ 4 คิวบิต สำหรับ generation ที่ 1 - 4 แสดงดังภาพที่ 18 – 21

Histogram shows probability distribution of state for 4 qubits at generation 1



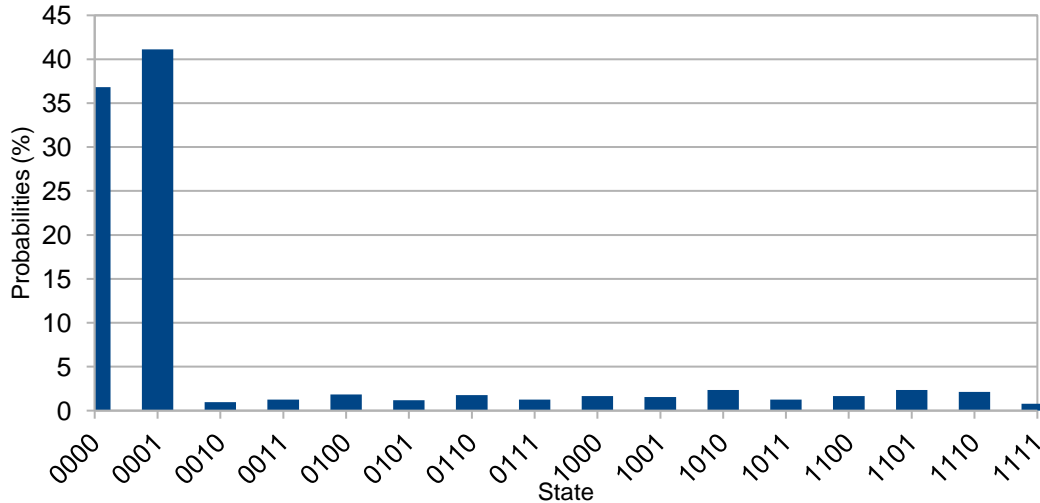
ภาพที่ 18 Histogram แสดงการกระจายตัวของค่าความน่าจะเป็นของเวกเตอร์สถานะ 4 คิวบิต
ที่ generation 1

Histogram shows probability distribution of state for 4 qubits at generation 2



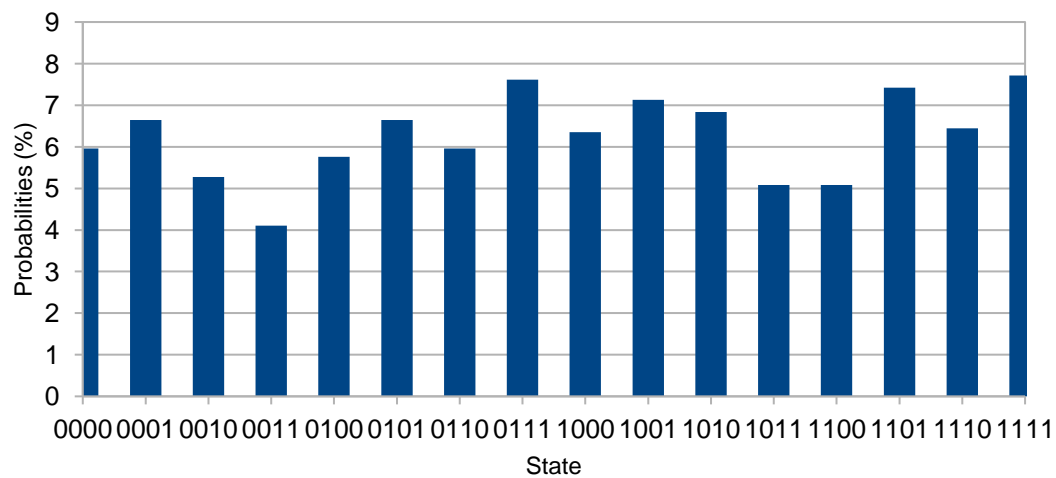
ภาพที่ 19 Histogram แสดงการกระจายตัวของค่าความน่าจะเป็นของเวกเตอร์สถานะ 4 คิวบิต
ที่ generation 2

Histogram shows probability distribution of state for 4 qubits at generation 3



ภาพที่ 20 Histogram แสดงการกระจายตัวของค่าความน่าจะเป็นของเวกเตอร์สถานะ 4 คิวบิต ที่ generation 3

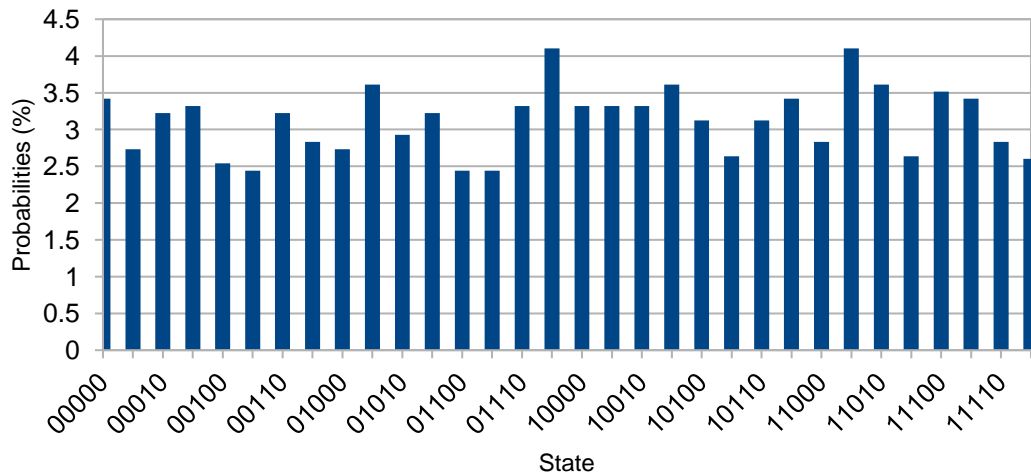
Histogram shows probability distribution of state for 4 qubits at generation 4



ภาพที่ 21 Histogram แสดงการกระจายตัวของค่าความน่าจะเป็นของเวกเตอร์สถานะ 4 คิวบิต ที่ generation 4

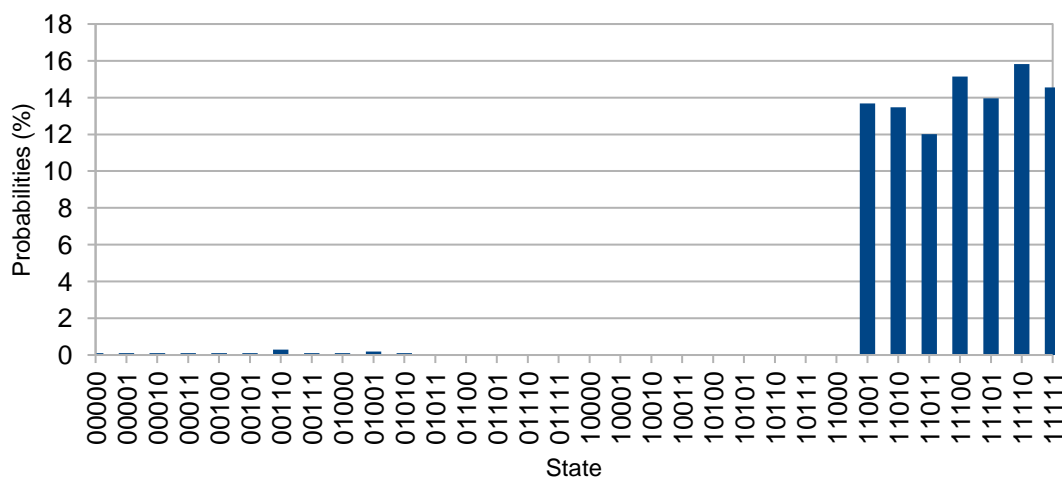
4.4.4.2 ตัวอย่างภาพ Histogram แสดงการกระจายตัวของค่าความน่าจะเป็นของ เวกเตอร์สถานะ 5 คิวบิตสำหรับ generation ที่ 1 - 6 และดังภาพที่ 22 – 27

Histogram shows probability distribution of state for 5 qubits at generation 1



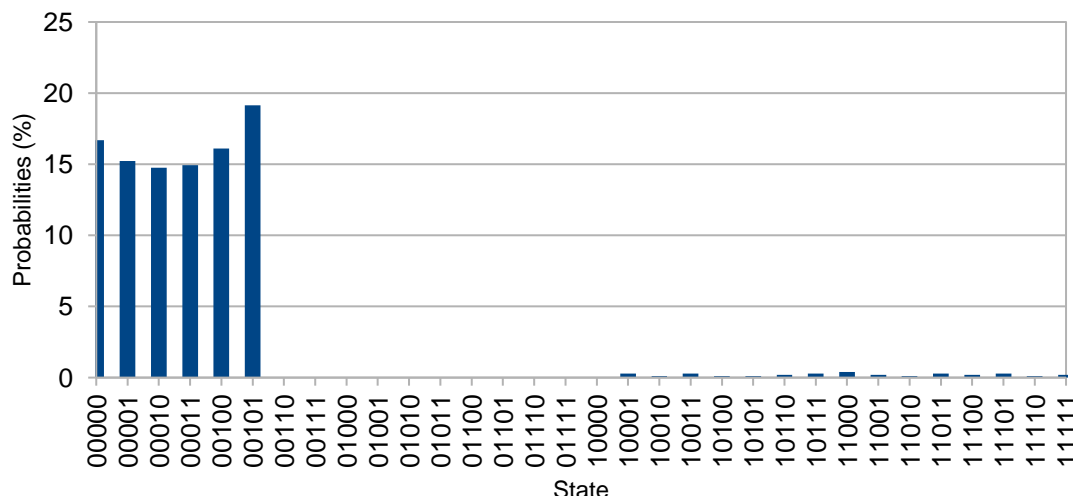
ภาพที่ 22 Histogram แสดงการกระจายตัวของค่าความน่าจะเป็นของเวกเตอร์สถานะ 5 คิวบิต
ที่ generation 1

Histogram shows probability distribution of state for 5 qubits at generation 2



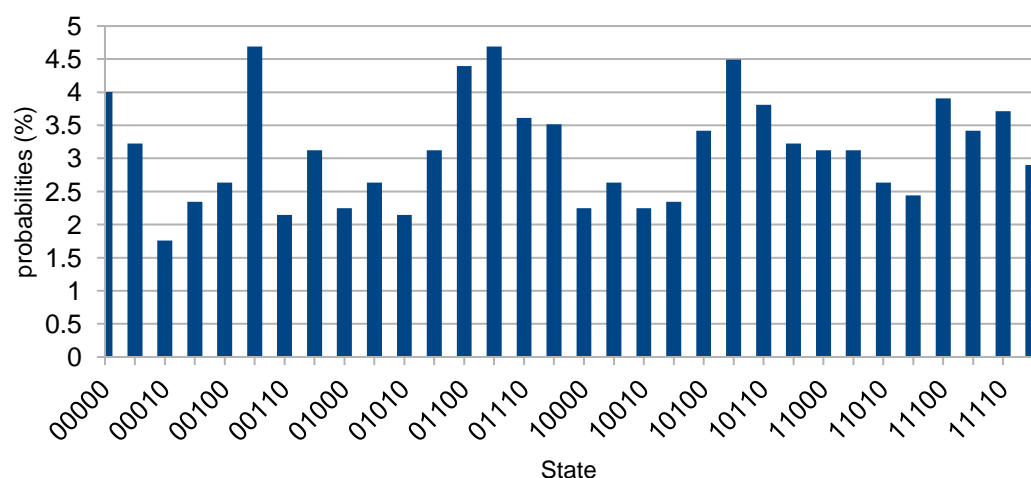
ภาพที่ 23 Histogram แสดงการกระจายตัวของค่าความน่าจะเป็นของเวกเตอร์สถานะ 5 คิวบิต
ที่ generation 2

Histogram shows probability distribution of state for 5 qubits at generation 3



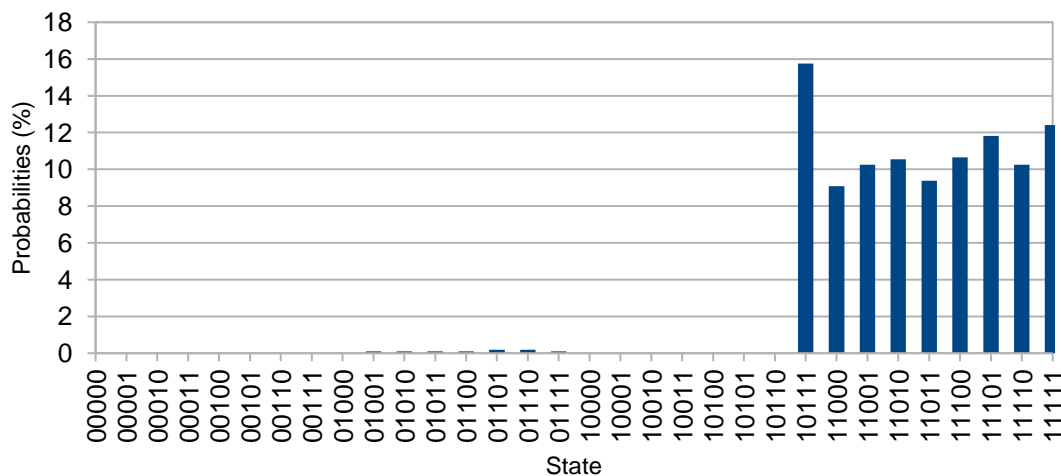
ภาพที่ 24 Histogram แสดงการกระจายตัวของค่าความน่าจะเป็นของเวกเตอร์สถานะ 5 คิวบิต
ที่ generation 3

Histogram shows probability distribution of state for 5 qubits at generation 4



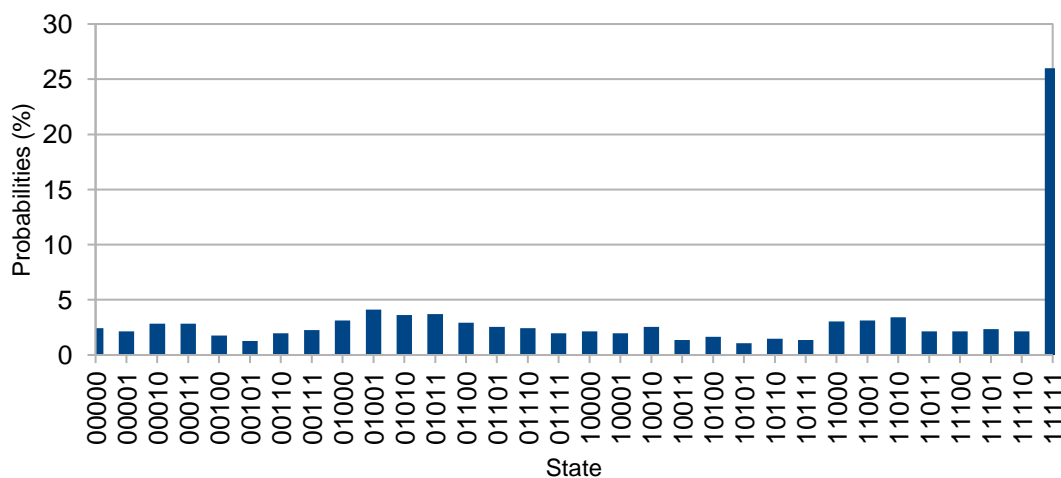
ภาพที่ 25 Histogram แสดงการกระจายตัวของค่าความน่าจะเป็นของเวกเตอร์สถานะ 5 คิวบิต
ที่ generation 4

Histogram shows probability distribution of state for 5 qubits at generation 5



ภาพที่ 26 Histogram แสดงการกระจายตัวของค่าความน่าจะเป็นของเวกเตอร์สถานะ 5 คิวบิต
ที่ generation 5

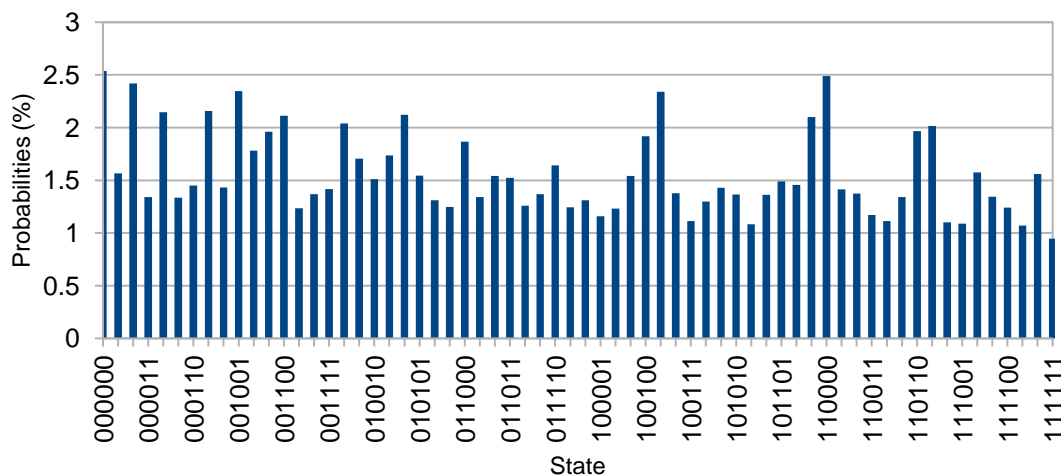
Histogram shows probability distribution of state for 5 qubits at generation 6



ภาพที่ 27 Histogram แสดงการกระจายตัวของค่าความน่าจะเป็นของเวกเตอร์สถานะ 5 คิวบิต
ที่ generation 6

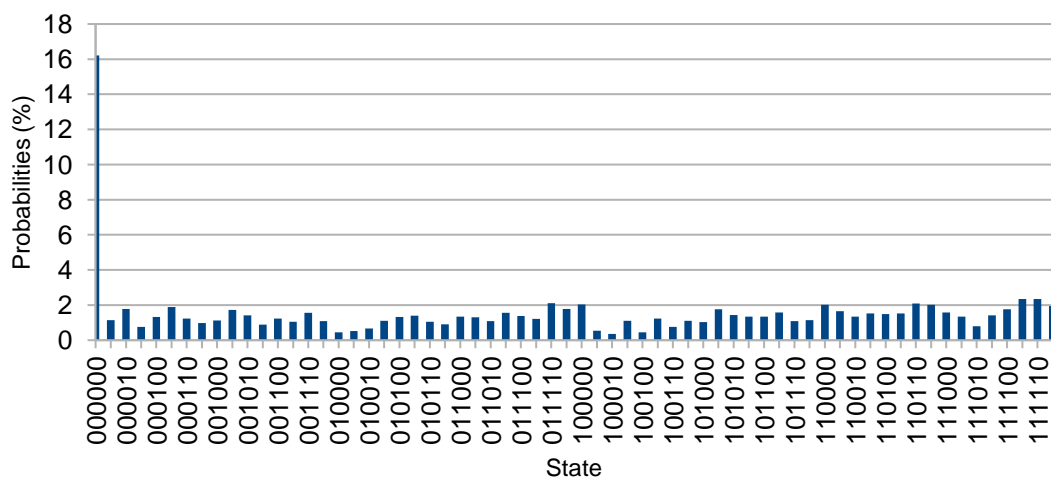
4.4.4.3 ตัวอย่างภาพ Histogram แสดงการกระจายตัวของค่าความน่าจะเป็นของ
เวกเตอร์สถานะ 6 คิวบิต สำหรับบาง generation แสดงดังภาพที่ 28 – 33

Histogram shows probability distribution of state for 6 qubits at generation 1



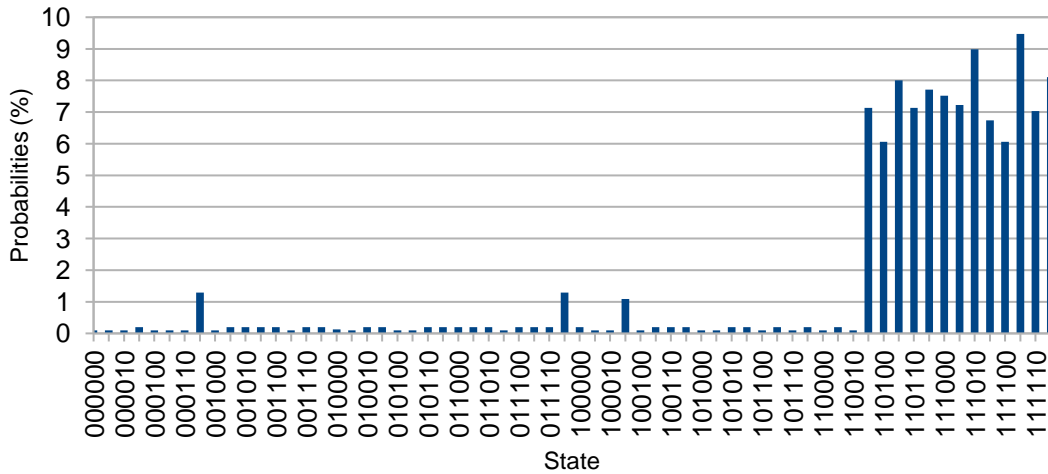
ภาพที่ 28 Histogram แสดงการกระจายตัวของค่าความน่าจะเป็นของเวกเตอร์สถานะ 6 คิวบิต
ที่ generation 1

Histogram shows probability distribution of state for 6 qubits at generation 3



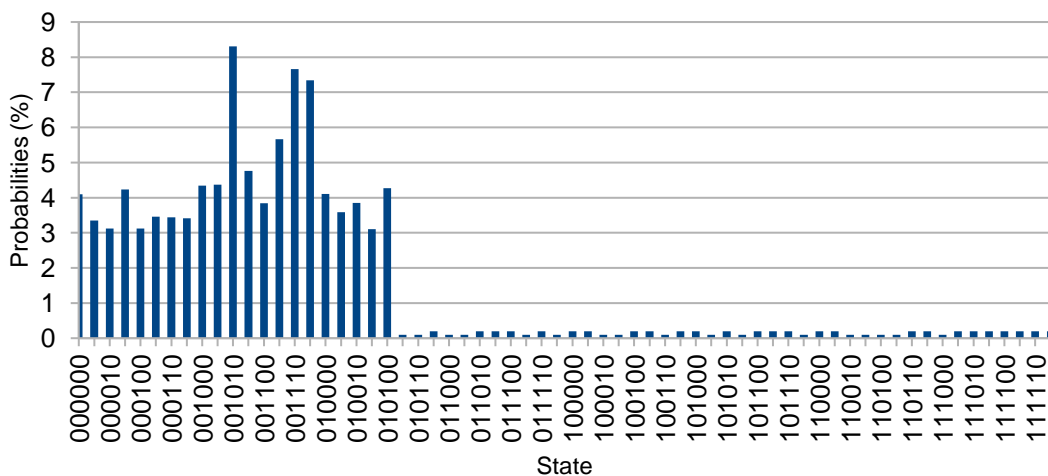
ภาพที่ 29 Histogram แสดงการกระจายตัวของค่าความน่าจะเป็นของเวกเตอร์สถานะ 6 คิวบิต
ที่ generation 3

Histogram shows probability distribution of state for 6 qubits at generation 6



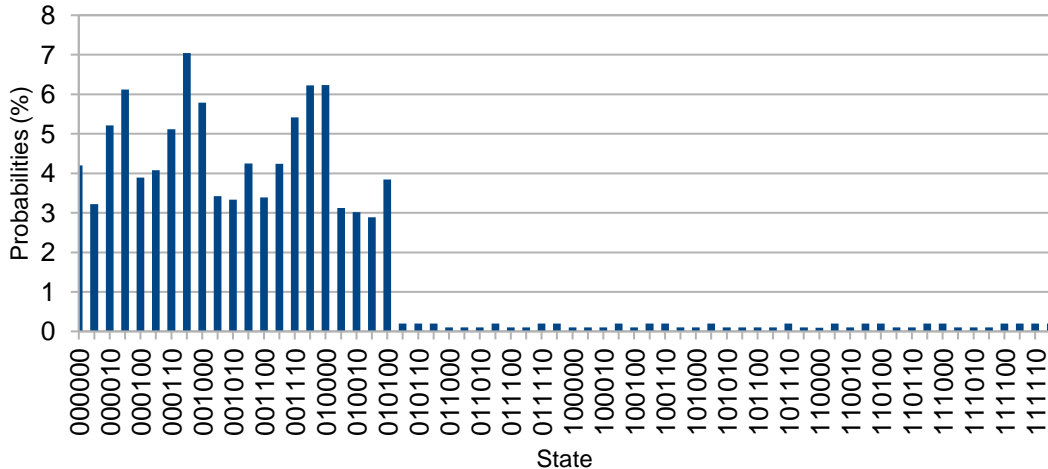
ภาพที่ 30 Histogram แสดงการกระจายตัวของค่าความน่าจะเป็นของเวกเตอร์สถานะ 6 คิวบิต
ที่ generation 6

Histogram shows probability distribution of state for 6 qubits at generation 9



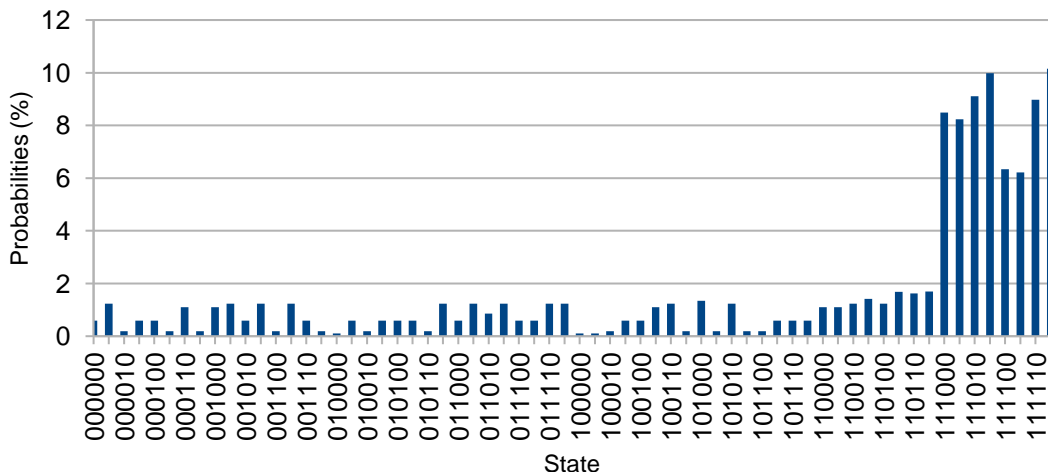
ภาพที่ 31 Histogram แสดงการกระจายตัวของค่าความน่าจะเป็นของเวกเตอร์สถานะ 6 คิวบิต
ที่ generation 9

Histogram shows probability distribution of state for 6 qubits at generation 11



ภาพที่ 32 Histogram แสดงการกระจายตัวของค่าความน่าจะเป็นของเวกเตอร์สถานะ 6 คิวบิต ที่ generation 11

Histogram shows probability distribution of state for 6 qubits at generation 13



ภาพที่ 33 Histogram แสดงการกระจายตัวของค่าความน่าจะเป็นของเวกเตอร์สถานะ 6 คิวบิต ที่ generation 13

4.4.5. สรุปผลการเปรียบเทียบประสิทธิภาพในการประมวลผลระหว่างขั้นตอนวิธีทางพันธุกรรมแบบกราฟชับชนิดค่อนต้มและขั้นตอนวิธีทางพันธุกรรมแบบกราฟชับชนิดดังเดิมสำหรับปัญหาจ่าย One-max

การเปรียบเทียบประสิทธิภาพในการประมวลผลระหว่างขั้นตอนวิธีทางพันธุกรรมแบบกราฟชับชนิดค่อนต้ม (Quantum cGA) และขั้นตอนวิธีทางพันธุกรรมแบบกราฟชับ (Classical cGA) แบ่งเป็น 2 ด้าน ได้แก่ ความถูกต้องของคำตอบ และจำนวนครั้งในการประเมินค่าความเหมาะสม (function evaluation) โดยในเบื้องต้นผู้วิจัยได้ทำการทดลองกับปัญหาจ่ายได้แก่ One-max จากผลการทดลองในเบื้องต้นพบว่าทั้งสองอัลกอริทึมสามารถหาผลเฉลยที่ดีที่สุดของปัญหา One-max ได้ จึงกล่าวได้ว่าประสิทธิภาพในการหาผลเฉลยที่ดีที่สุดของปัญหา One-max ของทั้งสองอัลกอริทึมเท่ากัน อย่างไรก็ตามเมื่อพิจารณาในแง่จำนวนครั้งของการประเมินค่าความเหมาะสม Classical cGA มีจำนวน function evaluation มากกว่า Quantum cGA ทั้งสำหรับ 4 คิวบิต 5 คิวบิต และ 6 คิวบิต โดยมากกว่าประมาณ 1.3 เท่า 1.3 เท่า และ 1 เท่า ตามลำดับ สาเหตุที่เป็นเช่นนี้เนื่องจากขั้นตอนวิธีเชิงพันธุกรรมแบบกราฟชับชนิดค่อนต้มที่นำเสนอมีการประยุกต์อัลกอริทึมการค้นหาของ Grover ซึ่งเป็นอัลกอริทึมสำหรับการค้นหาฐานข้อมูลที่ไม่เรียงลำดับ และสามารถค้นหาข้อมูลได้เร็วขึ้นโดยใช้หลักการคำนวนเชิงค่อนต้ม ได้แก่ สถานะซ้อนทับ (Superposition) ทำให้สถานะย่อยๆ ของคิวบิตสามารถถูกประมวลผลในเวลาเดียวกันบนรีจิสเตอร์ตัวเดียวกันได้ และใช้วิธีการขยายค่าและพลิกผันเพื่อเพิ่มค่าความน่าจะเป็นของสถานะคำตอบที่สนใจ จึงทำให้มีโอกาสที่จะได้คำตอบที่ต้องการสูงขึ้น ซึ่งถือเป็นการแรงกระบวนการวิวัฒนาการของ Classical cGA ให้ถูกเข้าหากำตตอบที่เหมาะสมได้เร็วขึ้น จะสังเกตได้ว่าเมื่อจำนวนคิวบิตเพิ่มขึ้นประสิทธิภาพของ Quantum cGA ในแง่ของจำนวน function evaluation เมื่อเปรียบเทียบกับ Classical cGA มีอัตราส่วนที่ลดลง เนื่องจากเมื่อจำนวนคิวบิตเพิ่มขึ้น อัตราความผิดพลาดของค่อนต้มเกต การวัด การสื่อสารข้ามอุปกรณ์ และประสิทธิภาพคอมเพเลอร์ของวงจรค่อนต้ม ก็เพิ่มขึ้นตามไปด้วย จึงทำให้ในกรณีที่จำนวนคิวบิตมากๆ Quantum cGA มีแนวโน้มที่จะใช้จำนวนครั้งในการประเมินค่าความเหมาะสม

จนได้ผลเฉลยที่ดีที่สุดของปัญหาที่สนใจมากกว่า Classical cGA อย่างไรก็ตามในปัจจุบันมีงานวิจัยทางด้านความต้มของ IBM ในการพยายามลดอัตราส่วนความผิดพลาดดังกล่าวข้างต้น[42] และทำให้ Quantum processor รองรับการประมวลผลจำนวนหลายคิบิตและหลายตัวดำเนินการ ซึ่งจะมีผลในการเพิ่มประสิทธิภาพการคำนวณเชิงควรณ์ต้มในอนาคต

4.5 การปรับปรุงขั้นตอนวิธีเชิงพันธุกรรมแบบกระชับชนิดควรณ์ต้มสำหรับทดสอบกับปัญหา^{*} ยกบนเครื่องคอมพิวเตอร์เชิงควรณ์ต้มจำลองของ IBM

การปรับปรุงอัลกอริทึมขั้นตอนวิธีเชิงพันธุกรรมแบบกระชับชนิดควรณ์ต้ม (Quantum cGA) เพื่อให้สามารถหาคำตอบของปัญหายาก ได้แก่ TSP ซึ่งปัจจุบันขั้นตอนวิธีเชิงพันธุกรรมแบบกระชับชนิดดั้งเดิม (Classical cGA) ยังไม่สามารถหาคำตอบของปัญหาดังกล่าวได้ภายใน Polynomial time[11] TSP เป็นปัญหาจำพวก NP-hard คือปัญหาที่ยากและยังไม่มีวิธีการที่ใช้เวลาแบบโพลีโนเมียลในการแก้ปัญหาได้ โดยปัญหา TSP นี้เป็นปัญหาที่ทำการตัดสินใจหาเส้นทางการเดินทางเมื่อมีเมืองหรือสถานที่ที่ต้องเดินทางไปจำนวน N เมือง การเดินทางจะเริ่มเดินทางจากเมืองใดเมืองหนึ่งในจำนวน N เมือง โดยเส้นทางการเดินทางนั้นๆ จะต้องเดินทางผ่านเมืองทุกเมืองโดยไม่เดินทางซ้ำเมืองเดิม และกลับมาที่เมืองที่เริ่มต้นเดินทาง ลักษณะการเดินเหมือนการเดินวนรอบ เช่น พนักงานขายเดินทางไปขายสินค้าให้กับลูกค้าจำนวน 10 รายได้แก่เมือง A ถึงเมือง J โดยเมือง G เป็นที่ตั้งของศูนย์กระจายสินค้าของพนักงานขายรายนี้ พนักงานขายรายนี้จะเดินทางเริ่มต้นจากเมือง G แล้วเดินไปตามเส้นทางดังนี้ G-A-C-F-E-D-B-J-I-H-G ซึ่งเป็นการเดินทางจากเมือง G ต่อด้วยการเดินทางไปเมือง A และ C ไปเรื่อยๆ จนกระทั่งลูกค้าทุกรายในจำนวน 10 เมืองได้รับการเยี่ยมจากพนักงานขายแล้วพนักงานขายก็ย้อนกลับมาที่เมือง G เช่นเดิม เราสามารถเขียนสมการอธิบายปัญหา TSP ได้ดังนี้

$$X_{ij} = \begin{cases} 1, & \text{the path goes from city } i \text{ to city } j \\ 0, & \text{otherwise} \end{cases} \quad (28)$$

โดยที่ $X_{ij} = 1$ ถ้ามีเส้นทางระหว่างเมือง i ไปเมือง j และ $X_{ij} = 0$ ถ้าไม่มีเส้นทางระหว่างเมือง i ไปเมือง j สำหรับ N เมือง กำหนดให้ U_i เป็นตัวแปรเทียม โดยที่ $i = 0, 1, \dots, N$ และให้ C_{ij} คือ

ระยะทางจากเมือง i ไปเมือง j ดังนั้นสามารถเขียนฟังก์ชันวัตถุประสงค์ (Objective function) สำหรับปัญหา TSP ได้ดังนี้

$$\begin{aligned} \min \sum_{i=0}^N \sum_{j \neq i, j=0}^N C_{i,j} X_{i,j} \\ 0 \leq X_{i,j} \leq 1 & \quad i, j = 0, \dots, N \\ U_i \in Z & \quad i = 0, \dots, N \\ \sum_{i=0, i \neq j}^N X_{i,j} = 1 & \quad j = 0, \dots, N \\ \sum_{j=0, j \neq i}^N X_{i,j} = 1 & \quad i = 0, \dots, N \\ U_i - U_j + N X_{i,j} \leq N - 1 & \quad 1 \leq i \neq j \leq N \end{aligned} \tag{29}$$

ถ้าใช้วิธีการตรวจสอบทุกความเป็นไปได้ของเส้นทางการเดินทางของพนักงานขาย (Brute-force method) เราจะต้องตรวจสอบมากถึง $(N - 1)!$ ครั้ง ในกรณีที่มีการกำหนดจุดเริ่มต้นของเมืองเป็น เมืองที่ 1 เสมอ เมื่อประมาณความซับซ้อนของการคำนวณ (Time complexity) เทียบเท่า $O(N!)$ ครั้ง ถ้าจำนวนเมืองที่พนักงานขายต้องแ雷ียมีทั้งหมด 11 เมือง โดยเริ่มต้นจากเมืองที่ 1 เสมอเส้นทาง ที่เป็นไปได้ทั้งหมดที่พนักงานขายสามารถเดินทางได้คือ 10! หรือประมาณ 39,916,800 เส้นทาง และ เมื่อจำนวนเมืองเพิ่มมากขึ้น จำนวนเส้นทางที่เป็นไปได้ทั้งหมดจะเพิ่มขึ้นแบบเอกซ์โพเนนเชียล และ ไม่สามารถใช้วิธี Brute-force ในการค้นหาเส้นทางที่สั้นที่สุดได้ภายในเวลา Polynomial ดังนั้น ปัญหา TSP จึงเป็นปัญหาที่ถูกจัดให้อยู่ในกลุ่มปัญหายาก (NP-hard)

4.6 เปรียบเทียบประสิทธิภาพในการประมวลผลระหว่างขั้นตอนวิธีเชิงพันธุกรรมแบบกราฟชับ ชนิดความตัมกับขั้นตอนวิธีเชิงพันธุกรรมแบบกราฟชับชนิดตั้งเดิมกับปัญหายาก

การเปรียบเทียบประสิทธิภาพในการประมวลผลของขั้นตอนวิธีเชิงพันธุกรรมแบบกราฟชับ ชนิดความตัม (Quantum cGA) สำหรับปัญหายาก เปรียบเทียบกับขั้นตอนวิธีเชิงพันธุกรรมแบบกราฟชับชนิดตั้งเดิม (Classical cGA) โดย Quantum cGA ถูกประมวลผลบนคอมพิวเตอร์เชิง ความตัมจำลองของ IBM (IBM QASM simulator) เนื่องด้วยข้อจำกัดของจำนวนคิวบิตท่อนุญาตให้ ใช้ในเครื่องคอมพิวเตอร์ความตัมจริงของ IBM มีไม่เกิน 10 คิวบิต ซึ่งปัญหา TSP จำเป็นต้องใช้

จำนวนคิวบิตในการประมวลผลมากกว่า 10 คิวบิต สำหรับ Classical cGA ถูกประมวลผลบนเครื่องคอมพิวเตอร์ของผู้วิจัยคือคอมพิวเตอร์ยี่ห้อ ThinkPad CPU AMD Ryzen 5 PRO 3500U w/ Radeon Vega Mobile Gfx 2.10 GHz Ram 8.00 GB เพื่อวิเคราะห์ความแตกต่างของประสิทธิภาพในการประมวลผลระหว่างสองขั้นตอนวิธีดังกล่าว

บทที่ 5

การพัฒนาขั้นตอนวิธีเชิงพันธุกรรมแบบกระชับที่ทำงานบน IBM QASM simulator

ขั้นตอนวิธีเชิงพันธุกรรมแบบกระชับที่ทำงานบนเครื่องคอมพิวเตอร์ดังเดิมนั้น ใช้ตัวแบบความน่าจะเป็น (Probabilistic model) แทนการใช้กลุ่มประชากร ดังนั้นการแทนคำตอบของขั้นตอนวิธีดังกล่าวจะอยู่ในรูปแบบของเวกเตอร์ความน่าจะเป็น (Probability vector) ซึ่งจะใช้เป็นตัวแบบในการหาการกระจายตัวของคำตอบ โดยแต่ละมิติของเวกเตอร์เป็นค่าความน่าจะเป็นที่แต่ละ比特จะเป็น 1 การพัฒนาขั้นตอนวิธีเชิงพันธุกรรมแบบกระชับที่สามารถทำงานได้บนเครื่องคอมพิวเตอร์เชิงความต้มน้ำจะแตกต่างออกไป ตัวแบบในการหาการกระจายคำตอบจะอยู่ในรูปแบบของเวกเตอร์ความน่าจะเป็นซึ่งจะถูกใช้เป็นข้อมูลอ้างอิงสำหรับกำหนดสถานะของคิวบิตที่ถูกเก็บไว้ในค่อนตัมเรจิสเตอร์ เพื่อนำคุณสมบัติที่สำคัญของการประมวลผลเชิงความต้ม ได้แก่ สถานะซ้อนทับของคิวบิต (Superposition) มาใช้เป็นประโยชน์สำหรับการประมวลผลเชิงความต้มแบบคู่ขนาน (Quantum parallelism) โดยเป็นการประมวลผลของทุกสถานะซ้อนทับของคิวบิตในเวลาเดียวกัน และใช้การวัดสถานะของคิวบิตทุกตัวในค่อนตัมเรจิสเตอร์เพื่อคุณลักษณะท้ายของแต่ละคิวบิตว่าเป็น 0 หรือ 1 โดยความน่าจะเป็นที่แต่ละคิวบิตจะเป็น 0 หรือ 1 นั้นขึ้นอยู่กับค่าแอมพลิจูดของแต่ละสถานะของคิวบิต ณ ขณะที่อยู่ในสถานะซ้อนทับ การวัดจะทำให้สถานะซ้อนทับถูกยุบ (Collapse) เหลือเพียงสถานะเดียวของแต่ละคิวบิต ส่วนการพิจารณาค่าความเหมาะสมของคำตอบ และการปรับค่าเวกเตอร์ความน่าจะเป็นตามคำตอบที่ดีกว่า ในเบื้องต้นของงานวิจัยยังคงพิจารณาค่าความเหมาะสม และปรับค่าเวกเตอร์ความน่าจะเป็นตามคำตอบที่ดีกว่าบนเครื่องคอมพิวเตอร์แบบดั้งเดิม เนื่องด้วยการเปรียบเทียบค่าความเหมาะสมบนเครื่องคอมพิวเตอร์เชิงความต้ม ณ ปัจจุบัน จำเป็นต้องใช้ Quantum comparator มาช่วยในการเปรียบเทียบ ซึ่งผู้วิจัยจะอธิบายส่วนการพัฒนา Quantum comparator ในบทขั้นตอนวิธีเชิงพันธุกรรมแบบกระชับชนิดความต้ม (เวอร์ชันปรับปรุง) ของงานวิจัยนี้ จากนั้นจึงใช้การหมุนคิวบิต (Qubit rotation) ไปตามเวกเตอร์ความน่าจะเป็นในแต่ละมิติด้วยค่ามุมที่คำนวณได้จากเวกเตอร์ความน่าจะเป็น ดังนั้นโอกาสที่คิวบิตนั้นจะถูกสร้างในรอบถัดไปแล้วมีค่าใกล้เคียงกับคำตอบที่ดีก็จะมีมากขึ้น เมื่อผ่านกระบวนการวิวัฒนาการไประยะหนึ่ง เวกเตอร์ความน่าจะเป็นจะมีรูปแบบการกระจายตัวของคำตอบที่ดี อย่างไรก็ตามผู้วิจัยทำการออกแบบและพัฒนาขั้นตอนวิธีการเชิงพันธุกรรมแบบกระชับสำหรับทำงานบนเครื่อง IBM QASM simulator เท่านั้น เนื่องด้วยเครื่อง IBM QASM simulator มีจำนวนคิวบิตให้ใช้เพียงพอ กับการแก้ปัญหา TSP ที่ผู้วิจัยนำมาใช้เป็นปัญหาต้นแบบสำหรับงานวิจัยนี้ และเครื่อง simulator ดังกล่าว เทียบได้กับเครื่องคอมพิวเตอร์เชิงความต้มในอุดมคติที่แทบจะไม่มี Noise ดังนั้นงานวิจัยนี้จึงไม่ได้กล่าวถึงสัญญาณรบกวน (Noise) ที่อาจเกิดขึ้นเมื่อใช้งานบนเครื่องคอมพิวเตอร์ความต้มจริง และ



วิธีการตรวจจับและแก้ไขข้อผิดพลาด (Error correction) ของคิวบิตอันเนื่องมาจากสัญญาณรบกวนดังกล่าว

5.1 การลดรูปปัญหา TSP ให้อยู่ในรูปแบบการตัดสินใจของแบบจำลอง Ising (Ising model)

การนำปัญหาการหาค่าเหมาะสม (optimization problem) มาหาคำตอบโดยใช้การประมวลผลด้วยเทคโนโลยีเชิงความต้ม จำเป็นต้องมีการแปลงปัญหาที่สนใจให้อยู่ในรูปแบบที่สามารถสร้างวงจรความต้มเพื่อแทนกลุ่มคำตอบของปัญหาดังกล่าวได้ รูปแบบหนึ่งที่ค่อนข้างได้รับความนิยมเป็นอย่างมาก คือ แบบจำลอง Ising (Ising model) เนื่องจากแบบจำลองดังกล่าวเป็นแบบจำลองทางสถิติที่ช่วยให้สามารถระบุการเปลี่ยนเฟสได้ ซึ่งเป็นขั้นตอนหนึ่งที่สำคัญสำหรับการควบคุมคิวบิตให้ได้ผลลัพธ์ตามที่ต้องการ ปี 2014 จึงปรากฏงานวิจัยที่รวมสูตรการแปลงปัญหา NP ให้อยู่ในรูปแบบแบบจำลอง Ising (Ising formulation)[43] ดังนั้นงานวิจัยนี้จึงนำ Ising formulation สำหรับปัญหา TSP มาใช้ในการแปลงปัญหา TSP ให้อยู่ในรูปแบบการตัดสินใจของแบบจำลอง Ising เพื่อให้สามารถประมวลผลได้บนเครื่องคอมพิวเตอร์เชิงความต้ม นอกจากนี้ Ising formulation ยังเป็นฟังก์ชันวัตถุประสงค์ในการคำนวณหาค่าความเหมาะสมของคำตอบแต่ละรูปแบบ

แบบจำลอง Ising ของปัญหา TSP ใช้สpinทั้งหมด $(N - 1)^2$ สpin เมื่อ N คือจำนวนเมือง และผู้วิจัยกำหนดให้พนักงานขายเริ่มต้นเดินทางจากเมืองที่ 1 เสมอ ดังนั้นเมืองที่ 1 จะปรากฏเป็นเมืองแรกในวัฏจักรแบบชำมิลตันเสมอ เส้นทางการเดินทางของพนักงานขายสามารถเขียนแทนได้ด้วยเมตริกซ์ $(N - 1) \times (N - 1)$ จึงต้องใช้จำนวนคิวบิตทั้งหมด $(N - 1)^2$ คิวบิต เพื่อแทนกลุ่มของคำตอบทั้งหมด ตัวอย่างเช่น เส้นทางการเดินทาง $1 \rightarrow 2 \rightarrow 3 \rightarrow 4 \rightarrow 1$ เราสนใจเฉพาะลำดับของเมือง 2 3 และ 4 เนื่องจากเรากำหนดให้พนักงานขายเริ่มเดินทางจากเมือง 1 เท่านั้น ดังนั้นเราจึงสนใจเฉพาะเส้นทาง $2 \rightarrow 3 \rightarrow 4$ โดยลำดับของเมืองจะเปลี่ยนแปลงภายใน 3 เมืองนี้ เท่านั้น จากตัวอย่างดังกล่าวสามารถแปลงจากเมตริกซ์ $(N - 1) \times (N - 1)$ ให้อยู่ในรูปของเวกเตอร์ $[1, 0, 0, 0, 1, 0, 0, 0, 1]$ แต่ค่าในเมตริกซ์คือตัวแปร $X_{i,p}$ เมื่อ i คือ เมือง และ p คือลำดับของเมืองในวัฏจักร $X_{i,p} = 1$ เมื่อเมือง i ถูกผ่านที่ลำดับที่ p ในวัฏจักร และ $X_{i,p} = 0$ เมื่อเมือง i ไม่ถูกผ่านที่ลำดับที่ p ในวัฏจักร ดังนั้นจากตัวอย่างรูปแบบเวกเตอร์ดังกล่าวจึงหมายถึง

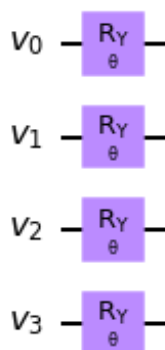
เมือง 2 ลำดับที่ 1 เมือง 3 ลำดับที่ 2 และเมือง 4 ลำดับที่ 3 นั้นเอง เนื่องจากเราต้องการให้แต่ละเมืองปรากฏในวัฏจักรแค่ 1 ครั้ง และในแต่ละลำดับมีเพียงเมืองเดียวที่ปรากฏ

5.2 การกำหนดสถานะเริ่มต้นของคิวบิต

โดยปกติคิวบิตทุกตัวจะเริ่มต้นที่สถานะ $|0\rangle$ เสมอ ซึ่งเราต้องการกำหนดให้เวกเตอร์ความน่าจะเป็นในแต่ละมิติเริ่มต้นที่ 0.5 ในทุกมิติ เพื่อให้ตัวอย่างประชากรที่สร้างขึ้นมา จะมีโอกาสเป็นบิต 0 หรือ 1 เท่ากัน ดังนั้นในวงจรควบคุมต้ม เราจึงใส่เกต R_y (Rotation around Y-axis) เพื่อกำหนดสถานะเริ่มต้นของคิวบิตให้เป็นสถานะซ้อนทั้งระหว่างสถานะ $|0\rangle$ และ สถานะ $|1\rangle$ อย่างลงทะเบ่ากัน เพื่อให้ความน่าจะเป็นที่วัดสถานะของคิวบิตแล้วได้ค่าเป็น 0 หรือ 1 เท่ากัน โดยค่ามุมที่ใช้สำหรับการหมุนคิวบิตรอบแกน Y เพื่อให้คิวบิตอยู่ในสถานะซ้อนทั้ป สามารถคำนวณได้จากสมการ (30) โดยค่าเริ่มต้นของ probability (p) คือ 0.5 สำหรับทุกมิติในเวกเตอร์ความน่าจะเป็น

$$\text{angle}(\theta) = 2 \times \cos^{-1} \sqrt{1 - \text{probability}(p)} \quad (30)$$

แผนภาพวงจรควบคุมต้มสำหรับกำหนดสถานะเริ่มต้นของคิวบิตเป็นดังภาพที่ 34



ภาพที่ 34 แผนภาพวงจรควบคุมต้มสำหรับกำหนดสถานะเริ่มต้นของคิวบิต

5.3 การดำเนินการกับสถานะของคิวบิตก่อนการรับ

ขั้นตอนวิธีเชิงพันธุกรรมแบบกระชับใช้การคัดเลือกโครโนโซมแบบการแข่งขัน (tournament selection) โดยงานวิจัยนี้ใช้ tournament selection เท่ากับ 2 คือ สุ่มสร้างคำตอบขึ้นมา 2 คำตอบ และทำการเปรียบเทียบค่าความหมายสมรรถห่วง 2 คำตอบ เพื่อหาคำตอบที่ดีกว่า ผู้จัดได้ใช้ตัวดำเนินการกับสถานะของคิวบิตก่อนการรับค่าสถานะของคิวบิตสำหรับคำตอบแรก (First candidate) และคำตอบที่สอง (Second candidate) แตกต่างกัน First candidate ไม่มีการดำเนินการเพิ่มเติมกับสถานะของคิวบิต นอกเหนือจากการหมุนคิวบิตตามที่ระบุในข้อ 5.2 ส่วน Second candidate ผู้จัดได้จำกัดพื้นที่การค้นหา (Search space) เพื่อให้ได้คำตอบสำหรับปัญหา TSP ที่เป็นรูปแบบเส้นทางที่เป็นไปได้ (Feasible path) เท่านั้น โดยใช้ประโยชน์จากอัลกอริทึม ควบคุม คือ อัลกอริทึมการค้นหาของโกรเวอร์ (Grover's search algorithm) ซึ่งขั้นตอนการทำงานของอัลกอริทึมการค้นหาของโกรเวอร์ มีดังนี้

5.3.1. การกำหนดสถานะเริ่มต้นของคิวบิตในอัลกอริทึมการค้นหาของโกรเวอร์

อัลกอริทึมการค้นหาของโกรเวอร์แบบดั้งเดิมจะกำหนดสถานะเริ่มต้นของคิวบิตให้เป็นสถานะซ้อนทั้งระหว่างสถานะ $|0\rangle$ และ สถานะ $|1\rangle$ อย่างละเท่าๆ กันเสมอ แต่เนื่องจากงานวิจัยนี้ได้นำเวกเตอร์ความน่าจะเป็นที่ได้รับการปรับปรุงเมื่อสิ้นสุดแต่ละรอบวิวัฒนาการมาใช้เป็นข้อมูลอ้างอิงของสำหรับกำหนดสถานะของคิวบิตในรอบวิวัฒนาการครั้งต่อไป ดังนั้น สถานะเริ่มต้นของคิวบิตในอัลกอริทึมการค้นหาของโกรเวอร์สำหรับงานวิจัยนี้จึงไม่ได้เริ่มต้นที่สถานะซ้อนทั้งระหว่างสถานะ $|0\rangle$ และ สถานะ $|1\rangle$ อย่างละเท่าๆ กันเสมอ โดยขึ้นอยู่กับค่าความน่าจะเป็นของแต่ละมิติในเวกเตอร์ความน่าจะเป็น ณ ขณะนั้น ดังนั้นการกำหนดสถานะเริ่มต้นของคิวบิตในอัลกอริทึมการค้นหาของโกรเวอร์จะเนื่องกับข้อ 5.1 คือ ไสเกต R_y (Rotation around Y-axis) เพื่อกำหนดสถานะเริ่มต้นของคิวบิตให้เป็นสถานะซ้อนทั้งระหว่างสถานะ $|0\rangle$ และ สถานะ $|1\rangle$ ตามค่าความน่าจะเป็นของแต่ละมิติในเวกเตอร์ โดยการหมุนคิวบิตไปตามค่ามุมที่คำนวณได้จากสมการ (30) ซึ่งค่าเริ่มต้นของ probability (p) คือ 0.5 สำหรับทุกมิติในเวกเตอร์ความน่าจะเป็น ดังนั้นแผนภาพจะรีบวนตัวมีสำหรับสถานะเริ่มต้นของคิวบิตในอัลกอริทึมการค้นหาของโกรเวอร์ เป็นดังภาพที่

5.3.2. การสร้างฟังก์ชันໂອຣາເຄີລ (Oracle) ສໍາຫຼັບປ່ຽນທາ TSP ໃນອັລກອຣີທີມກາຮັກຄັນຫາຂອງໂກຣເວອຣ

ແນວຄົດຫຼັກສໍາຫຼັບກາຮັກຄັນຫາ ຕີ່ກາຮັກຄັນຫາ ດັ່ງນີ້ $f(x) = 1$ ເມື່ອ $y(x)$ ເຈົ້າຕົວບຸນຂອງປ່ຽນທາກາຮັກຄັນຫາທີ່ສັນໃຈ ໃນທາງກລັບກັນ $f(x) = 0$ ເມື່ອ $y(x)$ ໄມ່ເຈົ້າຕົວບຸນຂອງປ່ຽນທາກາຮັກຄັນຫາທີ່ສັນໃຈ ຈຶ່ງປ່ຽນທາກາຮັກຄັນຫາທີ່ແຕກຕ່າງກັນກີ່ມີກາຮັກຄັນຫາ ໂອຣາເຄີລທີ່ແຕກຕ່າງກັນ ຜູ້ວິຈີຍໄດ້ນຳປ່ຽນທາ TSP ຈຶ່ງເປັນໜຶ່ງໃນປ່ຽນຍາຍທີ່ຄ່ອນຂ້າງໄດ້ຮັບຄວາມນິຍມຈາກນັກວິຈີຍໃນຫລາກຫລາຍສາຂາວິຊາ ມາເປັນປ່ຽນທາຕັ້ນແບບສໍາຫຼັບງານວິຈີຍນີ້ ໂດຍປ່ຽນທາ TSP ນີ້ເປັນປ່ຽນທາທີ່ທ່າກາຮັກຕັດສິນໃຈທາເສັ້ນທາງກາຮັກຄັນຫາ ເພື່ອໃຫ້ເຈົ້າຕົວບຸນສໍາຫຼັບປ່ຽນທາ TSP ເມື່ອມີເມື່ອທີ່ຕ້ອງເດີນທາງໄປຈຳນວນ N ເມື່ອ ກາຮັກຄັນຫາຈະເດີນທາງຈາກເມື່ອງໄດ້ເມື່ອງໜຶ່ງໃນຈຳນວນ N ເມື່ອ ໂດຍຈະຕ້ອງເດີນທາງຜ່ານຄຽບທຸກເມື່ອງອ່າງລະ 1 ຄັ້ງ ເດີນທາງໄມ່ຂໍ້າເມື່ອງເດີມ ແລະ ກລັບມາທີ່ເມື່ອງແຮກທີ່ເຮີ່ມຕົ້ນເດີນທາງ ໂດຍໄດ້ຮະຍາທາງຮວມທີ່ສັນທີ່ສຸດ ກາຮັກຄັນຫາ ໂອຣາເຄີລສໍາຫຼັບງານວິຈີຍນີ້ຈະເປັນກາຮັກຈຳກັດພື້ນທີ່ກາຮັກຄັນຫາ (Search space) ເພື່ອໃຫ້ເຈົ້າຕົວບຸນສໍາຫຼັບປ່ຽນທາ TSP ທີ່ເປັນຮູບແບບເສັ້ນທາງທີ່ເປັນໄປໄດ້ (Feasible path) ເທົ່ານັ້ນ ກລ່ວກີ່ມີກາຮັກເຮີ່ມຕົ້ນເດີນທາງຈາກເມື່ອງໜຶ່ງ ເດີນທາງໄປຈົນຄຽບທຸກເມື່ອງໄດ້ໄມ່ຂໍ້າເມື່ອງເດີມ ແລະ ເດີນທາງກລັບມາທີ່ເມື່ອງເຮີ່ມຕົ້ນ ໂດຍໄມ່ໄດ້ສັນໃຈວ່າເສັ້ນທາງທີ່ເດີນທາງນັ້ນເປັນເສັ້ນທາງທີ່ຮະຍາທາງຮວມສັນທີ່ສຸດທ່ອງໄໝ ຄອມພິວເຕອົວແບບດັ່ງເດີມສາມາຮັກທາຄຳຕົວບຸນຂອງປ່ຽນທາ TSP ໄດ້ໂດຍກາຮັກໃໝ່ວິທີ Brute-force ຂອງທຸກໆເສັ້ນທາງທັງທີ່ເປັນ Feasible path ແລະໄມ່ໃໝ່ Feasible path ແລະ ທ່ານ ປະເປີຍບໍ່ເຖິງໃຫຍ່ໄປເຮືອຍໆຈຳນວນທີ່ໄດ້ຮະຍາທາງທີ່ສັນທີ່ສຸດທີ່ເປັນ Feasible path ຈາກເສັ້ນທາງທັງໝົດ ດັ່ງນັ້ນຄ້າມີ N ເມື່ອ ຈະມີຮູບແບບກາຮັກທັງໝົດຄື່ອງ 2^N ຮູບແບບ ຈຶ່ງຮັມຄື່ງຮູບແບບທີ່ໄມ່ໃໝ່ Feasible path ດ້ວຍ ຈະເຫັນໄດ້ວ່າຄອມພິວເຕອົວແບບດັ່ງເດີມຕ້ອງໃຫ້ເວລາໃນກາຮັກຈຳຕົວບຸນເປັນເອັກໂປ່ນເນື້ອເຊີຍລ ຕາມຈຳນວນເມື່ອທີ່ເພີ່ມຂຶ້ນ ນອກເໜື້ອຈາກວິທີ Brute-force ກາຮັກໃໝ່ວິທີກາຮັກໂປ່ນໂປຣແກຣມແບບໄດ້ນາມີກີ່ຂ່າຍລຸດເວລາໃນກາຮັກຈຳຕົວບຸນໄດ້ ແຕ່ກີ່ຍັງຄົງໃໝ່ເວລາເປັນເອັກໂປ່ນເນື້ອເຊີຍລອຟ່ງ ເຊັ່ນກາຮັກຄັນຫາທີ່ໄດ້ເສັ້ນທາງທີ່ເປັນໄປໄດ້ທັງໝົດເປັນ Feasible path ເທົ່ານັ້ນ ຈະມີຮູບແບບເສັ້ນທາງທັງໝົດ $N!$ ຮູບແບບ ແຕ່ຄ້າເຮັກຄັນຫາໃຫ້ພັນກາງໝາຍເຮີ່ມຕົ້ນເດີນທາງທີ່ເມື່ອງໄດ້ເມື່ອງໜຶ່ງເສົ່ມອຮູບແບບເສັ້ນທາງທັງໝົດທີ່ຕ້ອງກັນຫາຈະເຫັນ $(N - 1)!$ ຮູບແບບ ກາຮັກຄັນຫາເມື່ອງເຮີ່ມຕົ້ນສາມາຮັກຈ່າຍລຸດພື້ນທີ່ກາຮັກຈຳຕົວບຸນ ແຕ່ກີ່ຍັງຄົງໃໝ່ເວລາໃນກາຮັກຈຳຕົວບຸນມາກອຟ່ງ ອຳຍ່າງໄຮ

ก็ตามด้วยคุณสมบัติ quantum superposition ทำให้สามารถประมวลผลทุกสถานะ ความตัมได้พร้อมกัน (quantum parallelism) ทำให้ประมวลผลได้อย่างรวดเร็วกว่า คอมพิวเตอร์ดั้งเดิมมาก

อัลกอริทึมการค้นหาของกราเวอร์เป็นอัลกอริทึมความตัมสำหรับการค้นหาข้อมูลที่ไม่เรียงลำดับ อัลกอริทึมดังกล่าวได้นำคุณสมบัติทางกลศาสตร์ความตัมของคิวบิต นั่นก็คือ สภาวะซ้อนทับของคิวบิต รวมกับเทคนิคการขยายแอมเพลจูด (Amplitude amplification) ที่ถูกนำเสนอในอัลกอริทึมนี้ มาช่วยเร่งความเร็วในการค้นหาคำตอบด้วยความเร็วกำลังสอง ดังนั้นเราสามารถค้นหาคำตอบที่ต้องการด้วยจำนวนครั้งโดยประมาณ \sqrt{N} เมื่อมีคำตอบขนาดใหญ่ N คำตอบ ซึ่งในคำตอบเหล่านี้มี 1 คำตอบที่มีคุณสมบัติที่เป็นเอกลักษณ์ที่เราต้องการค้นหา ซึ่งทำให้ประหยัดเวลาเป็นอย่างมากสำหรับการค้นหาคำตอบที่ต้องการจากจำนวนคำตอบทั้งหมดที่มีขนาดใหญ่มาก

การกำหนดพังก์ชันโอราเดิลสำหรับปัญหา TSP เพื่อจำกัดพื้นที่การค้นหาคำตอบเฉพาะรูปแบบเส้นทางที่เป็น Feasible path นั้น จากข้อ 5.1 ผู้วิจัยได้แปลงปัญหา TSP ให้อยู่ในรูปของปัญหาวัฏจักรแบบฮามิลตัน (Hamiltonian cycles problem) เพื่อลดรูปปัญหาให้อยู่ในรูปแบบการตัดสินใจของแบบจำลอง Ising (Ising model) โดยใช้สpinsทั้งหมด $(N - 1)^2$ spins เมื่อ N คือจำนวนเมือง และผู้วิจัยกำหนดให้พนักงานขายเริ่มต้นเดินทางจากเมืองที่ 1 เสมอ ดังนั้นต้องใช้จำนวนคิวบิตทั้งหมด $(N - 1)^2$ คิวบิต เพื่อแทนกลุ่มของคำตอบทั้งหมด แต่ละค่าในเมตริกซ์คือตัวแปร $X_{i,p}$ เมื่อ i คือ เมือง และ p คือ ลำดับของเมืองในวัฏจักร $X_{i,p} = 1$ เมื่อเมือง i ถูกผ่านที่ลำดับที่ p ในวัฏจักร และ $X_{i,p} = 0$ เมื่อเมือง i ไม่ถูกผ่านที่ลำดับที่ p ในวัฏจักร เนื่องจากเราต้องการให้แต่ละเมืองปรากฏในวัฏจักรแค่ 1 ครั้ง ยกเว้นเมืองเริ่มต้น และในแต่ละลำดับมีเพียงเมืองเดียวที่ปรากฏ ดังนั้นจึงมีการกำหนด 2 ข้อจำกัด เพื่อให้เงื่อนไขดังกล่าวเป็นจริง ดังสมการ (31)

$$\sum_i x_{i,p} = 1 \quad \forall p, \quad \sum_p x_{i,p} = 1 \quad \forall i \quad (31)$$

สำหรับลำดับของเมืองแต่ละเมืองในวัฏจักรแบบขยายมิตัน ถ้า $X_{i,p}$ และ $X_{j,p+1}$ เป็น 1 ทั้งคู่ แต่ไม่มีเส้นทางเชื่อมระหว่างเมือง i ไปเมือง j จะเป็นต้องกำหนดบทลงโทษ (Energy penalty) อย่างไรก็ตาม สำหรับงานวิจัยนี้ถือว่าทุกเมืองมีเส้นทางเชื่อมถึงกัน (Fully connected) ดังนั้นจึงไม่ได้เพิ่มบทลงโทษสำหรับกรณีดังกล่าวสำหรับการคำนวณค่า พลังงานของแบบจำลอง Ising

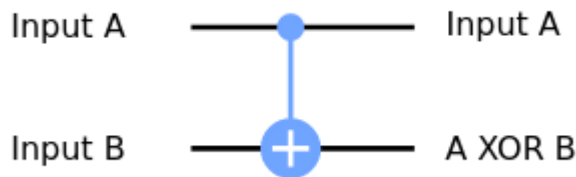
การกำหนดค่าพลังงานของแบบจำลอง Ising เพื่อให้ได้ค่าพลังงานต่ำสุดซึ่งแทนคำตอบที่เหมาะสมที่สุดของปัญหา TSP ต้องพิจารณาเส้นทางที่ทำให้ได้ระยะทางที่สั้นที่สุดโดยที่เส้นทางดังกล่าวเป็น Feasible path ตามเงื่อนไขของปัญหา TSP ดังนั้นสมการคำนวณ ค่าพลังงานของแบบจำลอง Ising ที่แทนคำตอบของปัญหา TSP มีดังนี้

$$Energy = \sum_{i,j} w_{i,j} \sum_p x_{i,p} x_{j,p+1} + B \sum_p (1 - \sum_i x_{i,p})^2 + B \sum_i (1 - \sum_p x_{i,p})^2$$

เมื่อ B คือค่าน้ำหนักของการลงโทษ ซึ่งต้องมีขนาดมากพอที่จะทำให้เงื่อนไขของ Feasible path ของปัญหา TSP เป็นจริง สำหรับค่าในวงเล็บที่มีการยกกำลังสองเพื่อให้ค่าต่ำสุดของส่วนการลงโทษ (Penalty term) มีค่าเป็น 0 ในกรณีที่เงื่อนไข Feasible path เป็นจริง ดังนั้นค่าความเหมาะสมของคำตอบของปัญหา TSP สามารถหาได้จากการคำนวณงานของแบบจำลอง Ising จากสมการ (32) โดยการหาค่าพลังงานที่ต่ำที่สุดเพื่อให้ได้คำตอบที่เหมาะสมที่สุด ซึ่งก็คือเส้นทางที่เป็น Feasible path และเป็นระยะทางที่สั้นที่สุด วิธีการแปลงปัญหา TSP เป็นแบบจำลอง Ising ดังกล่าวข้างต้น ทำให้ผู้วิจัยสามารถสร้างวงจรควบคุมต้มได้โดยง่าย[43]

การตรวจสอบสถานะของคิวบิตที่ให้คำตอบที่เป็น Feasible path มีแนวคิดมาจากฟังก์ชันที่ทำงานบนคอมพิวเตอร์แบบดั้งเดิม และแปลงฟังก์ชันดังกล่าวให้สามารถทำงานบนเครื่องคอมพิวเตอร์เชิงคุณต้มได้ ฟังก์ชันนี้จะตรวจสอบในแต่ละคอลัมน์และในแต่ละแถวว่ามีค่า 1 ปรากฏเพียงที่เดียวหรือไม่ โดยลำดับของคอลัมน์แทนลำดับเมือง และลำดับของแถวแทนลำดับการเดินทางไปยังเมืองนั้น เนื่องจากเราต้องการให้แต่ละเมืองปรากฏในวัฏ

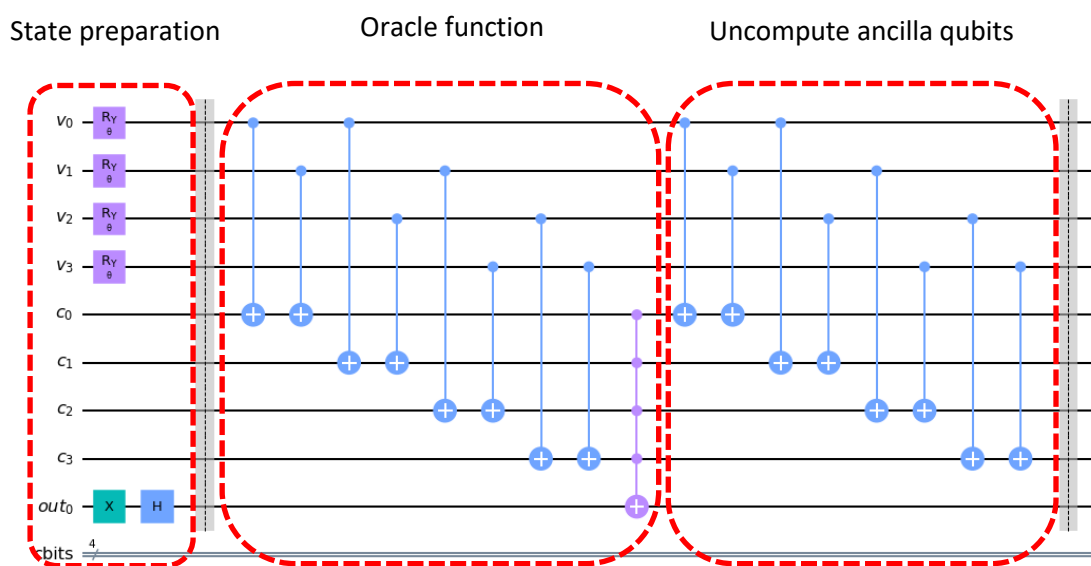
จักรแค่ 1 ครั้ง และในแต่ละลำดับมีเพียงเมืองเดียวที่ปรากฏ ส่วนเมืองแรกที่เริ่มต้นเดินทาง จะไม่ได้นำมาคิด เนื่องจากมีการกำหนดให้เป็นเมืองที่ 1 เสมอ ดังนั้นในแบบจำลอง Ising จะเริ่มเช็คตั้งแต่เมืองที่ 2 ไปจนถึงเมืองที่ N ผู้วิจัยได้สร้างรายการที่ต้องเปรียบเทียบทั้งหมดลงในรายการที่ต้องตรวจสอบว่าเป็น Feasible path หรือไม่ และตรวจสอบ Feasible path โดยใช้เกต XOR เราสามารถสร้างวงจรควบคุมที่มีการทำงานคล้ายกันกับ XOR gate ของคอมพิวเตอร์แบบดั้งเดิมโดยใช้เกต controlled-NOT หรือ CNOT แผนผังวงจรควบคุมต้มสำหรับเกต CNOT เป็นดังภาพที่ 35



ภาพที่ 35 แผนผังวงจรควบคุมต้มแสดงเกต CNOT

เกต CNOT นำมาใช้กับคิวบิต 2 คิวบิต โดยจุดกลมของเกต CNOT อยู่ตรงกับคิวบิตใด คิวบิตนั้นจะทำงานเป็นคิวบิตควบคุม (Control qubit) และวงกลมที่มีเครื่องหมายบาทวงกลางจะทำงานเป็นคิวบิตเป้าหมาย (Target qubit) โดยค่าของคิวบิตเป้าหมายจะเปลี่ยนแปลง เมื่อค่าของคิวบิตควบคุมเป็น 1 ดังนั้นจากภาพที่ 35 ถ้า Input A และ Input B ค่าเหมือนกัน A XOR B จะมีค่าเป็น 0 ในทางกลับกัน ถ้าค่าต่างกัน A XOR B จะมีค่าเป็น 1 เราจะใช้ คุณสมบัติของเกต CNOT ในการตรวจสอบทุกเงื่อนไขที่ต้องเปรียบเทียบ เช่น กรณี 3 เมือง ตัวแปร $X_{i,p}$ และ $X_{j,p+1}$ ที่ต้องตรวจสอบมีทั้งหมด 4 คู่ ได้แก่ $(X_{2,2}, X_{2,3}), (X_{2,2}, X_{3,2}), (X_{2,3}, X_{3,3}), (X_{3,2}, X_{3,3})$ เพื่อตรวจสอบว่าเป็น Feasible path หรือไม่ โดยใช้เกต CNOT ดังภาพที่ 35 และทำซ้ำจนครบทุกคู่ ผลลัพธ์ของการ XOR ในแต่ละคู่นั้นจะเป็นคิวบิตควบคุมของคิวบิตเป้าหมายสุดท้ายที่เป็นคิวบิตผลลัพธ์ (Output qubit) โดยใช้เกต Multi-controlled ซึ่งคิวบิตผลลัพธ์จะถูกกำหนดค่าเริ่มต้นให้อยู่ในสถานะ $|-\rangle$ ถ้าทุกคิวบิตควบคุมเป็น 1 จะทำให้คิวบิตเป้าหมายถูกเปลี่ยนค่าจาก 0 เป็น 1 ซึ่งทำให้เฟสของคิวบิตเป้าหมายที่เป็นเฟสติดลบ (Negative phase) มีผลต่อการกลับเฟส (Phase)

kickback) ในอัลกอริทึมค้นหาของกรเรอร์โดยทันที วงจรส่วนฟังก์ชันโอราเคิลแสดงดังภาพที่ 36 ทำให้การทำ Grover iteration ในท้ายที่สุดจะไปขยายสัญญาณและเพลจูดของสถานะที่ต้องการ หรือสถานะที่ให้คำตอบที่เป็น Feasible path ดังจะได้อธิบายในหัวข้อถัดไป ซึ่งจะช่วยเพิ่มความน่าจะเป็นที่เมื่อวัดสถานะของคิวบิตแล้วได้คำตอบที่เป็น Feasible path นั่นเอง



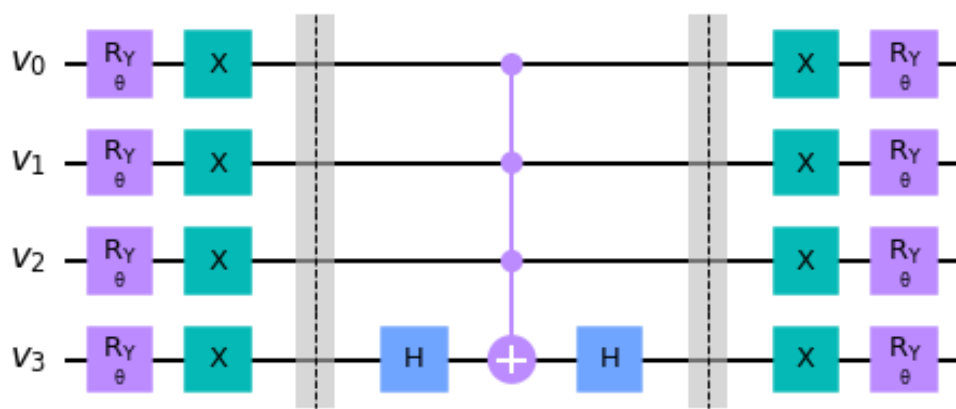
ภาพที่ 36 วงจรควบคุมต้มแสดงฟังก์ชันโอราเคิลสำหรับตรวจสอบสถานะควบคุมต้มที่แทนรูปแบบคำตอบที่เป็น feasible path สำหรับปัญหา TSP ขนาด 3 เมือง

5.3.3. การขยายค่าและเพลจูดของสถานะที่สนใจในอัลกอริทึมการค้นหาของกรเรอร์

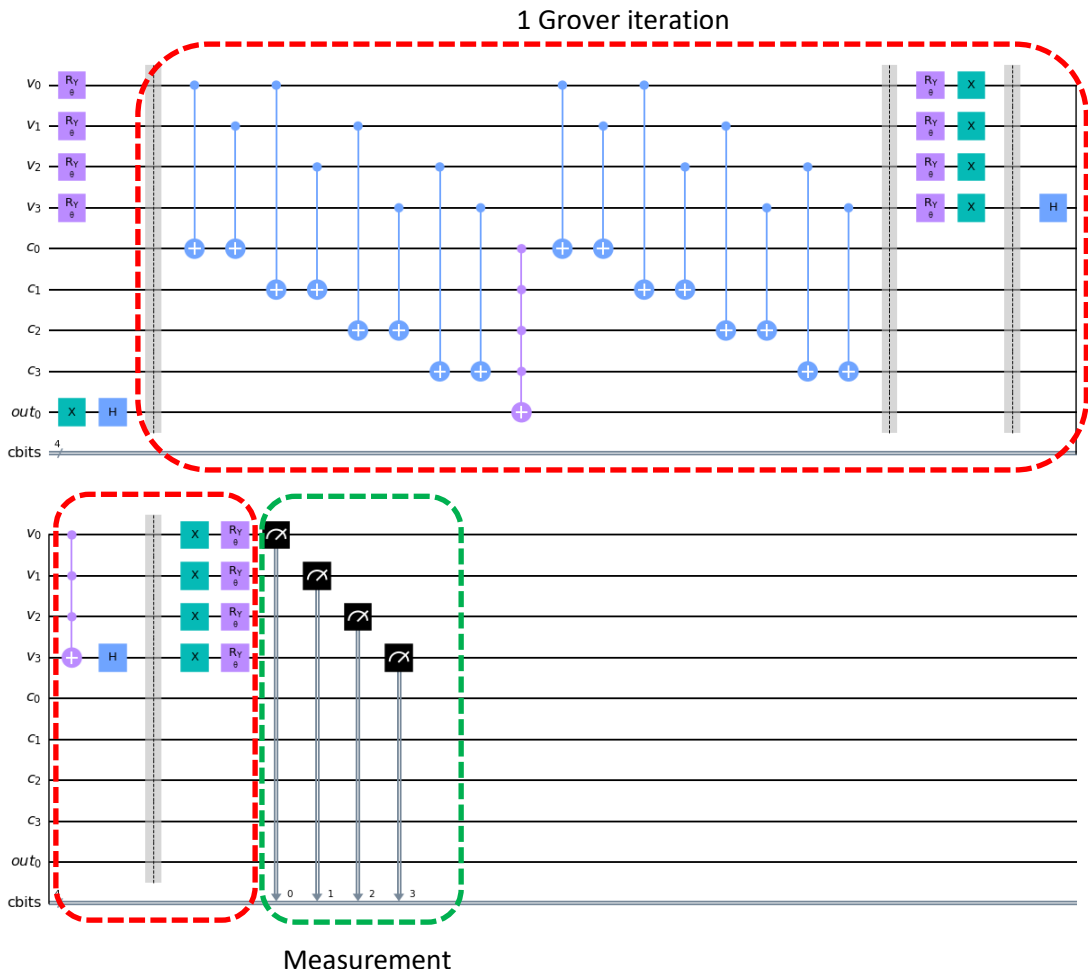
จากข้อ 5.3.1 สถานะเริ่มต้นของคิวบิตในอัลกอริทึมการค้นหาของกรเรอร์สำหรับงานวิจัยนี้ไม่ได้เริ่มต้นที่สถานะซ่อนทั่วทั่วของสถานะ $|0\rangle$ และ สถานะ $|1\rangle$ อย่างลงทะเบ่าๆ กันเสมอ โดยขึ้นอยู่กับค่าความน่าจะเป็นของแต่ละมิติในเวกเตอร์ความน่าจะเป็น ณ ขณะนั้น เนื่องจากผู้วิจัยได้นำเวกเตอร์ความน่าจะเป็นที่ได้รับการปรับปรุงเมื่อสิ้นสุดแต่ละรอบวิวัฒนาการ มาใช้เป็นข้อมูลอ้างอิงสำหรับกำหนดสถานะของคิวบิตในรอบวิวัฒนาการครั้งต่อไป เพื่อให้ความน่าจะเป็นที่วัดคิวบิตแล้วได้สถานะที่ต้องการมีมากขึ้น ดังนั้นส่วนของการดำเนินการ Diffusion operator เพื่อสะท้อนสถานะของคิวบิตผลลัพธ์กับสถานะคิวบิตเริ่มต้น โดยใช้หลักการทางเรขาคณิตเรื่องการสะท้อน 2 ครั้งสำหรับการหมุนในระนาบสอง

มิติ ซึ่ง Diffusion operator ของอัลกอริทึมการค้นหาของกรเวอร์แบบดังเดิมนั้น คือการสะท้อนกับแกนที่เป็นเวกเตอร์สถานะเริ่มต้นของคิวบิตที่เป็นสถานะซ้อนทั่วไปของสถานะ $|0\rangle$ และ สถานะ $|1\rangle$ อย่างลงทะเบ่ากัน แต่เวกเตอร์สถานะเริ่มต้นของคิวบิตสำหรับงานวิจัยนี้จะเปลี่ยนแปลงไปตามค่าความน่าจะเป็นของแต่ละมิติในเวกเตอร์ความน่าจะเป็น ทำให้ต้องปรับเปลี่ยนวงจรควบคุมต้มส่วนของ Diffusion operator ในอัลกอริทึมการค้นหาของกรเวอร์เล็กน้อย เพื่อให้สะท้อนเวกเตอร์สถานะเริ่มต้นของคิวบิตได้อย่างถูกต้อง[44] ดังนั้น วงจรควบคุมต้มส่วนของ Diffusion operator สำหรับงานวิจัยนี้เป็นดังภาพที่ 37

การทำซ้ำของ Grover (Grover iteration) คือขั้นตอนสำคัญที่ใช้สำหรับขยายและเพิ่มจำนวนสถานะที่สนใจ ซึ่งประกอบด้วย 2 ขั้นตอน ได้ Oracle reflection และ Diffuser 2 ขั้นตอนดังกล่าวสามารถถูกวัดได้เป็นจำนวนครั้งสูงสุดคือ $\frac{\pi}{4} \sqrt{\frac{N}{T}}$ ครั้ง เมื่อ N คือจำนวนสถานะของคิวบิตทั้งหมด และ T คือจำนวนคำตอบที่เป็นผลลัพธ์ของฟังก์ชันโอราเคิล เพื่อขยายค่าและเพิ่มจำนวนสถานะที่สนใจให้มีค่าสูงสุด[41] ซึ่งจะทำให้ค่าความน่าจะเป็นที่เมื่อวัดสถานะคิวบิตแล้วได้สถานะที่สนใจสูงสุดตามไปด้วย ดังนั้นวงจรควบคุมต้มแสดงส่วนการทำงานของอัลกอริทึมการค้นหาของกรเวอร์ทั้งหมดแสดงดังภาพที่ 38



ภาพที่ 37 ตัวอย่างวงจรควบคุมต้มล้วนของ Diffusion operator
ในอัลกอริทึมการค้นหาของกรเวอร์ สำหรับปัญหา TSP ขนาด 3 เมื่อ



ภาพที่ 38 วงจรควอนตัมแสดงส่วนการทำงานของอัลกอริทึมการค้นหาของกราเวอร์ สำหรับปัญหา TSP ขนาด 3 เมือง

5.4 การวัดสถานะของคิวบิต

การวัดสถานะคิวบิตทำให้สถานะซ้อนทับ (Superposition) ของคิวบิตแต่ละตัวถูกยุบเหลือเพียงสถานะ 0 หรือ 1 เท่านั้น โดย First candidate จะมีค่าสถานะคิวบิตสอดคล้องตามค่าความน่าจะเป็นของแต่ละมิติในเวกเตอร์ความน่าจะเป็น ณ ขณะนั้น ในขณะที่ Second candidate จะมีค่าสถานะคิวบิตสอดคล้องตามค่าความน่าจะเป็นของแต่ละมิติในเวกเตอร์ความน่าจะเป็น และนำอัลกอริทึมความต้ม ได้แก่ อัลกอริทึมการค้นหาของกราเวอร์ มาช่วยในการจำกัดพื้นที่การค้นหาเฉพาะเส้นทางที่เป็น Feasible path และช่วยลดระยะเวลาในการค้นหาเป็นกำลังสองของอัลกอริทึมแบบดั้งเดิมทั่วไป

5.5 การดำเนินการของขั้นตอนวิธีเชิงพันธุกรรมแบบกราฟชั้นนิตគอนตัม

ในขั้นแรกจะมีการสุ่มคำตอบขึ้นมา 1 คำตอบ และเก็บเป็นรูปแบบคำตอบที่ดีที่สุด ณ ปัจจุบันหลังจากนั้นจึงเริ่มกระบวนการตามข้อ 5.2 – 5.4 เมื่อได้รูปแบบคำตอบ 2 คำตอบจากข้อ 5.4 แล้ว ต้องทำการประเมินค่าความเหมาะสมของรูปแบบคำตอบทั้ง 2 คำตอบตามฟังก์ชันจุดประสงค์ที่ระบุในสมการ (32) เฉพาะคำตอบที่ 2 ที่จะมีเงื่อนไขเพิ่มเติม คือ นำมาเปรียบเทียบกับค่าความเหมาะสมของคำตอบที่ดีที่สุด ณ ปัจจุบัน และค่อยเลือกคำตอบที่ดีกว่ามาเปรียบเทียบกับคำตอบแรก เพื่อหาคำตอบที่ดีกว่าอีกครั้ง และใช้คำตอบที่ดีกว่ามาเป็นต้นแบบในการปรับปรุงค่าความน่าจะเป็นในแต่ละมิติของเวกเตอร์ความน่าจะเป็น วิธีการดังกล่าวจะใกล้เคียงกับ compact genetic algorithm with an elite[12] ซึ่งเป็นการปรับปรุงขั้นตอนวิธีเชิงพันธุกรรมแบบกราฟชั้น โดยการเลือกคำตอบจากกลุ่มคำตอบที่ดีที่สุดที่เคยบันทึกไว้ มาใช้ในการเปรียบเทียบกัน ก่อนจะหาคำตอบที่ดีกว่าเพื่อใช้เป็นต้นแบบในการปรับปรุงค่าความน่าจะเป็นในแต่ละมิติของเวกเตอร์ความน่าจะเป็น ขั้นตอนดังกล่าวจะทำงานบนเครื่องคอมพิวเตอร์แบบดังเดิม เนื่องด้วยข้อจำกัดในการเปรียบเทียบค่าในเครื่องคอมพิวเตอร์เชิงคุณตัม จำเป็นต้องสร้างวงจรเปรียบเทียบเชิงคุณตัม (Quantum comparator) มาใช้ในการเปรียบเทียบค่า ผู้วิจัยจึงทำการประเมินค่าความเหมาะสม และเปรียบเทียบค่าความเหมาะสมบนเครื่องคอมพิวเตอร์แบบดังเดิมแทน จากนั้นจึงทำการปรับปรุงค่าความน่าจะเป็นในแต่ละมิติของเวกเตอร์ความน่าจะเป็นตามคำตอบที่ดีกว่า โดยทำการเปรียบเทียบบิตของผู้ชนะและผู้แพทที่ลับบิต ถ้าบิตของผู้ชนะไม่เหมือนกันกับบิตของผู้แพท และบิตของผู้ชนะเท่ากับ 1 จะทำการปรับเพิ่มความน่าจะเป็นด้วยอัตราส่วน 1 : ขนาดของประชากร ในทางกลับกัน ถ้าบิตของผู้ชนะเท่ากับ 0 จะทำการปรับลดความน่าจะเป็นด้วยอัตราส่วน 1 : ขนาดของประชากร เช่นกัน จากนั้นจึงตรวจสอบว่าคำตอบที่เป็นผู้ชนะดีกว่าคำตอบที่ดีที่สุด ณ ปัจจุบันหรือไม่ ถ้าใช่จึงค่อยทำการปรับปรุงรูปแบบคำตอบที่ดีที่สุด ณ ปัจจุบันตามรูปแบบคำตอบของผู้ชนะสุดท้ายตรวจสอบว่าค่าความน่าจะเป็นในแต่ละมิติของเวกเตอร์ความน่าจะเป็นนั้นถูกเข้าแล้วหรือยัง ซึ่งเป็นเงื่อนไขสำหรับตรวจสอบการจบขั้นตอนวิธีเชิงพันธุกรรมแบบกราฟชั้น ภาพที่ 39 แสดงโค้ดเทียมของขั้นตอนวิธีเชิงพันธุกรรมแบบกราฟชั้นนิตគอนตัมที่นำเสนอในงานวิจัยนี้ ภาพที่ 40 แสดงแผนผังขั้นตอนการทำงานของขั้นตอนวิธีเชิงพันธุกรรมแบบกราฟชั้นนิตគอนตัมโดยกรอบเส้นประคือประมวลผลบนเครื่อง IBM QASM simulator และกรอบเส้นทึบคือประมวลผลบนเครื่องคอมพิวเตอร์ดังเดิม

Algorithm 2: Grover-assisted cGA*

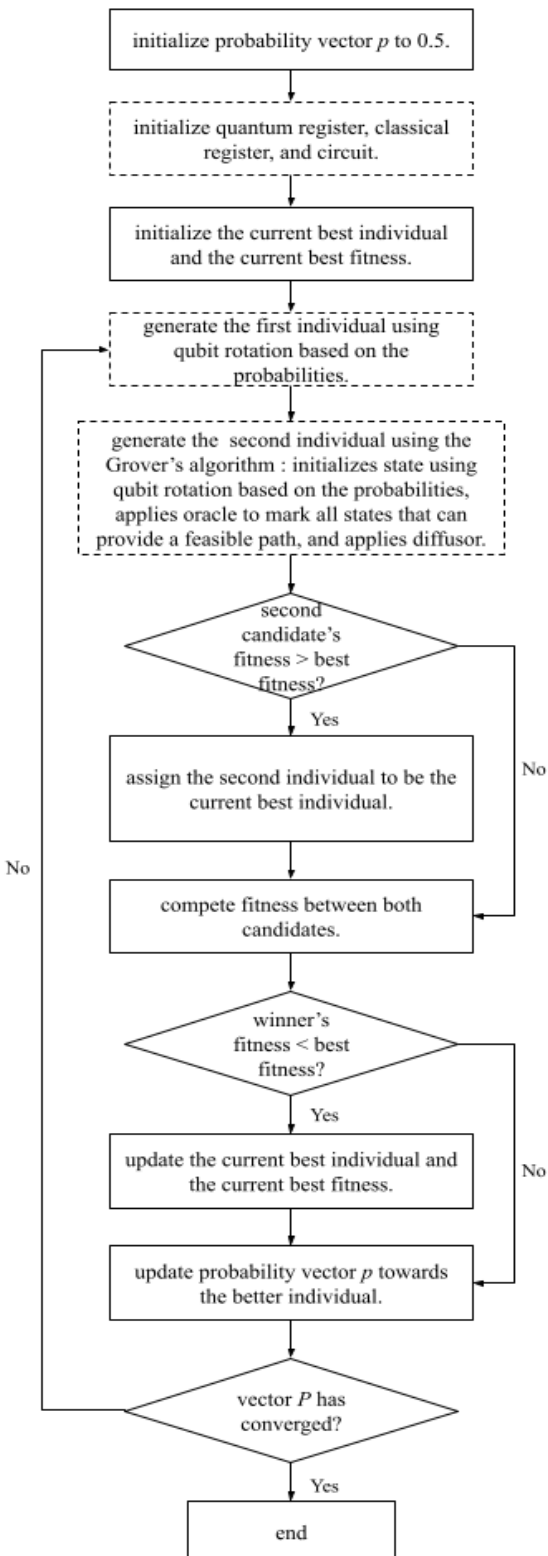
```

1) initialize probability vector:
for  $i \leftarrow 1$  to  $l$  do
|  $p[i] \leftarrow 0.5;$ 
end
2) initialize the current best individual and Grover
   iteration:
 $curBestIdv \leftarrow 000..00$ ,  $t \leftarrow numGroverIteration$ ;
3) initialize quantum register, classical register, circuit:
 $circuit \leftarrow QuantumCircuit(qr, cr)$ ;
4) generate the first individual using qubit rotation
   based on the probabilities:
 $a \leftarrow generateFirstIdv(p)$ ;
5) generate the second individual using the adjusted
   Grover's algorithm with oracle of the objective
   function:
 $circuit \leftarrow initialize(p)$ ;
for  $i \leftarrow 1$  to  $t$  do
|  $circuit \leftarrow feasibleSolution(circuit)$ ;
|  $circuit \leftarrow inverseFeasibleSol(circuit)$ ;
|  $circuit \leftarrow diffuser(circuit)$ ;
end
 $b \leftarrow measure(circuit)$ ;
6) evaluate the second individual's fitness:
if  $curBestIdv.fitness > b.fitness$  then
|  $b \leftarrow curBestIdv$ ;
end
7) let them compete:
 $winner, loser \leftarrow compete(a, b)$ ;
8) update probability vector towards winner:
for  $i \leftarrow 1$  to  $l$  do
| if  $winner[i] \neq loser[i]$  then
| | if  $winner[i] = 1$  then
| | |  $p[i] \leftarrow p[i] + 1/n$ ;
| | | else
| | | |  $p[i] \leftarrow p[i] - 1/n$ ;
| | | end
| | end
| end
9) update the current best individual:
if  $curBestIdv.fitness < winner.fitness$  then
|  $curBestIdv \leftarrow winner$ ;
end
10) check if the vector has converged:
for  $i \leftarrow 1$  to  $l$  do
| if  $p[i] > 0$  and  $p[i] < 1$  then
| | return to step 3;
| | end
end

```

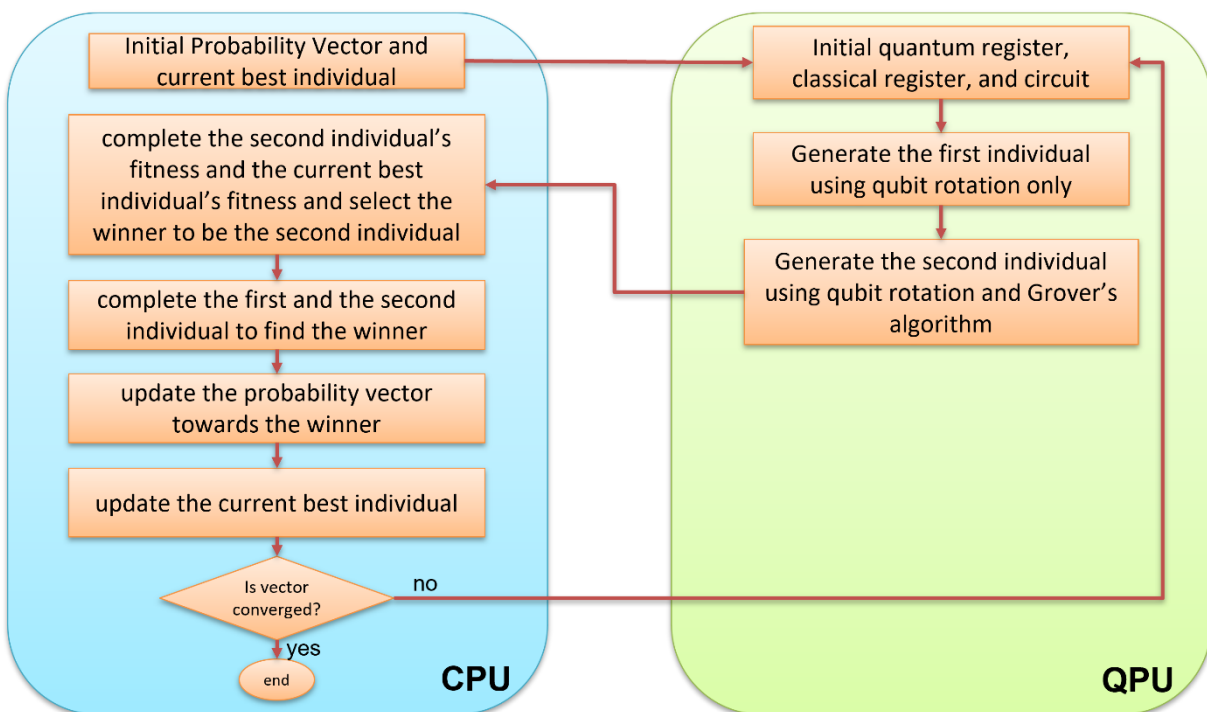
l is a chromosome length, n is a population size,
and t is a number of Grover iterations.

ภาพที่ 39 โค้ดเที่ยมของขั้นตอนวิธีเชิงพันธุกรรมแบบกระชับชนิดคุณต้ม (Grover-assisted cGA*)



ภาพที่ 40 แผนผังแสดงขั้นตอนการทำงานของขั้นตอนวิธีใช้พื้นที่กรรรมแบบกระชั้บชนิดควบคุมตัวมกรอบเล่นประจำอยู่บนเครื่อง IBM QASM simulator

Application architecture ของขั้นตอนวิธีเชิงพันธุกรรมแบบกระชับชนิดคุณต้มแสดงดังภาพที่ 41 โดยแสดงการเชื่อมโยงการทำงานระหว่างการประมวลผลบนเครื่องคอมพิวเตอร์ด้วยเดิม และการประมวลผลบนเครื่องคอมพิวเตอร์เชิงคุณต้มของขั้นตอนวิธีที่นำเสนอ งานวิจัยนี้ได้ประยุกต์ การประมวลผลเชิงคุณต้มและการหมุนคิวบิตเพื่อกำหนดสถานะเริ่มต้นของคิวบิตที่แทนรูปแบบคำตอบของปัญหาที่สนใจ โดยค่ามุนที่ใช้ในการหมุนคิวบิตขึ้นอยู่กับค่าความน่าจะเป็นของแต่ละ element ในเวกเตอร์ความน่าจะเป็นที่ถูกกำหนดจากคอมพิวเตอร์ด้วยเดิม ก่อนจะทำการวัดค่าสถานะคิวบิตเพื่อสร้างโครงโน้มโฉมตัวแรก นอกจากนี้ได้นำประโยชน์ของการประมวลผลเชิงคุณต้มแบบขนาน (Quantum parallelism) จากอัลกอริทึมการค้นหาของกราวอร์ ซึ่งเป็นอัลกอริทึมที่ทำงานบนพันธุกรรมแบบกระชับชนิดด้วยเดิม เพื่อให้ได้โครงโน้มหรือรูปแบบคำตอบของปัญหาที่ดี และช่วยเพิ่มประสิทธิภาพในการค้นหาคำตอบที่เหมาะสมมากขึ้น ในขณะที่การประเมินค่าความเหมาะสมของรูปแบบคำตอบ และการปรับปรุงเวกเตอร์ความน่าจะเป็นตามรูปแบบคำตอบที่ดียังคงทำงานอยู่บนเครื่องคอมพิวเตอร์ด้วยเดิม



ภาพที่ 41 Application architecture ของขั้นตอนวิธีเชิงพันธุกรรมแบบกระชับชนิดคุณต้ม

บทที่ 6

ผลการวิจัยเบื้องต้นสำหรับขั้นตอนวิธีเชิงพันธุกรรมแบบกราฟชั้บชนิดค่อนต้ม

6.1 การจัดเตรียมสภาพแวดล้อมสำหรับการทดลองเปรียบเทียบประสิทธิภาพระหว่างขั้นตอนวิธีเชิงพันธุกรรมแบบกราฟชั้บชนิดด้วยเดิมกับชั้บชนิดค่อนต้ม

เนื่องจากขั้นตอนวิธีเชิงพันธุกรรมแบบกราฟชั้บชนิดค่อนต้มที่นำเสนอในงานวิจัยนี้ ได้มีการปรับปรุงขั้นตอนการคัดเลือก (Selection) คำตอบเพื่อนำมาใช้ในการเปรียบเทียบ โดยมีการเปรียบเทียบ Second candidate กับรูปแบบคำตอบที่ดีที่สุด ณ เวลานั้น จากนั้นจึงเลือกคำตอบที่ดีกว่ามาใช้สำหรับเปรียบเทียบกับ First Candidate ต่อไป ผู้วิจัยจึงได้ทำการปรับปรุงขั้นตอนวิธีเชิงพันธุกรรมแบบกราฟชั้บชนิดด้วยเดิมให้มีขั้นตอนการคัดเลือกคำตอบที่น้ำมาใช้ในการเปรียบเทียบ (Compact genetic algorithm with an elite) แบบเดียวกัน เพื่อให้สามารถเปรียบเทียบประสิทธิภาพการทำงานระหว่างขั้นตอนวิธีเชิงพันธุกรรมแบบกราฟชั้บชนิดด้วยเดิมกับชั้บชนิดค่อนต้มได้ดังนั้นต่อจากนี้ขั้นตอนวิธีเชิงพันธุกรรมแบบกราฟชั้บชนิดด้วยเดิมในงานวิจัยนี้หมายถึง “cGA*” โดยภาพรวมการทำงานของ cGA* แสดงดังภาพที่ 42 ส่วนขั้นตอนวิธีเชิงพันธุกรรมแบบกราฟชั้บชนิดค่อนต้มในงานวิจัยนี้เรียกว่า “Grover-assisted cGA*” อย่างไรก็ตามการเข้ารหัสปัญหา TSP โดยรูปแบบการเข้ารหัสของโครงไมโครโซฟท์เป็นเลขฐานสอง (Binary bit string) ในคอมพิวเตอร์แบบด้วยเดิมนั้น จะใช้วิธีการแตกต่างกับในคอมพิวเตอร์เชิงค่อนต้ม เนื่องจากเราสามารถปรับปรุงการเข้ารหัสบนคอมพิวเตอร์แบบด้วยเดิมเพื่อให้ใช้จำนวนบิตน้อยที่สุดได้ โดยไม่ต้องสนใจว่างจุดคลาสสิกจะมีหน้าตาเป็นอย่างไร ซึ่งแตกต่างกันกับการเข้ารหัสของปัญหา TSP บนวงจรค่อนต้ม

ปัญหา TSP ที่ใช้เป็นต้นแบบสำหรับงานวิจัยนี้เป็นปัญหา TSP ขนาดเล็กคือ 3 เมือง และ 4 เมือง เนื่องจากจำนวนคิวบิตที่คอมพิวเตอร์เชิงค่อนต้มจำลองของอิบีเอ็มมีให้ใช้ค่อนข้างจำกัด จึงสามารถทดลองได้กับปัญหา TSP ขนาดเล็กเท่านั้น ภาพที่ 43 และ 44 แสดงปัญหา TSP 3 เมือง และ 4 เมือง ที่ใช้สำหรับงานวิจัยนี้ตามลำดับ

Algorithm 1: The cGA*

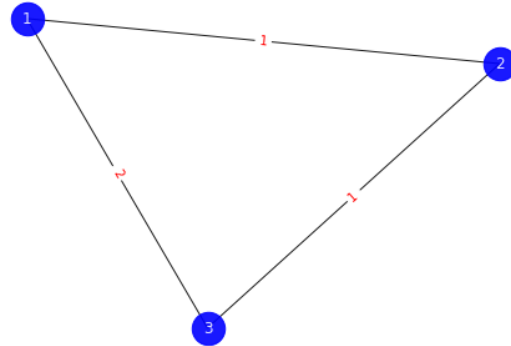
```

1) initialize probability vector:
for  $i \leftarrow 1$  to  $l$  do
|  $p[i] \leftarrow 0.5;$ 
end
2) initialize the current best individual:
 $curBestIdv \leftarrow 000..00;$ 
3) generate two individuals from the vector:
 $a \leftarrow generate(p)$   $b \leftarrow generate(p);$ 
4) evaluate the second individual's fitness:
if  $curBestIdv.fitness > b.fitness$  then
|  $b \leftarrow curBestIdv;$ 
end
5) let them compete:
 $winner, loser \leftarrow compete(a, b);$ 
6) update probability vector towards winner:
for  $i \leftarrow 1$  to  $l$  do
| if  $winner[i] \neq loser[i]$  then
| | if  $winner[i] = 1$  then
| | |  $p[i] \leftarrow p[i] + 1/n;$ 
| | else
| | |  $p[i] \leftarrow p[i] - 1/n;$ 
| | end
| end
end
7) update the current best individual:
if  $curBestIdv.fitness < winner.fitness$  then
|  $curBestIdv \leftarrow winner;$ 
end
8) check if the vector has converged:
for  $i \leftarrow 1$  to  $l$  do
| if  $p[i] > 0$  and  $p[i] < 1$  then
| | return to step 3;
| end
end

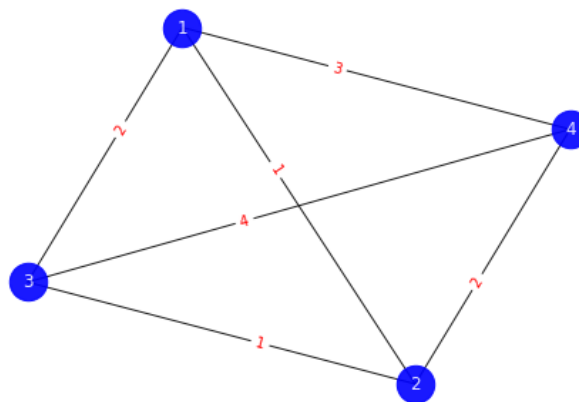
```

l is a chromosome length and n is a population size.

ภาพที่ 42 โค้ดเทียมของขั้นตอนวิธีเชิงพันธุกรรมแบบกระชับชนิดตั้งเดิมที่มีการคัดเลือกคำตอบ
(cGA*)



ภาพที่ 43 ปัญหา TSP ขนาด 3 เมือง ที่ใช้เป็นต้นแบบในการทดลองสำหรับงานวิจัยนี้



ภาพที่ 44 ปัญหา TSP ขนาด 4 เมือง ที่ใช้เป็นต้นแบบในการทดลองสำหรับงานวิจัยนี้

6.1.1. การเข้ารหัสปัญหา TSP บนเครื่องคอมพิวเตอร์แบบดังเดิม

ค่าความน่าจะเป็นของแต่ละมิติในเวกเตอร์ความน่าจะเป็นแทนความน่าจะเป็นของแต่ละเส้นเชื่อมระหว่าง 2 เมือง เช่น 4 เมือง ได้แก่ A B C D จะมีเส้นเชื่อมระหว่างเมืองที่เป็นไปได้ทั้งหมด 6 เส้นเชื่อม ได้แก่ A->B, A->C, A->D, B->C, B->D, C->D ดังนั้นจำนวนบิตรที่จำเป็นต้องใช้คือจำนวนเส้นเชื่อมทั้งหมดที่เป็นไปได้ เมื่อ N คือจำนวนเมือง สามารถเขียนสมการแสดงจำนวนเส้นเชื่อมทั้งหมดที่เป็นไปได้ ดังนี้

$$\text{จำนวนเส้นเชื่อมทั้งหมดที่เป็นไปได้ } = \frac{(N-1)}{2} \times N \quad (33)$$

ค่าความน่าจะเป็นของแต่ละมิติในเวกเตอร์ความน่าจะเป็น $(P_{i,j})$ แทนความน่าจะเป็นของเส้นเชื่อมระหว่างเมือง i กับเมือง j

6.1.2. สภาพแวดล้อมและค่าพารามิเตอร์ต่างๆที่ใช้สำหรับงานวิจัย

ผู้วิจัยได้กำหนดขนาดของประชากร (Population size) สูงสุดสำหรับปัญหา TSP 3 เมือง คือ 50 และขนาดของประชากรสูงสุดสำหรับปัญหา TSP 4 เมือง คือ 100 โดยเริ่มต้นที่ขนาดประชากรเท่ากับ 4 และค่อยๆเพิ่มขนาดประชากรทีละ 2 จนถึงขนาดประชากรสูงสุดโดยขนาดประชากรในที่นี้คือส่วนกลับของ Step size หรือความละเอียดในการค้นหา ซึ่งนำมาใช้ปรับปรุงค่าความน่าจะเป็นในแต่ละ element ของเวกเตอร์ความน่าจะเป็น เนื่องด้วยผลลัพธ์การทำงานของวงจรควบคุมต้มคือค่าความน่าจะเป็น ทำให้การวัดแต่ละครั้งอาจได้ผลลัพธ์แตกต่างกัน จึงจำเป็นต้องมีการกำหนดจำนวนชั้อต ซึ่งคือจำนวนครั้งที่วงจรควบคุมต้มจะถูกทำงานซ้ำ เพื่อให้ได้การกระจายตัวของคำตอบที่มีความแม่นยำมากยิ่งขึ้น ดังนั้นผู้วิจัยจึงได้กำหนดจำนวนชั้อตสำหรับขั้นตอนวิธีเชิงพันธุกรรมแบบกราฟชั้บชั้นนิดควบคุมต้มสำหรับแก้ปัญหา TSP ขนาด 3 เมือง คือ 1 ชั้อต และจำนวนชั้อตสำหรับขั้นตอนวิธีเชิงพันธุกรรมแบบกราฟชั้บชั้นนิดควบคุมต้มสำหรับแก้ปัญหา TSP ขนาด 4 เมือง คือ 1 ชั้อต 10 ชั้อต และ 20 ชั้อต จำนวนชั้อตที่ผู้วิจัยใช้ในการทดลองมาจากการทดลองเริ่มจากใช้จำนวนชั้อตน้อยๆ และค่อยๆเพิ่มจนได้การกระจายตัวของคำตอบที่มีความแม่นยำที่เหมาะสม ซึ่งผู้วิจัยค้นพบว่าสำหรับปัญหา TSP ขนาด 3 เมือง จำนวนชั้อตเพียง 1 ชั้อตก็เพียงพอสำหรับการกระจายตัวของคำตอบที่มีความแม่นยำ แต่สำหรับปัญหา TSP ขนาด 4 เมือง การเพิ่มจำนวนชั้อตมีผลต่อการการกระจายตัวของคำตอบให้มีความแม่นยำมากยิ่งขึ้น นอกจากนี้ผู้วิจัยได้กำหนดจำนวนรอบการวนซ้ำของกราวีอร์ (Grover iteration) สำหรับ 3 เมือง คือ 2 รอบ เนื่องจากการเข้ารหัสปัญหา TSP ขนาด 3 เมืองบวกจำนวนควบคุมใช้จำนวนคิวบิตทั้งหมด 4 คิวบิต ดังนั้นจำนวนรอบของกราวีอร์สูงสุดที่ทำให้ความน่าจะเป็นของสถานะคิวบิตที่สนใจมีค่าสูงสุด คือ $\frac{\pi}{4} \sqrt{\frac{2^4}{2}} \approx 2$ ครั้ง ในขณะที่การเข้ารหัสสำหรับ 4 เมืองบวกจำนวนควบคุมใช้จำนวนคิวบิตทั้งหมด 9 คิวบิต ดังนั้นจำนวนรอบของกราวีอร์สูงสุดที่จะทำให้ความน่าจะเป็นของสถานะคิวบิตทั้งหมด 9 คิวบิต

คือ $\frac{\pi}{4} \sqrt{\frac{2^9}{6}} \approx 7$ ครั้ง ขั้นตอนวิธีเชิงพันธุกรรมแบบกราฟชั้บชั้นนิดควบคุมต้มมีการใช้จำนวนชั้อตและจำนวนรอบของกราวีอร์เพื่อให้ความน่าจะเป็นของสถานะคิวบิตที่สนใจสูงสุดที่สุด

แตกต่างกันเพื่อสังเกตผลกราฟของจำนวนชือตและจำนวนรอบของโกรเวอร์ต่อประสิทธิภาพการทำงานของขั้นตอนวิธีที่นำเสนอ

ผู้วิจัยทำการรันขั้นตอนวิธีเชิงพันธุกรรมแบบกราฟชั้บชนิดดึงเดิม (cGA*) และขั้นตอนวิธีเชิงพันธุกรรมแบบกราฟชั้บชนิดคุณต้ม (Grover-assisted cGA*) ทั้งหมด 25 ครั้ง เพื่อหาค่าเฉลี่ยและนำมาplotเป็นกราฟ และใช้การตัดเลือกโกรโนไซมแบบการแข่งขัน (tournament selection) โดยกำหนดให้เท่ากับ 2 ขั้นตอนวิธีเชิงพันธุกรรมทั้งสองแบบจะรันจนกว่าค่าความน่าจะเป็นในแต่ละมิติของเวกเตอร์ความน่าจะเป็นถูเข้าค่า 0 หรือ 1

6.2 ผลการทดลองเปรียบเทียบประสิทธิภาพระหว่างขั้นตอนวิธีเชิงพันธุกรรมแบบกราฟชั้บชนิดดึงเดิมกับชนิดคุณต้ม

งานวิจัยนี้เปรียบเทียบประสิทธิภาพระหว่างขั้นตอนวิธีเชิงพันธุกรรมแบบกราฟชั้บชนิดดึงเดิม (cGA*) กับขั้นตอนวิธีเชิงพันธุกรรมแบบกราฟชั้บชนิดคุณต้ม (Grover-assisted cGA*) ใน 2 ด้าน ได้แก่ ความถูกต้องของคำตอบหน่วยเป็นเปอร์เซ็นต์ และจำนวนครั้งในการประเมินค่าความเหมาะสม (function evaluation) โดยวิธีการคำนวณจำนวน function evaluation ต่อหนึ่งรอบ generation สำหรับขั้นตอนวิธีเชิงพันธุกรรมแบบกราฟชั้บชนิดคุณต้ม (Grover-assisted cGA*) คิดจากจำนวนชือตคุณด้วยจำนวนรอบของโกรเวอร์ เนื่องจากทุกๆ 1 รอบของโกรเวอร์ ก็คือการประเมินค่าความเหมาะสม 1 ครั้งโดยที่ยังคงสถานะซ้อนทับของคิวบิตอยู่ เพราะยังไม่ได้มีการอ่านค่าสถานะคุณต้ม และหากหนึ่งสำหรับการประเมินค่าความเหมาะสมของ first candidate จากวงจรคุณต้มโดยการอ่านค่าสถานะคุณต้ม ดังสมการ (34)

$$\text{จำนวนครั้งที่ประเมินค่าความเหมาะสมต่อรอบ} = (\text{จำนวนชือต} \times \text{จำนวนรอบโกรเวอร์}) + 1 \quad (34)$$

6.2.1 การวิเคราะห์ผลการทดลอง

ผลการทดลองแก้ปัญหา TSP ขนาด 3 เมื่อด้วยขั้นตอนวิธีเชิงพันธุกรรมแบบกราฟชั้บชนิดคุณต้ม (Grover-assisted cGA*) เปรียบเทียบกับขั้นตอนวิธีเชิงพันธุกรรมแบบกราฟชั้บชนิดดึงเดิม (cGA*) ในด้านความถูกต้องของคำตอบหน่วยเป็นเปอร์เซ็นต์ เป็นดังภาพที่ 45 จากกราฟในภาพที่ 45 แสดงให้เห็นว่าทั้งสองอัลกอริทึมมีประสิทธิภาพเทียบเท่ากันในเรื่องของความถูกต้องของคำตอบ โดยสามารถหาคำตอบที่เหมาะสมที่สุดได้ แต่เมื่อ

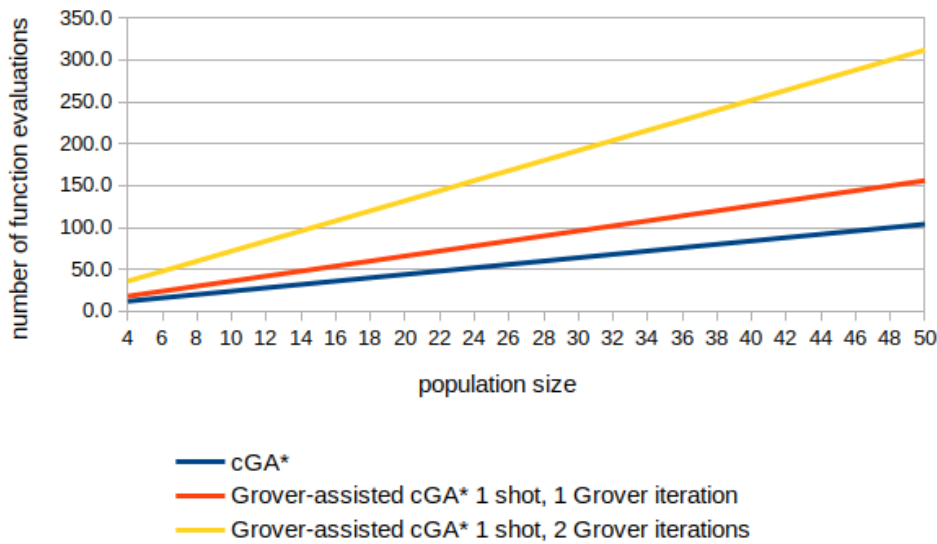


4104830501

พิจารณาจำนวนครั้งในการประเมินค่าความเหมาสมจากภาพที่ 46 cGA* จะใช้จำนวนครั้งในการประเมินค่าความเหมาสมของคำตอบน้อยกว่า Grover-assisted cGA* เนื่องจากจำนวนครั้งในการประเมินค่าความเหมาสมของ Grover-assisted cGA* จะเพิ่มขึ้นตามจำนวนช็อต และจำนวนรอบของกราวอร์ที่ใช้ในแต่ละช็อต โดยจำนวนรอบของกราวอร์ที่เพิ่มขึ้น ทำให้จำนวนครั้งที่ประเมินค่าความเหมาสมของ Grover-assisted cGA* เพิ่มขึ้นเป็นเท่าตัวตามจำนวนรอบของกราวอร์ ซึ่งปัญหา TSP ขนาด 3 เมื่อใช้จำนวนรอบของกราวอร์สูงสุดคือ 2 รอบ โดยที่จำนวนช็อต เพียง 1 ช็อตของ Grover-assisted cGA* ก็เพียงพอสำหรับการค้นหาคำตอบที่เหมาสมที่สุด เนื่องจากปัญหา TSP ขนาด 3 เมื่อใช้จำนวนคิวบิตเพียง 4 คิวบิต แทนค่าสถานะของคิวบิตทั้งหมดที่เป็นไปได้ 16 สถานะความนั่ม จึงทำให้การกระจายตัวของคำตอบค่อนข้างมีความแม่นยำ แม้ว่าจะใช้จำนวนช็อตเพียง 1 ช็อตเท่านั้น กราฟแสดงจำนวนครั้งในการประเมินค่าความเหมาสมไม่สามารถระบุได้ว่าขั้นตอนวิธีใดลุ้นเข้าหาคำตอบที่ถูกต้องได้เร็วกว่ากัน เนื่องจากวิธีดังจำนวนครั้งที่แตกต่างกัน อย่างไรก็ตามเมื่อพิจารณากราฟแสดงจำนวนครั้งในการประเมินค่าความเหมาสมพบว่าสำหรับปัญหา TSP ขนาด 3 เมื่อ ควรเลือกใช้ cGA* เนื่องจากใช้จำนวนครั้งประเมินค่าความเหมาสมน้อยกว่า Grover-assisted cGA* หากแต่ยังได้คำตอบที่เหมาสมที่สุด

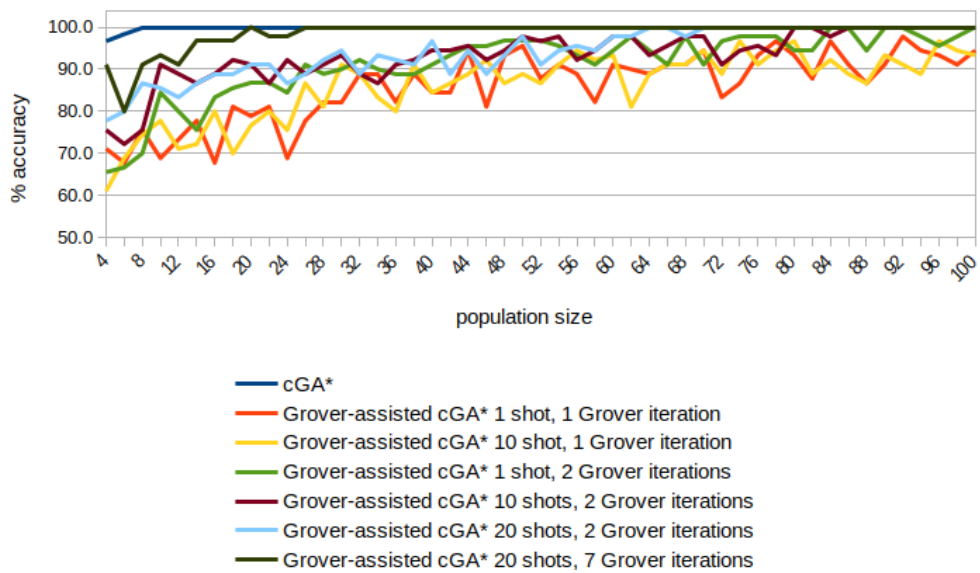


ภาพที่ 45 กราฟแสดงผลการประยุกต์ใช้ค่าความถูกต้องของคำตอบ (จำนวนบิตที่ถูกต้องเป็นเปอร์เซ็นต์เมื่อสิ้นสุดการทำงาน) ระหว่าง cGA* และ Grover-assisted cGA* สำหรับปัญหา TSP ขนาด 3 เมื่อ

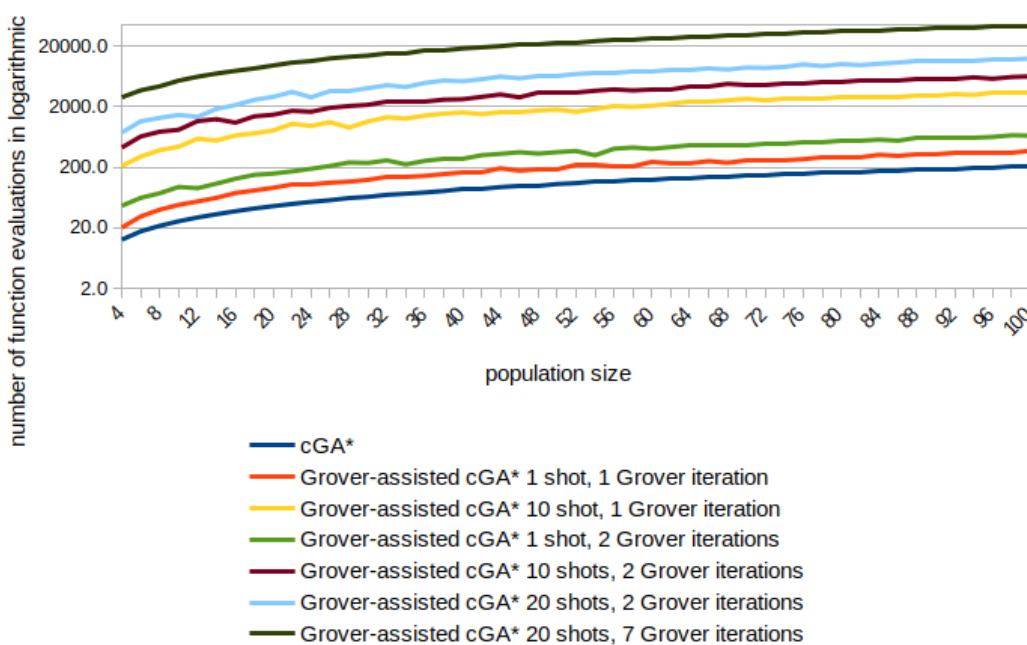


ภาพที่ 46 กราฟแสดงผลการเปรียบเทียบจำนวนครั้งในการประเมินค่าความเหมาะสมสมจุนกระทั้งล้วนสุดการทำงาน ระหว่าง cGA* และ Grover-assisted cGA* สำหรับปัญหา TSP ขนาด 3 เมือง

สำหรับปัญหา TSP ขนาด 4 เมือง cGA* สามารถหาคำตอบที่เหมาะสมที่สุดโดยใช้ขนาดของประชากรเพียง 8 และ ใช้จำนวนครั้งในการประเมินค่าความเหมาะสม 22 ในขณะที่ Grover-assisted cGA* ใช้ขนาดของประชากรประมาณ 26 จำนวนซึ่งต่ำกว่า 20 ซึ่งต่ำกว่า 20 และใช้จำนวนรอบของกราวเวอร์สูงสุดคือ 7 รอบ จึงสามารถหาคำตอบที่เหมาะสมที่สุดได้ ดังภาพที่ 47 จะเห็นได้ว่า Grover-assisted cGA* ใช้ขนาดประชากรที่มากกว่า cGA* นอกจากนี้เนื่องด้วยจำนวนซึ่งต่ำกว่า 20 และจำนวนรอบของกราวเวอร์ที่มาก ทำให้จำนวนครั้งในการประเมินค่าความเหมาะสมของ Grover-assisted cGA* มากตามไปด้วยดังภาพที่ 47 ซึ่งเป็นไปตามสมการ (34) อย่างไรก็ตามเมื่อพิจารณาผลการรัน Grover-assisted cGA* เปรียบเทียบกับ cGA* ตามภาพที่ 47 และ 48 จะเห็นได้ว่าการเพิ่มจำนวนซึ่งต่ำกว่า 20 และไม่ได้มีผลต่อการเพิ่มประสิทธิภาพของอัลกอริทึมโดยตรง แต่ช่วยทำให้การกระจายตัวของคำตอบมีความแม่นยำมากขึ้น ทำให้คำตอบที่ได้มีความน่าเชื่อถือ ในขณะที่การเพิ่มจำนวนรอบของกราวเวอร์ ทำให้ประสิทธิภาพในการหาคำตอบของอัลกอริทึมที่นำเสนอได้ดีขึ้น เนื่องจากจำนวนรอบของกราวเวอร์ที่สูงสุดจะช่วยเพิ่มความน่าจะเป็นที่วัดสถานะของคิวบิตแล้วได้คำตอบที่สนใจมากยิ่งขึ้น แต่ก็ทำให้จำนวนครั้งในการประเมินค่าความเหมาะสมมากตัวอย่างเช่นกัน จากกราฟที่ 47 และ 48 จะเห็นได้ว่า cGA* ยังคงมีความเหมาะสมมากกว่าในการหาคำตอบปัญหา TSP ขนาด 4 เมือง เนื่องจากใช้จำนวนครั้งประเมินค่าความเหมาะสมน้อยกว่า Grover-assisted cGA* หาก แต่ยังได้คำตอบที่เหมาะสมที่สุด



ภาพที่ 47 กราฟแสดงผลการเปรียบเทียบความถูกต้องของคำตอบ (จำนวนบิทที่ถูกต้องเป็นเบอร์เซ็นต์เมื่อลื้นสุดการทำงาน) ระหว่าง cGA* และ Grover-assisted cGA* สำหรับปัญหา TSP ขนาด 4 เมือง



ภาพที่ 48 กราฟแสดงผลการเปรียบเทียบจำนวนครั้งในการประเมินค่าความเหมาะสมจนกระทั่งลื้นสุดการทำงาน ระหว่าง cGA* และ Grover-assisted cGA* สำหรับปัญหา TSP ขนาด 4 เมือง

6.2.2 การวิเคราะห์ความซับซ้อนในเชิงความต้ม

การวิเคราะห์ความซับซ้อนในเชิงความต้มจะแบ่งออกเป็น 2 ด้าน ได้แก่ 1: การวิเคราะห์จำนวนคิวบิต และจำนวนของคิวบิตทด (Ancilla qubits) ที่ต้องการที่สอดคล้องกับขนาดของปัญหาการหาค่าเหมาะสม และ 2: ต้นทุนของวงจรความต้มจากจำนวนเกต CNOT ที่ใช้ กับความลึกของวงจร (Circuit depth) ตามจำนวนรอบของกราวอร์ที่ใช้ใน Grover-assisted cGA* ซึ่งเกตความต้มส่วนมากประกอบจากเกตพื้นฐานของ arbitrary single-qubit และเกต CNOT อย่างไรก็ตามงานวิจัยนี้ ผู้วิจัยสนใจเฉพาะจำนวนเกต CNOT ที่ใช้ เนื่องจากเกต CNOT เป็นเกตที่มีต้นทุนสูง เพราะใช้เวลาในการประมวลผลนาน และมีโอกาสเกิดข้อผิดพลาดได้มากกว่าเกตพื้นฐานอื่นๆ นอกจากนี้จำนวนเกต CNOT ที่ใช้ในวงจรความต้มมักถูกนำมาใช้ในการทบทวนวรรณกรรมเพื่อเปรียบเทียบการออกแบบวงจรความต้มที่ดีสำหรับคอมพิวเตอร์เชิงความต้มโดยทั่วไป[45-47] นอกจากนี้จำนวนเกต CNOT ที่ใช้แล้ว ความลึกของวงจรก็มีผลต่อต้นทุนและความซับซ้อนของวงจรความต้ม ความลึกของวงจร (Circuit depth) มีความสำคัญเนื่องจากคิวบิตมีระยะเวลาในการเชื่อมโยงกันระหว่างคิวบิต หรือระยะเวลาที่คิวบิตยังมีคุณสมบัติทางกลศาสตร์ความต้ม (Decoherence time) Decoherence time ที่จำกัดนี้ทำให้ความลึกของวงจรความต้มที่ยังคงสามารถทำงานได้โดยคงคุณสมบัติทางกลศาสตร์ความต้มถูกจำกัดตามไปด้วย

6.2.1.1 จำนวนของคิวบิตและคิวบิตทดที่ต้องใช้

จำนวนคิวบิตที่จำเป็นต้องใช้สำหรับเข้ารหัสปัญหา TSP ในรูปแบบแบบจำลอง Ising คือ $(n - 1)^2$ คิวบิต เมื่อ n คือจำนวนเมือง นอกเหนือนี้ยังจำเป็นต้องใช้คิวบิตทดสอบว่างการคำนวณนอกเหนือจากคิวบิตที่เป็น input และ output เพื่อเร่งกระบวนการคำนวณโดยการลดจำนวนเกตรวมที่ต้องใช้หรือความลึกของวงจร สำหรับจำนวนคิวบิตทดที่ต้องใช้ เราจำเป็นต้องพิจารณาแบบจำลอง Ising ของปัญหา TSP ตามที่ระบุในข้อ 5.1 ตัวอย่างเส้นทางการเดินทาง $1 \rightarrow 2 \rightarrow 3 \rightarrow 4 \rightarrow 1$ เราสนใจเฉพาะลำดับของเมือง 2 3 และ 4 เนื่องจากเรากำหนดให้พนักงานขายเริ่มเดินทางจากเมือง 1 เท่านั้น โดยลำดับของเมืองอาจเปลี่ยนแปลงภายใน 3 เมืองนี้ ภาพที่ 49 แสดงค่าในเมทริกซ์ของเส้นทางการเดินทาง $2 \rightarrow 3 \rightarrow 4$ โดยที่例外ของเมทริกซ์แทนเมือง และคอลัมน์ของเมทริกซ์แทนลำดับของเมืองนั้นในเส้นทางการเดิน ซึ่ง例外ที่

1 คือเมือง 2 และที่ 2 คือเมือง 3 และแควรที่ 3 คือเมือง 4 จากเมทริกซ์ดังกล่าวจะเห็นได้ว่าแต่ละเมืองจะมีลำดับของเมืองที่แตกต่างกัน โดยเมือง 2 อยู่ลำดับที่ 1 เมือง 3 อยู่ลำดับที่ 2 และเมือง 4 อยู่ลำดับที่ 3 ในวัฏจักรสามมิตินั้น ดังนั้นเราสามารถตรวจสอบว่าแต่ละแควรในแต่ละคอลัมน์มี 1 ปราภณอยู่โดยไม่ซ้ำกันหรือไม่ จึงมีเงื่อนไขทั้งหมด 6 เงื่อนไขที่ต้องตรวจสอบสำหรับตัวอย่าง TSP ขนาด 4 เมืองข้างต้น เงื่อนไขที่ 1: ตรวจสอบแควรบนสุดกับคอลัมน์ที่ 1 ถึงคอลัมน์ที่ 3 เงื่อนไขที่ 2: ตรวจสอบแควรกลางกับคอลัมน์ที่ 1 ถึงคอลัมน์ที่ 3 เงื่อนไขที่ 3: ตรวจสอบแควรล่างสุดกับคอลัมน์ที่ 1 ถึงคอลัมน์ที่ 3 เงื่อนไขที่ 4: ตรวจสอบคอลัมน์ซ้ายสุดกับแควรที่ 1 ถึงแควรที่ 3 เงื่อนไขที่ 5: ตรวจสอบคอลัมน์กลางกับแควรที่ 1 ถึงแควรที่ 3 และเงื่อนไขที่ 6: ตรวจสอบคอลัมน์ซ้ายสุดกับแควรที่ 1 ถึงแควรที่ 3 ตั้งนั้นจำนวนคิวบิตรดั้งหนึ่งที่จำเป็นต้องใช้คือ $2(n - 1)$ คิวบิตร เมื่อ n คือจำนวนเมือง และต้นทุนทั้งหมดในการกำหนดสถานะเริ่มต้นของรูปแบบคำตอบของปัญหา จำนวนเกต CNOT ที่ใช้ในการคำนวณ และความลึกของวงจร ซึ่งจะได้อธิบายในหัวข้อถัดไป

	1	2	3
1	1	0	0
2	0	1	0
3	0	0	1

ภาพที่ 49 ตัวอย่างเมทริกซ์ของเส้นทางการเดินทาง $1 \rightarrow 2 \rightarrow 3 \rightarrow 4 \rightarrow$

จำนวนเมือง	จำนวนคิวบิตร	จำนวนคิวบิตรดั้ง	จำนวนเกต CNOT	ความลึกของวงจร
3	$(n - 1)^2$	$2(n - 1)$	$57t$	$2 + 99t$
4	$(n - 1)^2$	$2(n - 1)$	$315t$	$1 + 549t$

ตารางที่ 5 สรุปต้นทุนวงจรควบคุมต้ม จำแนกตามจำนวนคิวบิตร จำนวนคิวบิตรดั้ง จำนวนเกต CNOT และความลึกของวงจร สำหรับขั้นตอนวิธีเชิงพัฒนชักรรมแบบกระชับชนิดควบคุมต้ม

6.2.1.2 ต้นทุนของวงจร

โดยทั่วไปวงจรควบคุมต้มที่ยิ่งมีจำนวนเกตและจำนวนคิวบิตที่มาก ก็ยิ่งเพิ่มความไม่เสถียรในการทำงานของวงจร เนื่องด้วยอัตราความผิดพลาดของเครื่องคอมพิวเตอร์เชิงควบคุมต้มอันเนื่องมาจากการความผิดพลาดของควบคุมต้มเกต การวัด การสื่อสารข้ามอุปกรณ์ และประสิทธิภาพคอมไฟเลอร์ของวงจรควบคุมต้ม โดยอัตราความผิดพลาดเพิ่มขึ้นตามจำนวนเกตและจำนวนคิวบิตที่ใช้ การสร้างวงจรควบคุมต้มที่สามารถทำงานได้บนเครื่องคอมพิวเตอร์เชิงควบคุมต้มจึงเป็นเรื่องที่ท้าทายอย่างมาก ยิ่งไปกว่านั้น เราไม่สามารถสร้างอัลกอริทึมที่ซับซ้อนบนวงจรควบคุมต้มได้เนื่องจากข้อจำกัดในเรื่อง Decoherence time ของสถานะควบคุมต้ม

งานวิจัยนี้ใช้ประโยชน์จากอัลกอริทึมควบคุมต้มนั้นคือ อัลกอริทึมค้นหาของกราเวอร์ในการค้นหาคำตอบที่เหมาะสมที่สุดของปัญหา TSP โดยใช้เวลาในการค้นหาเร็วขึ้นเป็นกำลังสองของอัลกอริทึมแบบดั้งเดิมทั่วไป ซึ่งอัลกอริทึมการค้นหาของกราเวอร์ประกอบด้วยวงจรส่วนที่กำหนดค่าเริ่มต้นของสถานะคิวบิต ส่วนการทำงานของฟังก์ชันโอราเคิล ส่วนการทำงานของ Diffusor และส่วนสุดท้ายคือการวัดสถานะคิวบิต เพื่อดูผลลัพธ์ ส่วนกำหนดค่าเริ่มต้นของสถานะคิวบิตและการวัดสถานะคิวบิตนั้นมีจำนวนเกตที่แน่นอน เนื่องจาก 2 ส่วนนี้เป็นเพียงการเตรียมข้อมูลขาเข้า และการนำข้อมูลออก ในขณะที่ส่วนการทำงานของฟังก์ชันโอราเคิลและ Diffusor คือส่วนสำคัญของอัลกอริทึมค้นหาของกราเวอร์ เนื่องจากเป็นส่วนที่คำนวณฟังก์ชันโอราเคิล และทำการขยายแอมพลิจูดของสถานะควบคุมต้มที่สนใจซึ่งถูกกำหนดจากฟังก์ชันโอราเคิล ส่วนนี้สามารถถูกวนซ้ำได้เพื่อเพิ่มค่าความน่าจะเป็นสูงสุดให้กับสถานะควบคุมต้มที่สนใจ ทำให้เมื่อวัดสถานะสุดท้ายแล้วได้ค่าสถานะควบคุมต้มที่ต้องการ การวนซ้ำของสองส่วนนี้ในอัลกอริทึมนั้นค้นหาของกราเวอร์เรียกว่า “Grover iteration” ดังนั้นความลึกของวงจรควบคุมต้มจะพิจารณาจากจำนวนครั้งของ Grover iteration ที่ใช้ ยิ่งวนซ้ำมากความลึกของวงจรจะมากตามจำนวนรอบที่วนซ้ำเป็นเท่าตัว สำหรับปัญหา TSP ขนาด 3 เมือง จำนวนเกต CNOT ทั้งหมดที่ต้องใช้คือ $57t$ และความลึกของวงจร คือ $2 + 99t$ โดย t คือจำนวนครั้งของ Grover iteration ส่วนปัญหา TSP ขนาด 4 เมือง จำนวนเกต CNOT ทั้งหมดที่ต้องใช้คือ $315t$ และความลึกของวงจร คือ $1 + 549t$ จะเห็นได้ว่าการ

เพิ่มจำนวนเมืองมาแค่ 1 เมือง แต่จำนวนคิวบิต และจำนวนคิวบิตที่ต้องใช้เพิ่มขึ้น เป็นกำลังสอง และจำนวนคิวบิตที่เพิ่มขึ้นทำให้พื้นที่การค้นหาของอัลกอริทึมการค้นหา ของโกรเวอร์เพิ่มขึ้นเป็นเอ็กโพเน็นเชียล (Exponential) นั่นหมายถึงจำนวนครั้งของ Grover iteration ก็เพิ่มขึ้นเป็นเอ็กโพเน็นเชียลเท่ากัน จึงทำให้จำนวนเกต CNOT และ ความลึกของวงจรสำหรับปัญหา TSP ขนาด 4 เมือง เพิ่มขึ้นอย่างมากเมื่อเทียบกับ ปัญหา TSP ขนาด 3 เมือง จึงสามารถสรุปได้ว่าความซับซ้อนในเชิงความต้มของ ขั้นตอนวิธีเชิงพันธุกรรมแบบกระซับชนิดความต้ม (Grover-assisted cGA*) ที่นำเสนอ ในงานวิจัยนี้เท่ากับ $O\left(I \frac{\pi}{4} \sqrt{\frac{N}{T}}\right)$ เมื่อ / คือความลึกของวงจรความต้มสำหรับ Grover iteration ครั้งแรก N คือจำนวนสถานะความต้มทั้งหมด และ T คือจำนวน สถานะความต้มที่เป็นคำตอบของฟังก์ชันโอราเคิล

บทที่ 7

การปรับปรุงฟังก์ชันอราเคิล

แม้ว่าการนำประโยชน์ของอัลกอริทึมการค้นหาของกราเวอร์มาใช้กับขั้นตอนวิธีเชิงพันธุกรรมแบบกระชับตามที่นำเสนอในงานวิจัยนี้จะสามารถลดจำนวนครั้งในการค้นหาคำตอบของปัญหาการค้นหาข้อมูลที่ไม่มีโครงสร้างเป็นกำลังสอง เมื่อเทียบกับอัลกอริทึมการค้นหาแบบดั้งเดิม (classic search algorithm) แต่เนื่องจากขนาดของปัญหา TSP ที่มีจำนวนเมืองน้อย จึงทำให้ผลการวิจัยไม่ได้แสดงถึงประโยชน์ของการนำอัลกอริทึมการค้นหาของกราเวอร์มาเพิ่มประสิทธิภาพในการค้นหาคำตอบของขั้นตอนวิธีเชิงพันธุกรรมแบบกระชับ อีกทั้งฟังก์ชันอราเคิลที่ใช้ในอัลกอริทึมการค้นหาของกราเวอร์ เป็นเพียงการกำหนดลักษณะคำตอบที่ฟังก์ชันอราเคิลจะให้ผลลัพธ์คำตอบที่เป็น feasible path เท่านั้น ทำให้รูปแบบเส้นทางทั้งหมดที่เป็นไปได้ในพื้นที่การค้นหาคือ $N!$ รูปแบบ เมื่อ N คือจำนวนเมือง และเนื่องจากผู้วิจัยได้กำหนดให้พนักงานขายเริ่มต้นเดินทางที่เมืองใดเมืองหนึ่งเสมอ รูปแบบเส้นทางทั้งหมดที่ต้องค้นหาจึงเหลือ $(N - 1)!$ รูปแบบ ซึ่งพื้นที่ค้นหายังคงเพิ่มขึ้นตามจำนวนเมืองที่เพิ่มขึ้นเป็นເอกโภเนนเชียลอยู่ ผู้วิจัยจึงทำการปรับปรุงฟังก์ชันอราเคิลที่ใช้ในขั้นตอนวิธีเชิงพันธุกรรมแบบกระชับชนิดความต้ม (Grover-assisted cGA*) โดยใช้ประโยชน์จาก quantum parallelism ในการเปรียบเทียบเส้นทางที่ดีที่สุด ณ ปัจจุบัน กับเส้นทางทั้งหมดในพื้นที่การค้นหาซึ่งอยู่ในรูปแบบสถานะ quantum superposition โดยเป็นเปรียบเทียบกับทุกสถานะความต้มในเวลาเดียวกัน เพื่อให้ฟังก์ชันอราเคิลตรวจสอบเฉพาะสถานะความต้มของรูปแบบคำตอบที่เป็น feasible path และระยะทางรวมไม่น่ากว่าระยะทางรวมที่สั้นที่สุด ณ ปัจจุบัน

7.1 รายละเอียดการปรับปรุงฟังก์ชันอราเคิล

การใช้ประโยชน์จาก quantum parallelism ในการเปรียบเทียบเส้นทางทั้งหมดในพื้นที่การค้นหากับเส้นทางที่ดีที่สุด ณ ปัจจุบัน ผู้วิจัยจำเป็นต้องปรับปรุงฟังก์ชันอราเคิลให้สามารถคำนวณระยะทางจากรูปแบบของคำตอบทั้งหมดในพื้นที่การค้นหาได้ และฟังก์ชันอราเคิลจะต้องสามารถเปรียบเทียบระยะทางรวมของแต่ละรูปแบบคำตอบทั้งหมดในพื้นที่การค้นหา กับระยะทางรวมที่สั้นที่สุด ณ ปัจจุบันได้ด้วย ด้วยเหตุนี้ผู้วิจัยจึงประยุกต์ใช้วงจรบวกที่ใช้หลักการของความต้มฟูร์เยร์ทранสฟอร์ม (quantum Fourier transform) มาใช้สำหรับหาผลรวมระยะทางของแต่ละ

รูปแบบคำตอบในพื้นที่การค้นหา และใช้ quantum comparator ในการเปรียบเทียบระหว่างของแต่ละรูปแบบคำตอบกับระยะทางที่สั้นที่สุด ณ ปัจจุบัน

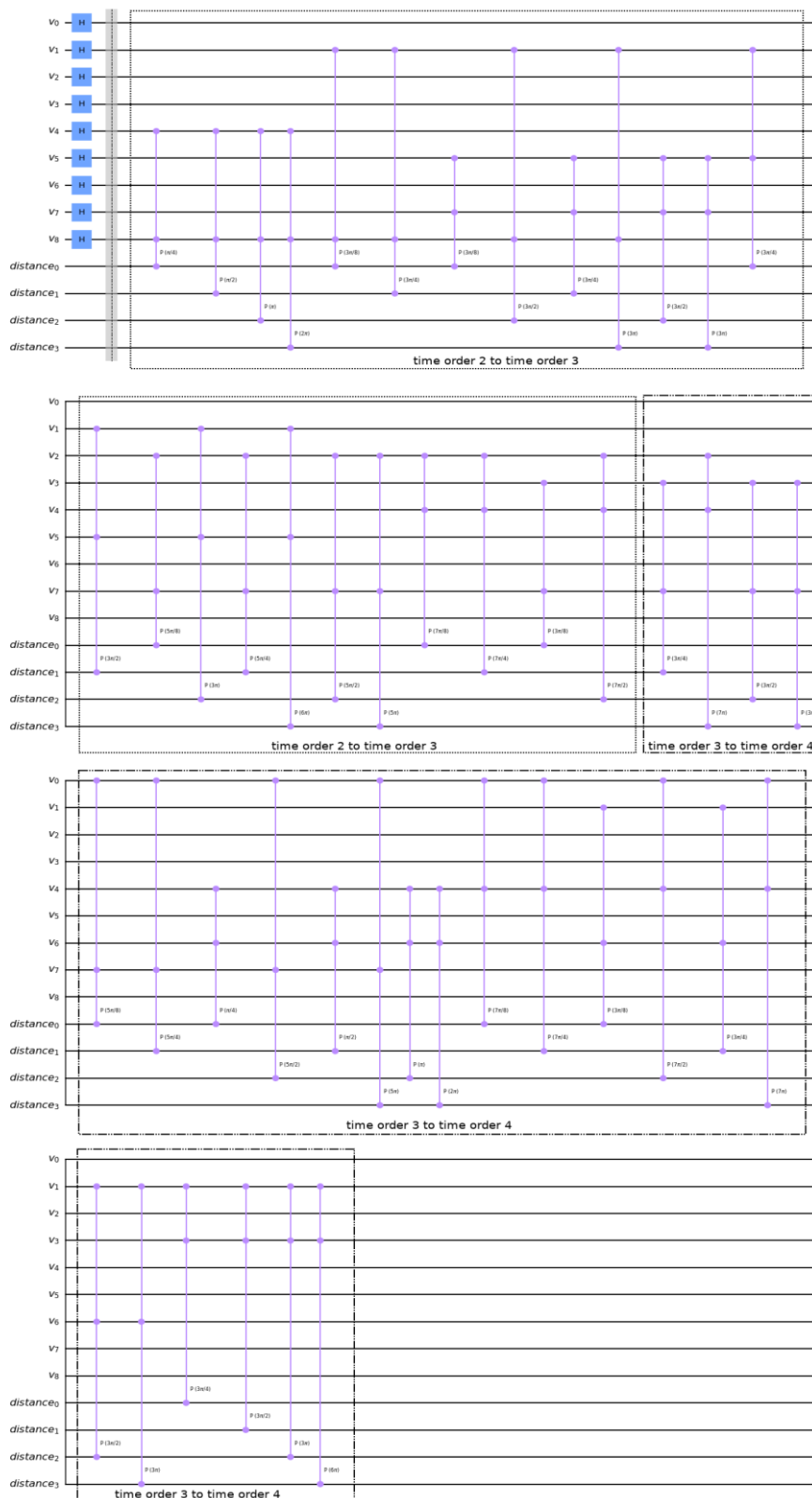
7.1.1. การหาผลรวมระยะทางโดยใช้วงจรบวกที่ใช้ความตัมฟ์เรียร์ранส์ฟอร์ม

แนวคิดการบวกบันทุกความตัมถูกนำเสนอครั้งแรกโดย Draper[9] ซึ่งใช้แนวคิดของการแปลงฟ์เรียร์เชิงความตัม (quantum Fourier transform) ดังสมการต่อไปนี้

$$|j_1, \dots, j_n\rangle \rightarrow \frac{(|0\rangle + e^{2\pi i 0 \cdot j_n} |1\rangle) \dots (|0\rangle + e^{2\pi i 0 \cdot j_1 \dots j_n} |1\rangle)}{2^{n/2}} \quad (35)$$

มาใช้ในการสร้างวงจรบวกความตัม โดยใช้คุณสมบัติที่สำคัญของพื้นฐานการคำนวณฟ์เรียร์ คือผลรวมของการแปลงฟ์เรียร์ของสองสัญญาณเท่ากับการแปลงฟ์เรียร์ของผลรวมของสองสัญญาณนั้น เราจึงสามารถนำการแปลงฟ์เรียร์มาใช้สำหรับสร้างวงจรบวกความตัมได้ โดยประกอบด้วยขั้นตอนดังนี้ ขั้นแรกคือการแปลงข้อมูลที่เป็นพื้นฐานการคำนวณทั่วไป (Computational basis) ให้กลายเป็นการพื้นฐานการคำนวณฟ์เรียร์ (Fourier basis) โดยใช้ direct Fourier transformation ดังภาพที่ 4 เป็นตัวอย่างการแปลงจาก computation basis ไปเป็น Fourier basis สำหรับ 3 คิวบิต ขั้นตอนถัดมาสร้างวงจรบวกเชิงความตัม สำหรับทุกๆ เส้นเชื่อมระหว่าง 2 เมืองที่เป็นไปได้ทั้งหมดโดยใช้ multi-controlled-Phase gate (MCP gate) เนื่องจากงานวิจัยนี้ถือว่าทุกเมืองมีเส้นทางเชื่อมถึงกัน (Fully connected) โดย MCP gate จะทำให้เกิดเฟสบนสถานะของคิวบิตเป้าหมายตามค่ามุนที่กำหนด เมื่อคิวบิตควบคุมมีสถานะเป็น $|1\rangle$ ตัวอย่างเช่น ปัญหา TSP ขนาด 4 เมือง เนื่องจากงานวิจัยนี้ ผู้วิจัยได้กำหนดให้เมืองเริ่มต้นคือเมือง 1 เสมอ ดังนั้นเราจำเป็นต้องหา เมืองที่พนักงานขายเดินทางเป็นลำดับที่ $2 \rightarrow 3$ และ $3 \rightarrow 4$ ตามลำดับ ผลลัพธ์ที่เป็นไปได้ ทั้งหมดสำหรับเมืองที่พนักงานขายเดินทางเป็นลำดับที่ $2 \rightarrow 3 \rightarrow 4$ ได้แก่ เมือง $2 \rightarrow 3 \rightarrow 4$ เมือง $2 \rightarrow 4 \rightarrow 3$ เมือง $3 \rightarrow 2 \rightarrow 4$ เมือง $3 \rightarrow 4 \rightarrow 2$ และเมือง $4 \rightarrow 2 \rightarrow 3$ เช่นเดียวกันกับเมืองที่พนักงานเดินทางเป็นลำดับที่ $3 \rightarrow 4$ จะมีเส้นทางที่เป็นไปได้ทั้งหมด 6 เส้นทางดังกล่าว ข้างต้น โดยไม่ได้สนใจว่าลำดับที่ $2 \rightarrow 3 \rightarrow 4$ พนักงานเดินทางเส้นใดไปแล้ว นอกจากนี้ปัญหา

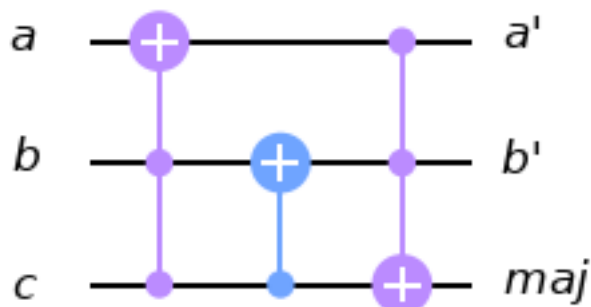
TSP ลูกແປລັງໃຫ້ຍູ້ໃນຮູບແບບຈຳລອງ Ising ທີ່ໃຊ້ຈຳນວນຄົວບິຕທັງໝາດ $(N - 1)^2$ ຄົວບິຕເມື່ອ N ດີວຸນຈຳນວນເມື່ອງ ຊຶ່ງແຕ່ລະຄົວບິຕຄືອຳໄບນາຮີ $X_{i,p}$ ແລະ $X_{j,p+1}$ ມີຄ່າເປັນ 1 ທັ້ງຄູ່ກໍ ຕ່ອນີ່ພັນການຂາຍເດີນທາງຈາກເມື່ອງ i ໄປເມື່ອງ j ເພຣະເມື່ອງ i ລູກແວທີ່ລຳດັບທີ່ p ແລະເມື່ອງ j ລູກແວທີ່ລຳດັບທີ່ $p+1$ ດັ່ງນັ້ນເຮົາຈຶ່ງສາມາຮັດໃຫ້ 2 ຄົວບິຕດັ່ງກ່າວເປັນຄົວບິຕຄວບຄຸມ ໃນກຽນທີ່ມີການເດີນທາງຈາກເມື່ອງ i ໄປເມື່ອງ j ຄົວບິຕຄວບຄຸມທັ້ງສອງຈະມີຄ່າເປັນ 1 ທັ້ງຄູ່ ຊຶ່ງຈະທຳໃຫ້ຄົວບິຕເປົ້າໜາຍລູກປ່ຽບເຟສດ້ວຍຄ່າມຸນທີ່ກຳຫັນດ ໃນທີ່ນີ້ກໍຄືອຳຄ່າຮະຍະທາງຈາກເມື່ອງ i ໄປເມື່ອງ j ($w_{i,j}$) ນັ້ນເອງ ໂດຍຈະເປັນກາຮ່ານຄົວບິຕເຮີ່ມຈາກຄົວບິຕໜ້າຍສຸດດ້ວຍຈຳນວນຮອບ $\frac{w_{i,j}}{2^n} \times 2\pi \text{ radians}$ ແລະຄ່າມຸນຈະເພີ່ມຂຶ້ນເປັນເທົ່າຕົວສໍາຮັບຄົວບິຕລຳດັບຄັດໄປ ເປັນເຊັ່ນນີ້ໄປເຮືອຍໆຈົນຄື່ງຄົວບິຕຂວາສຸດ ອ່າຍ່າງໄຮກ໌ຕາມສໍາຮັບລຳດັບຂອງເມື່ອງລຳດັບທີ່ $2 \rightarrow 3$ ນອກຈາກປ່ຽບເຟສດ້ວຍຮະຍະທາງຈາກເມື່ອງ i ໄປເມື່ອງ j ($w_{i,j}$) ແລ້ວ ຕ້ອງເພີ່ມຮະຍະທາງຈາກເມື່ອງ 1 ໄປເມື່ອງ i ດ້ວຍ ເນື່ອຈາກພັນການຂາຍເຮີ່ມເດີນທາງຈາກເມື່ອງ 1 ເປັນເມື່ອງແຮກ ຄ່າມຸນທີ່ໃຫ້ໃນກາຮ່ານຄົວບິຕສໍາຮັບເກຕ MCP ຈະກລາຍເປັນ $\frac{w_{1,i} + w_{i,j}}{2^n} \times 2\pi \text{ radians}$ ເຊັ່ນເດືອກັນກັບລຳດັບຂອງເມື່ອງລຳດັບທີ່ $N-1 \rightarrow N$ ກໍຕ້ອງເພີ່ມຮະຍະທາງຈາກເມື່ອງ N ໄປເມື່ອງ 1 ($w_{N,1}$) ດ້ວຍເນື່ອຈາກພັນການຂາຍຕ້ອງເດີນທາງກັບນາທີ່ເມື່ອງເຮີ່ມຕົ້ນເສນອ ດັ່ງນັ້ນຈຳນວນເກຕ MCP ທີ່ຕ້ອງໃຊ້ທັງໝາດສໍາຮັບກາຮ່ານພຸລົມຮະຍະທາງໂດຍໃຊ້ວັງຈຽບກໍທີ່ໃຊ້ຄວນຕົ້ມພູຣີເຢີຣ໌ທຣານສົກວົມ ຄືອ $(N - 1)! (N - 2)$ ເກຕ ເມື່ອ N ດີວຸນຈຳນວນເມື່ອງ ຕ້ອຍ່າງວັງຈຽບສໍາຮັບປັບປຸງທາ TSP ພະນາດ 4 ເມື່ອງ ແສດງດັ່ງກາພທີ່ 50 ຈາກນັ້ນຈຶ່ງແປລັງຈາກພື້ນຮູ້ານກາຮ່ານຄຳນວນພູຣີເຢີຣ໌ກັບໄປເປັນພື້ນຮູ້ານກາຮ່ານຄຳນວນທີ່ໄປເປັນເຕີມ ເພື່ອໃຫ້ສາມາຮັດເປົ້າຍບໍ່ເຖິງກັບຮະຍະທາງທີ່ສັນທີ່ສຸດຊື່ງອູ້ໃນຮູບແບບພື້ນຮູ້ານກາຮ່ານຄຳນວນທີ່ໄປໄດ້ ໂດຍໃຊ້ inverse Fourier transform ດັ່ງຕ້ວຍ່າງໃນກາພທີ່ 5 ຊຶ່ງເປັນ inverse Fourier transform ຂອງ 3 ຄົວບິຕ



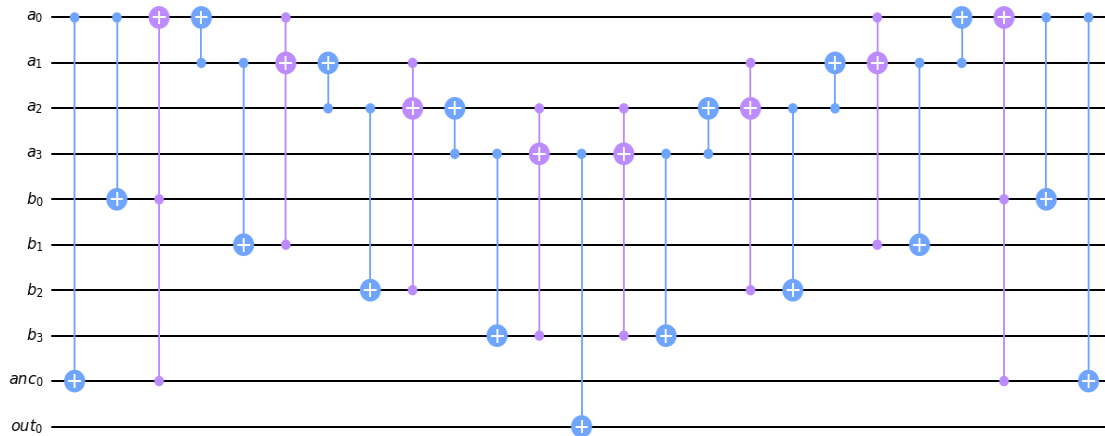
ภาพที่ 50 การหரะยะทางของปัญหา TSP 4 เมือง โดยใช้วงจรบวกที่ใช้แนวคิด
ควนต้มพริเยร์กรานสฟอร์ม

7.1.2. การเปรียบเทียบระยะทางโดยใช้ quantum comparator

เมื่อได้ผลรวมระยะทางของแต่ละรูปแบบคำตอบที่อยู่ในสถานะซ้อนทับ (superposition) เรียบร้อยแล้ว เราสามารถทำการเปรียบเทียบระยะทางของคำตอบดังกล่าวกับระยะทางที่สั้นที่สุด ณ ปัจจุบันที่มีการบันทึกค่าไว้ โดยใช้ quantum comparator ในกระบวนการระบุว่า B น้อยกว่า A หรือไม่ งานวิจัยนี้ใช้งานร่วมกันตั้มในการเปรียบเทียบที่เรียกว่า “Cuccaro adder” ถูกนำเสนอในปี 2004 โดย Cuccaro และทีมงาน[48] ซึ่งเป็น quantum comparator ที่นำมาใช้ในการตรวจสอบว่าระยะทางของรูปแบบคำตอบใด (B) ที่น้อยกว่าระยะทางที่สั้นที่สุด ณ ปัจจุบัน (A) quantum comparator ดังกล่าวเริ่มต้นโดยการกำหนด B ให้เป็น inverse B (B') จากนั้นจึงบวก A และ B' เข้าด้วยกัน ขั้นตอนต่อมาคือตรวจสอบ carry out bit เนื่องจากมีความสามารถใช้รูปแบบคำตอบใด (B) ที่น้อยกว่า A หรือไม่ วงจร MAJ หรือ เกต MAJ แสดงดังภาพที่ 51 คือส่วนสำคัญของวงจรร่วมกันตั้มนี้ โดยเกต MAJ รับอินพุต 3 คิวบิต และให้อ乌ท์พุต 3 คิวบิตเช่นกัน เกต MAJ จะตรวจสอบ majority ของอินพุตทั้งหมด และเปลี่ยนอ乌ท์พุตให้เป็นค่า majority ซึ่งอาจเป็นทั้ง 0 หรือ 1 เราสนใจเพียงแค่บิตสูงสุดของวงจรร่วมโดยไม่ได้สนใจค่าผลรวมดังนั้นเราสามารถสร้าง quantum comparator โดยกระจาย majority ของทั้ง 3 คิวบิตที่เป็นอินพุตไปยัง most significant bit ซึ่งเป็นคิวบิตอ乌ท์พุต และทำการย้อนตัวดำเนินการทั้งหมดเพื่อปรับคิวบิตทั้งหมดกลับไปเป็นค่าเริ่มต้นก่อนทำการวัดคิวบิตอ乌ท์พุต วงจร quantum comparator สำหรับ 4 คิวบิตโดยใช้ Cuccaro adder แสดงดังภาพที่ 52



ภาพที่ 51 เกต majority (MAJ)



ภาพที่ 52 วงจร quantum comparator สำหรับ 4 คิวบิต โดยใช้ Cuccaro adder[48]

ในการตรวจสอบว่าระยะทางของรูปแบบคำตอบได้นั้น (B) น้อยกว่าระยะทางที่สั้นที่สุด ณ ปัจจุบัน (A) หรือไม่ เราจำเป็นต้องเข้ารหัสระยะทางที่สั้นที่สุด ณ ปัจจุบันในรูปแบบเลขฐานสอง และทำการใส่ complement ของระยะทางของรูปแบบคำตอบไดๆ (B) ในพื้นที่การค้นหาของอัลกอริทึมการค้นหาของกราเวอร์ จากนั้นจึงหาผลรวมระหว่าง A และ B' และตรวจสอบคิวบิตเอ้าท์พุต (carry output qubit) ผลลัพธ์คิวบิตเอ้าท์พุตจะมีค่าเป็น “1” ถ้าระยะทางของรูปแบบคำตอบนั้นมีค่าน้อยกว่าระยะทางที่สั้นที่สุด ณ ปัจจุบัน และเป็น “0” ถ้าไม่ใช่

7.2 ภาพรวมของขั้นตอนวิธีใช้พันธุกรรมแบบกระขับชนิดดาวน์ตัมเวอร์ชันปรับปรุง

ขั้นตอนวิธีเชิงพันธุกรรมแบบกระชับชนิดความต้มเวอร์ชันปรับปรุง นั้นมีโครงสร้างการทำงานของอัลกอริทึมคล้ายกันกับของขั้นตอนวิธีเชิงพันธุกรรมแบบกระชับชนิดความต้มที่ได้กล่าวไปในบทที่ 5 ขั้นตอนวิธีเชิงพันธุกรรมแบบกระชับชนิดความต้ม แตกต่างกันตรงที่การคำนวณระยะทางของรูปแบบคำตอบทั้งหมดจากเดิมที่คำนวณที่เครื่องคอมพิวเตอร์คลาสสิก เป็นการคำนวณที่เครื่อง IBM QASM simulation แทน โดยคำนวณในฟังก์ชันໂ/oracle เพื่อให้สามารถใช้ quantum comparator ในการเปรียบเทียบกับระยะทางที่สั้นที่สุด ณ ปัจจุบันได้ โดยเป็นการเปรียบเทียบโดยใช้ประโยชน์จาก quantum parallelism กล่าวคือสามารถเปรียบเทียบ

ระยะทางที่สั้นที่สุดกับสถานะค่อนต้มที่เป็น superposition ซึ่งแทนสถานะคำตอบทุกรูปแบบ ในเวลาเดียวกันได้ ซึ่งจะทำให้ผลลัพธ์ของการค้นหาของไกรเวอร์ได้คำตอบที่ไม่เย่กว่าเดิม โดยไม่จำเป็นต้องทำการเปรียบเทียบกับระยะทางที่สั้นที่สุด ณ ปัจจุบันนocomพิวเตอร์ดังเดิม เนื่องจากขั้นตอนวิธีใช้พันธุกรรมแบบกราฟชั้นนิดค่อนต้มก่อนหน้านี้ และยังคงได้ผลลัพธ์เหมือนเดิมโดยเป็นการคำนวณที่ผ่านคอมพิวเตอร์ค่อนต้มทั้งหมด นอกจากนี้ผู้วิจัยไม่สามารถกำหนดจำนวนรอบของไกรเวอร์ที่แน่นอนเหมือนขั้นตอนวิธีเดิมได้เนื่องจากเราไม่ทราบจำนวนคำตอบที่เป็นผลลัพธ์ของฟังก์ชันอุรากาโนะที่แน่นอน เพราะเราไม่ทราบว่ารูปแบบระยะทางที่ไม่มากกว่าระยะทางที่สั้นที่สุด ณ ปัจจุบันมีกี่รูปแบบ จึงจำเป็นต้องใช้การกำหนดจำนวนรอบของไกรเวอร์ แบบ adaptive คือเริ่มต้นจำนวนรอบของไกรเวอร์ที่ 1 เสมอ แสดงดังภาพที่ 53 ขั้นตอนที่ 2 t คือจำนวนรอบของไกรเวอร์ (Grover iteration) ซึ่งถูกกำหนดค่าเริ่มต้นให้เป็น 1 เสมอ จากนั้นจึงอยู่เพิ่มจำนวนรอบของไกรเวอร์ที่ละ 1 ดังขั้นตอนที่ 7 เมื่อทำการวัดสถานะคิวบิตแล้วได้รูปแบบคำตอบที่ไม่ต่ำกว่ารูปแบบคำตอบที่ดีที่สุด ณ ปัจจุบัน เพราะนั้นแสดงว่าจำนวนรอบของไกรเวอร์อาจยังไม่มากพอสำหรับเพิ่มความน่าจะเป็นของคำตอบที่เหมาะสมให้มีค่ามากที่สุด ซึ่งจำนวนรอบของไกรเวอร์ที่เพิ่มขึ้นมาจะถูกนำไปใช้สำหรับการสร้าง Second candidate ในรอบถัดไป ในทางกลับกัน ถ้าคำตอบที่วัดได้ต่ำกว่าหรือเท่ากับรูปแบบคำตอบที่ดีที่สุด ณ ปัจจุบัน ก็จะไม่เพิ่มจำนวนรอบของไกรเวอร์ อย่างไรก็ตามส่วนการคำนวณค่าความเหมาะสมสมควรระหว่าง first individual และ second individual เพื่อหาผู้ชนะ รวมถึงการอัพเดตค่าความน่าจะเป็นในแต่ละ element ของวงเวกเตอร์ความน่าจะเป็นยังเป็นการคำนวณด้วยคอมพิวเตอร์ดังเดิม ภาพที่ 54 แสดงขั้นตอนการทำงานของขั้นตอนวิธีใช้พันธุกรรมแบบกราฟชั้นนิดค่อนต้ม (เวอร์ชันปรับปรุงฟังก์ชันอุรากาโนะ) โดยกรอบเส้นประคือประมวลผลบนเครื่อง IBM QASM simulator และกรอบเส้นทึบคือประมวลผลบนเครื่องคอมพิวเตอร์ดังเดิม

Algorithm 3: new Grover-assisted cGA*

```

1) initialize the probability vector:
for  $i \leftarrow 1$  to  $l$  do
|  $p[i] \leftarrow 0.5;$ 
end

2) initialize the current best individual and Grover
iteration:
 $curBestIdv \leftarrow 000..00$ ,  $t \leftarrow 1$ ;
3) initialize quantum and classical register, circuit:
 $circuit \leftarrow QuantumCircuit(qr, cr)$ ;
4) generate the first individual using qubit rotation
based on the probability:
 $a \leftarrow generateFirstIdv(p)$ ;
5) generate the second individual using the Grover's
algorithm with the specific oracle:
 $c \leftarrow convertBinary(curBestIdv.fitness + 1)$ ;
 $circuit \leftarrow initialize(p)$ ;
for  $i \leftarrow 1$  to  $t$  do
|  $circuit \leftarrow feasibleSolution(circuit)$ ;
|  $circuit \leftarrow qAdder(circuit)$ ;
|  $circuit \leftarrow qComparator(c, circuit)$ ;
|  $circuit \leftarrow inverseQComparator(c, circuit)$ ;
|  $circuit \leftarrow inverseQAdder(circuit)$ ;
|  $circuit \leftarrow inverseFeasibleSol(circuit)$ ;
|  $circuit \leftarrow diffuser(circuit)$ ;
end

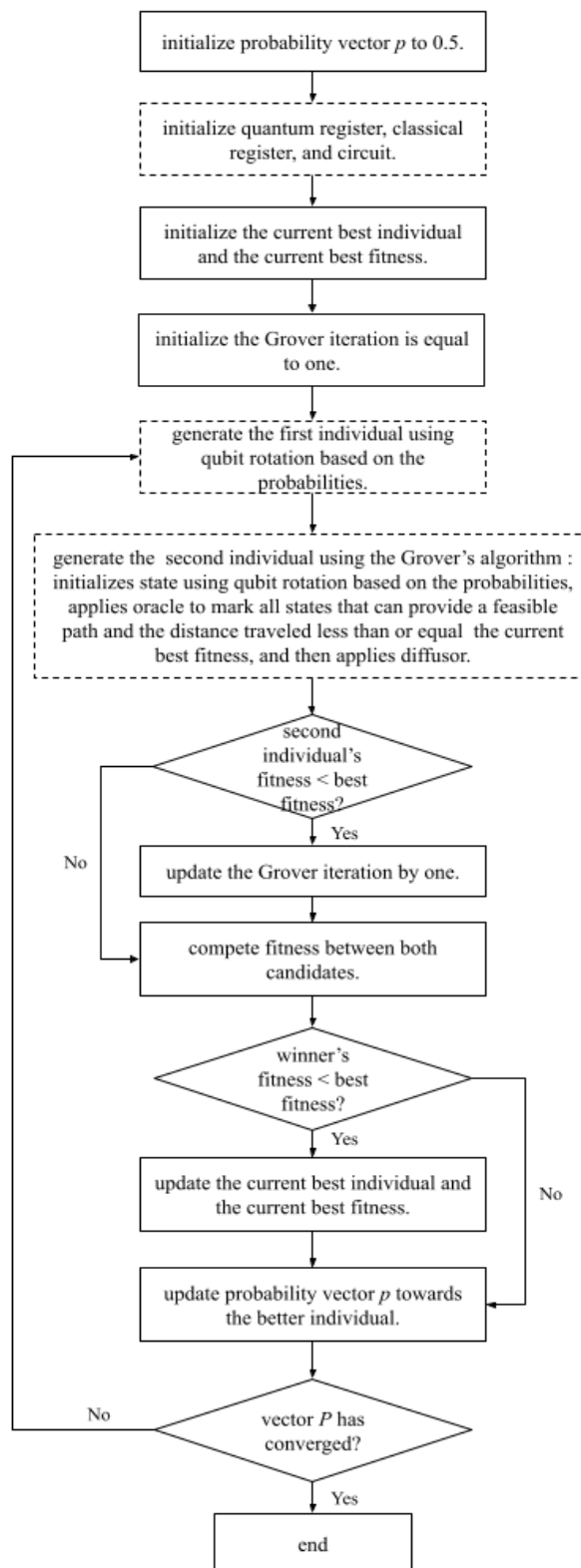
6) let them compete:
 $winner, loser \leftarrow compete(a, b)$ ;
7) check if the Grover iteration is highest:
if  $curBestIdv.fitness > b.fitness$  then
|  $t \leftarrow t + 1$ ;
end

8) update probability vector towards winner:
for  $i \leftarrow 1$  to  $l$  do
| if  $winner[i] \neq loser[i]$  then
| | if  $winner[i] \neq 1$  then
| | |  $p[i] \leftarrow p[i] + 1/n$ ;
| | | else
| | | |  $p[i] \leftarrow p[i] - 1/n$ ;
| | | end
| | end
| end

9) update the current best individual:
if  $curBestIdv.fitness < winner.fitness$  then
|  $curBestIdv \leftarrow winner$ ;
end

10) check if the vector has converged:
for  $i \leftarrow 1$  to  $l$  do
| if  $p[i] > 0$  and  $p[i] < 1$  then
| |  $return$  to step 3;
| | end
| end

```



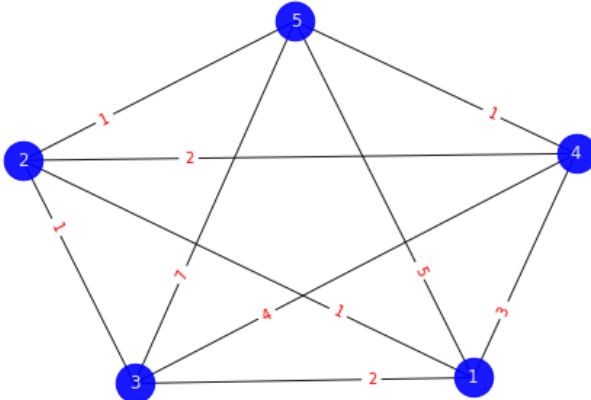
ภาพที่ 54 แผนผังแสดงขั้นตอนการทำงานของขั้นตอนวิธีเชิงพันธุกรรมแบบกระซึ่งนิยมความต้ม (เวอร์ชันปรับปรุงพัฒนาโดยราเคลล) กรอบเล่นประจำอยู่บนเครื่อง IBM QASM simulator

บทที่ 8

ผลการทดสอบขั้นตอนวิธีเชิงพันธุกรรมแบบกราฟชับชนิดความต้มเวอร์ชันปรับปรุง

8.1 การจัดเตรียมสภาพแวดล้อมสำหรับการทดลองเปรียบเทียบประสิทธิภาพระหว่างขั้นตอนวิธีเชิงพันธุกรรมแบบกราฟชับชนิดดึงเดิมกับชนิดความต้ม (เวอร์ชันปรับปรุง)

ผู้วิจัยได้กำหนดขนาดของประชากร (Population size) สูงสุดสำหรับปัญหา TSP 3 เมือง คือ 50 ขนาดของประชากรสูงสุดสำหรับปัญหา TSP 4 เมือง คือ 100 และขนาดของประชากรสูงสุดสำหรับปัญหา TSP 5 เมือง คือ 300 โดยเริ่มต้นที่ขนาดประชากรเท่ากับ 4 และค่อยๆเพิ่มขนาดประชากรทีละ 2 จนถึงขนาดประชากรสูงสุด เนื่องด้วยผลลัพธ์การทำงานของวงจรความต้มคือค่าความน่าจะเป็น ทำให้การวัดแต่ละครั้งอาจได้ผลลัพธ์แตกต่างกัน จึงจำเป็นต้องมีการกำหนดจำนวนชือต ซึ่งก็คือจำนวนครั้งที่วงจรความต้มจะถูกทำงานซ้ำ เพื่อให้ได้การกระจายตัวของคำตอบที่มีความแม่นยำมากยิ่งขึ้น ดังนั้นผู้วิจัยจึงได้กำหนดจำนวนชือตสำหรับขั้นตอนวิธีเชิงพันธุกรรมแบบกราฟชับชนิดความต้มเวอร์ชันปรับปรุง สำหรับแก้ปัญหา TSP ขนาด 3 เมือง คือ 1 ชือต จำนวนชือตสำหรับขั้นตอนวิธีเชิงพันธุกรรมแบบกราฟชับชนิดความต้มเวอร์ชันปรับปรุง สำหรับแก้ปัญหา TSP ขนาด 4 เมือง คือ 1 ชือต 10 ชือต และ 20 ชือต และจำนวนชือตสำหรับขั้นตอนวิธีเชิงพันธุกรรมแบบกราฟชับชนิดความต้มเวอร์ชันปรับปรุง สำหรับแก้ปัญหา TSP ขนาด 5 เมือง คือ 1,024 ชือต 2,000 ชือต 3,000 ชือต และ 4,000 ชือต จำนวนชือตที่ผู้วิจัยใช้ในการทดลองมาจากการทดลองเริ่มจากใช้จำนวนชือตน้อยๆ และค่อยๆเพิ่มจนได้การกระจายตัวของคำตอบที่มีความแม่นยำที่เหมาะสมสำหรับแต่ละขนาดของปัญหา TSP ซึ่งผู้วิจัยค้นพบว่าสำหรับปัญหา TSP ขนาด 3 เมือง จำนวนชือตเพียง 1 ชือตก็เพียงพอสำหรับการกระจายตัวของคำตอบที่มีความแม่นยำ แต่สำหรับปัญหา TSP ขนาด 4 เมือง และ 5 เมือง การเพิ่มจำนวนชือตมีผลต่อการการกระจายตัวของคำตอบให้มีความแม่นยำ คำตอบมีความน่าเชื่อถือ โดยเฉพาะอย่างยิ่ง ปัญหา TSP ขนาด 5 เมือง ซึ่งมีรูปแบบคำตอบที่เป็นไปได้ในพื้นที่การค้นหาทั้งหมด 2^{16} รูปแบบ เนื่องจากใช้จำนวนคิวบิตทั้งหมด 16 คิวบิตในการแทนรูปแบบคำตอบ ทำให้ผู้วิจัยจำเป็นต้องเริ่มต้นใช้จำนวนชือตตั้งแต่ 1,024 ชือต เป็นต้นไป เพื่อให้การกระจายตัวของคำตอบมีความน่าเชื่อถือเพียงพอที่จะนำคำตอบนั้นมาใช้ ตัวอย่างปัญหา TSP ขนาด 3 เมือง และ 4 เมือง ที่นำมาใช้ในการทดลองเป็นไปดังภาพที่ 43 และ 44 ตามลำดับ สำหรับตัวอย่างปัญหา TSP ขนาด 5 เมือง แสดงดังภาพที่ 55



ภาพที่ 55 ปัญหา TSP ขนาด 5 เมือง ที่ใช้เป็นต้นแบบในการทดลองสำหรับงานวิจัยนี้

สำหรับงานวิจัยนี้ผู้วิจัยขอเรียกวิธีเชิงพันธุกรรมแบบกราฟซึ่งนิดความต้มเถื่อนชั้นปรับปรุงนี้ว่า “new Grover-assisted cGA*” เนื่องจากฟังก์ชันโอราเคิลของวิธี new Grover-assisted cGA* ไม่สามารถระบุจำนวนคำตอบที่เป็นผลลัพธ์ของฟังก์ชันโอราเคิลได้อย่างแน่นอน เพราะเราไม่สามารถรู้ได้ว่ามีจำนวนคำตอบกี่จำนวนที่น้อยกว่าคำตอบที่ดีที่สุด ณ ปัจจุบันในพื้นที่การค้นหาของโกรเวอร์ ตั้งนั้นผู้วิจัยจึงได้กำหนดวิธีการปรับจำนวนรอบของโกรเวอร์ เป็นแบบ adaptive โดยกำหนดจำนวนรอบของโกรเวอร์ เริ่มต้นที่ 1 เสมอ และจำนวนรอบของโกรเวอร์ จะถูกปรับเพิ่มทีละ 1 เมื่อทำการวัดคำตอบออกมาแล้วคำตอบแยกก่าว่าคำตอบที่ดีที่สุด ณ ปัจจุบัน ซึ่งจำนวนรอบของโกรเวอร์ที่เพิ่มขึ้นจะถูกนำมาใช้ในการกำหนดจำนวนรอบของโกรเวอร์สำหรับการสร้าง second candidate ในรอบถัดไป ในทางกลับกันถ้าคำตอบที่วัดได้ดีกว่าหรือเท่ากับรูปแบบคำตอบที่ดีที่สุด ณ ปัจจุบัน ก็จะไม่เพิ่มจำนวนรอบของโกรเวอร์ ทำให้การสร้าง second candidate ในรอบถัดไป จะใช้จำนวนรอบของโกรเวอร์เท่าเดิม

ผู้วิจัยได้ทำการรันขั้นตอนวิธีเชิงพันธุกรรมแบบกราฟซึ่งนิดดั้งเดิม (cGA*) และขั้นตอนวิธีเชิงพันธุกรรมแบบกราฟซึ่งนิดความต้มเถื่อนชั้นปรับปรุง (new Grover-assisted cGA*) ทั้งหมด 25 ครั้ง เพื่อหาค่าเฉลี่ยและนำมารีส็อตในกราฟ และใช้การคัดเลือกโครโนซึมแบบการแข่งขัน (tournament selection) โดยกำหนด tournament selection เท่ากับ 2 ขั้นตอนวิธีเชิงพันธุกรรม ทั้ง 2 แบบจะรันจนกว่าค่าความน่าจะเป็นในแต่ละมิติของเวกเตอร์ความน่าจะเป็นลู่เข้าค่า 0 หรือ 1

8.2 ผลการทดลองเปรียบเทียบประสิทธิภาพระหว่างขั้นตอนวิธีเชิงพันธุกรรมแบบกระชับ

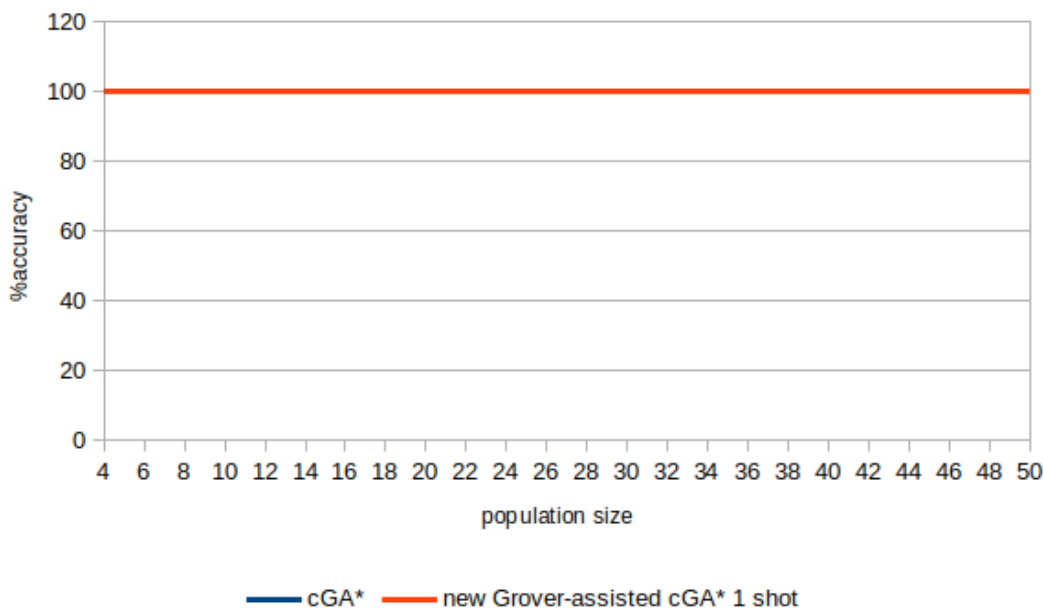
ชนิดตั้งเดิมกับชนิดคุณต้มเวอร์ชันปรับปรุง

การเปรียบเทียบประสิทธิภาพในการประมาณผลระหว่าง classical cGA* และ new Grover-assisted cGA แบ่งเป็น 2 ด้าน ได้แก่ ความถูกต้องของคำตอบ และจำนวนครั้งในการประเมินค่าความเหมาะสม (function evaluation) โดยวิธีการคำนวณจำนวน function evaluation ต่อหนึ่งรอบ generation สำหรับขั้นตอนวิธีเชิงพันธุกรรมแบบกระชับชนิดคุณต้มเวอร์ชันปรับปรุง (new Grover-assisted cGA*) เป็นตั้งสมการที่ (34)

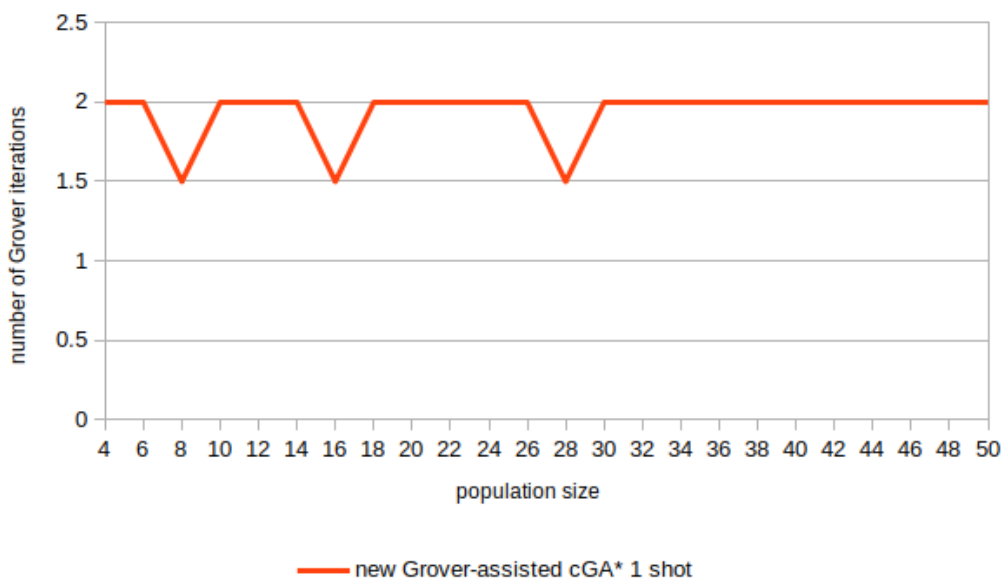
8.2.1. การวิเคราะห์ผลการทดลอง

ผลการทดลองแก้ปัญหา TSP ขนาด 3 เมืองด้วยขั้นตอนวิธีเชิงพันธุกรรมแบบกระชับชนิดคุณต้มเวอร์ชันปรับปรุง (new Grover-assisted cGA*) เปรียบเทียบกับขั้นตอนวิธีเชิงพันธุกรรมแบบกระชับชนิดตั้งเดิม (cGA*) ในด้านความถูกต้องของคำตอบ หน่วยเป็นเบอร์เซ็นต์ เป็นดังภาพที่ 56 จากภาพในภาพที่ 56 แสดงให้เห็นว่าทั้งสองอัลกอริทึมมีประสิทธิภาพเท่ากันในเรื่องความถูกต้องของคำตอบ โดยสามารถหาคำตอบที่เหมาะสมที่สุดได้ตั้งแต่ขนาดประชากรเท่ากับ 4 เนื่องด้วย new Grover-assisted cGA* ใช้วิธีการกำหนดจำนวนรอบของกราวอร์แบบ adaptive โดยเริ่มต้น generation ที่จำนวนรอบของกราวอร์เท่ากับ 1 ผู้วิจัยจึงทำการเพล้อตค่าเฉลี่ยจำนวนรอบของกราวอร์ที่ใช้ในแต่ละขนาดของประชากร (population size) ซึ่งเป็นค่าเฉลี่ยจากการรันทั้งหมด 25 ครั้งดังที่กล่าวไปข้างต้น รายละเอียดดังภาพที่ 57 จะเห็นได้ว่าช่วงขนาดประชากรที่ 4 ถึง 30 จำนวนรอบของกราวอร์ที่ใช้จะอยู่ระหว่าง 1 ถึง 2 รอบ และตั้งแต่ขนาดประชากรมากกว่า 30 เป็นต้นไป จำนวนรอบของกราวอร์ที่ใช้จะคงที่อยู่ที่ 2 รอบ เมื่อพิจารณาจำนวนครั้งในการประเมินค่าความเหมาะสมจากภาพที่ 58 new Grover-assisted cGA* ใช้จำนวนครั้งในการประเมินค่าความเหมาะสมของคำตอบน้อยกว่า cGA* ประมาณ 12% เทียบกับ cGA* เนื่องจากปัญหา TSP ขนาด 3 เมือง ใช้จำนวนคิวบิตเพียง 4 คิวบิต แทนค่าสถานะของคิวบิตทั้งหมดที่เป็นไปได้ 16 สถานะคุณต้ม ประกอบกับฟังก์ชันโอราเคิลสามารถเปรียบเทียบสถานะคุณต้มทั้ง 16 สถานะพร้อมกัน และเลือกเฉพาะสถานะคุณต้มที่ให้คำตอบที่ระยะทางไม่ยาวกว่าระยะทางที่สั้นที่สุด ณ ปัจจุบัน ซึ่งใช้จำนวนรอบของกราวอร์ โดยเฉลี่ย

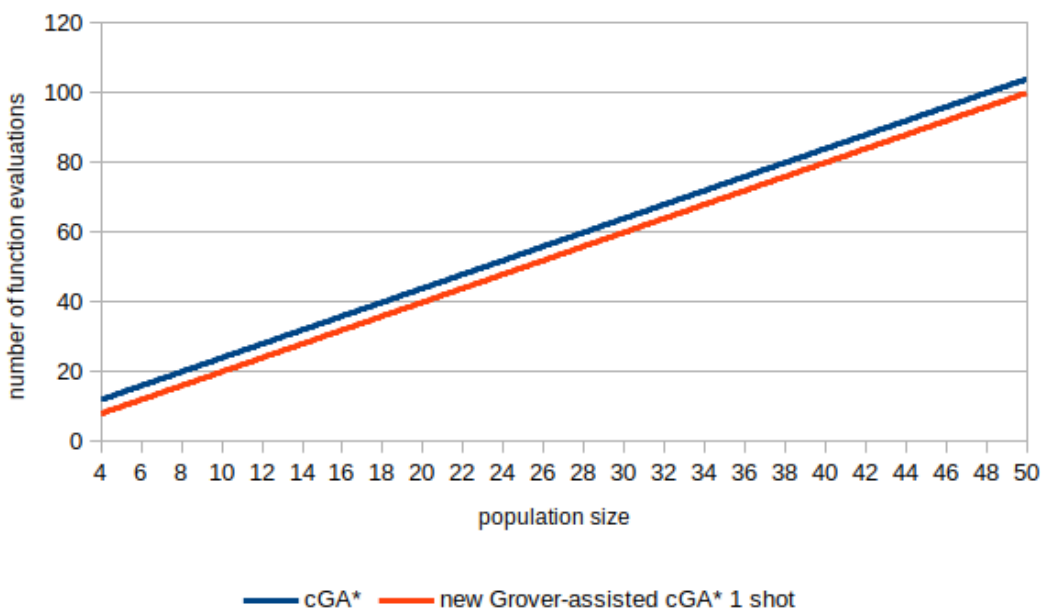
ประมาณ 2 รอบ และใช้จำนวนช็อตเพียง 1 ช็อต ดังภาพที่ 57 กีเพียงพอที่จะทำให้การกระจายตัวของคำตอบมีความแม่นยำ และสามารถค้นหาคำตอบที่เหมาะสมที่สุดได้ จำนวนครั้งในการประเมินค่าความเหมาะสมของ new Grover-assisted cGA* ที่เพิ่มขึ้นตามจำนวนช็อต และจำนวนรอบของกราวอร์ที่ใช้ในแต่ละช็อตจึงมีค่าน้อยกว่าจำนวนครั้งในการประเมินค่าความเหมาะสมของ cGA* ดังนั้นสำหรับปัญหา TSP ขนาด 3 เมือง new Grover-assisted cGA* ที่ใช้ขนาดประชากรเท่ากับ 4 กีเพียงพอในการหาคำตอบ ซึ่งวิธีการดังกล่าวยังใช้จำนวนครั้งในการประเมินค่าความเหมาะสมน้อยกว่า cGA* ด้วย



ภาพที่ 56 กราฟแสดงผลการประยุบเพิ่มความถูกต้องของคำตอบ (จำนวนบิตรที่ถูกต้องเป็นเบอร์เซ็นต์เมื่อสิ้นสุดการทำงาน) ระหว่าง cGA* และ new Grover-assisted cGA* สำหรับปัญหา TSP ขนาด 3 เมือง



ภาพที่ 57 กราฟแสดงผลจำนวนรอบของกรีเวอร์ที่ใช้ของ new Grover-assisted cGA*
จำนวน 1 ซ็อต จนกระทั่งสิ้นสุดการทำงานในแต่ละขนาดของประชากร
สำหรับปัญหา TSP ขนาด 3 เมือง



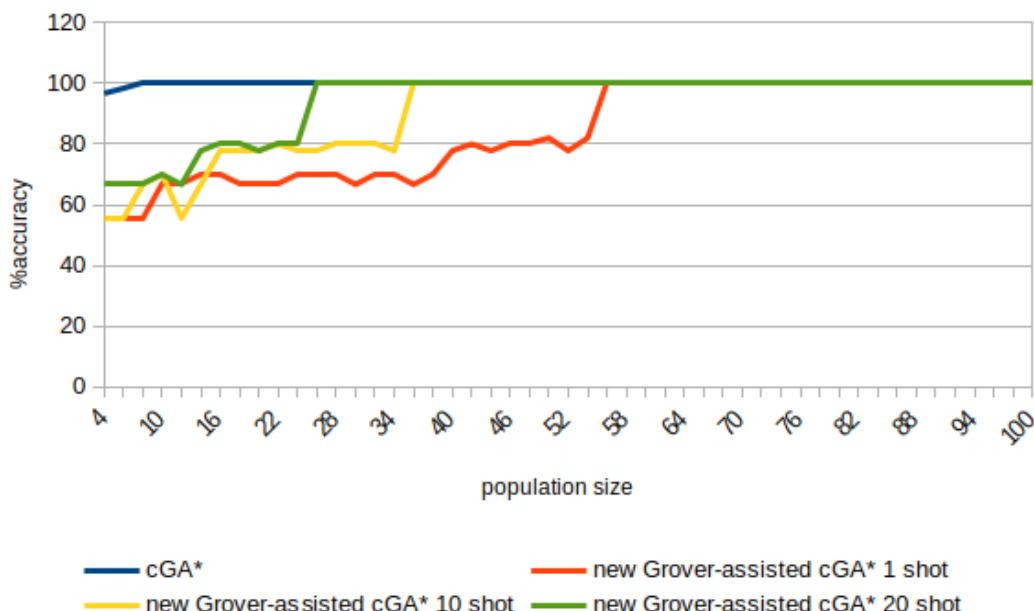
ภาพที่ 58 กราฟแสดงผลการเปรียบเทียบจำนวนครั้งในการประเมินค่าความเหมาะสมตามจำนวนกระทั่งสิ้นสุดการทำงาน ระหว่าง cGA* และ new Grover-assisted cGA*
สำหรับปัญหา TSP ขนาด 3 เมือง

สำหรับปัญหา TSP ขนาด 4 เมือง จากภาพที่ 59 cGA* สามารถคำตอบที่เหมาะสมที่สุดโดยใช้ขนาดของประชากรเพียง 8 ในขณะที่ new Grover-assisted cGA* ที่ใช้จำนวนช็อต 1 ช็อต จะเจอคำตอบที่เหมาะสมที่สุดที่ขนาดของประชากรประมาณ 56 และใช้จำนวนรอบของกราวอร์โดยเฉลี่ยคือ 7.2 รอบ ดังภาพที่ 60 เมื่อเพิ่มจำนวนช็อตเป็น 10 ช็อต new Grover-assisted cGA* จะเจอคำตอบที่เหมาะสมที่สุดที่ขนาดของประชากรประมาณ 56 และโดยใช้จำนวนรอบของกราวอร์โดยเฉลี่ยคือ 4.5 รอบ สุดท้ายเมื่อเพิ่มจำนวนช็อตเป็น 20 ช็อต new Grover-assisted cGA* จะเจอคำตอบที่เหมาะสมที่สุดที่ขนาดของประชากร 36 โดยใช้จำนวนรอบของกราวอร์โดยเฉลี่ยคือ 5 รอบ จะเห็นได้ว่า new Grover-assisted cGA* ใช้ขนาดประชากรที่มากกว่า cGA* สาเหตุหนึ่งมาจากการเข้ารหัสปัญหา TSP ของห้องส่องขั้นตอนวิธีแตกต่างกัน โดย cGA* ใช้จำนวนบิตทั้งหมดในการแทนรูปแบบคำตอบคือ 6 บิต ในขณะที่ new Grover-assisted cGA* ใช้จำนวนคิวบิตทั้งหมด 9 คิวบิตในการแทนรูปแบบคำตอบ ดังนั้นพื้นที่การค้นหาคำตอบของ cGA* จึงน้อยกว่า new Grover-assisted cGA* ทำให้ใช้ขนาดประชากรที่น้อยกว่าในการหาคำตอบที่เหมาะสมที่สุด นอกจากนี้เมื่อพิจารณากราฟที่ 58 ดูเหมือนว่าการเพิ่มจำนวนช็อตให้กับ new Grover-assisted cGA* ทำให้เจอคำตอบได้เร็วขึ้นในขนาดประชากรที่น้อยลง แต่การเพิ่มจำนวนช็อตไม่ได้มีผลต่อการเพิ่มประสิทธิภาพของอัลกอริทึมโดยตรง แต่ช่วยทำให้การกระจายตัวของคำตอบมีความแม่นยำมากขึ้น และช่วยลดความผิดพลาดจากการอ่านคำตอบจากสถานะซ้อนทับของสถานะความตั้ม new Grover-assisted cGA* ที่ใช้จำนวนช็อต 1 ช็อต มีความเป็นไปได้สูงที่จะเกิดความผิดพลาดจากการอ่านคำตอบจากสถานะซ้อนทับของสถานะความตั้มเนื่องจากทำการรันอัลกอริทึมเพียง 1 ครั้งและอ่านคำตอบทันที

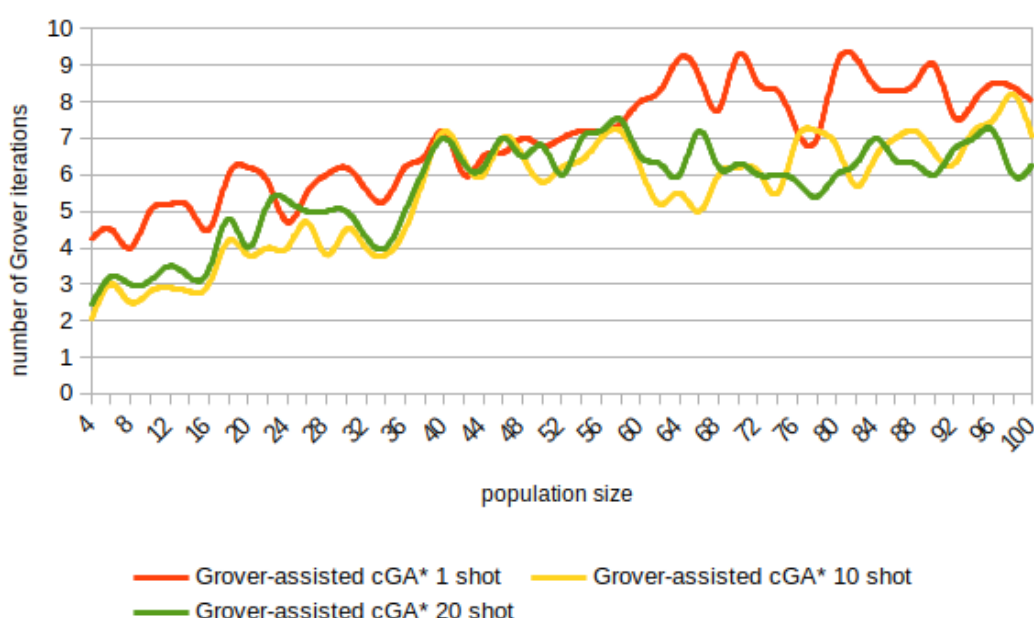
เมื่อพิจารณาจำนวนรอบของกราวอร์ที่ใช้จากการใช้จำนวนช็อตน้อยๆเพียง 1 ช็อต ทำให้จำนวนรอบของกราวอร์ที่ใช้มากกว่าการใช้จำนวนช็อต 10 ช็อต และ 20 ช็อต เนื่องจากการเพิ่มจำนวนช็อตมีผลต่อการเพิ่มความน่าเชื่อถือของคำตอบในกรณีที่รูปแบบคำตอบในพื้นที่การค้นหาค่อนข้างมาก เช่นกรณี 4 เมือง รูปแบบคำตอบทั้งหมดคือ 2^4 รูปแบบ ซึ่งเพิ่มจาก 3 เมืองค่อนข้างมาก ดังนั้นการวัดค่าคำตอบในแต่ละรอบสำหรับกรณีที่ใช้จำนวนช็อตเพียง 1 ช็อต อาจเจอคำตอบที่ไม่ถูกต้องในบางครั้ง ทำให้

จำนวนรอบของกราเวอร์ที่ต้องใช้ใน generation ถัดไปเพิ่มสูงขึ้น จึงทำให้ค่าเฉลี่ยของจำนวนรอบของกราเวอร์ที่ใช้กรณี 1 ช็อต มากกว่า 10 ช็อต และ 20 ช็อต เกือบทั่ว ส่วนจำนวนรอบของกราเวอร์ที่ใช้สำหรับกรณี 10 ช็อต และ 20 ช็อตค่อนข้างใกล้เคียงกัน นั่นเป็นเพราะจำนวนช็อต 10 ช็อตก็เพียงพอสำหรับการกระจายตัวของคำตอบที่มีความแม่นยำ การเพิ่มจำนวนช็อตที่เกินกว่า 10 ช็อต จึงให้ผลลัพธ์ที่ไม่แตกต่างกันอย่างมีนัยสำคัญ นี้เป็นการสะท้อนให้เห็นว่าถึงแม้จะใช้จำนวนช็อตเพียง 1 ช็อต แต่ถ้าจำนวนรอบของกราเวอร์ มีค่ามากพอที่จะช่วยเพิ่มความน่าจะเป็นที่วัดสถานะของคิวบิตแล้วได้คำตอบที่สนใจมากยิ่งขึ้น ก็สามารถหาคำตอบที่เหมาะสมที่สุดได้ เช่นกัน ดังนั้นการเพิ่มจำนวนรอบของกราเวอร์จึงมีผลต่อการเพิ่มประสิทธิภาพในการหาคำตอบของอัลกอริทึมที่นำเสนอให้ดีขึ้น

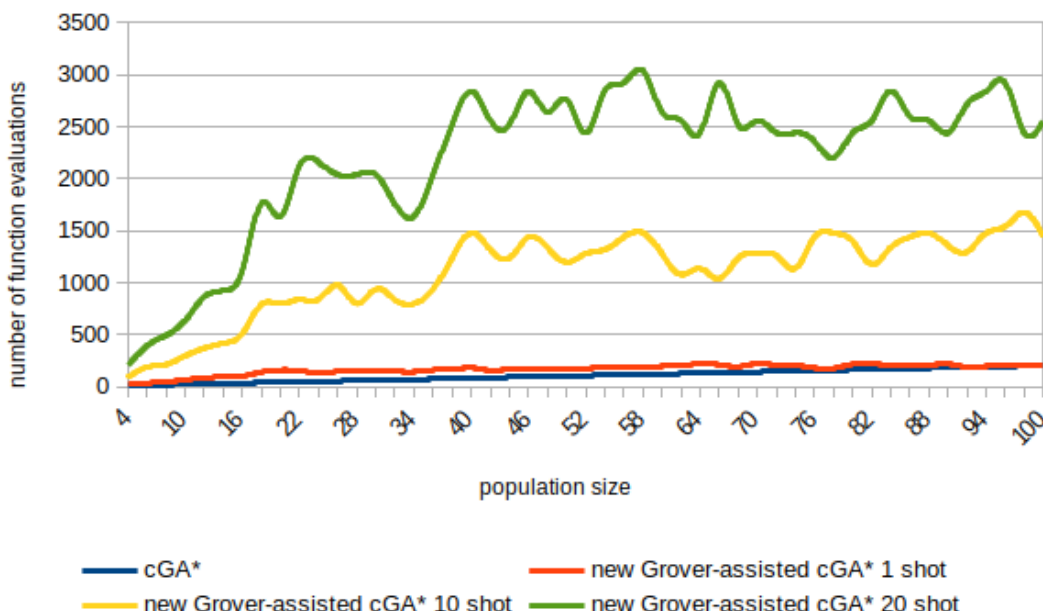
เมื่อพิจารณาจำนวนครั้งในการประเมินค่าความเหมาะสมสมของห้องสองขั้นตอนวิธี จากภาพที่ 61 สำหรับ new Grover-assisted cGA* ที่ใช้จำนวนช็อต 1 ช็อต จะมีจำนวนครั้งในการประเมินค่าความเหมาะสมสมที่ค่อนข้างใกล้เคียงกับ cGA* ถึงแม้ว่าจะเจอคำตอบที่เหมาะสมที่ขนาดประชากรสูงกว่า นั่นคือ new Grover-assisted cGA* ต้องการความละเอียดในการค้นหาที่มากกว่า cGA* แต่จำนวนครั้งที่ใช้ในการประเมินค่าความเหมาะสม ค่อนข้างใกล้เคียงกัน ส่วน new Grover-assisted cGA* 10 ช็อต และ 20 ช็อตนั้นใช้จำนวนครั้งในการประเมินค่าความเหมาะสมสมมากกว่า 1 ช็อตค่อนข้างมาก เนื่องจากจำนวนครั้งในการประเมินค่าความเหมาะสมสมของ new Grover-assisted cGA* เพิ่มขึ้นตามจำนวนช็อต และจำนวนรอบของกราเวอร์ที่ใช้ ซึ่งเป็นไปตามสมการ (34) ดังนั้นวิธี new Grover-assisted cGA* ที่ใช้จำนวนช็อต 1 ช็อต จึงเป็นวิธีที่เหมาะสมที่สุดเมื่อเทียบกับขั้นตอนวิธีเชิงพื้นฐานแบบกราฟชั้บชั้นnidค่อนต้มด้วยกันเนื่องจากสามารถหาคำตอบที่เหมาะสมที่สุดได้โดยใช้ขนาดประชากรที่ไม่มาก และใช้จำนวนครั้งในการประเมินค่าความเหมาะสมน้อยที่สุด



ภาพที่ 59 กราฟแสดงผลการเปรียบเทียบความถูกต้องของคำตอบ (จำนวนบิตที่ถูกต้องเป็นเบอร์เข็งต์เมื่อถูกสุ่มการทำงาน) ระหว่าง cGA* และ new Grover-assisted cGA* สำหรับปัญหา TSP ขนาด 4 เมือง



ภาพที่ 60 กราฟแสดงผลการเปรียบเทียบจำนวนรอบของกรีเวอร์ที่ใช้ของ new Grover-assisted cGA* จำนวน 1 ช็อต 10 ช็อต และ 20 ช็อต จนกระทั่งสิ้นสุดการทำงานในแต่ละขนาดของประชากร สำหรับปัญหา TSP ขนาด 4 เมือง



ภาพที่ 61 กราฟแสดงผลการเปรียบเทียบจำนวนครั้งในการประเมินค่าความเหมาะสมสมจุนกรหั้งสิ้นสุดการทำงาน ระหว่าง cGA* และ new Grover-assisted cGA* สำหรับปัญหา TSP ขนาด 4 เมือง

เมื่อพิจารณาผลการทดลองสำหรับปัญหา TSP ขนาด 5 เมือง ดังภาพที่ 62 cGA* ไม่สามารถหาคำตอบที่เหมาะสมที่สุดได้ ซึ่งเปอร์เซ็นต์ความถูกต้องของบิตรคำตอบอยู่ที่ 58-62 เปอร์เซ็นต์โดยประมาณ แม้ว่าจะเพิ่มขนาดประชากรสูงสุดเป็น 300 ในขณะที่ new Grover-assisted cGA* ที่ใช้จำนวนช็อต 3,000 ช็อต และ 4,000 ช็อต เจอคำตอบที่เหมาะสมที่สุดที่ขนาดของประชากร 118 และ 40 ตามลำดับ โดย new Grover-assisted cGA* 3,000 ช็อต ใช้จำนวนรอบของกราวอร์โดยเฉลี่ยคือ 4.2 รอบ และ new Grover-assisted cGA* 4,000 ช็อต ใช้จำนวนรอบของกราวอร์โดยเฉลี่ยคือ 3 รอบ จะเห็นได้ว่าการเพิ่มจำนวนช็อตมากขึ้นอีก 1,000 ช็อต ทำให้การกระจายตัวของคำตอบมีความแม่นยำมากยิ่งขึ้น และช่วยลดข้อผิดพลาดในการอ่านคำตอบจากสภาวะซ้อนทับของสถานะควบคุมตัว ทำให้สามารถหาคำตอบโดยใช้ขนาดของประชากรเพียงแค่ 40 อย่างไรก็ตามเมื่อพิจารณาจำนวนรอบของกราวอร์สำหรับ new Grover-assisted cGA* 3,000 ช็อต และ 4,000 ช็อต ดังภาพที่ 63 จะเห็นว่าจำนวนรอบของกราวอร์ไม่ต่างกันมาก เนื่องจากจำนวนช็อตที่ใช้ค่อนข้างมากหั้งคู่ และเนื่องด้วยพื้นที่ในการค้นหากลุ่มของฟังก์ชันโอราเดิลเป็นพื้นที่

ขนาดใหญ่เพราจะมีรูปแบบคำตอบทั้งหมด 2^{16} รูปแบบ (เข้ารหัสปัญหาด้วยจำนวนคิวบิต 16 คิวบิต) ซึ่งจำนวนคิวบิตที่มากขึ้นส่งผลกับเปอร์เซ็นต์ความผิดพลาดในการอ่านค่าคิวบิตที่มากขึ้นด้วย ผู้วิจัยจึงทำการทดลองเพื่อหาจำนวนช็อตที่เหมาะสมที่ควรนำมาใช้เพื่อลดผลกระทบจากข้อผิดพลาดดังกล่าว และเพิ่มความแม่นยำในการกระจายตัวของคำตอบจำนวนช็อตเริ่มต้นที่ใช้จึงเป็น 1,024 ช็อต ผู้วิจัยพบว่า new Grover-assisted cGA* 1,024 ช็อต และ 2,000 ช็อต ยังไม่สามารถหาคำตอบที่เหมาะสมที่สุดได้ แม้ว่าจะใช้จำนวนรอบของกราวอร์โดยเฉลี่ยมากถึง 7-8 ครั้ง ดังภาพที่ 63 ในขณะที่ new Grover-assisted cGA* 3,000 ช็อต และ 4,000 ช็อต สามารถหาคำตอบที่เหมาะสมที่สุดได้ โดยใช้จำนวนรอบของกราวอร์น้อยกว่าครึ่งหนึ่ง นี้จึงแสดงให้เห็นว่าจำนวนคิวบิตที่มากขึ้นส่งผลกระทบต่อประสิทธิภาพการทำงานของอัลกอริทึมเป็นอย่างมาก เนื่องจากความผิดพลาดต่างๆที่เกิดขึ้นจากการดำเนินการระหว่างคิวบิตที่เพิ่มมากขึ้น และความผิดพลาดจากการอ่านค่าสถานะคิวบิตแต่ละตัว ดังนั้นการใช้จำนวนช็อตที่เหมาะสมในการรันอัลกอริทึมเพื่อหาคำตอบก็เป็นสิ่งที่สำคัญเช่นกัน แม้ว่าจำนวนช็อตไม่ได้มีผลในการเพิ่มประสิทธิภาพการทำงานของอัลกอริทึมแต่ช่วยทำให้ประสิทธิภาพการทำงานของอัลกอริทึมไม่ลดลงเนื่องจากข้อผิดพลาดดังกล่าว

เนื่องด้วยจำนวนช็อตที่ต้องใช้ในการรันอัลกอริทึมมากขึ้นจากเหตุผลดังกล่าวข้างต้น ทำให้จำนวนครั้งในการประเมินค่าความเหมาะสมเพิ่มขึ้นตามจำนวนช็อตที่ใช้ และจำนวนรอบของกราวอร์ ดังสมการ (34) จากภาพที่ 64 จะเห็นได้ว่า new Grover-assisted cGA* 4,000 ช็อต new Grover-assisted cGA* 3,000 ช็อต และ new Grover-assisted cGA* 2,000 ช็อต ใช้จำนวนครั้งในการประเมินค่าความเหมาะสมค่อนข้างใกล้เคียงกัน เนื่องจาก new Grover-assisted cGA* 4,000 ช็อต แม้ใช้จำนวนช็อตมากกว่า แต่ใช้จำนวนรอบของกราวอร์โดยเฉลี่ยน้อยกว่า new Grover-assisted cGA* 2,000 ช็อต และ 3,000 ช็อต ในขณะที่ new Grover-assisted cGA* 2,000 ช็อต และ 3,000 ใช้จำนวนช็อตน้อยกว่า แต่ใช้จำนวนรอบของกราวอร์โดยเฉลี่ยมากกว่า 4,000 ช็อต และ new Grover-assisted cGA* 2,000 ช็อต ก็ใช้จำนวนรอบของกราวอร์โดยเฉลี่ยมากกว่า 3,000 ช็อต เช่นกัน ทั้งสามขั้นตอนวิธีจึงใช้จำนวนครั้งในการประเมินค่าความเหมาะสมค่อนข้างใกล้เคียงกัน ส่วน

cGA* ใช้จำนวนครั้งในการประเมินค่าความเหมาะสมน้อยที่สุด แต่เปอร์เซ็นต์ความถูกต้องของคำตอบอยู่ระหว่าง 58 – 62 เปอร์เซ็นต์

ถ้าพิจารณาความถูกต้องของคำตอบที่ 80 เปอร์เซ็นต์ จากกราฟที่ 61 พบว่าขั้นตอนวิธีเชิงพันธุกรรมแบบกระชับชนิดความต้มตั้งแต่ 1,024 ซื้อตขึ้นไปสามารถหาคำตอบที่ถูกต้อง 80 เปอร์เซ็นต์ได้ โดย new Grover-assisted cGA* 1,024 ซื้อต ใช้ขนาดประชากรประมาณ 70 ซึ่งมากกว่า new Grover-assisted cGA* 2,000 ซื้อต 3,000 ซื้อต และ 4,000 ซื้อต ซึ่งใช้ขนาดประชากรประมาณ 46, 32 และ 48 ตามลำดับ แต่ new Grover-assisted cGA* 1,024 ซื้อต ใช้จำนวนครั้งที่ในการประเมินค่าความเหมาะสมน้อยที่สุด เมื่อเพิ่มความถูกต้องของคำตอบเป็น 90 เปอร์เซ็นต์ จะต้องใช้จำนวนซื้อต ตั้งแต่ 3,000 ซื้อตขึ้นไป ดังนั้นถ้าต้องการคำตอบที่ถูกต้องไม่น้อยกว่า 80 เปอร์เซ็นต์ new Grover-assisted cGA* 1,024 ซื้อต ก็เพียงพอสำหรับการหาคำตอบ โดยใช้จำนวนครั้งในการประเมินค่าความเหมาะสมน้อยที่สุดเมื่อเทียบกับขั้นตอนวิธีเชิงพันธุกรรมแบบกระชับชนิดความต้มด้วยกัน



ภาพที่ 62 กราฟแสดงผลการเปรียบเทียบความถูกต้องของคำตอบ (จำนวนบิตที่ถูกต้องเป็นเปอร์เซ็นต์เมื่อสิ้นสุดการทำงาน) ระหว่าง cGA* และ new Grover-assisted cGA* สำหรับปัญหา TSP ขนาด 5 เมือง



ภาพที่ 63 กราฟแสดงผลการเปรียบเทียบจำนวนวนรอบของกราวเวอร์ที่ใช้ของ new Grover-assisted cGA* จำนวน 1,024 ช็อต 2,000 ช็อต 3,000 ช็อต และ 4,000 ช็อต จนกระทั่งลิ้นสุดการทำงานในแต่ละขนาดของประชากร สำหรับปัญหา TSP ขนาด 5 เมือง



ภาพที่ 64 กราฟแสดงผลการเปรียบเทียบจำนวนครั้งในการประเมินค่าความเหมาะสมตามจำนวนกราวเวอร์ที่ใช้ลิ้นสุดการทำงาน ระหว่าง cGA* และ new Grover-assisted cGA* สำหรับปัญหา TSP ขนาด 5 เมือง

8.2.2. การวิเคราะห์ความซับซ้อนในเชิงความต้ม

จะใช้หลักเกณฑ์เดียวกันในข้อ 6.2.2 สำหรับการวิเคราะห์ความซับซ้อนในเชิงความต้มของขั้นตอนวิธีเชิงพื้นฐานกรรมแบบกระซับชนิดความต้มเวอร์ชันปรับปรุง (new Grover-assisted cGA*) ได้แก่ 1: การวิเคราะห์จำนวนคิวบิต และจำนวนของคิวบิตทด (Ancilla qubits) ที่ต้องการที่สอดคล้องกับขนาดของปัญหาการหาค่าเหมาะสม และ 2: ต้นทุนของวงจรความต้มจากจำนวนเกต CNOT ที่ใช้ กับความลึกของวงจร (Circuit depth) ตามจำนวนรอบของกรัวอร์ที่ใช้ใน new Grover-assisted cGA*

8.2.2.1. จำนวนคิวบิตและคิวบิตทดที่ต้องใช้

ในเบื้องต้นจำนวนคิวบิตที่จำเป็นต้องใช้จะเป็นไปตามที่ระบุในหัวข้อ 6.2.2.1 แต่จำนวนคิวบิตทดที่ต้องใช้จะเพิ่มเติมขึ้นมาจากการหัวข้อ 6.2.2.1 เนื่องจากฟังก์ชันโอราเคิลของ new Grover-assisted cGA* มีการปรับปรุงให้สามารถคำนวณระยะทางของแต่ละรูปแบบคำตอบ และทำการเปรียบเทียบกับระยะทางที่สั้นที่สุด ณ ปัจจุบันได้ ซึ่งจำเป็นต้องใช้จำนวนคิวบิตทดเพิ่มสำหรับการดำเนินการดังกล่าวข้างต้น โดยในส่วนของการเปรียบเทียบระยะทางจำเป็นต้องเพิ่มจำนวนคิวบิตทดขึ้นมาเท่ากับระยะทางรวมสูงสุดที่เป็นไปได้ของการเดินทางครบทุกเมืองในรูปแบบเลขฐานสอง เช่น ถ้าระยะทางรวมสูงสุดของการเดินทางคือ 25 ซึ่งแปลงเป็นเลขฐานสองได้ 11001 ดังนั้นจำเป็นต้องใช้คิวบิตทดเพิ่มอีก 5 ตัว สำหรับเก็บผลรวมระยะทางที่สั้นที่สุด ณ ปัจจุบัน เพื่อสามารถนำมาเปรียบเทียบกับผลรวมระยะทางของแต่ละรูปแบบคำตอบในฟังก์ชันโอราเคิลได้ ดังนั้นจำนวนคิวบิตทดทั้งหมดที่จำเป็นต้องใช้คือ $2(n - 1) + \text{binary}(\text{max_totalRoute})$ คิวบิต เมื่อ n คือจำนวนเมือง และ max_totalRoute คือระยะทางรวมที่ยาวที่สุดที่เป็นไปได้สำหรับปัญหานั้นๆ ต้นทุนทั้งหมดสำหรับการกำหนดสถานะเริ่มต้นของคิวบิตคือผลรวมของจำนวนคิวบิตที่ใช้สำหรับการเข้ารหัสปัญหา TSP และจำนวนคิวบิตทดสำหรับการคำนวณคือ $O(n^2 - 1) + \text{binary}(\text{max_totalRoute})$

8.2.2.2. ต้นทุนของวงจร

ความลึกของวงจรความต้มจะพิจารณาจากจำนวนครั้งของ Grover iteration ที่ใช้ ตามที่อธิบายรายละเอียดไปในข้อ 6.2.2.2 ยิ่งวนซ้ำมากความลึกของ

วงจรก็มากตามจำนวนรอบที่วนซ้ำเป็นเท่าตัว สำหรับปัญหา TSP ขนาด 3 เมือง จำนวนเกต CNOT ทั้งหมดที่ต้องใช้คือ $239t$ และความลึกของวงจร คือ $2+415t$ โดย t คือจำนวนครั้งของ Grover iteration ส่วนปัญหา TSP ขนาด 4 เมือง จำนวนเกต CNOT ทั้งหมดที่ต้องใช้คือ $1107t$ และความลึกของวงจร คือ $2+1905t$ ส่วนปัญหา TSP ขนาด 5 เมือง จำนวนเกต CNOT ทั้งหมดที่ต้องใช้คือ $5304t$ และความลึกของวงจร คือ $2+9616t$ จะเห็นได้ว่าการเพิ่มจำนวนเมืองมาแค่ 1 เมือง แต่จำนวนคิวบิต และจำนวนคิวบิตที่ต้องใช้เพิ่มขึ้นเป็นกำลังสอง และจำนวนคิวบิตที่เพิ่มขึ้นทำให้เพิ่นที่การค้นหาของอัลกอริทึมการค้นหาของกราฟเพิ่มขึ้นเป็นเอกไปเนื้อเชียล (Exponential) นั่นหมายถึงจำนวนครั้งของ Grover iteration ก็เพิ่มขึ้นเป็นเอกไปเนื้อเชียลเช่นกัน จึงทำให้จำนวนเกต CNOT และความลึกของวงจรสำหรับปัญหา TSP ขนาด 4 เมือง เพิ่มขึ้นอย่างมากเมื่อเทียบกับ ปัญหา TSP ขนาด 3 เมือง และความลึกของวงจรสำหรับปัญหา TSP ขนาด 5 เมือง เพิ่มขึ้นอย่างมากเมื่อเทียบกับ ปัญหา TSP ขนาด 4 เมือง จึงสามารถสรุปได้ว่าความซับซ้อนในเชิงความต้องการของขั้นตอนวิธีเชิงพัฒนารูปแบบแบบกราฟซับชันดิค่อนต์ (Grover-assisted cGA*) ที่นำเสนอในงานวิจัยนี้เท่ากับ $O\left(I \frac{\pi}{4} \sqrt{\frac{N}{T}}\right)$

เมื่อ / คือความลึกของวงจรควบคุมต้มสำหรับ Grover iteration ครั้งแรก N คือจำนวนสถานะควบคุมต้มทั้งหมด และ T คือจำนวนสถานะควบคุมต้มที่เป็นคำตอบของฟังก์ชันโอลามิล

จำนวนเมือง	จำนวนคิวบิต	จำนวนคิวบิตที่ต้องการ	จำนวนเกต CNOT	ความลึกของวงจร
3	$(n - 1)^2$	$2(n - 1) + \text{binary}(\text{max_totalRoute})$	$239t$	$2 + 415t$
4	$(n - 1)^2$	$2(n - 1) + \text{binary}(\text{max_totalRoute})$	$1107t$	$2 + 1905t$
5	$(n - 1)^2$	$2(n - 1) + \text{binary}(\text{max_totalRoute})$	$5304t$	$2 + 9616t$

ตารางที่ 6 สรุปต้นทุนวงจรควบคุมต้ม จำแนกตามจำนวนคิวบิต จำนวนคิวบิตที่ต้องการ จำนวนเกต CNOT และความลึกของวงจร สำหรับขั้นตอนวิธีเชิงพัฒนารูปแบบแบบกราฟซับชันดิค่อนต์เวอร์ชันปรับปรุง

บทที่ 9

สรุปผล

9.1 สรุปผลการวิจัย

งานวิจัยนี้ต้องการนำเสนอขั้นตอนวิธีทางพันธุกรรมแบบกระชับชนิดค่อนต้มสำหรับปัญหา ยาก โดยเป็นการนำข้อได้เปรียบจากการประมวลผลเชิงค่อนต้ม ได้แก่ สถานะซ้อนทับของสถานะค่อนต้ม (Quantum superposition) และการประมวลผลค่อนต้มแบบขนาน (Quantum parallelism) ในอัลกอริทึมการค้นหาของกรัวเวอร์ (Grover's search algorithm) มาประยุกต์ใช้ในกระบวนการคัดเลือกโครโน่โฉมของขั้นตอนวิธีเชิงพันธุกรรมแบบกระชับชนิดดังเดิมที่มีการคัดเลือกโครโน่โฉมที่ดี (Compact genetic algorithm with an elite) เพื่อให้ได้ขั้นตอนวิธีเชิงพันธุกรรมแบบกระชับชนิดค่อนต้มที่มีประสิทธิภาพดีขึ้นในแง่ของความถูกต้องของคำตอบ และสามารถนำมาใช้แก้ปัญหาการเดินทางของพนักงานขาย (traveling salesman problem) ซึ่งเป็นปัญหา NP-hard ได้บนเครื่องจำลองคอมพิวเตอร์เชิงค่อนต้ม

ผู้วิจัยได้ทำการศึกษาและออกแบบวิธีการเข้ารหัสปัญหา TSP โดยใช้แบบจำลอง Imitation เพื่อทำการแปลงข้อมูลอินพุตให้อยู่ในสถานะค่อนต้ม จากนั้นจึงกำหนดฟังก์ชันโอราเคิล โดยในเบื้องต้นของการออกแบบขั้นตอนวิธีเชิงพันธุกรรมแบบกระชับชนิดค่อนต้ม (Grover-assisted cGA*) ผู้วิจัยสนใจเฉพาะการกำหนดให้ฟังก์ชันโอราเคิลสามารถตรวจสอบรูปแบบคำตอบที่เป็นเส้นทางที่เป็นไปได้ของคำตอบของปัญหา TSP (Feasible path) ผลการทดลองเปรียบเทียบประสิทธิภาพของขั้นตอนวิธีดังกล่าวกับขั้นตอนวิธีเชิงพันธุกรรมแบบกระชับชนิดดังเดิมที่มีการคัดเลือกโครโน่โฉมที่ดี (cGA*) พบว่า Grover-assisted cGA* สามารถหาคำตอบของปัญหา TSP สำหรับเมืองขนาดเล็ก คือ 3 เมือง และ 4 เมืองได้ แต่ใช้จำนวนครั้งในการประเมินค่าความเหมาะสมมากกว่า cGA* หาก เนื่องจากจำนวนครั้งในการประเมินค่าความเหมาะสมของ Grover-assisted cGA* เพิ่มขึ้นตามจำนวนช็อต และจำนวนรอบของกรัวเวอร์ที่ใช้ ดังนั้นยิ่งจำนวนช็อต และจำนวนรอบของกรัวเวอร์ที่ใช้มีค่ามาก จำนวนครั้งในการประเมินค่าความเหมาะสมจะเพิ่มขึ้นเป็นเท่าตัว นอกจากนี้ผู้วิจัยพบว่าการเพิ่มจำนวนช็อตไม่ได้ส่งผลต่อการเพิ่มประสิทธิภาพของขั้นตอนวิธีที่นำเสนอโดยตรง แต่ช่วยทำให้การกระจายตัวของคำตอบมีความแม่นยำมากขึ้นเท่านั้น ในขณะที่การเพิ่มจำนวนรอบของกรัวเวอร์ ทำให้

ประสิทธิภาพในการหาคำตอบของอัลกอริทึมที่นำเสนอดีขึ้น เนื่องจากจำนวนรอบของกราเวอร์ที่เหมาะสมจะช่วยเพิ่มความน่าจะเป็นที่วัดสถานะของคิวบิตแล้วได้คำตอบที่สนใจมากยิ่งขึ้น

นอกจากนี้ผู้วิจัยได้ทำการปรับปรุงฟังก์ชันโอราเคิลของขั้นตอนวิธีเชิงพันธุกรรมแบบกราฟซับชนิดค่อนต้ม เรียกว่า “new Grover-assisted cGA*” โดยผู้วิจัยได้กำหนดให้ฟังก์ชันโอราเคิลสามารถคำนวณผลรวมระยะทางของรูปแบบคำตอบทั้งหมดในพื้นที่การค้นหาของกราเวอร์ และสามารถเปรียบเทียบกับผลรวมระยะทางที่สั้นที่สุด ณ ปัจจุบันได้ เพื่อให้ผลลัพธ์ของฟังก์ชันโอราเคิลได้รูปแบบคำตอบที่ไม่แย่กว่ารูปแบบคำตอบที่ดีที่สุด ณ ปัจจุบัน การปรับปรุงดังกล่าวช่วยลดการคำนวณระยะทางบนเครื่องคอมพิวเตอร์แบบตั้งเดิม โดยเปลี่ยนไปคำนวณระยะทางด้วยการประมวลผลเชิงค่อนต้มแทน ซึ่งสามารถทำได้เร็วกว่าบนเครื่องคอมพิวเตอร์แบบตั้งเดิม เพราะสามารถประมวลผลระยะทางของทุกรูปแบบคำตอบได้ในเวลาเดียว กัน จากผลการทดลองเปรียบเทียบประสิทธิภาพของ new Grover-assisted cGA* กับ cGA* พบว่าจำนวนครั้งในการประเมินค่าความเหมาะสมลดลงมากเมื่อเทียบกับ Grover-assisted cGA* เนื่องจากใช้จำนวนช็อตและจำนวนรอบของกราเวอร์น้อยลงในการหาคำตอบที่เหมาะสมที่สุด อย่างไรก็ตามเมื่อผู้วิจัยเพิ่มขนาดของปัญหา TSP ที่ใช้ทดสอบเป็น 5 เมือง พบว่าจำนวนคิวบิตที่ต้องใช้เพิ่มขึ้นมาก นอกจากนี้จำนวนช็อตที่ต้องใช้ในการรันอัลกอริทึมก็เพิ่มมากตามไปด้วย เนื่องจากจำนวนคิวบิตที่มากขึ้น ความผิดพลาดต่างๆที่เกิดขึ้นจากการดำเนินการระหว่างคิวบิตก็เพิ่มมากขึ้น และยังมีความผิดพลาดจากการอ่านค่าสถานะคิวบิตแต่ละตัวด้วย ดังนั้นการใช้จำนวนช็อตที่เหมาะสมในการรันอัลกอริทึมเพื่อหาคำตอบจึงเป็นสิ่งสำคัญ แม้ว่าจำนวนช็อตไม่ได้มีผลในการเพิ่มประสิทธิภาพการทำงานของอัลกอริทึมโดยตรง แต่ช่วยทำให้ประสิทธิภาพการทำงานของอัลกอริทึมไม่ลดลงเนื่องจากข้อผิดพลาดดังกล่าว

9.2 งานวิจัยในอนาคต

เนื่องด้วยข้อจำกัดของจำนวนคิวบิตที่มีให้ใช้ ณ ปัจจุบันค่อนข้างน้อย ประกอบกับอัตราความผิดพลาดของเครื่องคอมพิวเตอร์เชิงค่อนต้มอันเนื่องมาจากการผิดพลาดของค่อนต้มเกต การวัด การสื่อสารข้ามอุปกรณ์ และประสิทธิภาพคอมไพล์เลอร์ของวงจรค่อนต้ม รวมถึงเรื่องของสัญญาณรบกวน (Noise) จากสภาพแวดล้อม ทำให้การวิจัยเพื่อพัฒนาให้การประมวลผลข้อมูลค่อนต้มขนาดใหญ่สามารถทำได้จริงยังคงเป็นเรื่องที่ท้าทายอย่างมาก ผู้วิจัยเองจึงถูกจำกัดการทดลองให้สามารถรันขั้นตอนวิธีที่นำเสนอกับปัญหา TSP ที่มีขนาดเล็กได้เท่านั้น เนื่องจากจำนวนคิวบิตที่มีให้ใช้อย่างจำกัด อย่างไรก็ตามงานวิจัยนี้ยังไม่ได้มุ่งเน้นในเรื่องการปรับปรุงวงจรให้มี

ประสิทธิภาพที่ดีโดยใช้ต้นทุกของวงจรให้น้อยที่สุด ซึ่งผู้วิจัยคิดว่าสามารถปรับปรุงวงจรควบคุมตั้มได้ ตั้งแต่วิธีการเข้ารหัสข้อมูลของปัญหา TSP เพื่อลดจำนวนคิวบิตที่ต้องใช้ในการเข้ารหัสให้ได้มากที่สุด รวมถึงลดจำนวนเกตสำหรับการคำนวนระยะทางของรูปแบบคำตอบ โดยยังสามารถประมวลผลบน วงจรควบคุมตั้มได้ นอกจากนี้ถ้าในอนาคตมีการพัฒนา Quantum processor ที่สามารถรองรับการ ประมวลผลจำนวนหลายคิวบิต และหลายตัวดำเนินการ โดยมีความผิดพลาดในการประมวลผลน้อย ก็น่าจะสามารถทำงานวิจัยนี้ไปต่ออยอดสำหรับพัฒนาขั้นตอนวิธีเชิงพันธุกรรมแบบกรวยซับชันด ควบคุมตั้มที่สามารถแก้ปัญหา TSP ขนาดใหญ่ได้



បររាយនូវក្រម

1. Ltd, T.C.M.G. *The future of electronics is light*. 2016 Feb 2, 2019]; Available from: <https://theconversation.com/the-future-of-electronics-is-light-68903>.
2. DiVincenzo, D.P. *Principles of quantum computing*. in *Proceedings ISSCC '95 - International Solid-State Circuits Conference*. 1995.
3. Denchev, V.S., et al., *What is the Computational Value of Finite-Range Tunneling?* Physical Review X, 2016. **6**(3): p. 031015.
4. LLC., F.M. *6 Practical Examples Of How Quantum Computing Will Change Our World*. 2017 Feb 10, 2019]; Available from: <https://www.forbes.com/sites/bernardmarr/2017/07/10/6-practical-examples-of-how-quantum-computing-will-change-our-world/#4f9d1da780c1>.
5. Malossini, A., E. Blanzieri, and T. Calarco, *Quantum Genetic Optimization*. IEEE Transactions on Evolutionary Computation, 2008. **12**(2): p. 231-241.
6. Yingcharonthawornchai, S., C. Aporntewan, and P. Chongstitvatana. *An implementation of compact genetic algorithm on a quantum computer*. in *2012 Ninth International Conference on Computer Science and Software Engineering (JCSE)*. 2012.
7. K. Grover, L., *Fast quantum mechanical algorithm for database search*. 1996.
8. contributors, W. *Grover's algorithm*. Wikipedia, The Free Encyclopedia. 2019 March 5, 2019]; Available from: https://en.wikipedia.org/w/index.php?title=Grover%27s_algorithm&oldid=903654732.
9. Draper, T.G., *Addition on a quantum computer*. arXiv preprint quant-ph/0008033, 2000.
10. Goldberg, D.E., *Genetic Algorithms in Search, Optimization and Machine Learning*. 1989: Addison-Wesley Longman Publishing Co., Inc. 372.
11. Harik, G.R., F.G. Lobo, and D.E. Goldberg, *The compact genetic algorithm*. IEEE Transactions on Evolutionary Computation, 1999. **3**(4): p. 287-297.
12. Musnjak, M. and M. Golub. *Using a set of elite individuals in a genetic algorithm*.

- in *26th International Conference on Information Technology Interfaces*, 2004. 2004. IEEE.
13. Zurek, W.H., *Quantum Darwinism*. Nature Physics, 2009. **5**: p. 181.
 14. Demmer, M., R. Fonseca, and F. Koushanfar, *RICHARD FEYNMAN: SIMULATING PHYSICS WITH COMPUTERS*. 2008.
 15. Narayanan, A. and M. Moore. *Quantum-inspired genetic algorithms*. in *Proceedings of IEEE International Conference on Evolutionary Computation*. 1996.
 16. Rylander, B., et al., *Quantum Genetic Algorithms*. 2000. 373.
 17. Kuk-Hyun, H. and K. Jong-Hwan, *Quantum-inspired evolutionary algorithm for a class of combinatorial optimization*. IEEE Transactions on Evolutionary Computation, 2002. **6**(6): p. 580-593.
 18. Meter, R.V., K. Nemoto, and W. Munro, *Communication Links for Distributed Quantum Computation*. IEEE Transactions on Computers, 2007. **56**(12): p. 1643-1653.
 19. Zhou, S., et al., *A novel quantum genetic algorithm based on particle swarm optimization method and its application*. Vol. 34. 2006. 897-901.
 20. Huang, J., R.A. Berry, and M.L. Honig, *Auction-based spectrum sharing*. Mob. Netw. Appl., 2006. **11**(3): p. 405-418.
 21. Wang, H., et al., *The Improvement of Quantum Genetic Algorithm and Its Application on Function Optimization*. Vol. 2013. 2013.
 22. Ying, M., *Quantum computation, quantum theory and AI*. Artificial Intelligence, 2010. **174**(2): p. 162-176.
 23. King, J., et al., *Quantum-assisted genetic algorithm*. arXiv preprint arXiv:1907.00707, 2019.
 24. Supasil, J., P. Pathumsoot, and S. Suwanna. *Simulation of implementable quantum-assisted genetic algorithm*. in *Journal of Physics: Conference Series*. 2021. IOP Publishing.
 25. Laboudi, Z. and S. Chikhi. *Evolving cellular automata by parallel quantum genetic algorithm*. in *2009 First International Conference on Networked Digital Technologies*. 2009. IEEE.

26. Layeb, A. and D.-E. Saidouni, *Quantum genetic algorithm for binary decision diagram ordering problem*. International Journal of Computer Science and Network Security, 2007. **7**(9): p. 130-135.
27. Tkachuk, V., *Quantum genetic algorithm based on qutrits and its application*. Mathematical Problems in Engineering, 2018. **2018**.
28. Kuk-Hyun, H. and K. Jong-Hwan, *Quantum-inspired evolutionary algorithms with a new termination criterion, H_{sub}/spl epsi// gate, and two-phase scheme*. IEEE Transactions on Evolutionary Computation, 2004. **8**(2): p. 156-169.
29. Zhang, G., *Quantum-inspired evolutionary algorithms: A survey and empirical study*. Vol. 17. 2011. 303-351.
30. Nayek, U.R.S.R.a.S., Article: *Optimization with Quantum Genetic Algorithm*. International Journal of Computer Applications, 2014. **102**: p. 1-7.
31. Xiong, Y.S.a.Y.G.a.H., *Function Optimization Based on Quantum Genetic Algorithm*. Res. J. Appl. Sci. Eng. Technol, 2014. **7**: p. 144–149.
32. Talbi, H. and A. Draa, *A new real-coded quantum-inspired evolutionary algorithm for continuous optimization*. Applied Soft Computing, 2017. **61**: p. 765-791.
33. Wang, H., et al., *Improved Quantum Genetic Algorithm in Application of Scheduling Engineering Personnel*. Vol. 2014. 2014. 1-10.
34. Lee, J.-C., et al., *Quantum genetic algorithm for dynamic economic dispatch with valve-point effects and including wind power system*. International Journal of Electrical Power & Energy Systems, 2011. **33**(2): p. 189-197.
35. Talbi, H., A. Draa, and M. Batouche, *A Novel Quantum-Inspired Evolutionary Algorithm for Multi-Sensor Image Registration*. 2004.
36. Hu, W., *Cryptanalysis of TEA Using Quantum-Inspired Genetic Algorithms*. Vol. 3. 2010. 50-57.
37. Feynman, R.P., *Simulating physics with computers*. Int. j. Theor. phys, 1982. **21**(6/7).
38. Deutsch, D., *Quantum theory, the Church-Turing principle and the universal quantum computer*. Proceedings of the Royal Society of London. A. Mathematical and Physical Sciences, 1985. **400**(1818): p. 97-117.

39. Shor, P.W. *Algorithms for quantum computation: discrete logarithms and factoring*. in *Proceedings 35th annual symposium on foundations of computer science*. 1994. ieee.
40. Zurek, W.H., *Decoherence and the transition from quantum to classical—revisited*, in *Quantum Decoherence*. 2006, Springer. p. 1-31.
41. team, I.R.a.t.I.Q. *Grover's Algorithm*. 2017 Feb 25, 2019]; Available from: https://quantumexperience.ng.bluemix.net/proxy/tutorial/full-user-guide/004-Quantum_Algorithms/070-Grover's_Algorithm.html.
42. Blog, I.R. *Cramming More Power Into a Quantum Device*. 2019 March 10, 2019]; Available from: <https://www.ibm.com/blogs/research/2019/03/power-quantum-device>.
43. Brusco, M., C.P. Davis-Stober, and D. Steinley, *Ising formulations of some graph-theoretic problems in psychological research: models and methods*. Journal of Mathematical Psychology, 2021. **102**: p. 102536.
44. Brassard, G., et al., *Quantum amplitude amplification and estimation*. Contemporary Mathematics, 2002. **305**: p. 53-74.
45. Cheng, C.S., A.K. Singh, and L. Gopal, *Efficient three variables reversible logic synthesis using mixed-polarity Toffoli gate*. Procedia Computer Science, 2015. **70**: p. 362-368.
46. Muñoz-Coreas, E. and H. Thapliyal, *T-count and qubit optimized quantum circuit design of the non-restoring square root algorithm*. ACM Journal on Emerging Technologies in Computing Systems (JETC), 2018. **14**(3): p. 1-15.
47. Nam, Y., et al., *Automated optimization of large quantum circuits with continuous parameters*. npj Quantum Information, 2018. **4**(1): p. 1-12.
48. Cuccaro, S.A., et al., *A new quantum ripple-carry addition circuit*. arXiv preprint quant-ph/0410184, 2004.

 CU ithesis 6071401321 dissertation / recv: 10072565 13:20:37 / seq: 13
4194830501

ประวัติผู้เขียน

ชื่อ-สกุล	กมลลักษณ์ สุขเสน
วัน เดือน ปี เกิด	23 เมษายน 2533
สถานที่เกิด	จังหวัดลำปาง ประเทศไทย
วุฒิการศึกษา	จบการศึกษาระดับมัธยมศึกษา สาขาวิชาระบบที่ ไทย ภาษาไทย จังหวัดลำปาง จบการศึกษาระดับปริญญาตรีจากคณะวิศวกรรมศาสตร์ สาขาวิศวกรรมคอมพิวเตอร์ จุฬาลงกรณ์มหาวิทยาลัย จังหวัดกรุงเทพมหานคร จบการศึกษาระดับปริญญาโทจากคณะวิศวกรรมศาสตร์ สาขาวิศวกรรมคอมพิวเตอร์ จุฬาลงกรณ์มหาวิทยาลัย จังหวัดกรุงเทพมหานคร
ที่อยู่ปัจจุบัน	112/71 หมู่บ้านเดอจะแกรนด์ พระราม 2 ถนนพระราม 2 ตำบลพันท้ายนรสิงห์ อำเภอเมืองสมุทรสาคร จังหวัดสมุทรสาคร 74000
ผลงานตีพิมพ์	“Program Development Tools: Debugging by Reverse Computing” โดย กมลลักษณ์ สุขเสน และ ประภาส จงสถิตย์วัฒนา ในงานประชุมวิชาการ “International Technical Conference on Circuits/Systems, Computers and Communications (ITC-CSCC) 2014” ณ โรงแรมภูเก็ต เกรซแอลันด์ รีสอร์ฟ แอนด์ สปา จังหวัดภูเก็ต ในระหว่างวันที่ 1-4 กรกฎาคม 2557 “Exploiting Building Blocks in Hard Problems with Modified Compact Genetic Algorithm” โดย กมลลักษณ์ สุขเสน และ ประภาส จงสถิตย์วัฒนา ในงานประชุมวิชาการ “The 15th International Joint Conference on Computer Science and Software Engineering (JCSSE2018)” ณ คณะเทคโนโลยีสารสนเทศและการสื่อสาร มหาวิทยาลัยมหิดล วิทยาเขตศากalya จังหวัดนครปฐม ในระหว่างวันที่ 11-13 กรกฎาคม 2561